

INTER-AMERICAN TROPICAL TUNA COMMISSION COMISIÓN INTERAMERICANA DEL ATÚN TROPICAL

Fishery Status Report—Informe de la Situación de la Pesquería

No. 10

TUNAS AND BILLFISHES IN THE EASTERN PACIFIC OCEAN IN 2011
LOS ATUNES Y PECES PICUDOS EN EL OCEANO PACÍFICO ORIENTAL EN 2011



La Jolla, California
2012

COVER PHOTOGRAPH BY WAYNE PERRYMAN
FOTOGRAFÍA EN LA PORTADA POR WAYNE PERRYMAN

**INTER-AMERICAN TROPICAL TUNA COMMISSION
COMISIÓN INTERAMERICANA DEL ATÚN TROPICAL**

Fishery Status Report—Informe de la Situación de la Pesquería
No. 10

**TUNAS AND BILLFISHES IN THE EASTERN PACIFIC OCEAN IN 2011
LOS ATUNES Y PEZES PICUDOS EN EL OCÉANO PACÍFICO ORIENTAL EN 2011**

La Jolla, California
2012

FISHERY STATUS REPORT 10

TUNAS AND BILLFISHES IN THE EASTERN PACIFIC OCEAN IN 2011

A.	The fishery for tunas and billfishes in the eastern Pacific Ocean.....	7
B.	Yellowfin tuna.....	64
C.	Skipjack tuna.....	78
D.	Bigeye tuna	83
E.	Pacific bluefin tuna	97
F.	Albacore tuna	105
G.	Swordfish	110
H.	Blue marlin.....	114
I.	Striped marlin.....	116
J.	Ecosystem considerations.....	119

INTRODUCTION

This report provides a summary of the fishery for tunas in the eastern Pacific Ocean (EPO), summary assessments of the major stocks of tunas and billfishes that are exploited in the fishery, and an evaluation of the pelagic ecosystem in the EPO, in 2011.

The report is based on data available to the IATTC staff in March 2012. Sections E (Pacific bluefin tuna tuna) and H (blue marlin) are essentially the same as the corresponding sections of IATTC [Fishery Status Report 9](#), published in 2011, except for updates of the figures.

All weights of catches and discards are in metric tons (t). In the tables, 0 means no effort, or a catch of less than 0.5 t; - means no data collected; * means data missing or not available. The following acronyms are used:

Species:		Fishing gears:	
ALB	Albacore tuna (<i>Thunnus alalunga</i>)	FPN	Trap
BET	Bigeye tuna (<i>Thunnus obesus</i>)	GN	Gillnet
BIL	Unidentified istiophorid billfishes	HAR	Harpoon
BKJ	Black skipjack (<i>Euthynnus lineatus</i>)	LL	Longline
BLM	Black marlin (<i>Makaira indica</i>)	LP	Pole and line
BUM	Blue marlin (<i>Makaira nigricans</i>)	LTL	Troll
BZX	Bonito (<i>Sarda</i> spp.)	LX	Hook and line
CAR	Chondrichthyes, cartilaginous fishes nei ¹	OTR	Other ²
CGX	Carangids (Carangidae)	NK	Unknown
DOX	Dorado (<i>Coryphaena</i> spp.)	PS	Purse seine
MLS	Striped marlin (<i>Kajikia audax</i>)	RG	Recreational
MZZ	Osteichthyes, marine fishes nei	TX	Trawl
PBF	Pacific bluefin tuna (<i>Thunnus orientalis</i>)		
SFA	Indo-Pacific sailfish (<i>Istiophorus platypterus</i>)		
SKJ	Skipjack tuna (<i>Katsuwonus pelamis</i>)		
SKX	Unidentified elasmobranchs		
SSP	Shortbill spearfish (<i>Tetrapturus angustirostris</i>)		
SWO	Swordfish (<i>Xiphias gladius</i>)		
TUN	Unidentified tunas		
YFT	Yellowfin tuna (<i>Thunnus albacares</i>)		

Ocean areas:	
EPO	Eastern Pacific Ocean
WCPO	Western and Central Pacific Ocean

Set types:	
DEL	Dolphin
NOA	Unassociated school
OBJ	Floating object
FLT:	Flotsam
FAD:	Fish-aggregating device

¹ not elsewhere included

² Used to group known gear types

Stock assessment:

<i>B</i>	Biomass
<i>C</i>	Catch
CPUE	Catch per unit of effort
<i>F</i>	Rate of fishing mortality
MSY	Maximum sustainable yield
<i>S</i>	Index of spawning biomass
SBR	Spawning biomass ratio
SSB	Spawning stock biomass

Flags:**IATTC Members & cooperating non-members**

BLZ	Belize
CAN	Canada
CHN	China
COK	Cook Islands
COL	Colombia
CRI	Costa Rica
ECU	Ecuador
EU	European Union
FRA	France
GTM	Guatemala
JPN	Japan
KOR	Republic of Korea
MEX	Mexico
NIC	Nicaragua
PAN	Panama
PER	Peru
SLV	El Salvador
TWN	Chinese Taipei
USA	United States of America
VEN	Venezuela
VUT	Vanuatu

Other flags

BMU	Bermuda
BOL	Bolivia
CHL	Chile
CYM	Cayman Islands
CYP	Cyprus
FSM	Federated States of Micronesia
HND	Honduras
LBR	Liberia
NZL	New Zealand
PRT	Portugal
RUS	Russia
SEN	Senegal
VCT	St. Vincent and the Grenadines
UNK	Unknown

INFORME DE LA SITUACIÓN DE LA PESQUERÍA 10

LOS ATUNES Y PECES PICUDOS EN EL OCÉANO PACÍFICO ORIENTAL EN 2011

A.	La pesquería de atunes y peces picudos en el Océano Pacífico oriental	54
B.	Atún aleta amarilla	75
C.	Atún barrilete	81
D.	Atún patudo.....	94
E.	Atún aleta azul del Pacífico.....	102
F.	Atún albacora	108
G.	Pez espada.....	112
H.	Marlín azul	115
I.	Marlín rayado	118
J.	Consideraciones ecosistémicas.....	144

INTRODUCCIÓN

El presente informe contiene un resumen de la pesquería de atunes en el Océano Pacífico oriental (OPO), evaluaciones sumarios de las principales poblaciones de atunes y peces picudos que son explotadas en la pesquería, y una evaluación del ecosistema pelágico en el OPO, en 2011.

El informe se basa en datos disponibles al personal de la CIAT en marzo de 2012. Las secciones E (atún aleta azul del Pacífico), G (pez espada), y H (marlín azul) son esencialmente iguales a las secciones correspondientes del [Informe de la Situación de la Pesquería 9](#), publicado en 2011, salvo actualizaciones de las figuras.

Se expresa el peso de capturas y descartes en toneladas métricas (t). En las tablas, 0 en una casilla significa ningún esfuerzo o una captura de menos de 0,5 t; - significa que no se tomaron datos, y * significa datos faltantes o no disponibles. Se usan las siglas siguientes:

Especies:

ALB	Atún albacora (<i>Thunnus alalunga</i>)
BET	Atún patudo (<i>Thunnus obesus</i>)
BIL	Peces picudos istiofóridos no identificados
BKJ	Atún barrilete negro (<i>Euthynnus lineatus</i>)
CAR	Chondrichthyes, peces cartilaginosos nep ¹
CGX	Carángidos (Carangidae)
DOX	Dorados (<i>Coryphaena</i> spp.)
MLS	Marlín rayado (<i>Kajakia audax</i>)
MZZ	Osteichthyes, peces marinos nep
PBF	Atún aleta azul del Pacífico (<i>Thunnus orientalis</i>)
SFA	Pez vela del Indo-Pacífico (<i>Istiophorus platypterus</i>)
SKJ	Atún barrilete (<i>Katsuwonus pelamis</i>)
SKX	Elasmobranquios no identificados
SSP	Marlín trompa corta (<i>Tetrapturus angustirostris</i>)
SWO	Pez espada (<i>Xiphias gladius</i>)
TUN	Atunes no identificados
YFT	Atún aleta amarilla (<i>Thunnus albacares</i>)

BLM	Marlín negro (<i>Makaira indica</i>)
BUM	Marlín azul (<i>Makaira nigricans</i>)
BZX	Bonito (<i>Sarda</i> spp.)

Artes de pesca:

FPN	Almadraba
GN	Red de transmalle
HAR	Arpón
LL	Palangre
LP	Caña
LTL	Curricán
LX	Sedal y anzuelo
OTR	Otras ²
NK	Desconocido
PS	Red de cerco
RG	Deportivo
TX	Red de arrastre

Áreas oceánicas:

EPO	Océano Pacífico oriental
WCPO	Océano Pacífico occidental y central

¹ no especificado en otra partida

² Usado para agrupar artes conocidas

Tipos de lance:

DEL	Delfín
NOA	Peces no asociados
OBJ	Objeto flotante
FLT:	Natural
FAD:	Plantado

Evaluación de poblaciones:

B	Biomasa
C	Captura
CPUE	Captura por unidad de esfuerzo
F	Tasa de mortalidad por pesca
RMS	Rendimiento máximo sostenible
S	Indice de biomasa reproductora
SBR	Cociente de biomasa reproductora
SSB	Biomasa de la población reproductora

Banderas:**Miembros y no Miembros cooperantes de la CIAT**

BLZ	Belice
CAN	Canadá
CHN	China
COL	Colombia
CRI	Costa Rica
ECU	Ecuador
EU	Unión Europea
FRA	Francia
GTM	Guatemala
JPN	Japón
KOR	República de Corea
MEX	México
NIC	Nicaragua
PAN	Panamá
PER	Perú
SLV	El Salvador
TWN	Taipei Chino
USA	Estados Unidos de América
VEN	Venezuela
VUT	Vanuatu

Otras banderas

BMU	Bermuda
BOL	Bolivia
CHL	Chile
COK	Islas Cook
CYM	Islas Caimán
CYP	Chipre
FSM	Estados Federados de Micronesia
HND	Honduras
LBR	Liberia
NZL	Nueva Zelanda
PRT	Portugal
RUS	Rusia
SEN	Senegal
VCT	St. Vicente y Granadinas
UNK	Desconocido

A. THE FISHERY FOR TUNAS AND BILLFISHES IN THE EASTERN PACIFIC OCEAN

1. Catches and landings of tunas, billfishes, and associated species.....	7
1.1. Catches by species.....	8
1.2. Distributions of the catches of tunas.....	11
1.3. Size compositions of the catches of tunas	11
1.4. Catches of tunas and bonitos, by flag and gear.....	13
2. Fishing effort.....	13
2.1. Purse seine	13
2.2. Longline	14
3. The fleets.....	14
3.1. The purse-seine and pole-and-line fleets	14
3.2. Other fleets of the EPO	15

This section summarizes the fisheries for species covered by the IATTC Convention (tunas and other fishes caught by tuna-fishing vessels) in the eastern Pacific Ocean (EPO). The most important of these are the scombrids (Family Scombridae), which include tunas, bonitos, seerfishes, and mackerels. The principal species of tunas caught are yellowfin, skipjack, bigeye, and albacore, with lesser catches of Pacific bluefin, black skipjack, and frigate and bullet tunas; other scombrids, such as bonitos and wahoo, are also caught.

This section also covers other species caught by tuna-fishing vessels in the EPO: billfishes (swordfish, marlins, shortbill spearfish, and sailfish) carangids (yellowtail, rainbow runner, and jack mackerel), dorado, elasmobranchs (sharks, rays, and skates), and other fishes.

Most of the catches are made by the purse-seine and longline fleets; the pole-and-line fleet and various artisanal and recreational fisheries account for a small percentage of the total catches.

Detailed data are available for the purse-seine and pole-and-line fisheries; the data for the longline, artisanal, and recreational fisheries are incomplete.

The IATTC [Regional Vessel Register](#) contains details of vessels authorized to fish for tunas in the EPO. The IATTC has detailed records of most of the purse-seine and pole-and-line vessels that fish for yellowfin, skipjack, bigeye, and/or Pacific bluefin tuna in the EPO. The Register is incomplete for small vessels. It contains records for most large (overall length >24 m) longline vessels that fish in the EPO and in other areas.

The data in this report are derived from various sources, including vessel logbooks, observer data, unloading records provided by canners and other processors, export and import records, reports from governments and other entities, and estimates derived from the species and size composition sampling program.

1. CATCHES AND LANDINGS OF TUNAS, BILLFISHES, AND ASSOCIATED SPECIES

Estimating the total catch of a species of fish is difficult, for various reasons. Some fish are discarded at sea, and the data for some gear types are incomplete. Data for fish discarded at sea by purse-seine vessels with carrying capacities greater than 363 metric tons (t) have been collected by observers since 1993, which allows for better estimation of the total amounts of fish caught by the purse-seine fleet. Estimates of the total amount of the catch that is landed (hereafter referred to as the retained catch) are based principally on data from unloadings. Beginning with [Fishery Status Report 3](#), which reports on the fishery in 2004, the unloading data for purse-seine and pole-and-line vessels have been adjusted, based on the species composition estimates for yellowfin, skipjack, and bigeye tunas. The current species composition sampling program, described in Section 1.3.1, began in 2000, so the catch data for 2000–2011 are adjusted, based on estimates by flag for each year. The catch data for the previous years were adjusted by applying the average ratio by species from the 2000–2004 estimates, by flag, and summing over all flags. This has tended to increase the estimated catches of bigeye and decrease those of yellowfin

and/or skipjack. These adjustments are all preliminary, and may be improved in the future. All of the purse-seine and pole-and-line data for 2011 are preliminary.

Data on the retained catches of most of the larger longline vessels are obtained from the governments of the nations that fish for tunas in the EPO. Longline vessels, particularly the larger ones, direct their effort primarily at bigeye, yellowfin, albacore, or swordfish. Data from smaller longliners, artisanal vessels, and other vessels that fish for tunas, billfishes, dorado, and sharks in the EPO were gathered either directly from the governments, from logbooks, or from reports published by the governments. Data for the western and central Pacific Ocean (WCPO) were provided by the Ocean Fisheries Programme of the Secretariat of the Pacific Community (SPC). All data for catches in the EPO by longlines and other gears for 2010 and 2011 are preliminary.

The data from all of the above sources are compiled in a database by the IATTC staff and summarized in this report. In recent years, the IATTC staff has increased its effort toward compiling data on the catches of tunas, billfishes, and other species caught by other gear types, such as trollers, harpooners, gillnetters, and recreational vessels. The estimated total catches from all sources mentioned above of yellowfin, skipjack, and bigeye in the entire Pacific Ocean are shown in Table A-1, and are discussed further in the sections below.

Estimates of the annual retained and discarded catches of tunas and other species taken by tuna-fishing vessels in the EPO during 1982-2011 are shown in Tables A-2a-c. The catches of yellowfin, bigeye, and skipjack tunas, by gear and flag, during 1982-2011 are shown in Tables A-3a-e, and the purse-seine and pole-and-line catches of tunas and bonitos during 2010-2011 are summarized by flag in Table A-4. There were no restrictions on fishing for tunas in the EPO during 1988-1997, but the catches of most species have been affected by restrictions on fishing during some or all of the last six months of 1998-2011. Furthermore, regulations placed on purse-seine vessels directing their effort at tunas associated with dolphins have affected the way these vessels operate, especially since the late 1980s, as discussed in Section 3.

The catches have also been affected by climate perturbations, such as the major El Niño events that occurred during 1982-1983 and 1997-1998. These events made the fish less vulnerable to capture by purse seiners due to the greater depth of the thermocline, but had no apparent effect on the longline catches. Yellowfin recruitment tends to be greater after an El Niño event.

1.1. Catches by species

1.1.1. Yellowfin tuna

The annual catches of yellowfin during 1982-2011 are shown in Table A-1. Overall, the catches in both the EPO and WCPO have increased during this period. In the EPO, the El Niño event of 1982-1983 led to a reduction in the catches in those years, whereas the catches in the WCPO were apparently not affected. Although the El Niño episode of 1997-1998 was greater in scope, it did not have the same effect on the yellowfin catches in the EPO. The catch of yellowfin in the EPO, in 2002, 443 thousand t, was the greatest on record, but during 2004-2009 it decreased substantially, and the catch during 2011, 203 thousand t, was greater than the catches during 2006-2008, but less than the catches during 1996-2005. In the WCPO, the catches of yellowfin reached 341 thousand t in 1990, peaked at 425 thousand t in 1998, and remained high through 2001 (405 thousand t); increased to 417 thousand t in 2003, and fell to 384 thousand t in 2004, increased to 539 thousand t in 2008, and fell again in 2009, to 416 thousand t.

The annual retained catches of yellowfin in the EPO by purse-seine and pole-and-line vessels during 1982-2011 are shown in Table A-2a. The average annual retained catch during 1996-2010 was 269 thousand t (range: 167 to 413 thousand t). The preliminary estimate of the retained catch in 2011, 203 thousand t, was 19% less than that of 2010, and 25% less than the average for 1996-2010. The average amount of yellowfin discarded at sea during 1996-2010 was about 1% of the total purse-seine catch (retained catch plus discards) of yellowfin (range: 1 to 3%) (Table A-2a).

The annual retained catches of yellowfin in the EPO by longliners during 1982-2011 are shown in Table A-2a. During 1996-2010 they remained relatively stable, averaging about 16 thousand t (range: 6 to 30 thousand t), or about 5% of the total retained catches of yellowfin. Yellowfin are also caught by recreational vessels, as incidental catch in gillnets, and by artisanal fisheries. Estimates of these catches are shown in Table A-2a, under “Other gears” (OTR); during 1996-2010 they averaged about 1 thousand t.

1.1.2. Skipjack tuna

The annual catches of skipjack during 1982-2011 are shown in Table A-1. Most of the skipjack catch in the Pacific Ocean is taken in the WCPO. The greatest reported catch in the WCPO, about 1.8 million t, occurred in 2009, and the greatest total catch in the EPO, 310 thousand t, occurred in 2006.

The annual retained catches of skipjack in the EPO by purse-seine and pole-and-line vessels during 1982-2011 are shown in Table A-2a. During 1996-2010 the annual retained catch averaged 206 thousand t (range 107 to 297 thousand t). The preliminary estimate of the retained catch in 2011, 270 thousand t, is 31% greater than the average for 1996-2010, and 9% less than the previous record-high retained catch of 2006. The average amount of skipjack discarded at sea during 1996-2010 was about 8% of the total catch of skipjack (range: 2 to 19%) (Table A-2a).

Small amounts of skipjack are caught with longlines and other gears (Table A-2a).

1.1.3. Bigeye tuna

The annual catches of bigeye during 1982-2011 are shown in Table A-1. Overall, the catches in both the EPO and WCPO have increased, but with considerable fluctuations. The catches in the EPO reached 105 thousand t in 1986, and have fluctuated between about 73 and 149 thousand t since then, with the greatest catch in 2000. In the WCPO the catches of bigeye increased to more than 77 thousand t during the late 1970s, decreased during the 1980s, and then increased, with lesser fluctuations, until 1999, when the catches reached more than 112 thousand t. They increased significantly in 2006, to 125 thousand t, and in 2007, 2008 and 2009 they were 118, 132, and 121 thousand t, respectively.

Prior to 1994, the average annual retained catch of bigeye taken by purse-seine vessels in the EPO was about 8 thousand t (Table A-2a). Following the development of fish-aggregating devices (FADs), placed in the water by fishermen to aggregate tunas, the annual retained catches of bigeye increased from 35 thousand t in 1994 to between 44 and 95 thousand t during 1996-2010. A preliminary estimate of the retained catch in the EPO in 2011 is 58 thousand t. The average amount of bigeye discarded at sea during 1996-2010 was about 4% of the purse-seine catch of the species (range: 1 to 9%). Small amounts of bigeye have been caught in some years by pole-and-line vessels, as shown in Table A-2a.

During 1982-1995, prior to the increased use of FADs and the resulting greater catches of bigeye by purse-seine vessels, the longline catches of bigeye in the EPO ranged from 46 to 104 thousand t (average: 76 thousand t) about 88%, on average, of the retained catches of this species from the EPO. During 1996-2010 the annual retained catches of bigeye by the longline fisheries ranged from about 26 to 74 thousand t (average: 45 thousand t), an average of 40% of the total catch of bigeye in the EPO (Table A-2a). The preliminary estimate of the longline catch in the EPO in 2011 is 25 thousand t (Table A-2a).

Small amounts of bigeye are caught by other gears, as shown in Table A-2a.

1.1.4. Bluefin tuna

The catches of Pacific bluefin in the entire Pacific Ocean, by flag and gear, are shown in Table A-5. The data, which were obtained from the International Scientific Committee for Tuna and Tuna-like Species in the North Pacific Ocean (ISC), are reported by fishing nation or entity, regardless of the area of the Pacific Ocean in which the fish were caught.

The catches of Pacific bluefin in the EPO during 1982-2011, by gear, are shown in Table A-2a. During 1996-2010 the annual retained catch of bluefin from the EPO by purse-seine and pole-and-line vessels averaged 4.6 thousand t (range 1.2 to 9.9 thousand t). The preliminary estimate of the retained catch of

bluefin in 2011, 2.7 thousand t, is 1.9 thousand t less than the average for 1996-2010. Small amounts of bluefin are discarded at sea by purse-seine vessels (Table A-2a).

1.1.5. Albacore tuna

The catches of albacore in the entire Pacific Ocean, by gear and area (north and south of the equator) are shown in Table A-6a-b. The catches of albacore in the EPO, by gear, are shown in Table A-2a. A significant portion of the albacore catch is taken by troll gear, included under “Other gears” (OTR) in Table A-2a. The catch data were obtained from IATTC data for the EPO and from data compiled by the SPC for the WCPO.

1.1.6. Other tunas and tuna-like species

While yellowfin, skipjack, and bigeye tunas comprise the most significant portion of the retained catches of the purse-seine and pole-and-line fleets in the EPO, other tunas and tuna-like species, such as black skipjack, bonito, wahoo, and frigate and bullet tunas, contribute to the overall harvest in this area. The estimated annual retained and discarded catches of these species during 1982-2011 are presented in Table A-2a. The catches reported in the unidentified tunas category (TUN) in Table A-2a contain some catches reported by species (frigate or bullet tunas) along with the unidentified tunas. The total retained catch of these other species by these fisheries was about 10 thousand t in 2011, which is greater than the 1996-2010 annual average retained catch of about 5 thousand t (range: 500 t to 19 thousand t).

Black skipjack are also caught by other gears in the EPO, mostly by coastal artisanal fisheries. Bonitos are also caught by artisanal fisheries, and have been reported as catch by longline vessels in some years.

1.1.7. Billfishes

Catch data for billfishes (swordfish, blue marlin, black marlin, striped marlin, shortbill spearfish, and sailfish) are shown in Table A-2b.

In general, dolphins, sea turtles, whale sharks, and small fish are the only animals captured in the purse-seine fishery that are released alive. In previous versions of this report, all billfishes caught in that fishery were classified as discarded dead. When most of the individuals of species caught incidentally are discarded, the difference between catches and discards is not significant for those species, but as the rate of retention of species formerly discarded increases, part of the bycatch becomes catch, and the distinction becomes important. As a result of a review in 2010, this has been clarified in Table A-2b with the addition of a column for retained catch next to the column for discards.

Swordfish are caught in the EPO with large-scale and artisanal longline gear, gillnets, harpoons, and occasionally with recreational gear. The average annual longline catch of swordfish during 1996-2010 was 12 thousand t, but during 2001-2004 was about 17 thousand t. It is not clear whether this is due to increased abundance of swordfish or increased effort directed toward that species.

Other billfishes are caught with large-scale and artisanal longline gear and recreational gear. The average annual longline catches of blue marlin and striped marlin during 1996-2010 were about 3 thousand and 2 thousand t, respectively. Smaller amounts of other billfishes are taken by longline.

Unfortunately, little information is available on the recreational catches of billfishes, but they are believed to be substantially less than the commercial catches for all species.

Small amounts of billfishes are caught by purse seiners, some are retained, and others are considered to be discarded although some may be landed but not reported. These data are also included in Table A-2b.

1.1.8. Other species

Data on the catches and discards of carangids (yellowtail, rainbow runner, and jack mackerel), dorado, elasmobranchs (sharks, rays, and skates), and other fishes caught in the EPO are shown in Table A-2c.

Bycatches of other species in the purse-seine fishery are reported in Table A-2c as either retained or discarded.

A revision was made to the allocation of catches into those categories as a result of a review in 2010.

Dorado are unloaded mainly in ports in South and Central America. Although the catches are greater than 10 thousand t in some years, the gear types used are often not reported.

1.2. Distributions of the catches of tunas

1.2.1. Purse-seine catches

The average annual distributions of the purse-seine catches of yellowfin, skipjack, and bigeye, by set type, in the EPO during 2006-2010, are shown in Figures A-1a, A-2a, and A-3a, and preliminary estimates for 2011 are shown in Figures A-1b, A-2b, and A-3b. The majority of the yellowfin catches in 2011 were taken from the areas north of 5°N and east of 140°W. Catches of yellowfin on dolphins were greater in the inshore areas off Southern Mexico. Yellowfin catches on floating objects and unassociated schools in 2011 were similar to the average annual distributions for 2006-2010, while sets on dolphins in the area from 0° to 5°S decreased slightly. Skipjack catches in 2011 were lower in the inshore areas off Ecuador, but greater in the offshore equatorial areas around the Galapagos Islands. Skipjack catches between 10°S and 20°S were also somewhat higher in 2011 as compared to the average annual distributions for 2006-2010. Catch distributions of bigeye in 2011 were very similar to the average distribution of catches for 2006-2010.

Bigeye are not often caught north of about 7°N, and the catches of bigeye have decreased in the inshore areas off South America for several years. With the development of the fishery for tunas associated with FADs, the relative importance of the inshore areas has decreased, while that of the offshore areas has increased. Most of the bigeye catches are taken in sets on FADs between 5°N and 5°S.

1.2.2. Longline catches

Data on the spatial and temporal distributions of the catches in the EPO by the distant-water longline fleets of China, Chinese Taipei, French Polynesia, Japan, the Republic of Korea, Spain, the United States, and Vanuatu are maintained in databases of the IATTC. Bigeye and yellowfin tunas make up the majority of the catches by most of these vessels. The distributions of the catches of bigeye and yellowfin tunas in the Pacific Ocean by Japanese, Korean, and Chinese Taipei longline vessels during 2006-2010 are shown in Figure A-4. Data for the Japanese longline fishery in the EPO during 1956-2003 are available in IATTC Bulletins describing that fishery.

1.3. Size compositions of the catches of tunas

1.3.1. Purse-seine, pole-and-line, and recreational fisheries

Length-frequency samples are the basic source of data used for estimating the size and age compositions of the various species of fish in the landings. This information is necessary to obtain age-structured estimates of the populations for various purposes, including the integrated modeling that the staff has employed during the last several years. The results of such studies have been described in several IATTC Bulletins, in its Annual Reports for 1954-2002, and in its Stock Assessment Reports.

Length-frequency samples of yellowfin, skipjack, bigeye, Pacific bluefin, and, occasionally, black skipjack from the catches of purse-seine, pole-and-line, and recreational vessels in the EPO are collected by IATTC personnel at ports of landing in Ecuador, Mexico, Panama, the USA, and Venezuela. The catches of yellowfin and skipjack were first sampled in 1954, bluefin in 1973, and bigeye in 1975. Sampling has continued to the present.

The methods for sampling the catches of tunas are described in the [IATTC Annual Report for 2000](#) and in [IATTC Stock Assessment Reports 2](#) and [4](#). Briefly, the fish in a well of a purse-seine or pole-and-line vessel are selected for sampling only if all the fish in the well were caught during the same calendar month, in the same type of set (floating-object, unassociated school, or dolphin), and in the same sampling area. These data are then categorized by fishery (Figure A-5), based on the staff's most recent stock assessments.

Data for fish caught during the 2006-2011 period are presented in this report. Two sets of length-frequency histograms are presented for each species, except bluefin and black skipjack; the first shows the data by stratum (gear type, set type, and area) for 2011, and the second shows the combined data for each year of the 2006-2011 period. For bluefin, the histograms show the 2006-2011 catches by commercial and recreational gear combined. For black skipjack, the histograms show the 2006-2011 catches by commercial gear. Only a small amount of catch was taken by pole-and-line vessels in 2011, and no samples were obtained from these vessels.

For stock assessments of yellowfin, nine purse-seine fisheries (four associated with floating objects, three associated with dolphins, and two unassociated) and one pole-and-line fishery are defined (Figure A-5). The last fishery includes all 13 sampling areas. Of the 859 wells sampled, 582 contained yellowfin. The estimated size compositions of the fish caught during 2011 are shown in Figure A-6a. The majority of the yellowfin catch was taken in sets associated with dolphins and in unassociated sets. Most of the larger yellowfin (>100 cm) were caught throughout the year in the Northern and Inshore dolphin fishery, with smaller amounts taken throughout the year in the Southern dolphin fishery. Smaller amounts of large yellowfin were also taken in the Northern unassociated fishery, primarily in the first and second quarters, and in the Southern unassociated fishery during the first and fourth quarters. Smaller yellowfin (<100 cm) were caught primarily in the Northern and Inshore dolphin areas throughout the year, and in the Northern unassociated area during the first and second quarters. Lesser amounts of small yellowfin were caught in the floating-object fisheries, primarily in the first and second quarters.

The estimated size compositions of the yellowfin caught by all fisheries combined during 2006-2011 are shown in Figure A-6b. The average weight of the yellowfin caught in 2011 (10.8 kg) was greater than that of 2010, but less than that of 2009.

For stock assessments of skipjack, seven purse-seine fisheries (four associated with floating objects, two unassociated, one associated with dolphins) and one pole-and-line fishery are defined (Figure A-5). The last two fisheries include all 13 sampling areas. Of the 859 wells sampled, 510 contained skipjack. The estimated size compositions of the fish caught during 2011 are shown in Figure A-7a. Large amounts of skipjack in the 40- to 50-cm size range were caught in the Southern unassociated fishery during the first and second quarters, and in the floating object areas primarily in the first, second, and third quarters. Larger skipjack in the 60- to 70-cm size range were taken in the Southern unassociated fishery during the third and fourth quarters, and in the Northern and Equatorial floating object fishery during the second , third and fourth quarters.

The estimated size compositions of the skipjack caught by all fisheries combined during 2006-2011 are shown in Figure A-7b. The average weight of skipjack in 2011 (2.4 kg) was greater than those of the previous five years.

For stock assessments of bigeye, six purse-seine fisheries (four associated with floating objects, one unassociated, one associated with dolphins) and one pole-and-line fishery are defined (Figure A-5). The last three fisheries include all 13 sampling areas. Of the 858 wells sampled, 138 contained bigeye. The estimated size compositions of the fish caught during 2011 are shown in Figure A-8a. In 2000 the majority of the catch was taken in floating-object sets in the Equatorial area, whereas from 2001 to 2003 the majority of the bigeye catch was taken in sets on floating objects in the Southern area. In 2011, large amounts of bigeye were taken in the Northern, Equatorial, and Southern floating-object fisheries. Smaller amounts of bigeye were taken in the unassociated fishery, primarily in the fourth quarter. Larger bigeye (>100 cm) were caught in all of the floating-object fisheries, primarily in the first and second quarters. Smaller bigeye in the 40- to 80-cm size range were caught in the Northern, Equatorial, and Southern floating-object fisheries during the second, third, and fourth quarters.

The estimated size compositions of the bigeye caught by all fisheries combined during 2006-2011 are shown in Figure A-8b. The average weight of bigeye in 2011 (7.9 kg) was greater than those of the previous five years.

Pacific bluefin are caught by purse-seine and recreational gear off California and Baja California from about 23°N to 35°N, with most of the catch being taken during May through October. During 2011 bluefin were caught between 26°N and 32°N from June through September. The majority of the catches of bluefin by both commercial and recreational vessels were taken during July and August. Prior to 2004, the sizes of the fish in the commercial and recreational catches have been reported separately. During 2004-2011, however, small sample sizes made it infeasible to estimate the size compositions separately. Therefore, the sizes of the fish in the commercial and recreational catches of bluefin were combined for each year of the 2004-2011 period. The average weight of the fish caught during 2011 was slightly less than that of 2010. The estimated size compositions are shown in Figure A-9.

Black skipjack are caught incidentally by fishermen who direct their effort toward yellowfin, skipjack, and bigeye tuna. The demand for this species is low, so most of the catches are discarded at sea, but small amounts, mixed with the more desirable species, are sometimes retained. Eighteen samples of black skipjack were taken in 2011. The estimated size compositions for each year of the 2006-2011 period are shown in Figure A-10.

1.3.2. Longline fishery

The estimated size compositions of the catches of yellowfin and bigeye by the Japanese longline fishery in the EPO during 2005-2009 are shown in Figures A-11 and A-12. The average weight of yellowfin in 2009 (43.5 kg) was considerably greater than those of 2008 (38.2 kg), but that of bigeye fell from 47.1 kg in 2008 to 43.1 kg in 2009. Information on the size compositions of fish caught by the Japanese longline fishery in the EPO during 1958-2003 is available in IATTC Bulletins describing that fishery.

1.4. Catches of tunas and bonitos, by flag and gear

The annual retained catches of tunas and bonitos in the EPO during 1982-2011, by flag and gear, are shown in Tables A-3a-e. These tables include all of the known catches of tunas and bonitos compiled from various sources, including vessel logbooks, observer data, unloading records provided by canners and other processors, export and import records, estimates derived from the species and size composition sampling program, reports from governments and other entities, and estimates derived from the species-and size-composition sampling program. Similar information on tunas and bonitos prior to 2001, and historical data for tunas, billfishes, sharks, carangids, dorado, and miscellaneous fishes are available on the [IATTC website](#). The purse-seine and pole-and-line catches of tunas and bonitos in 2010 and 2011, by flag, are summarized in Table A-4. Of the 552 thousand t of tunas and bonitos caught in 2011, 38% were caught by Ecuadorian vessels, and 23% by Mexican vessels. Other countries with significant catches of tunas and bonitos in the EPO included Panama (10%), Venezuela (8%), and Colombia (8%).

2. FISHING EFFORT

2.1. Purse seine

Estimates of the numbers of purse-seine sets of each type (associated with dolphins, associated with floating objects, and unassociated) in the EPO during the 1996-2011 period, and the retained catches of these sets, are shown in Table A-7 and in Figure 1. The estimates for vessels ≤ 363 t carrying capacity were calculated from logbook data in the IATTC statistical data base, and those for vessels > 363 t carrying capacity were calculated from the observer data bases of the IATTC, Colombia, Ecuador, the European Union, Mexico, Nicaragua, Panama, the United States, and Venezuela. The greatest numbers of sets associated with floating objects and unassociated sets were made from the mid-1970s to the early 1980s. Despite opposition to fishing for tunas associated with dolphins and the refusal of U.S. canners to accept tunas caught during trips during which sets were made on dolphin-associated fish, the numbers of sets associated with dolphins decreased only moderately during the mid-1990s, and in 2003 were the greatest recorded.

There are two types of floating objects, flotsam and FADs. The occurrence of the former is unplanned from the point of view of the fishermen, whereas the latter are constructed by fishermen specifically for the purpose of attracting fish. FADs have been widely used for about 15 years, and their relative importance has increased during this period, while that of flotsam has decreased, as shown by the data in Table A-8.

2.2. Longline

The reported nominal fishing effort (in thousands of hooks) by longline vessels in the EPO, and their catches of the predominant tuna species, are shown in Table A-9.

3. THE FLEETS

3.1. The purse-seine and pole-and-line fleets

The IATTC staff maintains detailed records of gear, flag, and fish-carrying capacity for most of the vessels that fish with purse-seine or pole-and-line gear for yellowfin, skipjack, bigeye, and/or Pacific bluefin tuna in the EPO. The fleet described here includes purse-seine and pole-and-line vessels that have fished all or part of the year in the EPO for any of these four species.

Historically, the owner's or builder's estimates of carrying capacities of individual vessels, in tons of fish, were used until landing records indicated that revision of these estimates was required.

Since 2000, the IATTC has used well volume, in cubic meters (m^3), instead of weight, in metric tons (t), to measure the carrying capacities of the vessels. Since a well can be loaded with different densities of fish, measuring carrying capacity in weight is subjective, as a load of fish packed into a well at a higher density weighs more than a load of fish packed at a lower density. Using volume as a measure of capacity eliminates this problem.

The IATTC staff began collecting capacity data by volume in 1999, but has not yet obtained this information for all vessels. For vessels for which reliable information on well volume is not available, the estimated capacity in metric tons was converted to cubic meters.

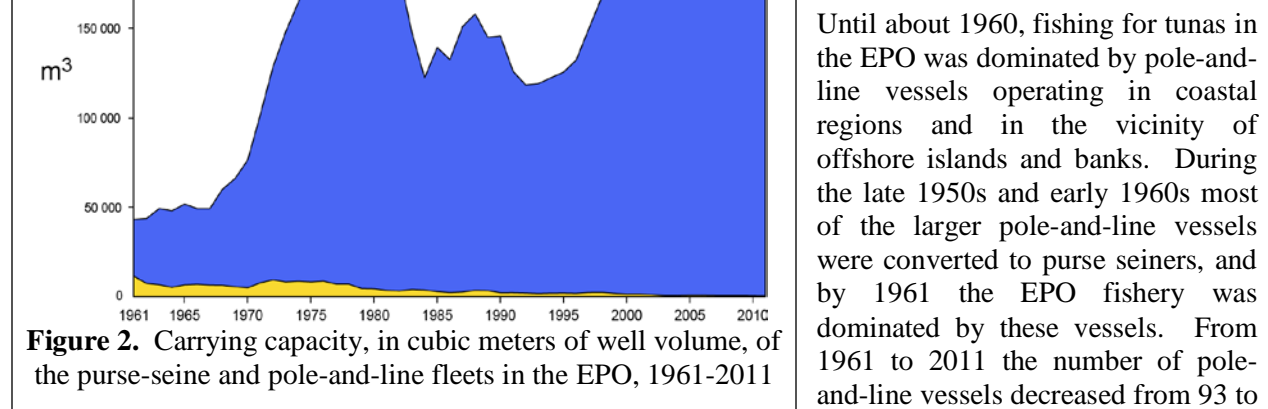
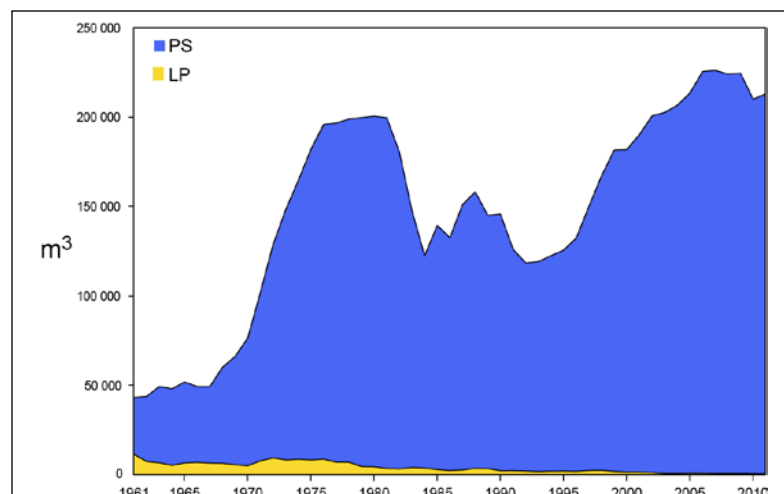


Figure 2. Carrying capacity, in cubic meters of well volume, of the purse-seine and pole-and-line fleets in the EPO, 1961-2011



Until about 1960, fishing for tunas in the EPO was dominated by pole-and-line vessels operating in coastal regions and in the vicinity of offshore islands and banks. During the late 1950s and early 1960s most of the larger pole-and-line vessels were converted to purse seiners, and by 1961 the EPO fishery was dominated by these vessels. From 1961 to 2011 the number of pole-and-line vessels decreased from 93 to

2, and their total well volume from about 11 thousand to about 143 m³. During the same period the number of purse-seine vessels increased from 125 to 206, and their total well volume from about 32 thousand to about 213 thousand m³, an average of about 1,034 m³ per vessel. An earlier peak in numbers and total well volume of purse seiners occurred from the mid-1970s to the early 1980s, when the number of vessels reached 282 and the total well volume about 195 thousand m³, an average of about 700 m³ per vessel (Table A-10; Figure 2).

The catch rates in the EPO were low during 1978-1981, due to concentration of fishing effort on small fish, and the situation was exacerbated by a major El Niño event, which began in mid-1982 and persisted until late 1983 and made the fish less vulnerable to capture. The total well volume of purse-seine and pole-and-line vessels then declined as vessels were deactivated or left the EPO to fish in other areas, primarily the western Pacific Ocean, and in 1984 it reached its lowest level since 1971, about 119 thousand m³. In early 1990

the U.S. tuna-canning industry adopted a policy of not purchasing tunas caught during trips during which sets on tunas associated with dolphins were made. This caused many U.S.-flag vessels to leave the EPO, with a consequent reduction in the fleet to about 117 thousand m³ in 1992. With increases in participation of vessels of other nations in the fishery, the total well volume has increased steadily since 1992, and in 2011 was 213 thousand m³.

The 2010 and preliminary 2011 data for numbers and total well volumes of purse-seine and pole-and-line vessels that fished for tunas in the EPO are shown in Tables A-11a and A-11b. During 2011, the fleet was dominated by vessels operating under the Ecuadorian and Mexican flags, with about 33% and 22%, respectively, of the total well volume; they were followed by Panama (12%), Venezuela (11%), Colombia (7%), Spain and Nicaragua (5% each), El Salvador (4%), and Guatemala and Vanuatu (2% each).

The cumulative capacity at sea during 2011 is compared to those of the previous five years in Figure 3.

The monthly average, minimum, and maximum total well volumes at sea (VAS), in thousands of cubic meters, of purse-seine and pole-and-line vessels that fished for tunas in the EPO during 2001-2010, and the 2011 values, are shown in Table A-12. The monthly values are averages of the VAS estimated at weekly intervals by the IATTC staff. The fishery was regulated during some or all of the last four months of 1998-2011, so the VAS values for September-December 2011 are not comparable to the average VAS values for those months of 1998-2011. The average VAS values for 2001-2010 and 2011 were 132 thousand m³ (62% of total capacity) and 125 thousand m³ (59% of total capacity), respectively.

3.2. Other fleets of the EPO

Information on other types of vessels that fish for tunas in the EPO is available on the IATTC's Regional Vessel Register, on the [IATTC website](#). The Register is incomplete for small vessels. In some cases, particularly for large longline vessels, the Register contains information for vessels authorized to fish not only in the EPO, but also in other oceans, and which may not have fished in the EPO during 2011, or ever.

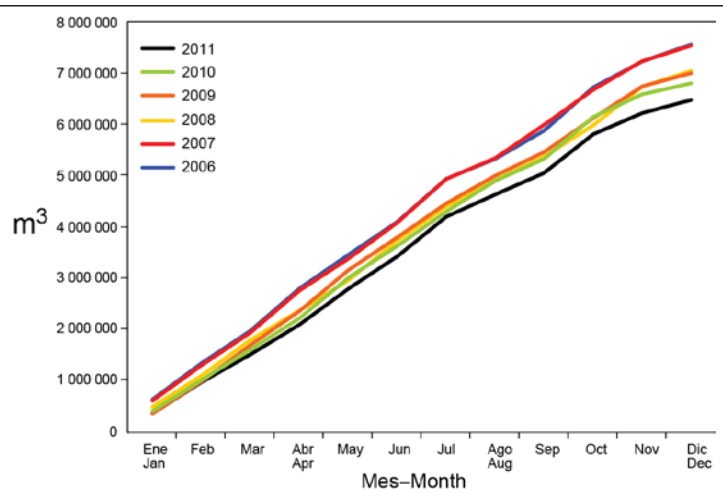


Figure 3. Cumulative capacity of the purse-seine and pole-and-line fleet at sea, by month, 2006-2011

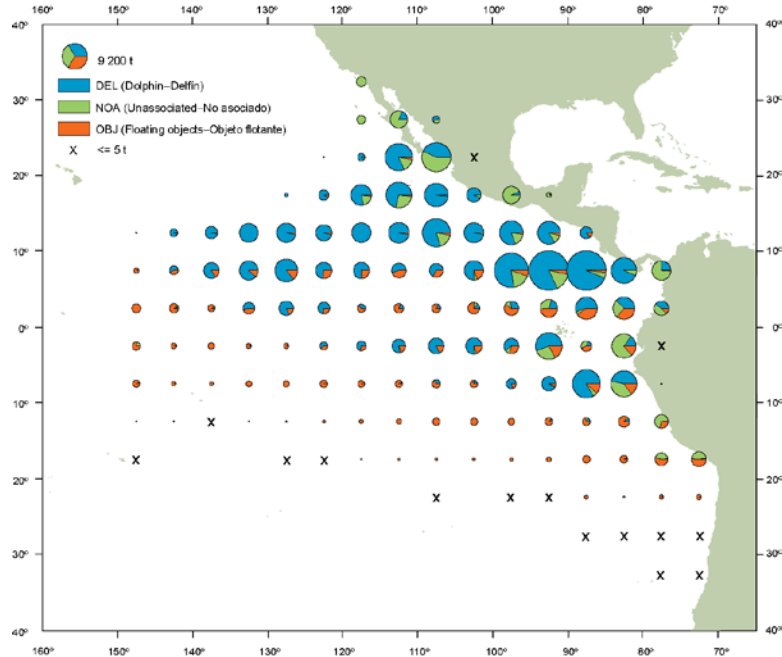


FIGURE A-1a. Average annual distributions of the purse-seine catches of yellowfin, by set type, 2006-2010. The sizes of the circles are proportional to the amounts of yellowfin caught in those 5° by 5° areas.

FIGURA A-1a. Distribución media anual de las capturas cerqueras de aleta amarilla, por tipo de lance, 2006-2010. El tamaño de cada círculo es proporcional a la cantidad de aleta amarilla capturado en la cuadrícula de $5^{\circ} \times 5^{\circ}$ correspondiente.

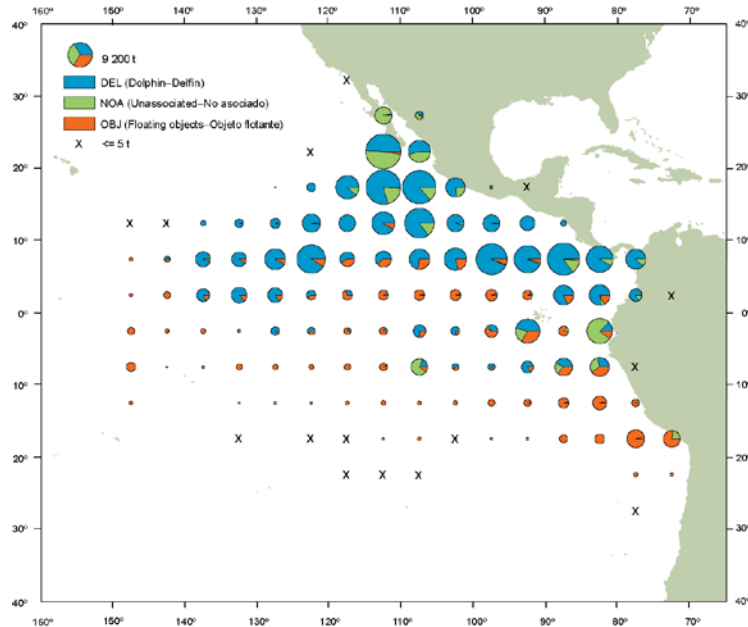


FIGURE A-1b. Annual distributions of the purse-seine catches of yellowfin, by set type, 2011. The sizes of the circles are proportional to the amounts of yellowfin caught in those 5° by 5° areas.

FIGURA A-1b. Distribución anual de las capturas cerqueras de aleta amarilla, por tipo de lance, 2011. El tamaño de cada círculo es proporcional a la cantidad de aleta amarilla capturado en la cuadrícula de $5^{\circ} \times 5^{\circ}$ correspondiente.

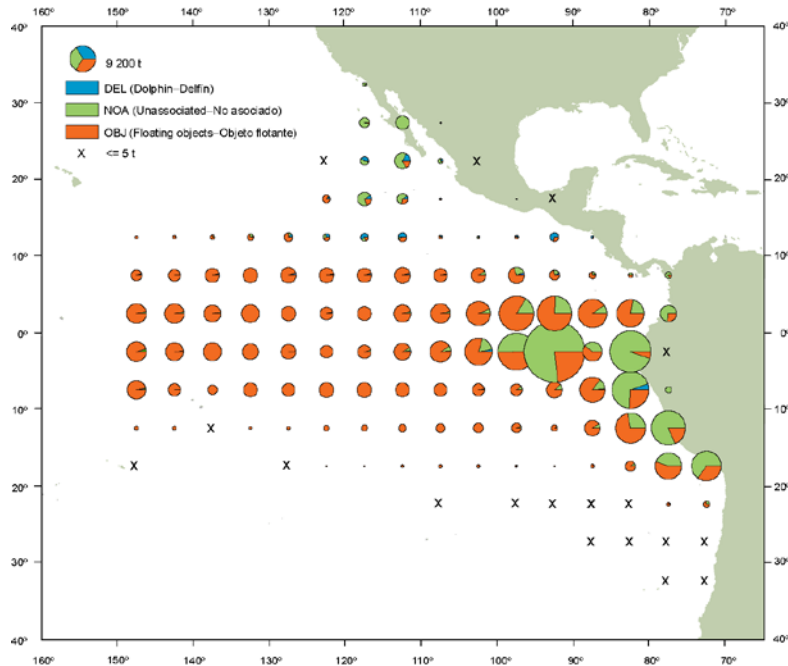


FIGURE A-2a. Average annual distributions of the purse-seine catches of skipjack, by set type, 2006-2010. The sizes of the circles are proportional to the amounts of skipjack caught in those 5° by 5° areas.

FIGURA A-2a. Distribución media anual de las capturas cerqueras de barrilete, por tipo de lance, 2006-2010. El tamaño de cada círculo es proporcional a la cantidad de barrilete capturado en la cuadrícula de $5^{\circ} \times 5^{\circ}$ correspondiente.

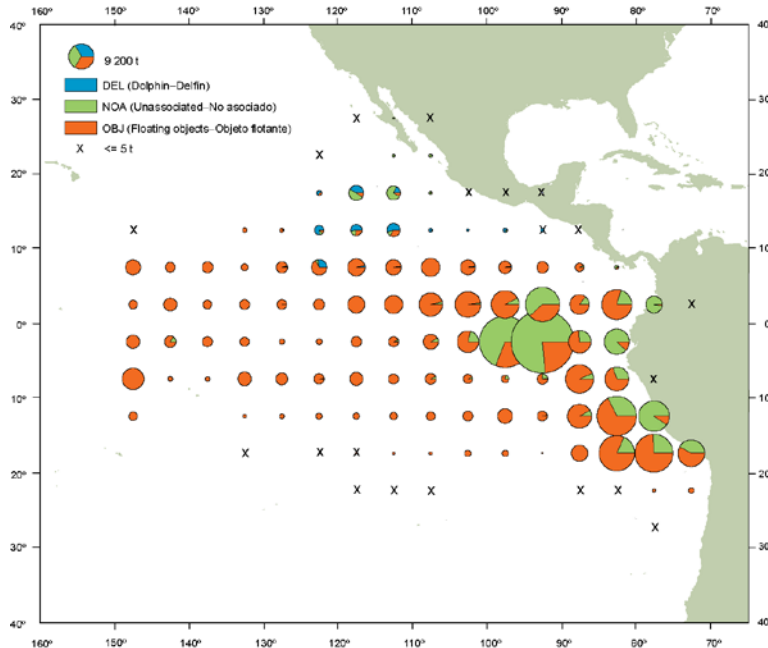


FIGURE A-2b. Annual distributions of the purse-seine catches of skipjack, by set type, 2011. The sizes of the circles are proportional to the amounts of skipjack caught in those 5° by 5° areas.

FIGURA A-2b. Distribución anual de las capturas cerqueras de barrilete, por tipo de lance, 2011. El tamaño de cada círculo es proporcional a la cantidad de barrilete capturado en la cuadrícula de $5^{\circ} \times 5^{\circ}$ correspondiente.

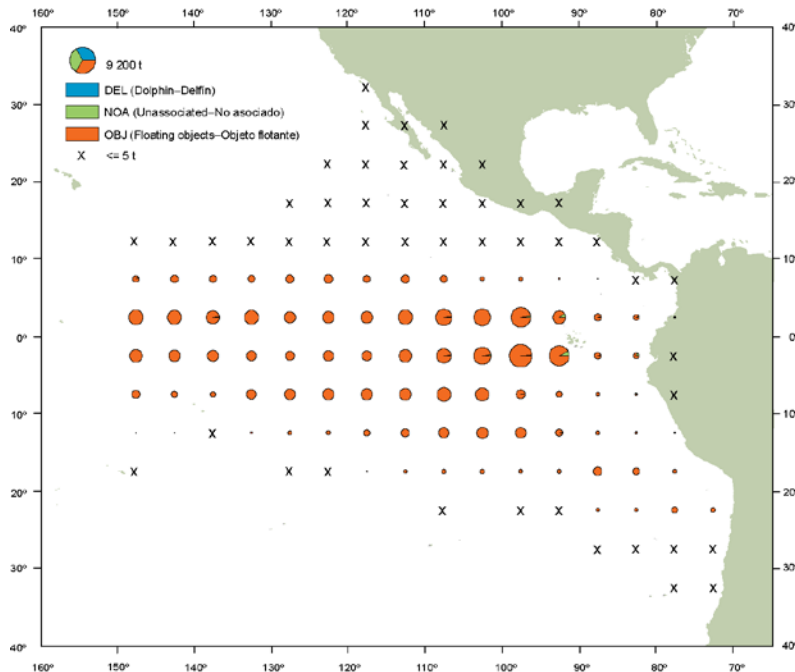


FIGURE A-3a. Average annual distributions of the purse-seine catches of bigeye, by set type, 2006-2010. The sizes of the circles are proportional to the amounts of bigeye caught in those 5° by 5° areas.

FIGURA A-3a. Distribución media anual de las capturas cerqueras de patudo, por tipo de lance, 2006-2010. El tamaño de cada círculo es proporcional a la cantidad de patudo capturado en la cuadrícula de $5^{\circ} \times 5^{\circ}$ correspondiente.

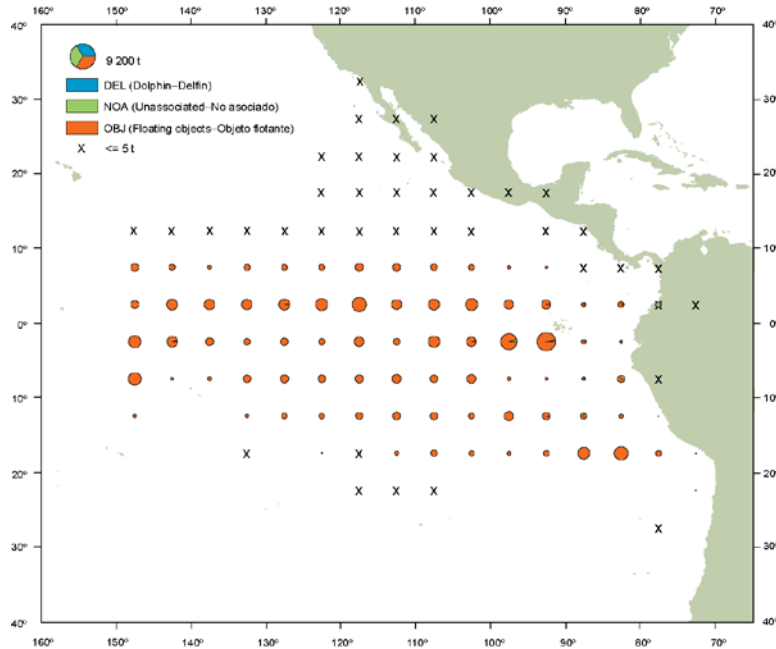


FIGURE A-3b. Annual distributions of the purse-seine catches of bigeye, by set type, 2011. The sizes of the circles are proportional to the amounts of bigeye caught in those 5° by 5° areas.

FIGURA A-3b. Distribución anual de las capturas cerqueras de patudo, por tipo de lance, 2011. El tamaño de cada círculo es proporcional a la cantidad de patudo capturado en la cuadrícula de $5^{\circ} \times 5^{\circ}$ correspondiente.

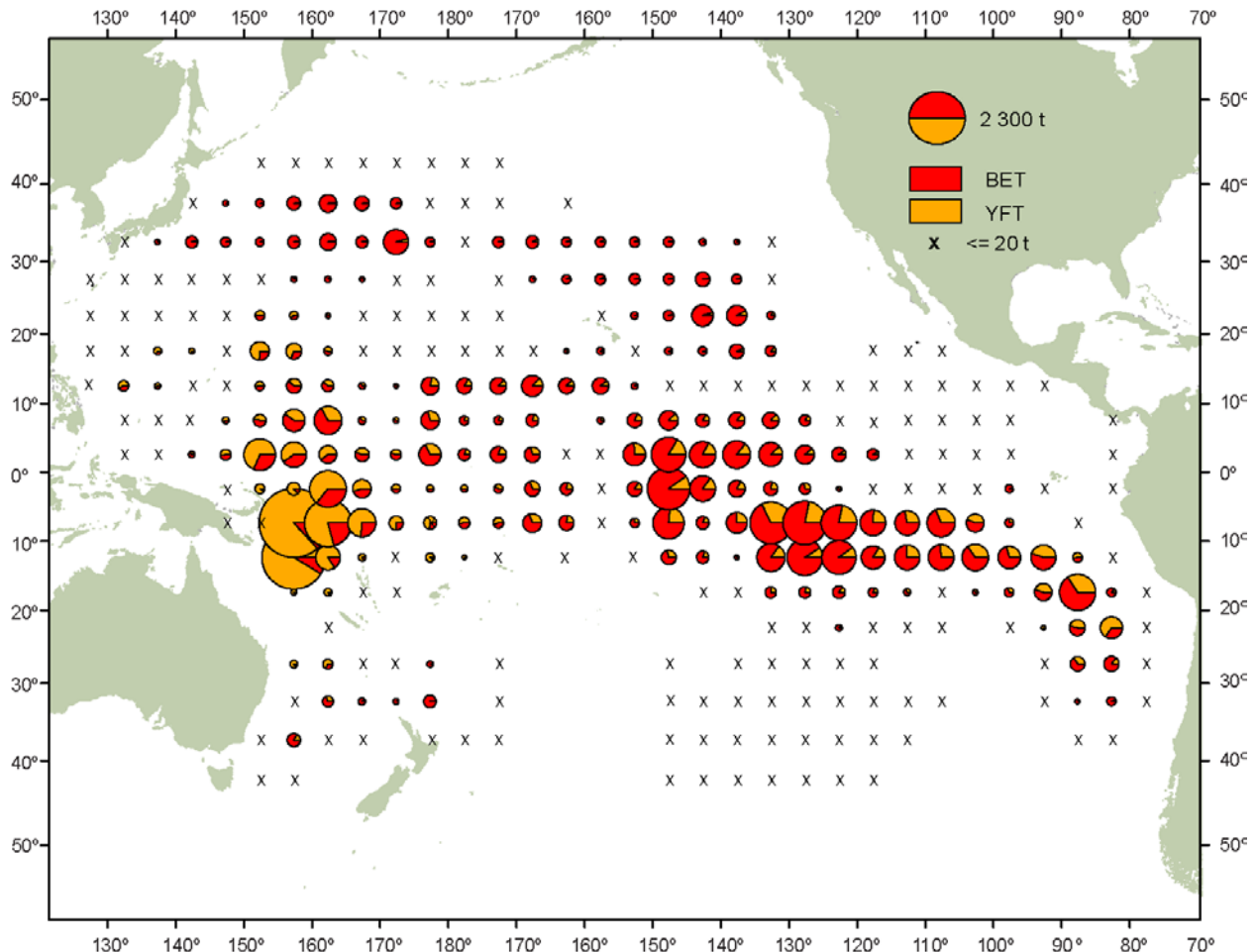


FIGURE A-4. Distributions of the average annual catches of bigeye and yellowfin tunas in the Pacific Ocean, in metric tons, by Chinese Taipei, Japanese and Korean longline vessels, 2006-2010. The sizes of the circles are proportional to the amounts of bigeye and yellowfin caught in those 5° by 5° areas.

FIGURA A-4. Distribución de las capturas anuales medias de atunes patudo y aleta amarilla en el Océano Pacífico, en toneladas métricas, por buques palangreros de Corea, Japón y Taipeí Chino 2006-2010. El tamaño de cada círculo es proporcional a la cantidad de patudo y aleta amarilla capturado en la cuadrícula de 5° x 5° correspondiente.

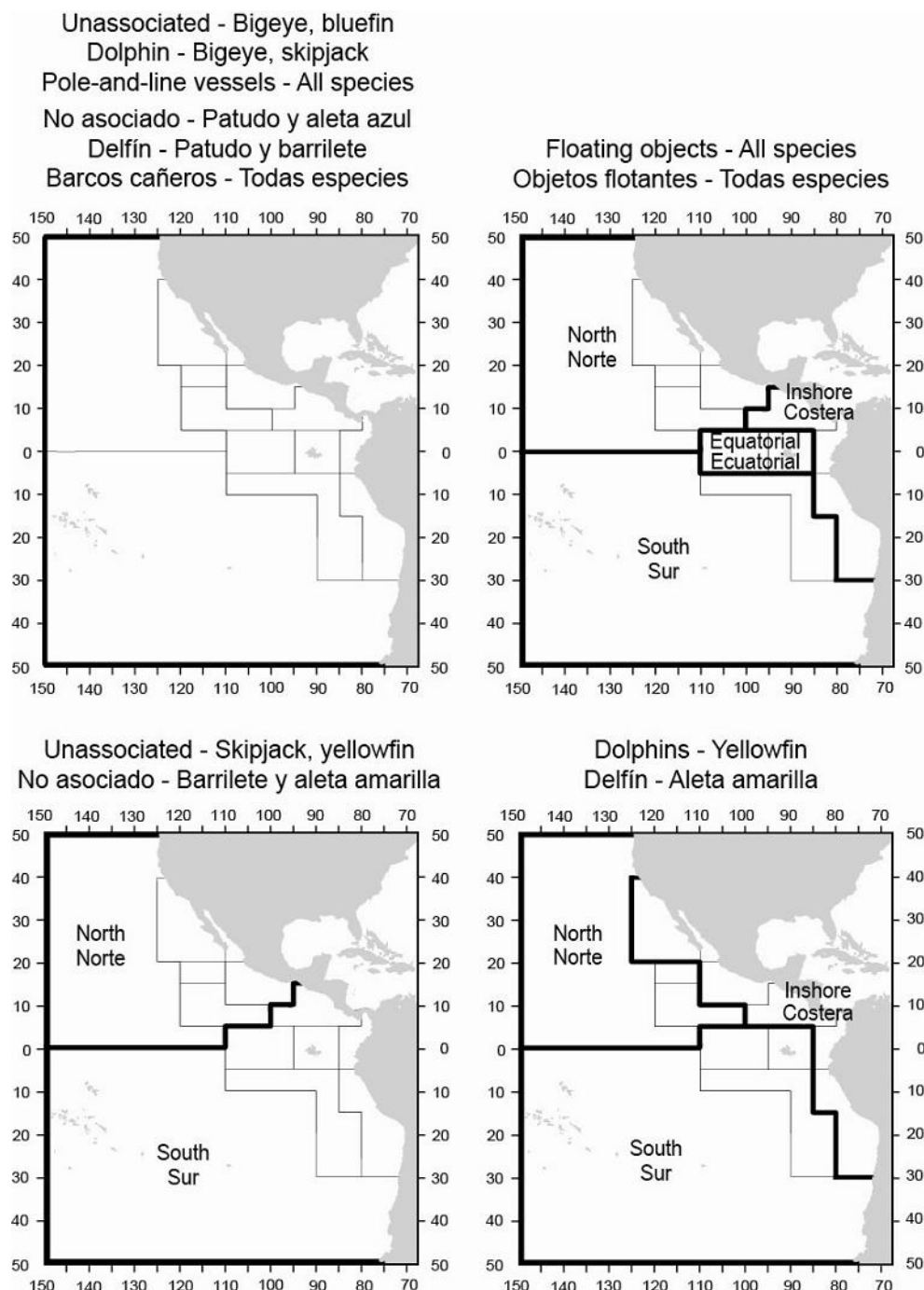


FIGURE A-5. The fisheries defined by the IATTC staff for stock assessment of yellowfin, skipjack, and bigeye in the EPO. The thin lines indicate the boundaries of the 13 length-frequency sampling areas, and the bold lines the boundaries of the fisheries.

FIGURA A-5. Las pesquerías definidas por el personal de la CIAT para la evaluación de las poblaciones de atún aleta amarilla, barrilete, y patudo en el OPO. Las líneas delgadas indican los límites de las 13 zonas de muestreo de frecuencia de tallas, y las líneas gruesas los límites de las pesquerías.

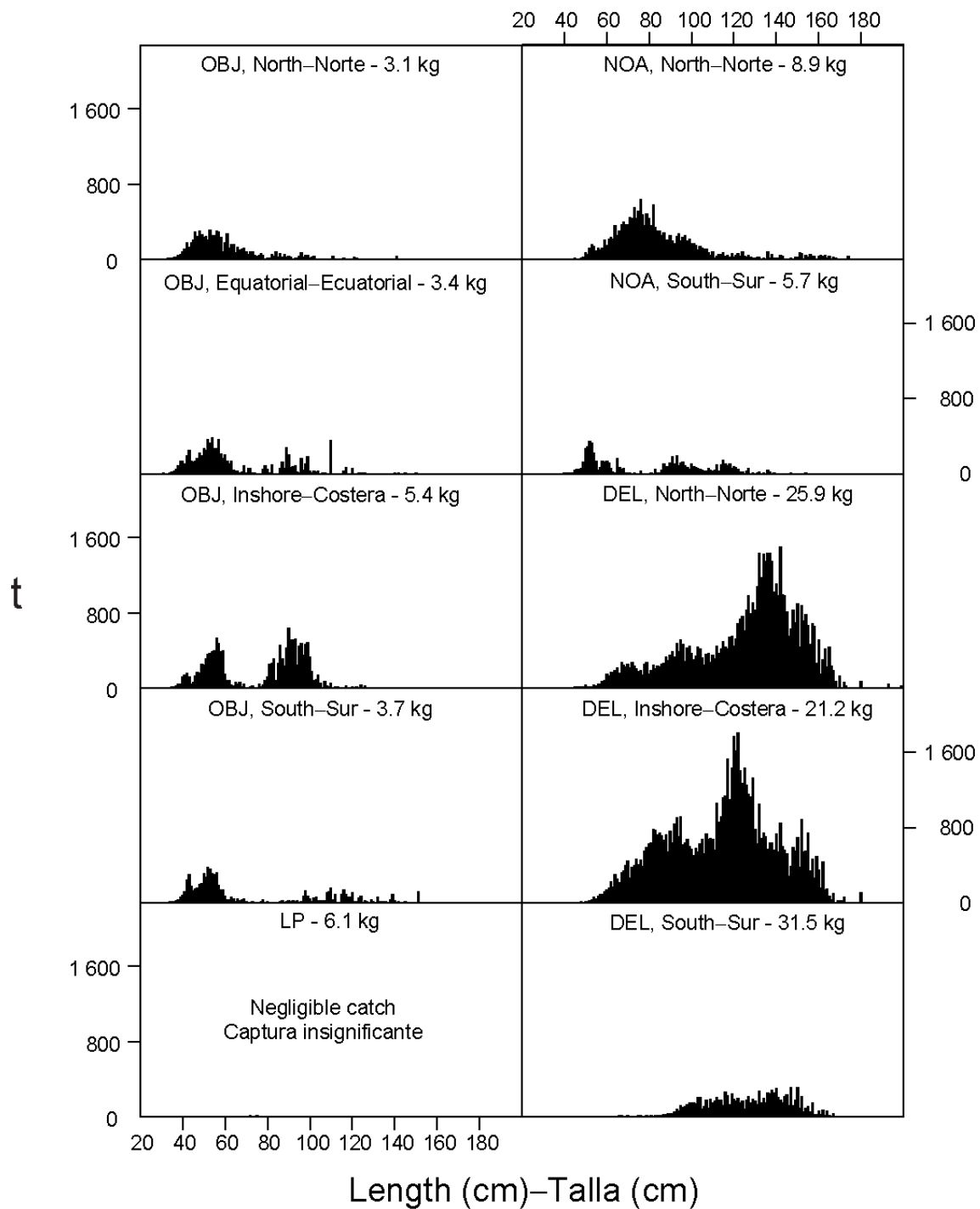


FIGURE A-6a. Estimated size compositions of the yellowfin caught in the EPO during 2011 for each fishery designated in Figure A-5. The average weights of the fish in the samples are given at the tops of the panels.

FIGURA A-6a. Composición por tallas estimada del aleta amarilla capturado en el OPO durante 2011 en cada pesquería ilustrada en la Figura A-5. En cada recuadro se detalla el peso promedio de los peces en las muestras.

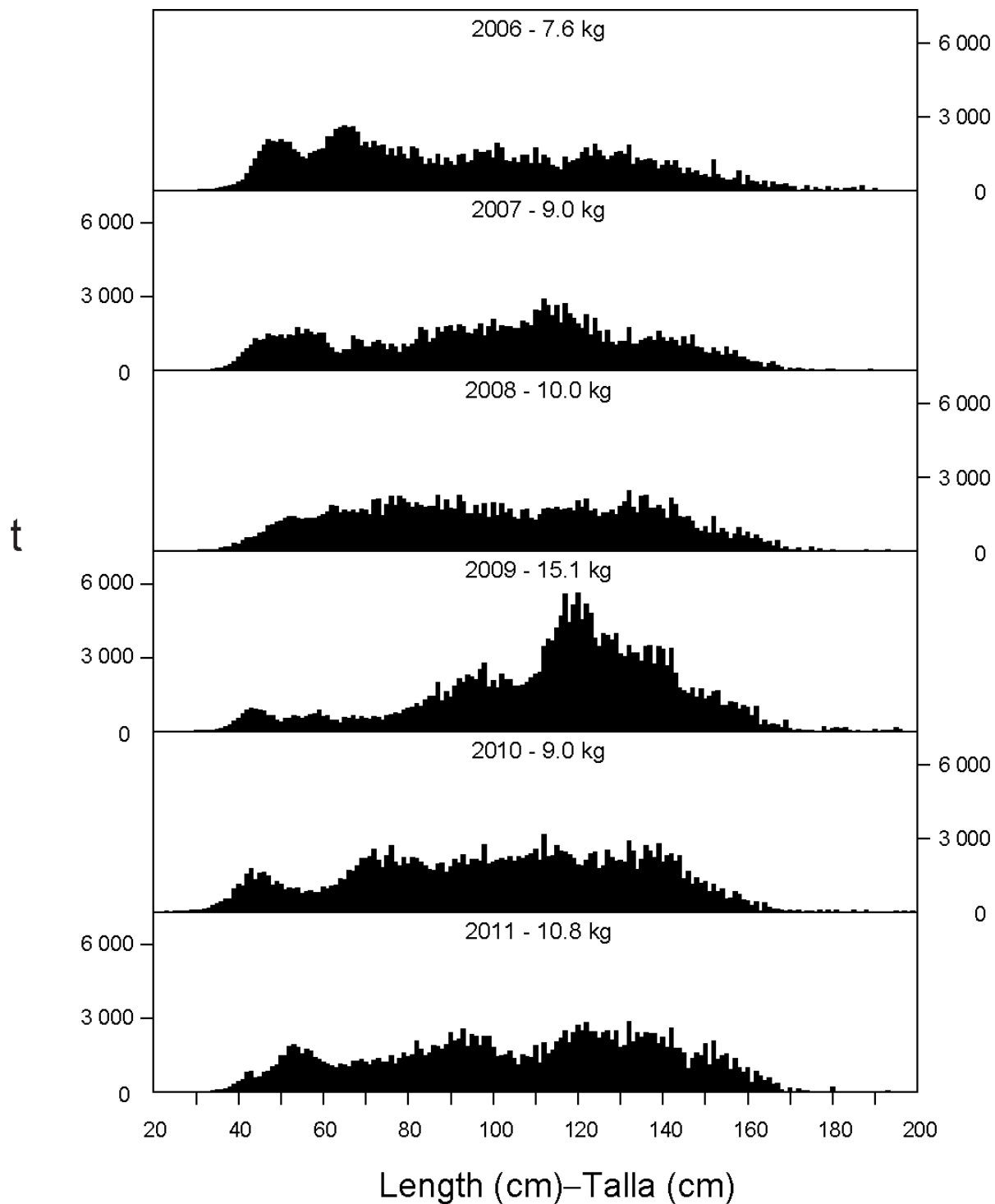


FIGURE A-6b. Estimated size compositions of the yellowfin caught by purse-seine and pole-and-line vessels in the EPO during 2006-2011. The average weights of the fish in the samples are given at the tops of the panels.

FIGURA A-6b. Composición por tallas estimada del aleta amarilla capturado por buques cerqueros y cañeros en el OPO durante 2006-2011. En cada recuadro se detalla el peso promedio de los peces en las muestras.

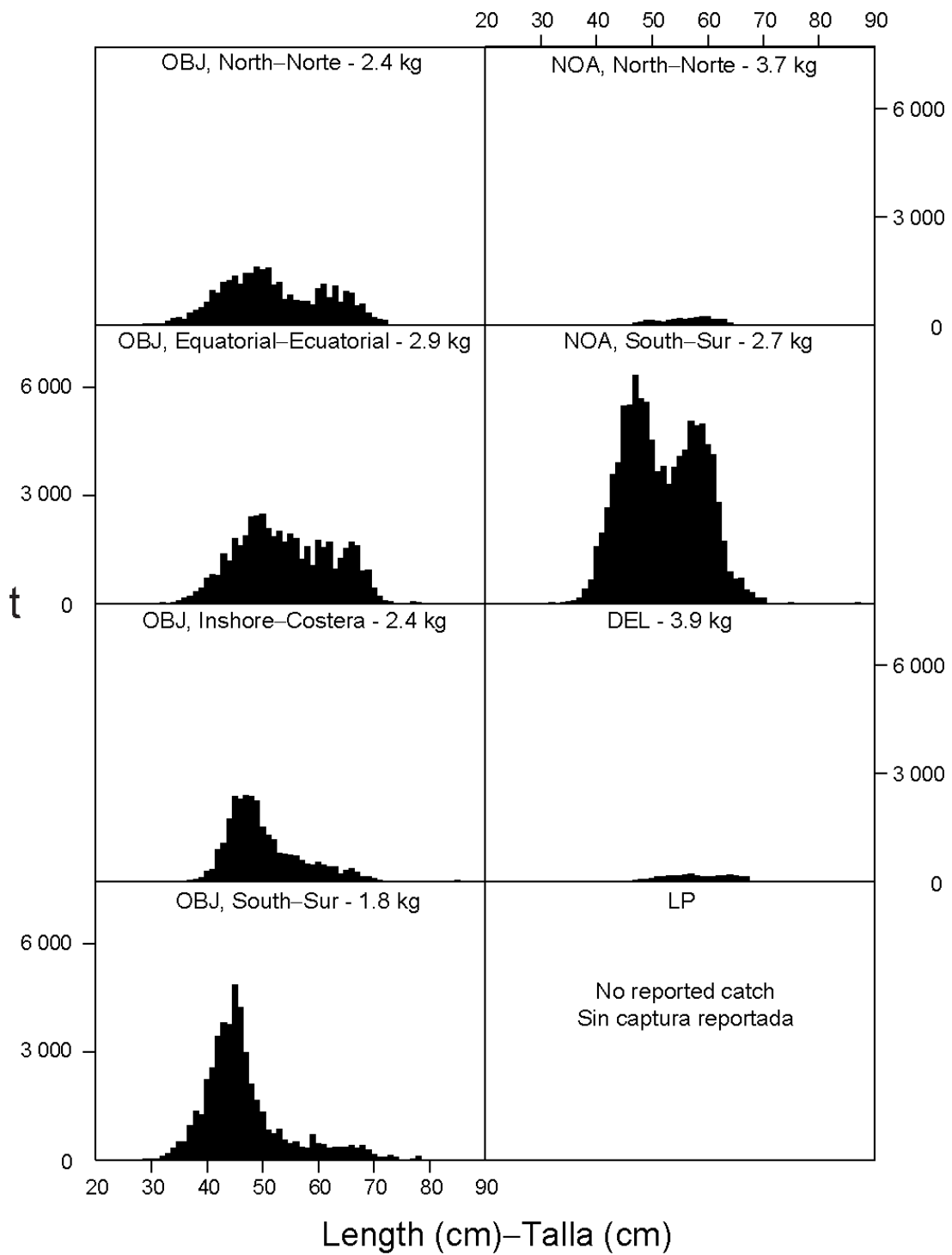


FIGURE A-7a. Estimated size compositions of the skipjack caught in the EPO during 2011 for each fishery designated in Figure A-5. The average weights of the fish in the samples are given at the tops of the panels.

FIGURA A-7a. Composición por tallas estimada del barrilete capturado en el OPO durante 2011 en cada pesquería ilustrada en la Figura A-5. En cada recuadro se detalla el peso promedio de los peces en las muestras.

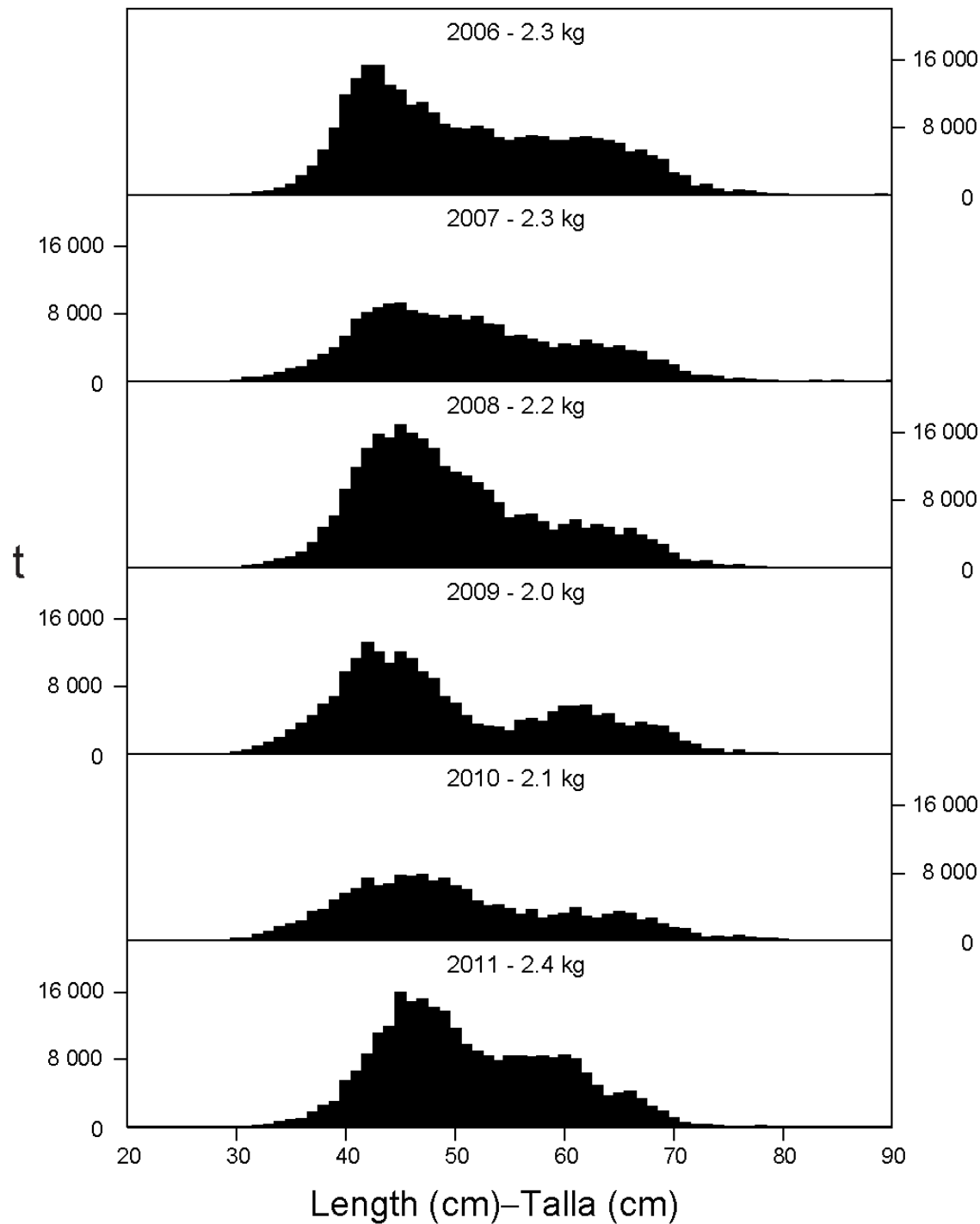


FIGURE A-7b. Estimated size compositions of the skipjack caught by purse-seine and pole-and-line vessels in the EPO during 2006-2011. The average weights of the fish in the samples are given at the tops of the panels.

FIGURA A-7b. Composición por tallas estimada del barrilete capturado por buques cerqueros y cañeros en el OPO durante 2006-2011. En cada recuadro se detalla el peso promedio de los peces en las muestras.

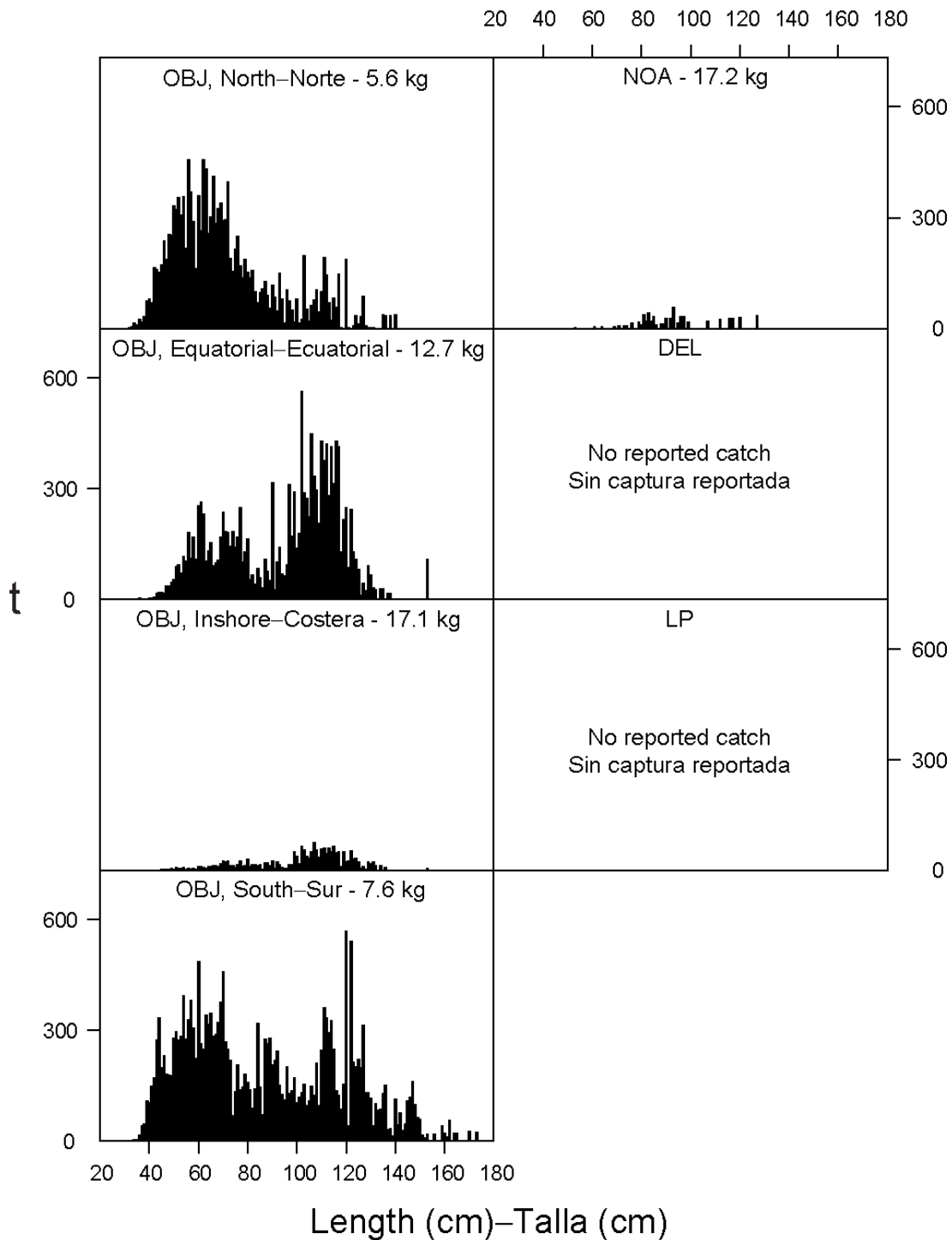


FIGURE A-8a. Estimated size compositions of the bigeye caught in the EPO during 2011 for each fishery designated in Figure A-5. The average weights of the fish in the samples are given at the tops of the panels.

FIGURA A-8a. Composición por tallas estimada del patudo capturado en el OPO durante 2011 en cada pesquería ilustrada en la Figura A-5. En cada recuadro se detalla el peso promedio de los peces en las muestras.

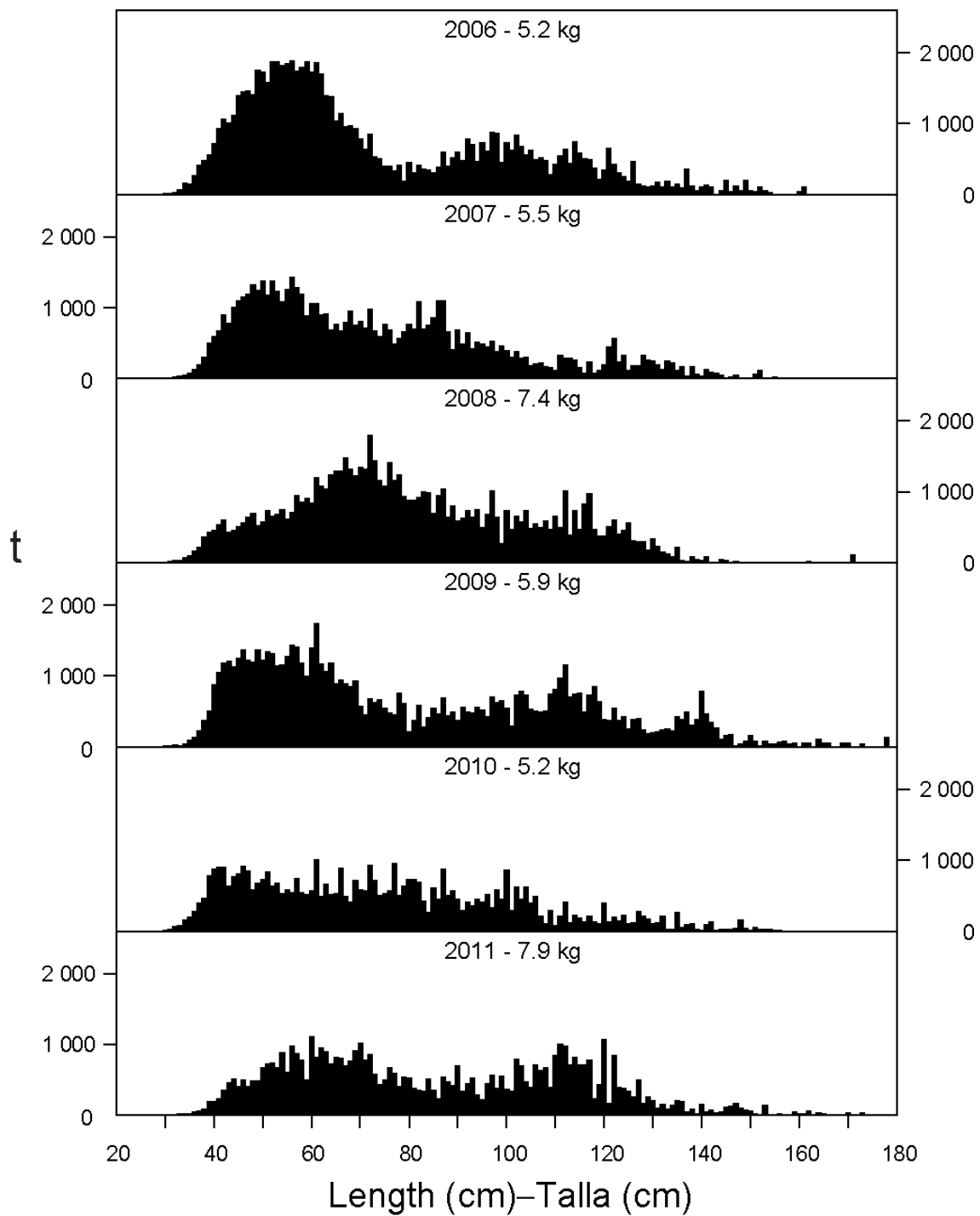


FIGURE A-8b. Estimated size compositions of the bigeye caught by purse-seine vessels in the EPO during 2006-2011. The average weights of the fish in the samples are given at the tops of the panels.

FIGURA A-8b. Composición por tallas estimada del patudo capturado por buques cerqueros en el OPO durante 2006-2011. En cada recuadro se detalla el peso promedio de los peces en las muestras.

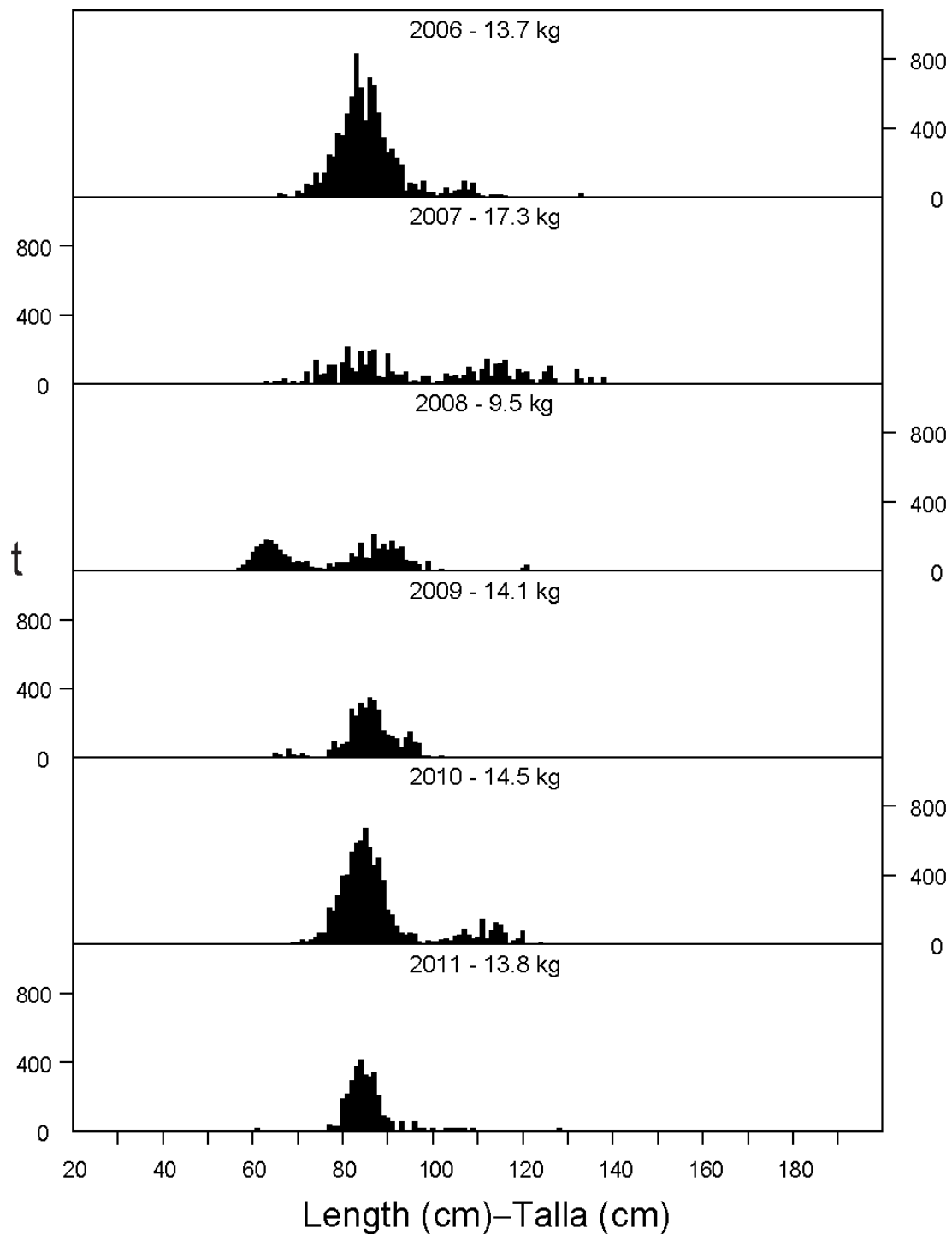


FIGURE A-9. Estimated catches of Pacific bluefin by purse-seine and recreational gear in the EPO during 2006-2011. The values at the tops of the panels are the average weights.

FIGURA A-9. Captura estimada de aleta azul del Pacífico con arte de cerco y deportiva en el OPO durante 2006-2011. El valor en cada recuadro representa el peso promedio.

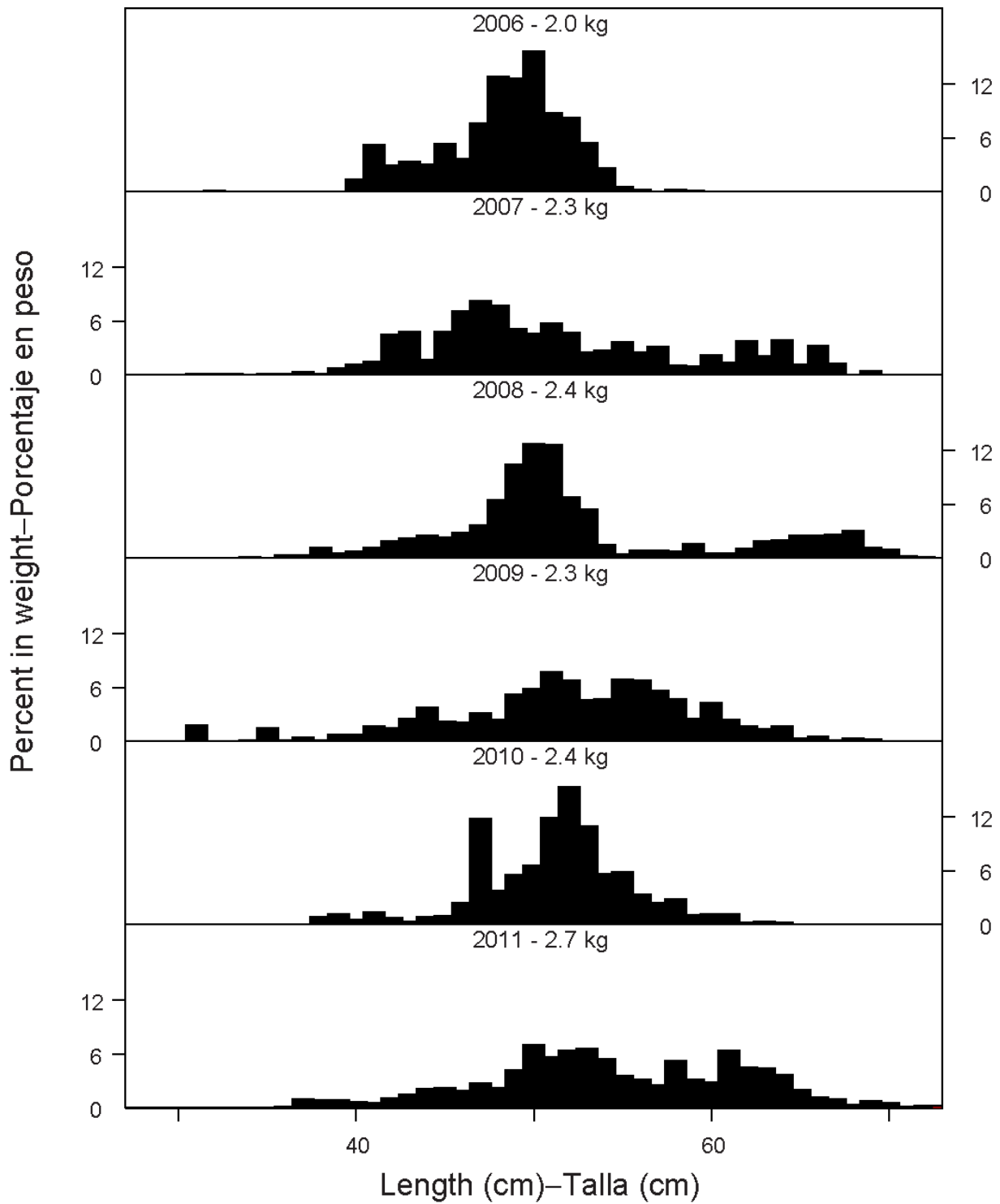


FIGURE A-10. Estimated size compositions of the catches of black skipjack by purse-seine vessels in the EPO during 2006-2011. The values at the tops of the panels are the average weights.

FIGURA A-10. Composición por tallas estimada del barrilete negro capturado por buques cerqueros en el OPO durante 2006-2011. El valor en cada recuadro representa el peso promedio.

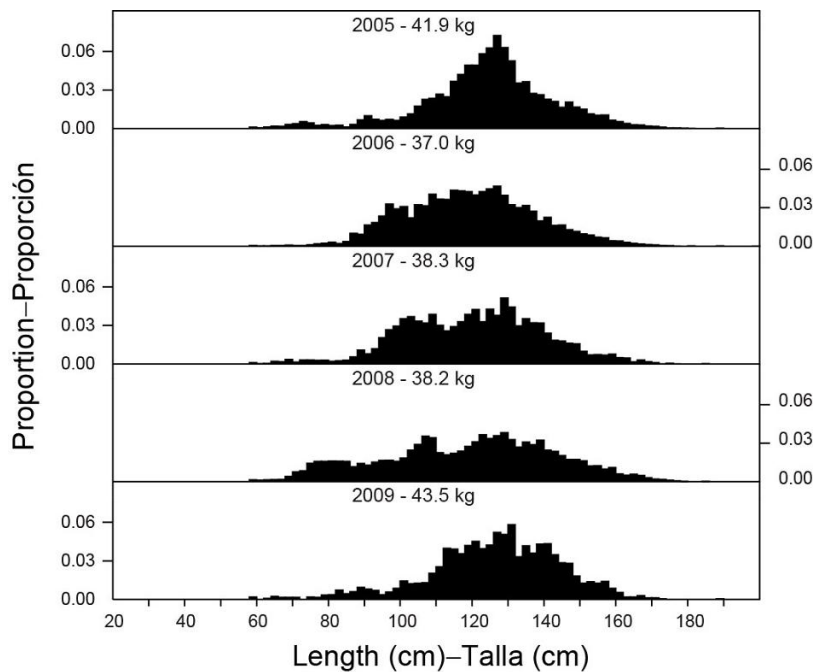


FIGURE A-11. Estimated size compositions of the catches of yellowfin tuna by the Japanese longline fishery in the EPO, 2005-2009.

FIGURA A-11. Composición por tallas estimada de las capturas de atún aleta amarilla por la pesquería palangrera japonesa en el OPO, 2005-2009.

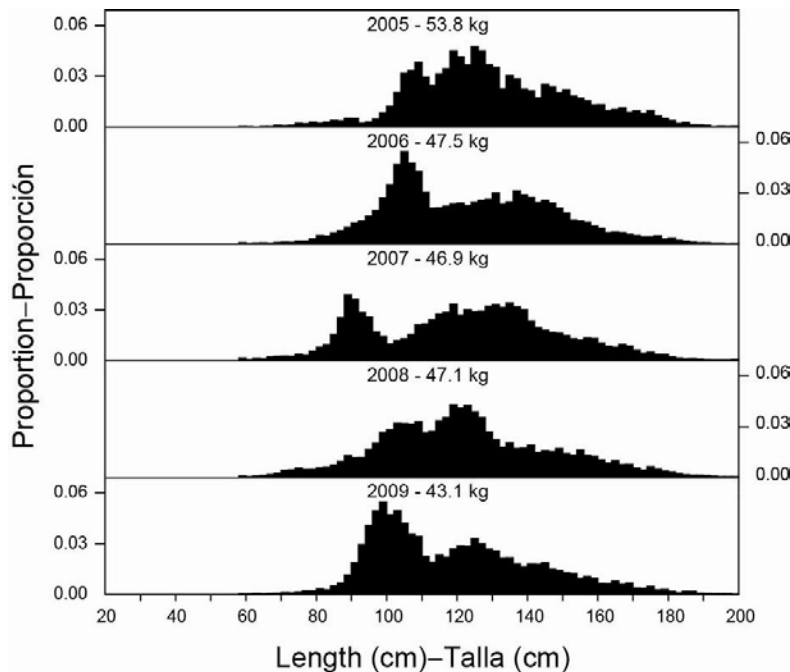


FIGURE A-12. Estimated size compositions of the catches of bigeye tuna by the Japanese longline fishery in the EPO, 2005-2009.

FIGURA A-12. Composición por tallas estimada de las capturas de atún patudo por la pesquería palangrera japonesa en el OPO, 2005-2009.

TABLE A-1. Annual catches of yellowfin, skipjack, and bigeye, by all types of gear combined, in the Pacific Ocean. The EPO totals for 1993-2011 include discards from purse-seine vessels with carrying capacities greater than 363 t.

TABLA A-1. Capturas anuales de aleta amarilla, barrilete, y patudo, por todas las artes combinadas, en el Océano Pacífico. Los totales del OPO de 1993-2011 incluyen los descartes de buques cerqueros de más de 363 t de capacidad de acarreo.

	YFT			SKJ			BET			Total		
	EPO	WCPO	Total	EPO	WCPO	Total	EPO	WCPO	Total	EPO	WCPO	Total
1982	127,534	221,064	348,598	104,669	490,242	594,911	60,349	59,301	119,650	292,552	770,607	1,063,159
1983	99,680	257,160	356,840	61,975	683,684	745,659	64,694	59,896	124,590	226,349	1,000,740	1,227,089
1984	149,465	256,314	405,779	63,611	762,090	825,701	55,268	64,680	119,948	268,344	1,083,084	1,351,428
1985	225,939	259,544	485,483	52,002	603,624	655,626	72,398	68,706	141,104	350,339	931,874	1,282,213
1986	286,071	250,723	536,794	67,745	755,402	823,147	105,185	63,777	168,962	459,001	1,069,902	1,528,903
1987	286,164	303,613	589,777	66,466	687,880	754,346	101,347	79,269	180,616	453,977	1,070,762	1,524,739
1988	296,428	263,108	559,536	92,127	849,154	941,281	74,313	68,447	142,760	462,868	1,180,709	1,643,577
1989	299,436	313,866	613,302	98,921	823,468	922,389	72,994	77,237	150,231	471,351	1,214,571	1,685,922
1990	301,522	340,987	642,509	77,107	901,482	978,589	104,851	89,060	193,911	483,480	1,331,529	1,815,009
1991	265,970	372,123	638,093	65,890	1,140,243	1,206,133	109,121	71,297	180,418	440,981	1,583,663	2,024,644
1992	252,514	376,684	629,198	87,294	1,040,180	1,127,474	92,000	88,384	180,384	431,808	1,505,248	1,937,056
1993	256,244	367,076	623,320	100,517	937,322	1,037,839	82,843	77,506	160,349	439,604	1,381,904	1,821,508
1994	248,073	371,038	619,111	84,671	1,043,691	1,128,362	109,331	86,943	196,274	442,075	1,501,672	1,943,747
1995	244,639	355,809	600,448	150,661	1,077,503	1,228,164	108,210	79,933	188,143	503,510	1,513,245	2,016,755
1996	266,928	287,116	554,044	132,344	1,054,137	1,186,481	114,706	80,314	195,020	513,978	1,421,567	1,935,545
1997	277,575	411,630	689,205	188,285	990,910	1,179,195	122,274	110,399	232,673	588,134	1,512,939	2,101,073
1998	280,607	424,927	705,534	165,490	1,341,276	1,506,766	93,954	109,974	203,928	540,051	1,876,177	2,416,228
1999	304,638	366,002	670,640	291,249	1,208,363	1,499,612	93,078	112,072	205,150	688,965	1,686,437	2,375,402
2000	286,865	405,614	692,479	230,520	1,243,796	1,474,316	148,557	113,532	262,089	665,942	1,762,942	2,428,884
2001	425,008	405,160	830,168	157,676	1,139,063	1,296,739	130,546	104,824	235,370	713,230	1,649,047	2,362,277
2002	443,458	383,011	826,469	167,048	1,315,513	1,482,561	132,806	120,436	253,242	743,312	1,818,960	2,562,272
2003	416,018	416,504	832,522	300,470	1,304,160	1,604,630	115,175	110,756	225,931	831,663	1,831,420	2,663,083
2004	296,856	383,620	680,476	217,355	1,400,828	1,618,183	110,897	124,762	235,659	625,108	1,909,210	2,534,318
2005	286,599	463,797	750,396	283,766	1,489,284	1,773,050	111,304	115,678	226,982	681,669	2,068,759	2,750,428
2006	179,557	418,270	597,827	310,316	1,558,296	1,868,612	119,971	124,708	244,679	609,844	2,101,274	2,711,118
2007	181,921	446,705	628,626	216,902	1,670,954	1,887,856	94,461	117,693	212,154	493,284	2,235,352	2,728,636
2008	196,079	538,784	734,863	307,489	1,634,169	1,941,658	103,495	132,298	235,793	607,063	2,305,251	2,912,314
2009	248,045	415,809	663,854	238,873	1,816,092	2,054,965	110,128	120,649	230,777	597,046	2,352,550	2,949,596
2010	260,156	469,808	729,964	152,069	1,696,220	1,848,289	94,273	106,650	200,923	506,498	2,272,678	2,779,176
2011	203,326	*	*	284,675	*	284,675	82,473	*	82,473	570,474	*	367,148

TABLE A-2a. Estimated retained catches (Ret.), by gear type, and estimated discards (Dis.), by purse-seine vessels with carrying capacities greater than 363 t only, of tunas and bonitos, in metric tons, in the EPO. The purse-seine and pole-and-line data for yellowfin, skipjack, and bigeye tunas have been adjusted to the species composition estimate and are preliminary. The data for 2010-2011 are preliminary.

TABLA A-2a. Estimaciones de las capturas retenidas (Ret.), por arte de pesca, y de los descartes (Dis.), por buques cerqueros de más de 363 t de capacidad de acarreo únicamente, de atunes y bonitos, en toneladas métricas, en el OPO. Los datos de los atunes aleta amarilla, barrilete, y patudo de las pesquerías cerquera y cañera fueron ajustados a la estimación de composición por especie, y son preliminares. Los datos de 2010-2011 son preliminares.

	Yellowfin—Aleta amarilla					Skipjack—Barrilete					Bigeye—Patudo							
	PS		LP	LL	OTR + NK	Total	PS		LP	LL	OTR + NK	Total	PS		LP	LL	OTR + NK	Total
	Ret.	Dis.					Ret.	Dis.					Ret.	Dis.				
1982	114,755	-	1,538	10,961	280	127,534	100,499	-	3,760	28	382	104,669	6,939	-	42	53,365	3	60,349
1983	83,929	-	4,007	10,895	849	99,680	56,851	-	4,387	28	709	61,975	4,575	-	39	60,043	37	64,694
1984	135,785	-	2,991	10,345	344	149,465	59,859	-	2,884	32	836	63,611	8,861	-	2	46,394	11	55,268
1985	211,459	-	1,070	13,198	212	225,939	50,829	-	946	44	183	52,002	6,056	-	2	66,325	15	72,398
1986	260,512	-	2,537	22,808	214	286,071	65,634	-	1,921	58	132	67,745	2,686	-	-	102,425	74	105,185
1987	262,008	-	5,107	18,911	138	286,164	64,019	-	2,233	37	177	66,466	1,177	-	-	100,121	49	101,347
1988	277,293	-	3,723	14,660	752	296,428	87,113	-	4,325	26	663	92,127	1,535	-	5	72,758	15	74,313
1989	277,996	-	4,145	17,032	263	299,436	94,934	-	2,940	28	1,019	98,921	2,030	-	-	70,963	1	72,994
1990	263,253	-	2,676	34,633	960	301,522	74,369	-	823	41	1,874	77,107	5,921	-	-	98,871	59	104,851
1991	231,257	-	2,856	30,899	958	265,970	62,228	-	1,717	36	1,909	65,890	4,870	-	31	104,195	25	109,121
1992	228,121	-	3,789	18,646	1,958	252,514	84,283	-	1,957	24	1,030	87,294	7,179	-	-	84,808	13	92,000
1993	219,492	4,758	4,951	24,009	3,034	256,244	83,830	10,598	3,772	61	2,256	100,517	9,657	653	-	72,498	35	82,843
1994	208,408	4,527	3,625	30,026	1,487	248,073	70,126	10,501	3,240	73	731	84,671	34,899	2,266	-	71,360	806	109,331
1995	215,434	5,275	1,268	20,596	2,066	244,639	127,047	16,373	5,253	77	1,911	150,661	45,321	3,251	-	58,269	1,369	108,210
1996	238,607	6,312	3,762	16,608	1,639	266,928	103,973	24,503	2,555	52	1,261	132,344	61,311	5,689	-	46,958	748	114,706
1997	244,878	5,516	4,418	22,163	600	277,575	153,456	31,338	3,260	135	96	188,285	64,272	5,402	-	52,580	20	122,274
1998	253,959	4,698	5,085	15,336	1,529	280,607	140,631	22,644	1,684	294	237	165,490	44,129	2,822	-	46,375	628	93,954
1999	281,920	6,547	1,783	11,682	2,706	304,638	261,565	26,046	2,044	201	1,393	291,249	51,158	4,932	-	36,450	538	93,078
2000	253,263	6,207	2,431	23,855	1,109	286,865	205,647	24,508	231	68	66	230,520	95,282	5,417	-	47,605	253	148,557
2001	383,936	7,028	3,916	29,608	520	425,008	143,165	12,815	448	1,214	34	157,676	60,518	1,254	-	68,755	19	130,546
2002	412,286	4,140	950	25,531	551	443,458	153,546	12,506	616	261	119	167,048	57,421	949	-	74,424	12	132,806
2003	383,279	5,950	470	25,174	1,145	416,018	273,968	22,453	638	634	2,777	300,470	53,052	2,326	-	59,776	21	115,175
2004	272,557	3,009	1,884	18,779	627	296,856	197,824	17,182	530	713	1,106	217,355	65,471	1,749	-	43,483	194	110,897
2005	268,101	2,929	1,822	11,895	1,852	286,599	263,229	17,228	1,299	231	1,779	283,766	67,895	1,952	-	41,432	25	111,304
2006	166,631	1,665	686	9,117	1,458	179,557	296,268	12,403	435	224	986	310,316	83,838	2,385	-	33,708	40	119,971
2007	170,016	1,947	894	7,625	1,439	181,921	208,295	7,159	276	107	1,065	216,902	63,450	1,039	-	29,928	44	94,461
2008	185,057	1,019	812	8,250	941	196,079	296,603	9,166	501	56	1,163	307,489	75,028	2,287	-	26,152	28	103,495
2009	236,756	1,482	709	8,104	994	248,045	230,523	6,903	151	185	1,111	238,873	76,799	1,104	-	32,210	15	110,128
2010	251,009	1,145	460	6,583	959	260,156	147,192	3,419	47	142	1,269	152,069	57,752	653	-	35,866	2	94,273
2011	202,336	563	274	153	-	203,326	279,000	5,667	4	4	-	284,675	56,526	731	-	25,216	-	82,473

TABLE A-2a. (continued)
TABLA A-2a. (continuación)

	Pacific bluefin—Aleta azul del Pacífico				Albacore—Albacora				Black skipjack—Barrilete negro									
	PS		LP	LL	OTR + NK	Total	PS		LP	LL	OTR + NK	Total	PS		LP	LL	OTR + NK	Total
	Ret.	Dis.					Ret.	Dis.					Ret.	Dis.				
1982	3,145	0	-	7	6	3,158	355	-	198	8,407	3,562	12,522	1,338	-	-	-	-	1,338
1983	836	0	-	2	38	876	7	-	449	7,433	7,840	15,729	1,222	-	-	-	13	1,235
1984	839	0	-	3	51	893	3,910	-	1,441	6,712	9,794	21,857	662	-	-	-	3	665
1985	3,996	0	-	1	77	4,074	42	-	877	7,268	6,654	14,841	288	-	-	-	7	295
1986	5,040	0	-	1	64	5,105	47	-	86	6,450	4,701	11,284	569	-	-	-	18	587
1987	980	0	-	3	88	1,071	1	-	320	9,994	2,662	12,977	571	-	-	-	2	573
1988	1,379	0	-	2	52	1,433	17	-	271	9,934	5,549	15,771	956	-	-	-	311	1,267
1989	1,103	0	5	4	91	1,203	1	-	21	6,784	2,695	9,501	801	-	-	-	-	801
1990	1,430	0	61	12	103	1,606	39	-	170	6,536	4,105	10,850	787	-	-	-	4	791
1991	419	0	-	5	55	479	0	-	834	7,893	2,754	11,481	421	-	-	-	25	446
1992	1,928	0	-	21	147	2,096	0	-	255	17,080	5,740	23,075	105	-	-	-	3	108
1993	580	0	-	11	325	916	0	-	1	11,194	4,410	15,605	104	4,144	-	31	-	4,279
1994	969	0	-	12	111	1,092	0	-	85	10,390	10,154	20,629	188	854	-	40	-	1,082
1995	656	0	-	25	300	981	0	-	465	6,185	7,427	14,077	203	1,448	-	-	-	1,651
1996	8,329	0	-	19	84	8,432	11	-	72	7,631	8,398	16,112	704	2,304	-	12	-	3,020
1997	2,605	3	2	14	245	2,869	1	-	59	9,678	7,540	17,278	100	2,512	-	11	-	2,623
1998	1,772	0	-	94	525	2,391	42	-	81	12,635	13,158	25,916	489	1,876	39	-	-	2,404
1999	2,553	54	5	152	564	3,328	47	-	227	11,633	14,510	26,417	171	3,413	-	-	-	3,584
2000	3,712	0	61	46	378	4,197	71	-	86	9,663	13,453	23,273	293	1,995	-	-	-	2,288
2001	1,155	3	1	148	401	1,708	3	-	157	19,410	13,727	33,297	2,258	1,019	-	-	-	3,277
2002	1,758	1	3	71	653	2,486	31	-	381	15,289	14,433	30,134	1,459	2,283	8	-	-	3,750
2003	3,233	0	3	87	404	3,727	34	-	59	24,901	20,397	45,391	433	1,535	6	13	117	2,104
2004	8,880	19	-	16	62	8,977	105	-	126	18,444	22,011	40,686	884	387	-	27	862	2,160
2005	4,743	15	-	-	85	4,843	2	-	66	8,861	15,649	24,578	1,472	2,124	-	-	22	3,618
2006	9,928	0	-	-	101	10,029	109	-	1	10,612	18,966	29,688	1,999	1,972	-	-	-	3,971
2007	4,189	0	-	-	15	4,204	187	-	21	8,934	19,296	28,438	2,306	1,625	-	-	54	3,985
2008	4,392	14	15	-	103	4,524	49	-	1,050	5,994	16,567	23,660	3,622	2,251	-	-	8	5,881
2009	3,428	24	20	0	180	3,652	59	2	2,218	7,028	17,108	26,415	4,359	1,020	-	-	-	5,379
2010	7,746	0	0	1	121	7,868	25	-	1,874	9,423	17,563	28,885	3,426	1,079	-	-	184	4,689
2011	2,730	4	*	1	456	3,191	10	-	*	89	24	123	2,197	737	*	*	*	2,934

TABLE A-2a. (continued)
TABLA A-2a. (continuación)

	Bonitos				Unidentified tunas—Atunes no identificados				Total									
	PS		LP	LL	OTR + NK	PS		LP	LL	OTR + NK	PS		LP	LL	OTR + NK	Total		
	Ret.	Dis.				Ret.	Dis.				Ret.	Dis.						
1982	2,122	-	0	-	6,776	8,898	47	-	-	382	429	229,200	-	5,538	72,768	11,391	318,897	
1983	3,827	-	2	-	7,291	11,120	60	-	-	4,711	4,771	151,307	-	8,884	78,401	21,488	260,080	
1984	3,514	-	0	-	7,291	10,805	6	-	-	2,524	2,530	213,436	-	7,318	63,486	20,854	305,094	
1985	3,599	-	5	-	7,869	11,473	19	-	-	678	697	276,288	-	2,900	86,836	15,695	381,719	
1986	232	-	258	-	1,889	2,379	177	-	4	-	986	1,167	334,897	-	4,806	131,742	8,078	479,523
1987	3,195	-	121	-	1,782	5,098	481	-	-	-	2,043	2,524	332,432	-	7,781	129,066	6,941	476,220
1988	8,811	-	739	-	947	10,497	79	-	-	-	2,939	3,018	377,183	-	9,063	97,380	11,228	494,854
1989	11,278	-	818	-	465	12,561	36	-	-	-	626	662	388,179	-	7,929	94,811	5,160	496,079
1990	13,634	-	215	-	371	14,220	200	-	-	3	692	895	359,633	-	3,945	140,096	8,168	511,842
1991	1,207	-	82	-	242	1,531	4	-	-	29	192	225	300,406	-	5,520	143,057	6,160	455,143
1992	977	-	-	-	318	1,295	24	-	-	27	1,071	1,122	322,617	-	6,001	120,609	10,277	459,504
1993	599	12	1	-	436	1,048	9	2,013	-	10	4,082	6,114	314,271	22,178	8,725	107,814	14,578	467,566
1994	8,331	147	362	-	185	9,025	9	497	-	1	464	971	322,930	18,792	7,312	111,902	13,938	474,874
1995	7,929	55	81	-	54	8,119	11	626	-	-	1,004	1,641	396,601	27,028	7,067	85,152	14,131	529,979
1996	647	1	7	-	16	671	37	1,028	-	-	1,038	2,103	413,619	39,837	6,396	71,280	13,184	544,316
1997	1,097	4	8	-	34	1,143	71	3,383	-	7	1,437	4,898	466,480	48,158	7,747	84,588	9,972	616,945
1998	1,330	4	7	-	588	1,929	13	1,233	-	24	18,158	19,428	442,365	33,277	6,896	74,758	34,823	592,119
1999	1,719	-	-	24	369	2,112	27	3,092	-	2,113	4,279	9,511	599,160	44,084	4,059	62,255	24,359	733,917
2000	636	-	-	75	56	767	190	1,410	-	1,992	1,468	5,060	559,094	39,537	2,809	83,304	16,783	701,527
2001	17	-	0	34	19	70	191	679	-	2,448	55	3,373	591,243	22,798	4,522	121,617	14,775	754,955
2002	-	-	-	-	1	1	576	1,863	-	482	1,422	4,343	627,077	21,742	1,958	116,058	17,191	784,026
2003	-	0	1	-	25	26	80	1,238	-	215	750	2,283	714,079	33,502	1,177	110,800	25,636	885,194
2004	15	35	1	8	3	62	256	973	-	349	258	1,836	545,992	23,354	2,541	81,819	25,123	678,829
2005	313	18	0	-	11	342	190	1,922	-	363	427	2,902	605,945	26,188	3,187	62,782	19,850	717,952
2006	3,507	80	12	-	3	3,602	50	1,910	-	3	193	2,174	562,330	20,415	1,134	53,682	21,747	659,308
2007	15,906	628	107	-	-	16,641	598	1,222	-	2,194	301	4,315	464,947	13,620	1,298	48,788	22,214	550,867
2008	7,871	37	9	-	26	7,943	136	1,380	1	727	883	3,127	572,758	16,154	2,388	41,179	19,719	652,198
2009	10,053	15	0	0	165	10,233	162	469	-	1,933	74	2,638	562,139	11,019	3,098	49,460	19,647	645,363
2010	2,818	19	4	-	97	2,938	136	708	-	1,090	36	1,970	470,104	7,023	2,385	53,105	20,231	552,848
2011	7,940	29	18	*	0	7,987	94	877	*	1,731	*	2,702	550,833	8,608	296	27,194	480	587,411

TABLE A-2b. Estimated retained catches, by gear type, and estimated discards, by purse-seine vessels with carrying capacities greater than 363 t only, of billfishes, in metric tons, in the EPO. Data for 2010-2011 are preliminary. PS dis. = discards by purse-seine vessels.

TABLA A-2b. Estimaciones de las capturas retenidas, por arte de pesca, y de los descartes, por buques cerqueros de más de 363 t de capacidad de acarreo únicamente, de peces picudos, en toneladas métricas, en el OPO. Los datos de 2010-2011 son preliminares. PS dis. = descartes por buques cerqueros.

TABLE A-2b. (continued)
TABLA A-2b. (continuación)

	Shortbill spearfish— Marlín trompa corta				Sailfish— Pez vela				Unidentified istiophorid billfishes—Picudos istiofóridos no identificados				Total billfishes— Total de peces picudos							
	PS		LL	OTR	Total	PS		LL	OTR	Total	PS		LL	OTR	Total	PS		LL	OTR	Total
	Ret.	Dis.				Ret.	Dis.				Ret.	Dis.				Ret.	Dis.			
1982	-	-	-	-	-	-	-	1,084	-	1,084	-	-	3	-	3	-	-	13,360	1,551	14,911
1983	-	-	-	-	-	-	-	890	-	890	-	-	2	-	2	-	-	13,404	2,338	15,742
1984	-	-	-	-	-	-	-	345	-	345	-	-	-	-	-	-	-	11,204	3,336	14,540
1985	-	-	-	-	-	-	-	395	-	395	-	-	1	-	1	-	-	7,648	3,768	11,416
1986	-	-	5	-	5	-	-	583	-	583	-	-	1	-	1	-	-	12,990	3,294	16,284
1987	-	-	15	-	15	-	-	649	-	649	-	-	398	-	398	-	-	21,025	3,740	24,765
1988	-	-	13	-	13	-	-	649	-	649	-	-	368	-	368	-	-	17,179	5,642	22,821
1989	-	-	-	-	-	-	-	192	-	192	-	-	51	-	51	-	-	14,503	6,072	20,575
1990	-	-	-	-	-	-	-	6	-	6	-	-	125	-	125	-	-	14,961	5,399	20,360
1991	-	-	1	-	1	-	-	717	-	717	-	-	112	-	112	-	220	21,459	4,716	26,395
1992	-	1	1	-	2	-	-	1,351	-	1,351	-	-	1,123	-	1,123	-	221	22,204	4,506	26,931
1993	0	0	1	-	1	26	32	2,266	-	2,324	28	68	1,650	-	1,746	245	172	20,467	4,673	25,557
1994	0	0	144	-	144	18	21	1,682	-	1,721	7	16	1,028	-	1,051	154	84	20,523	4,079	24,840
1995	1	0	155	-	156	12	15	1,351	-	1,378	2	9	232	-	243	149	71	16,928	3,270	20,418
1996	1	0	126	-	127	10	12	738	-	760	4	15	308	-	327	144	75	15,156	2,916	18,291
1997	1	0	141	-	142	12	11	1,891	-	1,914	3	5	1,324	-	1,332	243	57	24,477	2,110	26,887
1998	0	0	200	-	200	28	31	1,382	-	1,441	4	7	575	54	640	257	89	20,538	3,809	24,693
1999	1	0	278	-	279	33	8	1,216	-	1,257	5	11	1,136	-	1,152	331	110	16,604	2,341	19,386
2000	1	0	285	-	286	33	17	1,380	-	1,430	2	5	879	136	1,022	243	69	17,102	2,923	20,337
2001	0	0	304	-	304	18	45	1,539	325	1,927	2	5	1,742	204	1,953	222	144	25,873	2,835	29,074
2002	1	0	273	-	274	19	15	1,792	17	1,843	3	4	1,862	14	1,883	367	87	27,243	2,562	30,259
2003	1	4	290	-	295	38	49	1,174	-	1,261	6	4	1,389	-	1,399	385	109	27,008	770	28,272
2004	1	0	207	-	208	19	13	1,400	17	1,449	3	4	1,384	-	1,391	250	44	23,734	716	24,744
2005	1	0	229	-	230	32	11	805	15	863	5	2	900	-	907	381	42	15,730	4,872	21,025
2006	1	0	231	-	232	30	13	1,007	35	1,085	22	3	491	1	517	402	61	14,735	4,431	19,629
2007	1	0	239	-	240	41	7	930	64	1,042	14	4	107	15	140	290	34	14,485	5,599	20,408
2008	1	0	266	-	267	28	6	383	72	489	15	6	76	8	105	283	29	14,973	4,309	19,594
2009	1	0	451	-	452	18	7	194	8	227	12	-	27	12	51	287	29	17,582	3,967	21,865
2010	1	0	519	-	520	27	20	95	3	145	6	1	111	-	118	293	41	21,384	4,578	26,296
2011	-	-	-	-	-	20	6			26	7	1	14	-	22	275	19	568	2	864

TABLE A-2c. Estimated retained catches (Ret.), by gear type, and estimated discards (Dis.), by purse-seine vessels of more than 363 t carrying capacity only, of other species, in metric tons, in the EPO. The data for 2010-2011 are preliminary.

TABLA A-2c. Estimaciones de las capturas retenidas (Ret.), por arte de pesca, y de los descartes (Dis.), por buques cerqueros de más de 363 t de capacidad de acarreo únicamente, de otras especies, en toneladas métricas, en el OPO. Los datos de 2010-2011 son preliminares.

TABLE A-3a. Catches of yellowfin tuna by purse-seine vessels in the EPO, by vessel flag. The data have been adjusted to the species composition estimate, and are preliminary. *: data missing or not available; -: no data collected; C: data combined with those of other flags; this category is used to avoid revealing the operations of individual vessels or companies.

TABLA A-3a. Capturas de atún aleta amarilla por buques de cerco en el OPO, por bandera del buque. Los datos están ajustados a la estimación de composición por especie, y son preliminares. *: datos faltantes o no disponibles; -: datos no tomados; C: datos combinados con aquéllos de otras banderas; se usa esta categoría para no revelar información sobre las actividades de buques o empresas individuales.

COL	CRI	ECU	ESP	MEX	NIC	PAN	PER	SLV	USA	VEN	VUT	C + OTR¹	Total	
1982	-	122	5,511	934	18,785	-	8,487	C	C	72,082	4,057	-	4,777	114,755
1983	-	C	7,579	-	18,576	-	2,444	943	-	43,780	7,840	-	2,767	83,929
1984	-	2,702	10,526	C	53,697	-	C	C	-	57,162	9,268	-	2,430	135,785
1985	-	2,785	8,794	C	80,422	-	10,887	C	-	84,364	20,696	C	3,511	211,459
1986	-	C	16,561	C	103,644	-	9,073	C	C	88,617	28,462	C	14,155	260,512
1987	-	-	15,046	C	96,182	-	C	C	C	95,506	34,237	C	21,037	262,008
1988	-	-	23,947	C	104,565	-	7,364	1,430	C	82,231	38,257	C	19,499	277,293
1989	-	C	17,588	C	116,928	-	10,557	1,724	C	73,688	42,944	C	14,567	277,996
1990	C	C	16,279	C	115,898	-	6,391	C	-	50,790	47,490	22,208	4,197	263,253
1991	C	-	15,011	C	115,107	-	1,731	C	-	18,751	45,345	29,687	5,625	231,257
1992	C	-	12,119	C	118,455	-	3,380	45	-	16,961	44,336	27,406	5,419	228,121
1993	3,863	-	18,094	C	101,792	-	5,671	-	-	14,055	43,522	24,936	7,559	219,492
1994	7,533	-	18,365	C	99,618	-	3,259	-	-	8,080	41,500	25,729	4,324	208,408
1995	8,829	C	17,044	C	108,749	-	1,714	-	-	5,069	47,804	22,220	4,005	215,434
1996	9,855	C	17,125	C	119,878	-	3,084	-	-	6,948	62,846	10,549	8,322	238,607
1997	9,402	-	18,697	C	120,761	-	4,807	-	-	5,826	57,881	20,701	6,803	244,878
1998	15,592	-	36,201	5,449	106,840	-	3,330	-	C	2,776	61,425	17,342	5,004	253,959
1999	13,267	-	53,683	8,322	114,545	C	5,782	-	C	3,400	55,443	16,476	11,002	281,920
2000	6,138	-	35,492	10,318	101,662	C	5,796	-	-	4,374	67,672	8,247	13,563	253,263
2001	12,950	-	55,347	18,448	130,087	C	9,552	-	C	5,670	108,974	10,729	32,180	383,936
2002	17,574	-	32,512	16,990	152,864	C	15,719	C	7,412	7,382	123,264	7,502	31,068	412,286
2003	9,770	-	34,271	12,281	172,807	-	16,591	C	C	3,601	96,914	9,334	27,710	383,279
2004	C	-	40,886	13,622	91,442	C	33,563	-	C	5,645	39,094	7,371	40,934	272,557
2005	C	-	40,596	11,947	110,898	4,838	33,393	-	6,470	C	28,684	C	31,275	268,101
2006	C	-	26,049	8,409	69,449	4,236	22,521	-	C	C	13,286	C	22,681	166,631
2007	C	-	19,749	2,631	65,091	3,917	26,024	-	C	C	20,097	C	32,507	170,016
2008	C	-	18,463	3,023	84,462	4,374	26,993	C	C	C	17,692	C	30,050	185,057
2009	C	-	18,167	7,864	99,785	6,686	35,228	C	C	C	25,298	C	43,728	236,756
2010	20,493	-	34,764	2,820	104,969	9,422	34,538	C	C	-	21,245	C	22,759	251,009
2011	18,261	-	27,158	1,089	102,464	7,696	18,530	-	C	C	18,133	C	9,005	202,336

¹ Includes—Incluye: BLZ, BMU, BOL, CAN, CHN, CYM, CYP, GTM, HND, KOR, LBR, NZL, RUS, VCT, UNK

TABLE A-3b. Annual catches of yellowfin tuna by longline vessels, and totals for all gears, in the EPO, by vessel flag. The data for 2010-2011 are preliminary. *: data missing or not available; -: no data collected; C: data combined with those of other flags; this category is used to avoid revealing the operations of individual vessels or companies.

TABLA A-3b. Capturas anuales de atún aleta amarilla por buques de palangre en el OPO, y totales de todas las artes, por bandera del buque. Los datos de 2010-2011 son preliminares. *: datos faltantes o no disponibles; -: datos no tomados; C: datos combinados con aquéllos de otras banderas; se usa esta categoría para no revelar información sobre las actividades de buques o empresas individuales.

	CHN	CRI	FRA-PYF	JPN	KOR	MEX	PAN	TWN	USA	VUT	C + OTR ¹	Total LL	Total PS+LL	OTR ²
1982	-	-	-	9,826	1,054	-	-	81	-	-	*	10,961	125,716	1,818
1983	-	-	-	9,404	1,382	49	-	60	-	-	*	10,895	94,824	4,856
1984	-	-	-	9,134	1,155	-	-	56	-	-	*	10,345	146,130	3,335
1985	-	-	-	10,633	2,505	2	-	58	-	-	*	13,198	224,657	1,282
1986	-	-	-	17,770	4,850	68	-	120	-	-	*	22,808	283,320	2,751
1987	-	-	-	13,484	5,048	272	-	107	-	-	*	18,911	280,919	5,245
1988	-	-	-	12,481	1,893	232	-	54	-	-	*	14,660	291,953	4,475
1989	-	-	-	15,335	1,162	9	-	526	-	-	*	17,032	295,028	4,408
1990	-	-	-	29,255	4,844	-	-	534	-	-	*	34,633	297,886	3,636
1991	-	169	-	23,721	5,688	-	-	1,319	2	-	*	30,899	262,156	3,814
1992	-	119	57	15,296	2,865	-	-	306	3	-	*	18,646	246,767	5,747
1993	-	200	39	20,339	3,257	C	-	155	17	-	2	24,009	243,501	7,985
1994	-	481	214	25,983	3,069	41	-	236	2	-	*	30,026	238,434	5,112
1995	-	542	198	17,042	2,748	7	-	28	31	-	*	20,596	236,030	3,334
1996	-	183	253	12,631	3,491	0	-	37	13	-	*	16,608	255,215	5,401
1997	-	715	307	16,218	4,753	-	-	131	11	-	28	22,163	267,041	5,018
1998	-	1,124	388	10,048	3,624	16	-	113	15	-	8	15,336	269,295	6,614
1999	-	1,031	206	7,186	3,030	10	-	186	7	-	26	11,682	293,602	4,489
2000	-	1,084	1,052	15,265	5,134	153	359	742	10	5	51	23,855	277,118	3,540
2001	942	1,133	846	14,808	5,230	29	732	3,928	29	13	1,918	29,608	413,544	4,436
2002	1,457	1,563	278	8,513	3,626	4	907	7,360	5	290	1,528	25,531	437,817	1,501
2003	2,739	1,418	462	9,125	4,911	365	C	3,477	5	699	1,973	25,174	408,453	1,615
2004	798	1,701	767	7,338	2,997	32	2,802	1,824	6	171	343	18,779	291,336	2,511
2005	682	1,791	530	3,966	532	1	1,782	2,422	7	-	182	11,895	279,996	3,674
2006	246	1,402	537	2,968	-	0	2,164	1,671	21	-	108	9,117	175,748	2,144
2007	224	1,204	408	4,582	353	8	-	745	11	-	90	7,625	177,641	2,333
2008	469	1,248	335	5,383	129	5	-	247	33	-	401	8,250	193,307	1,753
2009	-	1,003	590	4,345	1,216	10	-	636	84	-	220	8,104	244,860	1,703
2010	459	-	301	3,630	892	6	-	872	54	-	369	6,583	257,592	1,419
2011	-	-	-	-	89	6	-	-	-	-	58	153	202,489	274

¹ Includes—Incluye: BLZ, CHL, ECU, ESP, GTM, HND, NIC, SLV

² Includes gillnets, pole-and-line, recreational, troll and unknown gears—Incluye red de transmalle, caña, artes deportivas, y desconocidas

TABLE A-3c. Catches of skipjack tuna by purse-seine and longline vessels in the EPO, by vessel flag. The data have been adjusted to the species composition estimate, and are preliminary. *: data missing or not available; -: no data collected; C: data combined with those of other flags; this category is used to avoid revealing the operations of individual vessels or companies.

TABLA A-3c. Capturas de atún barrilete por buques de cerco y de palangre en el OPO, por bandera del buque. Los datos están ajustados a la estimación de composición por especie, y son preliminares. *: datos faltantes o no disponibles; -: datos no tomados; C: datos combinados con aquéllos de otras banderas; se usa esta categoría para no revelar información sobre las actividades de buques o empresas individuales.

	PS													LL+ OTR²	
	COL	CRI	ECU	ESP	MEX	NIC	PAN	PER	SLV	USA	VEN	VUT	C+OTR¹	Total	
1982	-	226	13,590	1,609	14,598	-	5,814	C	C	58,647	2,382	-	3,633	100,499	4,170
1983	-	C	12,590	-	6,277	-	764	170	-	32,009	3,352	-	1,689	56,851	5,124
1984	-	31	18,085	-	8,550	-	C	-	-	23,966	7,797	-	1,430	59,859	3,752
1985	-	87	22,806	C	5,334	-	1,197	-	-	9,907	8,184	C	3,314	50,829	1,173
1986	-	C	23,836	C	6,061	-	1,134	C	C	12,978	11,797	C	9,828	65,634	2,111
1987	-	-	20,473	C	4,786	-	C	C	C	13,578	11,761	C	13,421	64,019	2,447
1988	-	-	11,743	C	15,195	-	1,863	714	C	36,792	12,312	C	8,494	87,113	5,014
1989	-	C	22,922	C	14,960	-	4,361	276	-	21,115	16,847	C	14,453	94,934	3,987
1990	C	C	24,071	C	6,696	-	3,425	C	-	13,188	11,362	11,920	3,707	74,369	2,738
1991	C	-	18,438	C	10,916	-	1,720	C	-	13,162	5,217	9,051	3,724	62,228	3,662
1992	C	-	25,408	C	9,188	-	3,724	352	-	14,108	10,226	13,315	7,962	84,283	3,011
1993	3,292	-	21,227	C	13,037	-	1,062	-	-	17,853	7,270	10,908	9,181	83,830	6,089
1994	7,348	-	15,083	C	11,783	-	2,197	-	-	8,947	6,356	9,541	8,871	70,126	4,044
1995	13,081	C	31,934	C	29,406	-	4,084	-	-	14,032	5,508	13,910	15,092	127,047	7,241
1996	13,230	C	32,433	C	14,501	-	3,619	-	-	12,012	4,104	10,873	13,201	103,973	3,868
1997	12,332	-	51,826	C	23,416	-	4,277	-	-	13,687	8,617	14,246	25,055	153,456	3,491
1998	4,698	-	67,074	20,012	15,969	-	1,136	-	C	6,898	6,795	11,284	6,765	140,631	2,215
1999	11,210	-	124,393	34,923	16,767	C	5,286	-	C	13,491	16,344	21,287	17,864	261,565	3,638
2000	10,138	-	104,849	17,041	14,080	C	9,573	-	-	7,224	6,720	13,620	22,399	205,647	365
2001	9,445	-	66,144	13,454	8,169	C	6,967	-	C	4,135	3,215	7,824	23,813	143,165	1,696
2002	10,908	-	80,378	10,546	6,612	C	9,757	C	4,601	4,582	2,222	4,657	19,283	153,546	996
2003	14,771	-	139,804	18,567	8,147	-	25,084	C	C	5,445	6,143	14,112	41,895	273,968	4,049
2004	C	-	89,621	8,138	24,429	C	20,051	-	C	3,372	23,356	4,404	24,453	197,824	2,349
2005	C	-	140,927	9,224	32,271	3,735	25,782	-	4,995	C	22,146	C	24,149	263,229	3,309
2006	C	-	138,490	16,668	16,790	8,396	44,639	-	C	C	26,334	C	44,951	296,268	1,645
2007	C	-	93,553	2,879	21,542	4,286	28,475	-	C	C	21,990	C	35,570	208,295	1,448
2008	C	-	143,431	4,841	21,638	7,005	43,230	C	C	C	28,333	C	48,125	296,603	1,720
2009	C	-	132,712	6,021	6,847	5,119	26,973	C	C	C	19,370	C	33,481	230,523	1,447
2010	11,400	-	82,280	1,569	3,010	5,242	19,213	C	C	-	11,818	C	12,660	147,192	1,458
2011	24,167	-	151,461	5,614	8,835	4,124	31,003	-	C	C	27,533	C	26,263	279,000	8

¹ Includes—Incluye: BLZ, BMU, BOL, CAN, CHN, CYM, CYP, ECU, ESP, GTM, HND, KOR, LBR, NZL, RUS, VCT, UNK

² Includes gillnets, pole-and-line, recreational, and unknown gears—Incluye red de transmalle, caña, artes deportivas y desconocidas

TABLE A-3d. Catches of bigeye tuna by purse-seine vessels in the EPO, by vessel flag. The data have been adjusted to the species composition estimate, and are preliminary. *: data missing or not available; -: no data collected; C: data combined with those of other flags; this category is used to avoid revealing the operations of individual vessels or companies.

TABLA A-3d. Capturas de atún patudo por buques de cerco en el OPO, por bandera del buque. Los datos están ajustados a la estimación de composición por especie, y son preliminares. *: datos faltantes o no disponibles; -: datos no tomados; C: datos combinados con aquéllos de otras banderas; se usa esta categoría para no revelar información sobre las actividades de buques o empresas individuales.

	COL	CRI	ECU	ESP	MEX	NIC	PAN	PER	SLV	USA	VEN	VUT	C + OTR¹	Total
1982	-	-	105	41	16	-	1,039	*	*	4,548	1,190	-	*	6,939
1983	-	*	457	-	16	-	663	*	-	1,801	1,319	-	319	4,575
1984	-	3	1,164	*	40	-	*	*	-	5,335	2,181	-	138	8,861
1985	-	17	2,970	C	19	-	-	-	-	1,806	939	C	305	6,056
1986	-	-	653	C	1	-	-	-	-	266	1,466	C	300	2,686
1987	-	-	319	C	2	-	*	-	C	224	453	C	179	1,177
1988	-	-	385	C	-	-	431	*	C	256	202	C	261	1,535
1989	-	-	854	C	-	-	-	*	-	172	294	C	710	2,030
1990	-	-	1,619	C	29	-	196	-	-	209	1,405	2,082	381	5,921
1991	-	-	2,224	C	5	-	-	-	-	50	591	1,839	161	4,870
1992	-	-	1,647	C	61	-	38	*	-	3,002	184	1,397	850	7,179
1993	686	-	2,166	C	120	-	10	*	-	3,324	253	1,848	1,250	9,657
1994	5,636	-	5,112	C	171	-	-	*	-	7,042	637	8,829	7,472	34,899
1995	5,815	C	8,304	C	91	-	839	*	-	11,042	706	12,072	6,452	45,321
1996	7,692	C	20,279	C	82	-	1,445	*	-	8,380	619	12,374	10,440	61,311
1997	3,506	-	30,092	C	38	-	1,811	*	-	8,312	348	6,818	13,347	64,272
1998	596	-	25,113	5,747	12	-	12	*	C	5,309	348	4,746	2,246	44,129
1999	1,511	-	24,355	11,703	33	C	1,220	*	C	2,997	10	5,318	4,011	51,158
2000	7,443	-	36,094	12,511	0	C	7,028	*	-	5,304	457	10,000	16,446	95,282
2001	5,230	-	24,424	7,450	0	C	3,858	*	C	2,290	0	4,333	12,933	60,518
2002	5,283	-	26,262	5,108	0	C	4,726	C	2,228	2,219	0	2,256	9,340	57,421
2003	3,664	-	22,896	4,605	0	-	6,222	C	C	1,350	424	3,500	10,390	53,052
2004	C	-	30,817	3,366	0	C	8,294	*	C	1,395	9,661	1,822	10,116	65,471
2005	C	-	30,507	3,831	0	1,551	10,707	*	2,074	C	9,197	C	10,028	67,895
2006	C	-	39,302	5,264	6	2,652	14,099	*	C	C	8,317	C	14,196	83,838
2007	C	-	40,445	711	0	1,058	7,029	*	C	C	5,428	C	8,779	63,450
2008	C	-	41,177	1,234	327	1,785	11,018	C	C	C	7,221	C	12,266	75,028
2009	C	-	35,646	2,636	1,334	2,241	11,807	C	C	C	8,479	C	14,656	76,799
2010	4,206	-	34,902	579	11	1,934	7,089	C	C	-	4,361	C	4,671	57,752
2011	2,804	-	33,351	3,718	648	2,042	7,018	*	C	C	409	C	6,536	56,526

¹ Includes—Incluye: BLZ, BOL, CHN, CYM, CYP, GTM, HND, LBR, NZL, VCT, UNK

TABLE A-3e. Annual catches of bigeye tuna by longline vessels, and totals for all gears, in the EPO, by vessel flag. The data for 2010-2011 are preliminary. *: data missing or not available; -: no data collected; C: data combined with those of other flags; this category is used to avoid revealing the operations of individual vessels or companies.

TABLA A-3e. Capturas anuales de atún patudo por buques de palangre en el OPO, y totales de todas las artes, por bandera del buque. Los datos de 2010-2011 son preliminares. *: datos faltantes o no disponibles; -: datos no tomados; C: datos combinados con aquéllos de otras banderas; se usa esta categoría para no revelar información sobre las actividades de buques o empresas individuales.

	CHN	CRI	FRA-PYF	JPN	KOR	MEX	PAN	TWN	USA	VUT	C + OTR ¹	Total LL	Total PS + LL	OTR ²
1982	-	-	-	50,199	2,969	-	-	197	-	-	*	53,365	60,304	45
1983	-	-	-	57,185	2,614	-	-	244	-	-	*	60,043	64,618	76
1984	-	-	-	44,587	1,613	-	-	194	-	-	*	46,394	55,255	13
1985	-	-	-	61,627	4,510	0	-	188	-	-	*	66,325	72,381	17
1986	-	-	-	91,981	10,187	0	-	257	-	-	*	102,425	105,111	74
1987	-	-	-	87,913	11,681	1	-	526	-	-	*	100,121	101,298	49
1988	-	-	-	66,015	6,151	1	-	591	-	-	*	72,758	74,293	20
1989	-	-	-	67,514	3,138	-	-	311	-	-	*	70,963	72,993	1
1990	-	-	-	86,148	12,127	-	-	596	-	-	*	98,871	104,792	59
1991	-	1	-	85,011	17,883	-	-	1,291	9	-	*	104,195	109,065	56
1992	-	9	7	74,466	9,202	-	-	1,032	92	-	*	84,808	91,987	13
1993	-	25	7	63,190	8,924	*	-	297	55	-	*	72,498	82,155	35
1994	-	1	102	61,471	9,522	-	-	255	9	-	*	71,360	106,259	806
1995	-	13	97	49,016	8,992	-	-	77	74	-	*	58,269	103,590	1,369
1996	-	1	113	36,685	9,983	-	-	95	81	-	*	46,958	108,269	748
1997	-	9	250	40,571	11,376	-	-	256	118	-	*	52,580	116,852	20
1998	-	28	359	35,752	9,731	-	-	314	191	-	*	46,375	90,504	628
1999	-	25	3,652	22,224	9,431	-	-	890	228	-	*	36,450	87,608	538
2000	-	27	653	28,746	13,280	42	14	1,916	162	2,754	11	47,605	142,887	253
2001	2,639	28	684	38,048	12,576	1	80	9,285	147	3,277	1,990	68,755	129,273	19
2002	7,614	19	388	34,193	10,358	-	6	17,253	132	2,995	1,466	74,424	131,845	12
2003	10,066	18	346	24,888	10,272	-	C	12,016	232	1,258	680	59,776	112,828	21
2004	2,645	21	405	21,236	10,729	-	48	7,384	149	407	459	43,483	108,954	194
2005	2,104	23	398	19,113	11,580	-	30	6,441	536	1,056	151	41,432	109,327	25
2006	709	18	388	16,235	8,694	-	37	6,412	85	935	195	33,708	117,546	40
2007	2,324	15	361	13,977	5,611	-	-	6,057	417	1,073	93	29,928	93,378	44
2008	2,379	16	367	14,908	4,150	-	-	1,852	1,277	747	456	26,152	101,180	28
2009	2,481	13	484	15,581	7,612	-	-	3,396	730	1,113	800	32,210	109,009	15
2010	2,490	-	314	15,628	8,964	-	-	5,276	1,351	1,230	613	35,866	93,618	2
2011	1,193	-	-	12,500	7,049	-	-	4,064	293	-	117	25,216	81,742	-

¹ Includes—Incluye: BLZ, CHL, ECU, ESP, HND, PRT, SLV

² Includes gillnets, pole-and-line, recreational, and unknown gears—Incluye red de transmalle, caña, artes deportivas, y desconocidas

TABLE A-4. Preliminary estimates of the retained catches in metric tons, of tunas and bonitos caught by purse-seine, pole-and-line, and recreational vessels in the EPO in 2010 and 2011, by species and vessel flag. The data for yellowfin, skipjack, and bigeye tunas have been adjusted to the species composition estimates, and are preliminary.

TABLA A-4. Estimaciones preliminares de las capturas retenidas, en toneladas métricas, de atunes y bonitos por buques cerqueros, cañeros, y recreacionales en el OPO en 2010 y 2011, por especie y bandera del buque. Los datos de los atunes aleta amarilla, barrilete, y patudo fueron ajustados a las estimaciones de composición por especie, y son preliminares.

	YFT	SKJ	BET	PBF	ALB	BKJ	BZX	TUN	Total	%
2010										
COL	20,493	11,400	4,206	-	-	11	-	1	36,111	7.6
ECU	34,764	82,280	34,902	-	-	555	9	117	152,627	32.2
ESP	2,820	1,569	579	-	-	-	-	-	4,968	1.0
MEX	105,429	3,057	11	7,746	25	2,661	2,815	6	121,750	25.7
NIC	9,422	5,242	1,934	-	-	70	-	1	16,669	3.5
PAN	34,538	19,213	7,089	-	-	3	-	-	60,843	12.8
VEN	21,245	11,818	4,361	-	-	9	-	-	37,433	7.9
OTR ¹	22,962	12,660	4,671	123	2,559	116	97	12	43,200	9.3
Total	251,673	147,239	57,753	7,869	2,584	3,425	2,921	137	473,601	
2011										
COL	18,261	24,167	2,804	-	10	-	-	-	45,242	8.2
ECU	27,158	151,461	33,351	-	-	97	3	26	212,096	38.4
ESP	1,089	5,614	3,718	-	-	-	-	-	10,421	1.9
MEX	102,739	8,840	648	2,730	-	1,990	7,957	43	124,947	22.7
NIC	7,696	4,124	2,042	-	-	-	-	-	13,862	2.5
PAN	18,530	31,003	7,018	-	-	-	-	-	56,551	10.2
VEN	18,133	27,533	409	-	-	39	-	10	46,124	8.4
OTR ²	9,004	26,262	6,536	456	-	69	-	17	42,344	7.7
Total	202,610	279,004	56,526	3,186	10	2,195	7,960	96	551,587	

¹ Includes Bolivia, El Salvador, Guatemala, Honduras, Peru, United States and Vanuatu This category is used to avoid revealing the operations of individual vessels or companies.

¹ Incluye Bolivia, El Salvador, Estados Unidos, Guatemala, Honduras, Perú y Vanuatu Se usa esta categoría para no revelar información sobre las actividades de buques o empresas individuales.

² Includes Bolivia, El Salvador, Guatemala, Honduras, United States and Vanuatu This category is used to avoid revealing the operations of individual vessels or companies.

² Incluye Bolivia, El Salvador, Estados Unidos, Guatemala, Honduras y Vanuatu Se usa esta categoría para no revelar información sobre las actividades de buques o empresas individuales.

TABLE A-5. Annual retained catches of Pacific bluefin tuna, by gear type and flag, in metric tons. The data for 2009 and 2010 are preliminary.

TABLA A-5. Capturas retenidas anuales de atún aleta azul del Pacífico, por arte de pesca y bandera, en toneladas métricas. Los datos de 2009 y 2010 son preliminares.

PBF	Western Pacific flags—Banderas del Pacífico occidental ¹										Eastern Pacific flags—Banderas del Pacífico oriental						Total	
	JPN				KOR ¹			TWN			Sub-total	MEX		USA		Sub-total	OTR	
	PS	LP	LL	OTR	PS	OTR	PS	LL	OTR	PS	OTR	PS	OTR					
1982	19,234	1,777	737	4,239	31	-	-	207	2	26,228	506	-	2,639	13	3,159	-	29,387	
1983	14,774	356	224	4,116	13	-	9	175	2	19,670	214	-	629	44	887	-	20,557	
1984	4,433	587	164	4,977	4	-	5	477	8	10,655	166	-	673	78	917	-	11,573	
1985	4,154	1,817	115	5,587	1	-	80	210	11	11,975	676	-	3,320	117	4,113	-	16,089	
1986	7,412	1,086	116	5,100	344	-	16	70	13	14,157	189	-	4,851	69	5,109	-	19,266	
1987	8,653	1,565	244	3,524	89	-	21	365	14	14,474	119	-	861	54	1,033	-	15,507	
1988	3,605	907	187	2,464	32	-	197	108	62	7,562	447	1	923	56	1,427	-	8,989	
1989	6,190	754	241	1,933	71	-	259	205	54	9,707	57	-	1,046	134	1,236	-	10,943	
1990	2,989	536	336	2,421	132	-	149	189	315	7,067	50	-	1,380	157	1,587	-	8,653	
1991	9,808	286	238	4,204	265	-	-	342	119	15,262	9	-	410	98	517	2	15,781	
1992	7,162	166	529	3,205	288	-	73	464	8	11,896	-	-	1,928	171	2,099	-	13,995	
1993	6,600	129	822	1,759	40	-	1	471	3	9,825	-	-	580	401	981	6	10,811	
1994	8,131	162	1,226	5,667	50	-	-	559	-	15,795	63	2	906	148	1,118	2	16,916	
1995	18,909	270	688	7,224	821	-	-	335	2	28,248	11	-	657	308	975	2	29,225	
1996	7,644	94	909	5,360	102	-	-	956	-	15,066	3,700	-	4,639	110	8,449	4	23,519	
1997	13,152	34	1,312	4,354	1,054	-	-	1,814	-	21,720	367	-	2,240	290	2,897	14	24,632	
1998	5,390	85	1,266	4,439	188	-	-	1,910	-	13,277	1	-	1,771	694	2,466	20	15,763	
1999	16,173	35	1,174	5,192	256	-	-	3,089	-	25,919	2,369	35	184	625	3,213	21	29,153	
2000	16,486	102	959	6,935	1,976	-	-	2,780	2	29,240	3,019	99	693	403	4,214	21	33,475	
2001	7,620	180	797	5,477	968	10	-	1,839	4	16,895	863	-	292	404	1,559	50	18,504	
2002	8,903	99	846	4,159	767	1	-	1,523	4	16,302	1,708	2	50	667	2,427	65	18,794	
2003	5,768	44	1,249	3,124	2,141	-	-	1,863	21	14,211	3,211	43	22	412	3,689	60	17,959	
2004	8,257	132	1,855	3,592	636	-	-	1,714	3	16,189	8,880	14	-	60	8,954	77	25,220	
2005	12,817	549	1,939	6,137	1,318	-	-	1,368	2	24,129	4,542	-	201	86	4,830	27	28,986	
2006	8,880	108	1,131	3,742	1,012	-	-	1,149	1	16,024	9,806	-	-	98	9,904	24	25,952	
2007	6,840	236	2,096	5,096	1,281	-	-	1,401	10	16,960	4,147	-	42	16	4,205	24	21,189	
2008	10,221	64	1,503	5,624	1,866	-	-	979	2	20,259	4,392	15	-	94	4,501	24	24,784	
2009	8,077	50	1,319	5,024	936	-	-	877	11	16,294	3,019	-	410	181	3,610	24	19,928	
2010	3,742	83	806	3,267	1,196	-	-	373	-	9,465	7,745	-	-	117	7,862	24	17,352	

¹ Source: International Scientific Committee, 11th Plenary Meeting, PBFWG workshop report on Pacific Bluefin Tuna, January 2011—Fuente: Comité Científico Internacional, 11^a Reunión Plenaria, Taller PBFWG sobre Atún Aleta Azul del Pacífico, enero de 2011

TABLE A-6a. Annual retained catches of North Pacific albacore by region and gear, in metric tons, compiled from IATTC data (EPO) and SPC data (WCPO). The data for 2009 and 2010 are preliminary.

TABLA A-6a. Capturas retenidas anuales de atún albacora del Pacífico Norte por región, en toneladas métricas, compiladas de datos de la CIAT (OPO) y la SPC (WCPO). Los datos de 2009 y 2010 son preliminares.

ALB (N)	Eastern Pacific Ocean Océano Pacífico oriental					Western and central Pacific Ocean Océano Pacífico occidental y central					Total
	LL	LP	LTL	OTR	Subtotal	LL	LP	LTL	OTR	Subtotal	
1982	1,971	198	3,303	612	6,084	16,304	29,841	3,410	13,351	62,906	68,990
1983	1,572	449	7,751	94	9,866	15,014	21,256	1,833	7,582	45,685	55,551
1984	2,592	1,441	8,343	5,337	17,713	13,541	25,602	1,011	13,333	53,487	71,200
1985	1,313	877	5,308	1,218	8,716	13,468	21,335	1,163	13,729	49,695	58,411
1986	698	86	4,282	243	5,309	12,442	16,442	456	10,695	40,035	45,344
1987	1,114	320	2,300	172	3,906	14,297	18,920	570	11,337	45,124	49,030
1988	899	271	4,202	81	5,453	14,702	6,543	165	18,887	40,297	45,750
1989	952	21	1,852	161	2,986	13,584	8,662	148	19,825	42,219	45,205
1990	1,143	170	2,440	63	3,816	15,465	8,477	465	26,096	50,503	54,319
1991	1,514	834	1,783	6	4,137	16,535	6,269	201	10,792	33,797	37,934
1992	1,635	255	4,515	2	6,407	18,356	13,633	419	16,578	48,986	55,393
1993	1,772	1	4,331	25	6,129	29,371	12,796	2,417	4,087	48,671	54,800
1994	2,356	85	9,581	106	12,128	28,469	26,304	3,553	3,380	61,706	73,834
1995	1,380	465	7,308	102	9,255	31,568	20,596	3,450	1,623	57,237	66,492
1996	1,675	72	8,195	99	10,041	37,708	20,224	13,654	971	72,557	82,598
1997	1,365	59	6,056	1,019	8,499	47,000	32,252	12,618	1,717	93,587	102,086
1998	1,730	81	11,938	1,250	14,999	46,320	22,924	8,136	1,987	79,367	94,366
1999	2,701	227	10,801	3,668	17,397	44,066	50,202	3,052	7,487	104,807	122,204
2000	1,880	86	10,874	1,869	14,709	40,086	21,533	4,371	3,116	69,106	83,815
2001	1,822	157	11,570	1,638	15,187	35,303	29,412	5,168	1,364	71,247	86,434
2002	1,227	381	11,905	2,388	15,901	32,132	48,451	4,418	3,831	88,832	104,733
2003	1,126	59	17,749	2,260	21,194	31,350	36,114	4,137	924	72,525	93,719
2004	854	126	20,162	1,623	22,765	28,430	32,254	2,093	7,354	70,131	92,896
2005	582	66	13,722	1,741	16,111	31,859	16,133	345	1,442	49,779	65,890
2006	3,797	1	18,500	408	22,706	29,354	15,422	431	729	45,936	68,642
2007	2,979	21	17,962	1,416	22,378	29,035	37,768	708	5,022	72,533	94,911
2008	916	1,050	16,149	308	18,423	27,542	18,016	695	2,618	48,871	67,294
2009	518	2,218	16,218	738	19,692	28,217	31,263	618	2,029	62,127	81,819
2010	1,756	1,874	16,627	715	20,972	30,000	19,889	545	284	50,718	71,690

TABLE A-6b. Annual retained catches of South Pacific albacore by region, in metric tons, compiled from IATTC data (EPO) and SPC data (WCPO). The data for 2009 and 2010 are preliminary.

TABLA A-6b. Capturas retenidas anuales de atún albacora del Pacífico Sur por región, en toneladas métricas, compiladas de datos de la CIAT (OPO) y la SPC (WCPO). Los datos de 2009 y 2010 son preliminares.

ALB (S)	Eastern Pacific Ocean Océano Pacífico oriental				Western and central Pacific Ocean Océano Pacífico occidental y central					Total
	LL	LTL	OTR	Subtotal	LL	LP	LTL	OTR	Subtotal	
1982	6,436	-	2	6,438	21,911	1	2,434	4	24,350	30,788
1983	5,861	-	2	5,863	18,448	-	744	37	19,229	25,092
1984	4,120	-	24	4,144	16,220	2	2,773	1,565	20,560	24,704
1985	5,955	-	170	6,125	21,183	-	3,253	1,767	26,203	32,328
1986	5,752	74	149	5,975	26,889	-	1,929	1,797	30,615	36,590
1987	8,880	188	3	9,071	13,099	9	1,946	927	15,981	25,052
1988	9,035	1,282	-	10,317	19,253	-	3,014	5,283	27,550	37,867
1989	5,832	593	90	6,515	12,906	-	7,777	21,878	42,561	49,076
1990	5,393	1,336	306	7,035	13,975	245	5,639	7,232	27,091	34,126
1991	6,379	795	170	7,344	17,006	14	7,010	1,319	25,349	32,693
1992	15,445	1,205	18	16,668	15,147	11	5,373	47	20,578	37,246
1993	9,422	35	19	9,476	20,807	74	4,261	51	25,193	34,669
1994	8,034	446	22	8,502	26,084	67	6,718	67	32,936	41,438
1995	4,805	2	15	4,822	24,527	139	7,714	89	32,469	37,291
1996	5,956	94	21	6,071	17,860	30	7,285	135	25,310	31,381
1997	8,313	466	-	8,779	18,790	21	4,213	133	23,157	31,936
1998	10,905	12	-	10,917	26,886	36	6,268	85	33,275	44,192
1999	8,932	81	7	9,020	22,977	138	3,338	67	26,520	35,540
2000	7,783	778	3	8,564	26,185	102	5,491	136	31,914	40,478
2001	17,588	516	5	18,109	31,050	37	4,626	194	35,907	54,016
2002	14,062	131	40	14,233	46,528	18	4,443	110	51,099	65,332
2003	23,775	419	3	24,197	32,994	12	5,193	127	38,326	62,523
2004	17,590	331	-	17,921	40,197	110	4,200	188	44,695	62,616
2005	8,279	181	7	8,467	49,318	29	3,270	208	52,825	61,292
2006	6,815	48	119	6,982	54,607	29	2,835	207	57,678	64,660
2007	5,955	19	87	6,061	50,635	17	2,063	1	52,716	58,776
2008	5,082	-	159	5,241	51,265	12	3,502	1	54,780	60,021
2009	6,510	-	210	6,720	67,422	21	2,031	1	69,475	76,195
2010	7,667	-	246	7,913	71,205	14	2,141	*	73,360	81,217

TABLE A-7. Estimated numbers of sets, by set type and vessel capacity category, and estimated retained catches, in metric tons, of yellowfin, skipjack, and bigeye tuna in the EPO, by purse-seine vessels. The data for 2011 are preliminary. The data for yellowfin, skipjack, and bigeye tunas have been adjusted to the species composition estimate and are preliminary.

TABLA A-7. Números estimados de lances, por tipo de lance y categoría de capacidad de buque, y capturas retenidas estimadas, en toneladas métricas, de atunes aleta amarilla, barrilete, y patudo en el OPO. Los datos de 2011 son preliminares. Los datos de los atunes aleta amarilla, barrilete, y patudo fueron ajustados a la estimación de composición por especie, y son preliminares.

Vessel capacity—Capacidad del buque	Number of sets—Número de lances		Retained catch—Captura retenida					
			Total	YFT	SKJ			
	≤363 t	>363 t						
DEL								
Sets on fish associated with dolphins Lances sobre peces asociados con delfines								
1996	14	7,472	7,486	138,295	1,760			
1997	43	8,977	9,020	152,052	8,149			
1998	0	10,645	10,645	154,200	4,992			
1999	0	8,648	8,648	143,128	1,705			
2000	0	9,235	9,235	146,533	540			
2001	0	9,876	9,876	238,629	1,802			
2002	0	12,290	12,290	301,099	3,180			
2003	0	13,760	13,760	265,512	13,332			
2004	0	11,783	11,783	177,460	10,730			
2005	0	12,173	12,173	166,211	12,127			
2006	0	8,923	8,923	91,978	4,787			
2007	0	8,871	8,871	97,032	3,277			
2008	0	9,246	9,246	122,105	8,382			
2009	0	10,910	10,910	178,436	2,719			
2010	0	11,645	11,645	168,984	1,627			
2011	0	9,604	9,604	134,220	5,148			
OBJ								
Sets on fish associated with floating objects Lances sobre peces asociados con objetos flotantes								
1996	1,230	3,965	5,195	28,102	69,637			
1997	1,699	5,610	7,309	30,255	116,802			
1998	1,198	5,465	6,663	26,769	110,335			
1999	630	4,483	5,113	43,341	181,636			
2000	508	3,713	4,221	42,522	121,723			
2001	827	5,674	6,501	67,200	122,363			
2002	867	5,771	6,638	38,057	116,793			
2003	706	5,457	6,163	30,307	181,214			
2004	615	4,986	5,601	28,340	117,212			
2005	639	4,992	5,631	26,126	133,509			
2006	1,158	6,862	8,020	34,313	191,093			
2007	1,384	5,857	7,241	29,619	122,286			
2008	1,819	6,655	8,474	34,819	157,274			
2009	1,821	7,077	8,898	36,136	157,067			
2010	1,788	6,399	8,187	38,113	113,716			
2011	2,269	6,920	9,189	39,094	178,262			

TABLE A-7. (continued)
TABLA A-7 (continuación)

	Number of sets—Número de lances		Retained catch—Captura retenida		
	Vessel capacity—Capacidad del buque		Total	YFT	SKJ
	≤363 t	>363 t			
NOA					Sets on unassociated schools Lances sobre cardúmenes no asociados
1996	5,807	5,118	10,925	72,210	32,576
1997	5,334	4,680	10,014	62,571	28,505
1998	5,700	4,607	10,307	72,990	25,304
1999	5,632	6,139	11,771	95,451	78,224
2000	5,497	5,472	10,969	64,208	83,384
2001	4,022	3,024	7,046	78,107	19,000
2002	4,938	3,442	8,380	73,130	33,573
2003	7,274	5,131	12,405	87,460	79,422
2004	4,969	5,696	10,665	66,757	69,882
2005	6,109	7,816	13,925	75,764	117,593
2006	6,189	8,443	14,632	40,340	100,388
2007	4,845	7,211	12,056	43,365	82,732
2008	4,771	6,210	10,981	28,133	130,947
2009	3,308	4,109	7,417	22,184	70,737
2010	2,252	3,886	6,138	43,912	31,849
2011	2,489	5,183	7,672	29,022	95,590
ALL					Sets on all types of schools Lances sobre todos tipos de cardumen
1996	7,051	16,555	23,606	238,607	103,973
1997	7,076	19,267	26,343	244,878	153,456
1998	6,898	20,717	27,615	253,959	140,631
1999	6,262	19,270	25,532	281,920	261,565
2000	6,005	18,420	24,425	253,263	205,647
2001	4,849	18,574	23,423	383,936	143,165
2002	5,805	21,503	27,308	412,286	153,546
2003	7,980	24,348	32,328	383,279	273,968
2004	5,584	22,465	28,049	272,557	197,824
2005	6,748	24,981	31,729	268,101	263,229
2006	7,347	24,228	31,575	166,631	296,268
2007	6,229	21,939	28,168	170,016	208,295
2008	6,590	22,111	28,701	185,057	296,603
2009	5,129	22,096	27,225	236,756	230,523
2010	4,040	21,930	25,970	251,009	147,192
2011	4,758	21,707	26,465	202,336	279,000

TABLE A-8. Types of floating objects on which sets were made. The 2011 data are preliminary.

TABLA A-8. Tipos de objetos flotantes sobre los que se hicieron lances. Los datos de 2011 son preliminares.

OBJ	Flotsam Naturales		FADs Plantados		Unknown Desconocido		Total
	No.	%	No.	%	No.	%	
1996	538	13.6	3,405	85.9	22	0.6	3,965
1997	829	14.8	4,728	84.3	53	0.9	5,610
1998	751	13.7	4,612	84.4	102	1.9	5,465
1999	831	18.5	3,632	81.0	20	0.4	4,483
2000	488	13.1	3,187	85.8	38	1.0	3,713
2001	592	10.4	5,058	89.1	24	0.4	5,674
2002	778	13.5	4,966	86.1	27	0.5	5,771
2003	715	13.1	4,722	86.5	20	0.4	5,457
2004	586	11.8	4,370	87.6	30	0.6	4,986
2005	603	12.1	4,281	85.8	108	2.2	4,992
2006	697	10.2	6,123	89.2	42	0.6	6,862
2007	597	10.2	5,188	88.6	72	1.2	5,857
2008	560	8.4	6,070	91.2	25	0.4	6,655
2009	322	4.5	6,728	95.1	27	0.4	7,077
2010	337	5.3	6,038	94.3	24	0.4	6,399
2011	562	8.1	6,342	91.6	16	0.2	6,920

TABLE A-9. Reported nominal longline fishing effort (E; 1000 hooks), and catch (C; metric tons) of yellowfin, skipjack, bigeye, Pacific bluefin, and albacore tunas only, by flag, in the EPO.

TABLA A-9. Esfuerzo de pesca palangrero nominal reportado (E; 1000 anzuelos), y captura (C; toneladas métricas) de atunes aleta amarilla, barrilete, patudo, aleta azul del Pacífico, y albacora solamente, por bandera, en el OPO.

LL	CHN		JPN		KOR		PYF		TWN		USA		OTR ¹
	E	C	E	C	E	C	E	C	E	C	E	C	C
1982	-	-	116,210	61,369	18,608	7,489	-	-	8,117	3,910	-	-	-
1983	-	-	127,177	69,563	14,680	6,478	-	-	4,850	2,311	-	-	49
1984	-	-	119,628	57,262	11,770	4,490	-	-	3,730	1,734	-	-	-
1985	-	-	106,761	74,347	19,799	10,508	-	-	3,126	1,979	-	-	2
1986	-	-	160,572	111,673	30,778	17,432	-	-	4,874	2,569	-	-	68
1987	-	-	188,386	104,053	36,436	19,405	-	-	12,267	5,335	-	-	273
1988	-	-	182,709	82,384	43,056	10,172	-	-	9,567	4,590	-	-	234
1989	-	-	170,370	84,961	43,365	4,879	-	-	16,360	4,962	-	-	9
1990	-	-	178,414	117,923	47,167	17,415	-	-	12,543	4,755	-	-	-
1991	-	-	200,374	112,337	65,024	24,644	-	-	17,969	5,862	42	12	173
1992	-	-	191,300	93,011	45,634	13,104	199	88	33,025	14,142	325	106	128
1993	-	-	159,956	87,976	46,375	12,843	153	80	18,064	6,566	415	81	227
1994	-	-	163,999	92,606	44,788	13,249	1,373	574	12,588	4,883	303	26	523
1995	-	-	129,599	69,435	54,979	12,778	1,776	559	2,910	1,639	828	179	562
1996	-	-	103,649	52,298	40,290	14,120	2,087	931	5,830	3,554	510	181	184
1997	-	-	96,385	59,325	30,493	16,663	3,464	1,941	8,720	5,673	464	216	752
1998	-	-	106,568	50,167	51,817	15,089	4,724	2,858	10,586	5,039	1,008	405	1,176
1999	-	-	80,950	32,886	54,269	13,295	5,512	4,446	23,247	7,865	1,756	470	1,156
2000	-	-	79,327	45,216	33,585	18,758	8,090	4,382	18,152	7,809	736	204	4,868
2001	13,054	5,162	102,220	54,775	72,261	18,200	7,445	5,086	41,926	20,060	1,438	238	15,614
2002	34,894	10,398	103,912	45,401	96,273	14,370	943	3,238	78,024	31,773	611	138	10,258
2003	43,290	14,548	101,236	36,187	71,006	15,551	11,098	4,101	74,456	28,328	1,313	262	11,595
2004	15,886	4,033	76,828	30,937	55,861	14,540	13,757	3,030	49,981	19,535	1,047	166	9,194
2005	16,895	3,681	65,085	25,712	15,798	12,284	13,356	2,514	38,542	12,229	2,397	557	5,442
2006	*	969	56,525	21,432	*	8,752	11,786	3,220	38,139	12,375	234	121	6,792
2007	12,229	2,624	45,970	20,515	10,548	6,037	9,672	3,753	22,243	9,498	2,686	436	3,731
2008	11,519	2,984	44,555	21,375	4,394	4,302	10,255	3,017	12,547	4,198	6,322	1,369	3,207
2009	*	2,481	41,798	21,698	22,316	8,920	10,686	4,032	13,033	6,366	5,145	852	3,178
2010	11,900	3,590	47,094	20,788	29,356	10,377	8,976	3,139	19,579	10,396	8,823	1,478	2,247

¹ Includes the catches of—Incluye las capturas de: Belize, Chile, Costa Rica, Ecuador, El Salvador, Guatemala, Honduras, México, Nicaragua, Panamá, Vanuatu

TABLE A-10. Numbers and well volumes, in cubic meters, of purse-seine and pole-and line vessels of the EPO tuna fleet. The data for 2011 are preliminary.

TABLA A-10. Número y volumen de bodega, en metros cúbicos, de buques cerqueros y cañeros de la flota atunera del OPO. Los datos de 2011 son preliminares.

	PS		LP		Total	
	No.	Vol. (m ³)	No.	Vol. (m ³)	No.	Vol. (m ³)
1982	222	177,643	40	3,016	262	180,659
1983	211	143,859	59	3,829	270	147,688
1984	164	118,964	49	3,499	213	122,463
1985	176	136,845	26	2,595	202	139,440
1986	165	130,530	17	2,066	182	132,596
1987	173	148,713	29	2,383	202	151,096
1988	185	154,845	39	3,352	224	158,197
1989	176	141,956	32	3,181	208	145,137
1990	172	143,877	23	1,975	195	145,852
1991	152	124,062	22	1,997	174	126,059
1992	158	116,619	20	1,807	178	118,426
1993	151	117,593	15	1,550	166	119,143
1994	166	120,726	20	1,726	186	122,452
1995	175	123,798	20	1,784	195	125,582
1996	180	130,774	17	1,646	197	132,420
1997	194	147,926	23	2,127	217	150,053
1998	202	164,956	22	2,216	224	167,172
1999	209	179,999	14	1,642	223	181,641
2000	205	180,679	12	1,220	217	181,899
2001	204	189,088	10	1,259	214	190,347
2002	218	199,870	6	921	224	200,791
2003	214	202,381	3	338	217	202,719
2004	218	206,473	3	338	221	206,811
2005	221	213,144	4	498	225	213,642
2006	225	225,166	4	498	229	225,664
2007	228	225,901	4	380	232	226,281
2008	219	223,804	4	380	223	224,184
2009	217	224,296	4	380	221	224,676
2010	201	209,870	3	255	204	210,125
2011	206	213,008	2	143	208	213,151

TABLE A-11a. Estimates of the numbers and well volume (cubic meters) of purse-seine (PS) and pole-and-line (LP) vessels that fished in the EPO in 2010, by flag and gear. Each vessel is included in the total for each flag under which it fished during the year, but is included only once in the “Grand total”; therefore the grand total may not equal the sums of the individual flags.

TABLA A-11a. Estimaciones del número y volumen de bodega (metros cúbicos) de buques cerqueros (PS) y cañeros (LP) que pescaron en el OPO en 2010, por bandera y arte de pesca. Se incluye cada buque en los totales de cada bandera bajo la cual pescó durante el año, pero solamente una vez en el “Total general”; por consiguiente, los totales generales no equivalen necesariamente a las sumas de las banderas individuales.

Flag Bandera	Gear Arte	Well volume—Volumen de bodega (m ³)					Total	
		<401	401-800	801-1300	1301-1800	>1800	No.	Vol. (m ³)
		Number—Número						
BOL	PS	1	-	-	-	-	1	222
COL	PS	2	2	7	3	-	14	14,860
ECU	PS	34	25	13	4	9	85	60,685
ESP	PS	-	-	-	-	4	4	10,116
GTM	PS	-	-	1	1	1	3	4,819
HND	PS	-	1	1	-	-	2	1,559
MEX	PS	3	3	18	15	-	39	45,224
	LP	3	-	-	-	-	3	255
NIC	PS	-	-	4	1	-	5	6,353
PAN	PS	-	3	8	10	3	24	32,599
PER	PS	-	1	-	-	-	1	458
SLV	PS	-	-	1	-	3	4	7,415
VEN	PS	-	-	9	8	-	17	22,747
VUT	PS	-	-	1	2	-	3	3,609
Grand total—	PS	40	34	63	44	20	201	
Total general	LP	3	-	-	-	-	3	
	PS + LP	43	34	63	44	20	204	
Well volume—Volumen de bodega (m ³)								
Grand total—	PS	10,761	19,638	70,679	65,556	43,236		209,870
Total general	LP	255	-	-	-	-		255
	PS + LP	11,016	19,638	70,679	65,556	43,236		210,125

- : none—ninguno

TABLE A-11b. Estimates of the numbers and well volumes (cubic meters) of purse-seine (PS) and pole-and-line (LP) vessels that fished in the EPO in 2011 by flag and gear. Each vessel is included in the total for each flag under which it fished during the year, but is included only once in the “Grand total”; therefore the grand total may not equal the sums of the individual flags.

TABLA A-11b. Estimaciones del número y volumen de bodega (metros cúbicos) de buques cerqueros (PS) y cañeros (LP) que pescaron en el OPO en 2011, por bandera y arte de pesca. Se incluye cada buque en los totales de cada bandera bajo la cual pescó durante el año, pero solamente una vez en el “Total general”; por consiguiente, los totales generales no equivalen necesariamente a las sumas de las banderas individuales.

Flag Bandera	Gear Arte	Well volume—Volumen de bodega (m ³)					Total	
		<401	401-800	801-1300	1301-1800	>1800	No.	Vol. (m ³)
		Number—Número						
BOL	PS	1	-	-	-	-	1	222
COL	PS	2	2	7	3	-	14	14,860
ECU	PS	36	28	17	6	9	96	70,014
ESP	PS	-	-	-	-	4	4	10,116
GTM	PS	-	-	1	1	1	3	4,819
MEX	PS	3	3	20	15	-	41	47,274
	LP	2	-	-	-	-	2	143
NIC	PS	-	-	4	3	-	7	9,685
PAN	PS	-	3	7	6	3	19	25,443
SLV	PS	-	-	-	1	3	4	7,892
USA	PS	-	-	2	1	-	3	4,046
VEN	PS	-	-	10	8	-	18	24,007
VUT	PS	-	-	1	2	-	3	3,609
Grand total—	PS	42	36	65	43	20	206	
Total general	LP	2	-	-	-	-	2	
	PS + LP	44	36	65	43	20	208	
Well volume—Volumen de bodega (m ³)								
Grand total—	PS	11,031	21,562	73,042	64,137	43,236		213,008
Total general	LP	143	-	-	-	-		143
	PS + LP	11,174	21,562	73,042	64,137	43,236		213,151

- : none—ninguno

TABLE A-12. Minimum, maximum, and average capacity, in thousands of cubic meters, of purse-seine and pole-and-line vessels at sea in the EPO during 2001-2010 and in 2011, by month.

TABLA A-12. Capacidad mínima, máxima, y media, en miles de metros cúbicos, de los buques cerqueros y cañeros en el mar en el OPO durante 2001-2010 y en 2011 por mes.

Month Mes	2001-2010			2011
	Min	Max	Ave.-Prom.	
1	100.7	157.7	126.6	88.6
2	106.4	175.3	146.2	152.5
3	101.2	159.9	138.1	135.4
4	110.8	165.0	144.5	145.9
5	115.8	164.4	143.8	139.8
6	110.7	175.0	145.4	157.4
7	116.4	170.4	151.3	154.1
8	62.2	140.2	108.6	108.0
9	107.0	137.7	121.0	105.5
10	121.6	172.2	153.1	150.7
11	109.8	150.8	131.6	102.9
12	39.1	116.4	73.2	54.3
Ave.-Prom.	100.1	157.1	132.0	124.6

A. LA PESQUERÍA DE ATUNES Y PEZES PICUDOS EN EL OCÉANO PACÍFICO ORIENTAL

1. Capturas y descargas de atunes, peces picudos, y especies asociadas	54
1.1. Capturas por especie	55
1.2. Distribución de las capturas de atunes	58
1.3. Composición por tamaño de las capturas de atunes.....	59
1.4. Capturas de atunes y bonitos, por bandera y arte.....	61
2. Esfuerzo de pesca.....	61
2.1. Pesca de cerco	61
2.2. Pesca palangrera.....	61
3. Las flotas.....	62
3.1. Las flotas de cerco y de caña	62
3.2. Otras flotas del OPO	63

En esta sección se presenta un resumen de las pesquerías de las especies amparadas por la Convención de la CIAT (los atunes y otros peces capturados por buques atuneros) en el Océano Pacífico oriental (OPO). Las más importantes de éstas son los escómbridos (familia Scombridae), que incluyen los atunes, bonitos, carites y caballas. Las especies principales de atunes capturadas son el aleta amarilla, barrilete, patudo y albacora, con capturas menores de los atunes aleta azul del Pacífico y barrilete negro y de melvas; se capturan también otros escómbridos, como el bonito y el peto.

Esta sección abarca también otras especies capturadas por buques atuneros en el OPO: peces picudos (pez espada, marlines y pez vela), carángidos (jureles y salmón), dorado, elasmobranquios (tiburones y rayas) y otros peces.

La mayor parte de las capturas es realizada por las flotas de cerco y palangrera; la flota cañera y varias pesquerías artesanales y recreacionales toman un pequeño porcentaje de las capturas totales.

Se dispone de datos detallados de las pesquerías cerquera y cañera; los datos de las pesquerías palangreras, artesanales y recreacionales son incompletos.

El [Registro Regional de Buques](#) de la CIAT contiene detalles de los buques autorizados para pescar atunes en el OPO. La CIAT cuenta con registros detallados de la mayoría de los buques cerqueros y cañeros que pescan atunes aleta amarilla, barrilete, patudo y/o aleta azul del Pacífico en el OPO. El Registro es incompleto para buques pequeños. Incluye la mayoría de los buques palangreros grandes (eslora total >24 m) que pescan en el OPO y en otros océanos.

Los datos en el presente informe provienen de varias fuentes, entre ellas los cuadernos de bitácora de los buques, datos de observadores, registros de descargas provistos por empresas enlatadoras y otros procesadores, registros de importaciones y exportaciones, informes de los gobiernos y otras entidades, y estimaciones derivadas del programa de muestreo de especies y composición por talla.

1. CAPTURAS Y DESCARGAS DE ATUNES, PEZES PICUDOS, Y ESPECIES ASOCIADAS

Estimar la captura total de una especie de pez es difícil, por varios motivos. Pescado es descartado en el mar, y los datos de algunas artes de pesca son incompletos. Desde 1993 los observadores han tomado datos sobre pescado descartado en el mar por buques cerqueros de más de 363 toneladas métricas (t) de capacidad de acarreo, lo cual permite una estimación más precisa de las cantidades totales de pescado capturadas por la flota de cerco. Las estimaciones de la cantidad total de la captura que se descarga (en lo sucesivo la “captura retenida”) se basan principalmente en datos de descarga. A partir del [Informe de la Situación de la Pesquería 3](#), que describe la pesquería en 2004, los datos de descargas de buques cerqueros y cañeros son ajustados con base en las estimaciones de composición por especies para los

atunes aleta amarilla, barrilete, y patudo. El programa actual de muestreo de composición por especies, descrito en la Sección 1.3.1, comenzó en 2000, y por lo tanto los datos de captura de 2000-2011 son ajustados con base en las estimaciones obtenidas para cada año, por bandera. Para ajustar los datos de captura de los años previos, se aplicó la proporción media de especies de las estimaciones de 2000-2004, por bandera, y se sumó para todas las banderas. En general, esto ha incrementado las capturas estimadas de patudo, y reducido aquéllas de aleta amarilla y barrilete. Todos estos ajustes son preliminares, y podrían ser mejorados en el futuro. Todos los datos de 2011 de la flotas cerquera y cañera son provisionales.

Se obtienen los datos de las capturas retenidas de la mayoría de los buques palangreros grandes de los gobiernos de las naciones que pescan atunes en el OPO. Los buques palangreros, particularmente los más grandes, dirigen su esfuerzo principalmente hacia los atunes patudo, aleta amarilla, y albacora, o el pez espada. Los datos de los buques palangreros pequeños, artesanales y otros que pescan atunes, peces picudos, dorado, y tiburones en el OPO fueron obtenidos directamente de los gobiernos, de los cuadernos de bitácora, o de informes publicados por los gobiernos. Los datos del Pacífico occidental y central (WCPO) fueron provistos por el Programa de Pesquerías Oceánicas de la Secretaría de la Comunidad del Pacífico (SPC). Todos los datos de captura en el OPO con palangre y otras artes en 2010 y 2011 son preliminares.

Los datos de todas estas fuentes fueron compilados en una base de datos por el personal de la CIAT y resumidos en el presente informe. En los últimos años, el personal de la CIAT ha incrementado sus esfuerzos por compilar datos sobre las capturas de atunes, peces picudos, y otras especies capturadas con otras artes, como curricán, arpón, y red de transmalle, y artes recreacionales. En la Tabla A-1 se presentan las capturas totales de aleta amarilla, barrilete, y patudo en el Océano Pacífico entero, estimadas de todas las fuentes mencionadas; son tratadas en mayor detalle en las secciones siguientes.

En las Tablas A-2a-c se presentan estimaciones de las capturas anuales retenidas y descartadas de atunes y otras especies capturadas por buques atuneros en el OPO durante 1982-2011. En las Tablas A-3a-e se presentan las capturas de atunes aleta amarilla, patudo, y barrilete, por arte y bandera, durante 1982-2011, y en la Tabla A-4 se resumen por bandera las capturas cerqueras y cañeras de atunes y bonitos durante 2010-2011. No se restringió la pesca del atún en el OPO durante 1988-1997, pero las capturas de la mayoría de las especies fueron afectadas por las restricciones de la pesca durante partes, o la totalidad, del segundo semestre del año durante 1998-2011. Además, la reglamentación de aquellos cerqueros que dirigen su esfuerzo hacia atunes asociados con delfines afectó el modo de operación de esos buques, especialmente desde fines de los años 1980 (ver Sección 4).

Las capturas fueron afectadas también por perturbaciones climáticas, tales como los importantes eventos de El Niño que ocurrieron durante 1982-1983 y 1997-1998. Estos redujeron la vulnerabilidad de los peces a la captura con red de cerco debido a la mayor profundidad de la termoclinia, pero aparentemente no tuvieron ningún efecto sobre las capturas palangreras. El reclutamiento de aleta amarilla suele ser mayor después de un evento de El Niño.

1.1. Capturas por especie

1.1.1. Atún aleta amarilla

En la Tabla A-1 se presentan las capturas anuales de aleta amarilla durante 1982-2011. En general, las capturas han aumentado durante este período en el OPO y en el Pacífico occidental y central. En el OPO, el Niño de 1982-1983 causó una reducción de las capturas en esos años, mientras que las capturas en el resto del Pacífico aparentemente no fueron afectadas. Aunque el alcance del Niño de 1997-1998 fue mayor, no tuvo el mismo efecto sobre las capturas de aleta amarilla en el OPO. La captura de aleta amarilla en el OPO en 2002, 443 mil t, estableció un récord, pero durante 2004-2009 disminuyó sustancialmente, y la captura en 2011, 203 mil t, fue mayor que las capturas durante 2006-2008, pero menor que aquéllas durante 1996-2005. En el Pacífico occidental y central alcanzaron 341 mil t en 1990

y un pico de 425 mil t en 1998, y siguieron altas hasta 2001 (405 mil t); aumentaron a 417 mil t en 2003, y disminuyeron a 384 mil t en 2004, aumentaron a 539 mil t en 2008, y disminuyeron de nuevo en 2009, a 416 mil t.

En la Tabla A-2a se presentan las capturas retenidas anuales de aleta amarilla en el OPO por buques cerqueros y cañeros durante 1982-2011. La captura retenida anual media durante 1996-2010 fue 269 mil t (amplitud: 167 a 413 mil t); la estimación preliminar de la captura retenida en 2011, 203 mil t, fue 19% menos que aquélla de 2010, y 25% menos que el promedio de 1996-2010. Los descartes medios de aleta amarilla en el mar durante 1996-2010 se cifraron en un 1% (amplitud: 1 a 3%) de la captura total cerquera (capturas retenidas más descartes) de la especie (Tabla A-2a).

En la Tabla A-2a se presentan las capturas retenidas anuales de aleta amarilla en el OPO por buques palangreros durante 1982-2011. Durante 1996-2010 fueron relativamente estables, con un promedio de unas 16 mil t (amplitud: 7 a 30 mil t), o un 5% de las capturas retenidas totales de la especie. El aleta amarilla es capturado también por buques de pesca recreacional, incidentalmente en redes de transmalle, y en pesquerías artesanales. En la columna de ‘Otras artes’ (OTR) de la Tabla A-2a se presentan estimaciones de estas capturas; durante 1996-2010 fueron en promedio unas mil t.

1.1.2. Atún barrilete

En la Tabla A-1 se presentan las capturas anuales de barrilete durante 1982-2011. La mayoría de la captura de barrilete en el Océano Pacífico proviene del Pacífico occidental y central. La mayor captura anual registrada en esa región, unos 1,8 millones de toneladas, ocurrió en 2009, y la captura total récord en el OPO, 310 mil t, ocurrió en 2006.

En la Tabla A-2a se presentan las capturas retenidas anuales de barrilete en el OPO por buques cerqueros y cañeros durante 1982-2011. La captura retenida anual media durante 1996-2010 fue 206 mil t (amplitud: 107 a 297 mil t). La estimación preliminar de la captura retenida de barrilete en 2011, 270 mil t, es 31% más que el promedio de 1996-2010, y 9% menos que la captura retenida récord previa de 2006. Los descartes medios anuales de barrilete en el mar durante 1996-2010 se cifraron en un 8% (amplitud: 2 a 19%) de la captura total de la especie (Tabla A-2a).

Se capturan pequeñas cantidades de barrilete con palangre y otros tipos de arte (Tabla A-2a).

1.1.3. Atún patudo

En la Tabla A-1 se presentan las capturas anuales de patudo durante 1982-2011. En general, las capturas en el OPO y en el Pacífico occidental y central han aumentado, pero con fluctuaciones considerables. Las capturas en el OPO alcanzaron 105 mil t en 1986, y desde entonces han fluctuado entre unas 73 y 149 mil t, con la mayor captura en 2000. En el Pacífico occidental y central, las capturas de patudo aumentaron a más de 77 mil t a fines de la década de 1970, disminuyeron en los años 1980, y luego aumentaron, con fluctuaciones menores, hasta 1999, cuando llegaron a más de 112 mil t. Aumentaron de forma importante en 2006, a 125 mil t, y en 2007, 2008, y 2009, se cifraron en 118, 132, y 121 mil t, respectivamente.

Antes de 1994 la captura retenida media anual de patudo por buques cerqueros en el OPO fue alrededor de 8 mil t (Tabla A-2a). Con el desarrollo de dispositivos agregadores de peces (plantados) colocados en el agua por los pescadores para atraer atunes, las capturas retenidas anuales de patudo aumentaron de 35 mil t en 1994 a entre 44 y 95 mil t durante 1996-2010. La estimación preliminar de la captura retenida en el OPO en 2011 es de 58 mil t. Los descartes medios anuales de patudo en el mar durante 1996-2010 se cifraron en un 4% de la captura cerquera de la especie (amplitud: 1 a 9%). Los buques cañeros capturaron pequeñas cantidades de patudo en algunos años (Tabla A-2a).

Durante 1982-1995, antes del incremento en el uso de plantados y las mayores capturas cerqueras de patudo resultantes, las capturas palangreras de patudo en el OPO variaron de 46 a 104 mil t, con un promedio de 76 mil t, un 88%, en promedio, de las capturas retenidas de esta especie en el EPO. Durante 1996-2010, las capturas anuales retenidas de las pesquerías palangreras oscilaron entre unas 26 y 74 mil t

(promedio: 45 mil t), en promedio un 40% de la captura total de patudo en el OPO (Tabla A-2a). La estimación preliminar de la captura palangrera en el OPO en 2011 es de 25 mil t (Tabla A-2a).

Se capturan pequeñas cantidades de patudo con otros tipos de arte (Tabla A-2a).

1.1.4. Atún aleta azul

En la Tabla A-5 se presentan las capturas de aleta azul del Pacífico en el Océano Pacífico entero, por bandera y arte. Los datos, obtenidos del Comité Científico Internacional sobre los Atunes y Especies Afines en el Océano Pacífico Norte (ISC), son desglosados por nación o entidad pesquera, sin tener en cuenta la región del Pacífico donde fue capturado el pescado.

En la Tabla A-2a se presentan las capturas de atún aleta azul del Pacífico en el OPO durante 1982-2011, por arte de pesca. Durante 1996-2010 la captura anual retenida de la especie en el OPO por buques cerqueros y cañeros fue en promedio 4.600 t (amplitud: 1,2 a 9,9 mil t). La estimación preliminar de la captura retenida de aleta azul en 2011, 2,7 mil t, es 1,9 mil t menor que el promedio de 1996-2010. Pequeñas cantidades de aleta azul son descartadas en el mar por buques cerqueros (Tabla A-2a).

1.1.5. Atún albacora

En la Tabla A-6 se presentan las capturas de albacora en el Océano Pacífico entero, por arte y zona (al norte y al sur de la línea ecuatorial). En la Tabla A-2a se presentan las capturas de albacora en el OPO, por arte de pesca. Una porción importante de la captura de la especie es tomada con curricán, incluido en otras artes (OTR) en la Tabla A-2a. Los datos de capturas fueron obtenidos de datos de la CIAT en el caso del OPO, y de datos compilados por la SPC en el caso del Pacífico occidental y central.

1.1.6. Otros atunes y especies afines

Los atunes aleta amarilla, barrilete, y patudo forman el componente más importante de las capturas retenidas de la flota cerquera y cañera en el OPO, pero otros atunes y especies afines, como el barrilete negro, bonito, peto, y las melvas, contribuyen a la captura general de la región. En la Tabla A-2a se presentan estimaciones de las capturas anuales retenidas y descartadas de estas especies durante 1982-2011. Las capturas incluidas en la categoría de atunes no identificados (TUN) en la Tabla A-2a contienen algunas capturas reportadas por especie (melvas o petos) junto con los atunes no identificados. La captura retenida total de estas otras especies en estas pesquerías fue unas 10 mil toneladas en 2011, más que el promedio de 1996-2010 de unas 5 mil t (amplitud: 500 t a 19 mil t).

El barrilete negro es también capturado con otras artes en el OPO, principalmente en la pesca artesanal costera. El bonito es asimismo capturado en las pesquerías artesanales, y ha sido reportado como captura por buques palangreros en algunos años.

1.1.7. Peces picudos

En la Tabla A-2b se presentan datos de captura de los peces picudos (pez espada, marlín azul, negro, rayado y trompa corta, y pez vela).

En general, los delfines, tortugas marinas, ballenas tiburón, y peces pequeños son los únicos animales capturados en la pesquería de cerco que son liberados vivos. En versiones previas del presente informe, todos los peces picudos capturados en esas pesquerías son clasificados como descartados muertos. Si la gran mayoría de los individuos o especies capturados incidentalmente es descartada, la diferencia entre las capturas y los descartes no son significativas para esas especies, pero a medida que aumenta la tasa de retención de especies antes descartadas, parte de la captura incidental cambia a ser captura, y la distinción se vuelve importante. Como resultado de una revisión en 2010, esto ha sido aclarado en la Tabla A-2b con una columna adicional de captura retenida al lado de la columna de descartes.

El pez espada es capturado en el OPO con palangres a gran escala y artesanales, red de transmalle, arpón y, de vez en cuando, por buques recreacionales. La captura palangrera anual media de pez espada durante 1996-2010 fue 12 mil t, pero durante 2001-2004 unas 17 mil t. No queda claro si esto se debe a una

mayor abundancia de la especie o a un aumento del esfuerzo dirigido hacia la misma.

Los demás peces picudos son capturados con palangres a gran escala y artesanales y por artes recreacionales. Las capturas palangreras anuales medias de marlín azul y marlín rayado durante 1996-2010 fueron unas 3 mil y 2 mil t, respectivamente. Se capturan cantidades menores de otros peces picudos con palangre.

Desgraciadamente, se cuenta con muy poca información sobre las capturas recreacionales de peces picudos, pero se cree que son sustancialmente menores que las capturas comerciales de todas estas especies.

Se capturan pequeñas cantidades de peces picudos con red de cerco; algunos son retenidos, y otros son considerados descartados, aunque es posible que parte de esta captura sea descargada sin ser reportada. Se incluyen estos datos en la Tabla A-2b.

1.1.8. Otras especies

En la Tabla A-2c se presentan datos de las capturas y descartes de carángidos (jureles y salmón), dorado, elasmobranquios (tiburones y rayas) y otros peces capturados en el OPO.

En la Tabla A-2c se clasifican en retenidas o descartadas las capturas incidentales de otras especies en la pesquería de cerco. Como resultado de una revisión en 2010, se modificó la asignación de las capturas en estas categorías.

Las capturas de dorado son descargadas principalmente en puertos de América Central y del Sur. Aunque en algunos años se captura más que 10 mil t de la especie, rara vez se informa del tipo de arte.

1.2. Distribución de las capturas de atunes

1.2.1. Capturas cerqueras

En las Figuras A-1a, A-2a, y A-3a ilustran las distribuciones anuales medias de las capturas cerqueras de aleta amarilla, barrilete y patudo, por tipo de lance, en el OPO durante 2006-2010, y en las Figuras A-1b, A-2b, y A3b estimaciones preliminares para 2011. La mayoría de las capturas de aleta amarilla en 2011 provino de las áreas al norte de 5°N y al este de 140°O. Las capturas de aleta amarilla sobre delfines fueron mayores en las áreas costeras frente al sur de México. Las capturas de aleta amarilla sobre objetos flotantes y no asociados en 2011 fueron similares a las distribuciones anuales medias de 2006-2010, mientras que los lances sobre delfines en el área entre 0° y 5°S disminuyeron ligeramente. Las capturas de barrilete en 2011 fueron más bajas en las áreas costeras frente a Ecuador, pero mayores en las áreas ecuatoriales de alta mar alrededor de las islas Galápagos. Las capturas de barrilete entre 10°S y 20°S fueron asimismo algo mayores en 2011 en comparación con las distribuciones anuales medias de 2006-2010. Las distribuciones de las capturas de patudo en 2011 fueron muy similares a la distribución media de las capturas durante 2006-2010.

No se captura a menudo patudo al norte de aproximadamente 7°N, y las capturas de la especie han disminuido en las zonas costeras de América del Sur desde hace varios años. Con el desarrollo de la pesquería sobre plantados, arriba descrita, la importancia relativa de las zonas costeras ha disminuido, mientras que la de las zonas de altura ha aumentado. La mayoría de las capturas de patudo provienen de lances sobre plantados entre 5°N y 5°S.

1.2.2. Capturas palangreras

Las bases de datos de la CIAT contienen datos sobre las distribuciones espacial y temporal de las capturas en el OPO de las flotas palangreras de aguas lejanas de China, la República de Corea, España, Estados Unidos, Japón, Polinesia Francesa, Taipeí Chino, y Vanuatu. Los atunes patudo y aleta amarilla forman la mayor parte de las capturas de la mayoría de estos buques. En la Figura A-4 se ilustra la distribución de las capturas de atunes de estas dos especies por buques de palangre de Corea, Japón, y Taipeí Chino en el Océano Pacífico durante 2006-2010. Se presentan datos de la pesquería palangrera japonesa en el OPO

durante 1956-2003 en los Boletines de la CIAT que describen esa pesquería.

1.3. Composición por tamaño de las capturas de atunes

1.3.1. Pesquerías de cerco, de caña, y recreacional

Las muestras de frecuencia de talla son la fuente básica de los datos usados para estimar la composición por talla y edad de las distintas especies de peces en las descargas. Esta información es necesaria para obtener estimaciones de la composición de las poblaciones por edad, usadas para varios propósitos, entre ellos el modelado integrado que el personal ha usado en los últimos años. Los resultados de estudios de este tipo han sido descritos en diversos Boletines de la CIAT, en sus Informes Anuales de 1954 a 2002, y en sus Informes de Evaluación de Poblaciones.

Las muestras de frecuencia de talla de aleta amarilla, barrilete, patudo, aleta azul del Pacífico y, ocasionalmente, barrilete negro de las capturas de buques cerqueros, cañeros, y recreacionales en el OPO son tomadas por el personal de la CIAT en puertos de descarga en Ecuador, Estados Unidos, México, Panamá, y Venezuela. El muestreo de las capturas de aleta amarilla y barrilete fue iniciado en 1954, el de aleta azul en 1973, y el de patudo en 1975, y continúa actualmente.

En el [Informe Anual de la CIAT de 2000](#) y los Informes de Evaluación de Stocks [2](#) y [4](#) se describen los métodos de muestreo de las capturas de atún. En breve, se selecciona para el muestreo pescado en las bodegas de buques cerqueros y cañeros solamente si todo el pescado en la bodega fue capturado durante un solo mes, en un solo tipo de lance (delfín, objeto flotante, o no asociado), y en la misma zona de muestreo. Se clasifican estos datos por pesquería (Figura A-5), con base en las evaluaciones más recientes de las poblaciones realizadas por el personal.

En este informe se presentan datos de pescado capturado durante 2006-2011. Para cada especie, excepto el aleta azul y el barrilete negro, se presentan dos histogramas de frecuencia de talla: el primero presenta los datos por estrato (arte de pesca, tipo de lance, y zona) para 2011, y el segundo ilustra los datos combinados para cada año del período de 2006-2011. En el caso del aleta azul, se ilustran las capturas comerciales y recreacionales de 2006-2011 combinadas. En el caso del barrilete negro, los histogramas ilustran las capturas por artes comerciales durante 2006-2011. Hubo muy poca captura por buques cañeros en 2011, y no se obtuvo ninguna muestra de los mismos.

Para la evaluación de las poblaciones de aleta amarilla se definen nueve pesquerías de cerco (cuatro asociadas con objetos flotantes, tres asociadas con delfines, dos de atunes no asociados) y una de caña (Figura A-5). La última abarca todas las 13 zonas de muestreo. De las 859 bodegas muestreadas, 582 contenían aleta amarilla. En la Figura A-6a se ilustran las composiciones por talla estimadas del pescado capturado durante 2011. La mayoría de la captura de aleta amarilla provino de lances asociados con delfines y en lances no asociados. La mayoría del aleta amarilla grande (>100 cm) fue capturado durante todo el año en las pesquerías sobre delfines del Norte y Costera, con cantidades menores capturadas durante todo el año en la pesquería sobre delfines del Sur. Fueron también capturadas cantidades menores de aleta amarilla grande en la pesquería no asociada del Norte, principalmente en los trimestres primero y segundo, y en la pesquería no asociada del Sur durante los trimestres primero y cuarto. Aletas amarillas más pequeñas (<100 cm) fueron capturados principalmente en las pesquerías sobre delfines del Norte y Costera durante todo el año, y en la pesquería no asociada del Norte durante los trimestres primero y segundo. Fueron capturadas cantidades menores de aleta amarilla pequeño en las pesquerías sobre objetos flotantes, principalmente en los trimestres primero y segundo.

En la Figura A-6b se ilustra la composición por talla estimada del aleta amarilla capturado por todas las pesquerías combinadas durante 2006-2011. El peso medio del aleta amarilla capturado en 2011 (10,8 kg) fue mayor que aquel de 2010, pero menor que aquel de 2009.

Para la evaluación de las poblaciones de barrilete se definen siete pesquerías de cerco (cuatro asociadas con objetos flotantes, dos de atunes no asociados, una asociada con delfines) y una de caña (Figura A-5).

Las dos últimas abarcan todas las 13 zonas de muestreo. De las 859 bodegas muestreadas, 510 contenían barrilete. En la Figura A-7a se ilustran las composiciones por talla estimadas del pescado capturado durante 2011. Fueron capturadas grandes cantidades de barrilete de entre 40 y 50 cm de talla en la pesquería no asociada del Sur durante los trimestres primero y segundo, y en las pesquerías sobre objetos flotantes, principalmente en los tres primeros trimestres del año. Fueron capturados barriletes más grandes, de entre 60 y 70 cm de talla, en la pesquería no asociada del Sur durante los trimestres tercero y cuarto, y en las pesquerías sobre objetos flotantes del Norte y Ecuatorial durante los trimestres segundo, tercero, y cuarto.

En la Figura A-7b se ilustra la composición por talla estimada del barrilete capturado por todas las pesquerías combinadas durante 2006-2011. El peso medio del barrilete en 2011 (2,4 kg) es mayor que aquéllos de los cinco años previos.

Para la evaluación de las poblaciones de patudo se definen seis pesquerías de cerco (cuatro asociadas con objetos flotantes, una de atunes no asociados, una asociada con delfines) y una de caña (Figura A-5). Las tres últimas abarcan todas las 13 zonas de muestreo. De las 858 bodegas muestreadas, 138 contenían patudo. En la Figura A-8a se ilustran las composiciones por talla estimadas del pescado capturado durante 2011. En 2000 la mayor parte de la captura provino de lances sobre objetos flotantes en la zona ecuatorial, pero desde 2001 hasta 2003 provino de lances sobre objetos flotantes en la zona sur. En 2011, fueron capturadas grandes cantidades de patudo en las pesquerías sobre objetos flotantes del Norte, Ecuatorial, y del Sur. Fueron capturadas cantidades menores de patudo en la pesquería no asociada, principalmente durante el cuarto trimestre. Fueron capturados patudos más grandes (>100 cm) en todas las pesquerías sobre objetos flotantes, principalmente en los trimestres primero y segundo. Fueron capturados patudos más pequeños, de entre 40 y 80 cm de talla, en las pesquerías sobre objetos flotantes del Norte, Ecuatorial, y del Sur durante los trimestres segundo, tercero, y cuarto.

En la Figura A-8b se ilustra la composición por talla estimada del patudo capturado por todas las pesquerías combinadas durante 2006-2011. El peso medio del patudo en 2011 (7,9 kg) fue mayor que aquellos de los cinco años previos.

El aleta azul del Pacífico es capturado con red de cerco y con artes recreacionales frente a California y Baja California, entre 23°N y 35°N , aproximadamente, principalmente entre mayo y diciembre. Durante 2011 fue capturado entre 26°N y 32°N desde junio hasta septiembre. La mayor parte de las capturas comerciales y recreacionales fue lograda en julio y agosto. Antes de 2004 se reportaban las tallas del pescado en las capturas comercial y recreacional por separado, pero durante 2004-2011 el pequeño tamaño de las muestras imposibilitó la estimación de la composición por talla por separado. Se combinaron por tanto las tallas del pescado en las capturas comercial y recreacional de aleta azul para cada año del período de 2004-2011. El peso medio del pescado capturado durante 2011 fue ligeramente menor que aquél de 2010. En la Figura A-9 se presentan las composiciones por talla estimadas.

El barrilete negro es capturado incidentalmente por pescadores que dirigen su esfuerzo hacia los atunes aleta amarilla, barrilete, y patudo. La demanda de la especie es baja, y la mayoría de las capturas es desecharia en el mar, pero a veces se retienen pequeñas cantidades, mezcladas con las especies más deseadas. En 2011 se tomaron 18 muestras de barrilete negro; en la Figura A-10 se ilustra la composición estimada por talla de la especie en cada año del período de 2006-2011.

1.3.2. Pesquería de palangre

En las Figuras A-11 y A-12 se ilustra la composición estimada por talla de las capturas de aleta amarilla y patudo por la pesquería palangrera japonesa en el OPO durante 2005-2009. El peso promedio del aleta amarilla en 2009 (43,5 kg) fue considerablemente mayor que aquél de 2008 (38,2 kg), pero en el caso del patudo disminuyó de 43,1 kg a 47,1 kg en 2008. En los Boletines de la CIAT que describen esta pesquería se presenta información sobre la composición por talla del pescado capturado en el OPO durante 1958-2003.

1.4. Capturas de atunes y bonitos, por bandera y arte

En las Tablas A-3a-e se detallan las capturas retenidas anuales de atunes y bonitos en el OPO durante 1982-2011, clasificadas por bandera y arte. Las tablas incluyen todas las capturas conocidas de atunes, compiladas de varias fuentes, entre ellas los cuadernos de bitácora de los buques, datos de observadores, registros de descargas provistos por empresas enlatadoras y otros procesadores, registros de importaciones y exportaciones, informes de los gobiernos y otras entidades, y estimaciones derivadas del programa de muestreo de especies y composición por talla. En [el sitio web de la CIAT](#) se presenta información similar de años anteriores a 2001 sobre los atunes y bonitos, y datos históricos de atunes, peces picudos, tiburones, carángidos, dorado, y peces misceláneos. En la Tabla A-4 se resumen las capturas cerqueras y cañeras de atunes y bonitos en 2010 y 2011, por bandera. De las 552 mil t de atunes y bonitos capturadas en 2011, 38% fue capturado por buques ecuatorianos, y 23% por buques mexicanos. Otros países con capturas importantes de atunes y bonitos en el OPO incluyen Panamá (10%), Venezuela (8%), y Colombia (8%).

2. ESFUERZO DE PESCA

2.1. Pesca de cerco

En la Tabla A-7 se presentan estimaciones del número de lances cerqueros de cada tipo (asociados con delfines, asociados con objetos flotantes (naturales y plantados), y no asociados) en el OPO durante 1996-2011 y de las capturas retenidas de esos lances (Figura 1). Se calcularon las estimaciones para los buques de ≤ 363 t de capacidad de acarreo con datos de bitácora en la base de datos estadística de la CIAT, y aquéllos para los buques de > 363 t de capacidad de acarreo a partir de las bases de datos de observadores de la CIAT y de los programas de observadores de la CIAT, Colombia, Ecuador, Estados Unidos, México, Nicaragua, Panamá, la Unión Europea y Venezuela. El número de lances sobre atunes asociados con objetos flotantes y no asociados fue máximo entre mediados de los años 1970 y principios de los 1980. A pesar de la oposición a la pesca de atunes asociados con delfines, y de la decisión de las enlatadoras de EE.UU. de no comprar atún capturado en viajes en los cuales se realizaron lances sobre delfines, el número de lances sobre delfines disminuyó tan sólo moderadamente a mediados de los años 1990, y en 2003 fue el mayor jamás registrado.

Hay dos tipos de objetos flotantes, los “naturales” (que también incluyen desperdicios y otros objetos artificiales), que se encuentran en el mar por casualidad, del punto de vista de los pescadores, y los que son construidos por pescadores con el propósito específico de atraer peces. Se conocen estos últimos como plantados, dispositivos agregadores de peces (DAP), o FAD (del inglés *fish-aggregating device*). Hace unos 15 años que se usan extensamente los plantados, y su importancia relativa ha aumentado en ese período, mientras que la de los objetos “naturales” ha disminuido, tal como indican los datos en la Tabla A-8.

2.2. Pesca palangrera

En la Tabla A-9 se presentan el esfuerzo nominal de los buques palangreros en el OPO, en miles de

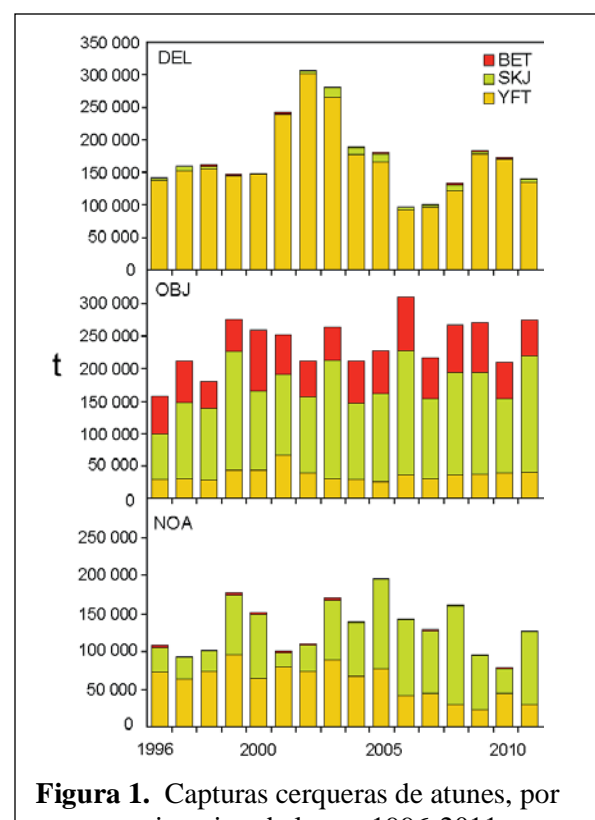


Figura 1. Capturas cerqueras de atunes, por especie y tipo de lance, 1996-2011.

anzuelos, y sus capturas reportadas de las especies principales de atunes.

3. LAS FLOTAS

3.1. Las flotas de cerco y de caña

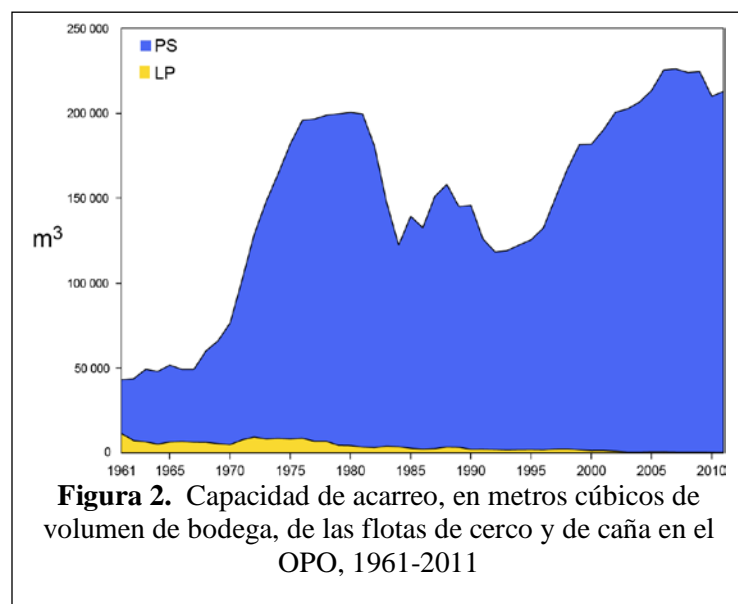
El personal de la CIAT mantiene registros detallados del arte de pesca, bandera, y capacidad de acarreo de la mayoría de los buques que pescan atunes aleta amarilla, barrilete, patudo, y/o aleta azul del Pacífico con red de cerco o caña en el OPO. La flota aquí descrita incluye buques cerqueros y cañeros que pescaron alguna de estas cuatro especies en el OPO durante el año entero o parte del mismo.

Históricamente, se usaron las estimaciones de la capacidad de acarreo de buques individuales provistas por el armador o astillero, en toneladas de pescado, hasta que los registros de descarga indicasen que era preciso modificarlas.

Desde 2000, el personal de la CIAT usa el volumen de bodegas, en metros cúbicos (m^3), en lugar de peso, en toneladas (t), para medir la capacidad de acarreo de los buques. Ya que la densidad de carga de pescado en una bodega puede variar, medir la capacidad de acarreo en peso es subjetivo, ya que un cargamento de pescado metido en una bodega a densidad alta pesa más que uno cargado a densidad menor. El uso de volumen como medida de capacidad elimina este problema.

El personal de la CIAT comenzó a reunir datos sobre la capacidad en volumen en 1999, pero todavía no ha obtenido esta información para todos los buques. En el caso de buques para los cuales no se dispone de información fidedigna sobre el volumen de bodega, se convirtió la capacidad estimada en toneladas en metros cúbicos.

Hasta aproximadamente 1960 predominaron en la pesca atunera en el OPO los buques cañeros, que faenaban en zonas costeras y cerca de islas y bancos de alta mar. Hacia fines de los años 1950 y a principios de los 1960, la mayoría de los buques cañeros grandes fue convertida a arte de cerco, y para 1961 este arte predominaba en la pesquería del OPO. Entre 1961 y 2011, el número de buques cañeros se redujo de 93 a 2, y su volumen de bodega total disminuyó de unos $11.000\ m^3$ a unos $143\ m^3$. Durante el mismo período el número de cerqueros aumentó de 125 a 206, y su volumen total de bodega de unos $32.000\ m^3$ a $213.000\ m^3$, un promedio de unos $1.034\ m^3$ por buque. Previamente ocurrió un pico en el número y volumen total de bodega de la flota cerquera entre mediados de los años 1970 y principios de los 1980, cuando llegó a haber 282 buques, y el volumen total de bodega alcanzó unos $195.000\ m^3$, un promedio de unos $700\ m^3$ por buque (Tabla A-10 y Figura 2).



Las tasas de captura en el OPO fueron bajas durante 1978-1981, debido a la concentración del esfuerzo de pesca sobre peces pequeños, y la situación se vio agravada por un evento importante de El Niño que comenzó a mediados de 1982 y persistió hasta fines de 1983, y que causó que los peces fueran menos vulnerables a la captura. Luego disminuyó el volumen total de bodegas de los buques de cerco y caña, debido al retiro de buques o a su traslado a otras zonas de pesca, principalmente el Pacífico occidental, y en 1984 alcanzó el nivel más bajo desde 1971, unos $119.000\ m^3$. A principios de 1990 la industria enlatadora de Estados Unidos decidió no

comprar más atún capturado en viajes en los que se pescaran atunes asociados con delfines. Esto llevó a que muchas embarcaciones de Estados Unidos abandonasen el OPO, y a una disminución consecuente en la flota a 117.000 m³ en 1992. Con la mayor participación de buques de otras naciones en la pesquería, el volumen total de bodega ha aumentado progresivamente desde 1992, y en 2011 fue de unos 213 mil m³.

En las Tablas A-11a y A-11b se presentan los datos de 2010 y preliminares de 2011 del número y volumen total de bodega de los buques cerqueros y cañeros que pescaron atunes en el OPO. En 2011 predominaron las flotas de Ecuador y México, con el 33% y 22%, respectivamente, del volumen de bodega total, seguidos por Panamá (12%), Venezuela (11%), Colombia (7%), España y Nicaragua (5% cada uno), El Salvador (4%), y Guatemala y Vanuatu (2% cada uno).

En la Figura 3 se compara la capacidad acumulativa en el mar durante 2011 con los cinco años anteriores.

En la Tabla A-12 se presentan los valores mensuales medios, mínimos, y máximos del volumen total de bodega en el mar (VEM), en miles de metros cúbicos, de los buques cerqueros y cañeros que pescaron atunes en el OPO durante 2001-2010, junto con los valores de 2011. Los valores mensuales son los promedios de las estimaciones de la VEM calculadas semanalmente por el personal de la CIAT. La pesca fue reglamentada durante parte, o la totalidad, de los últimos cuatro meses del año durante 1998-2011, por lo que los valores de la VEM de septiembre-diciembre de 2011 no son comparables con los valores medios del período correspondiente durante 1998-2011. Durante 2001-2010 y 2011 el valor medio del VEM fue 132 mil m³ (62% de la capacidad total) y 125 mil m³ (59% de la capacidad total), respectivamente.

3.2. Otras flotas del OPO

El Registro Regional de Buques de la CIAT, disponible en el [sitio web de la Comisión](#), contiene información sobre otros tipos de buques que pescan atunes en el OPO. El Registro es incompleto para buques pequeños. En algunos casos, particularmente con respecto a los buques palangreros grandes, el Registro Regional contiene información de buques que están autorizados para pescar no sólo en el OPO, sino también en otros océanos, y que posiblemente no hayan pescado en el OPO en 2011, o jamás.

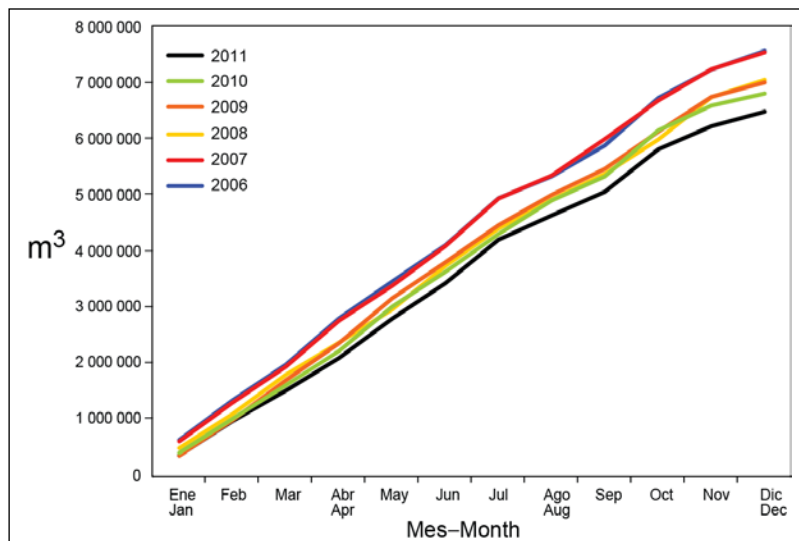


Figura 3. Capacidad acumulativa de la flota cerquera y cañera en el mar, por mes, 2006-2011

B. YELLOWFIN TUNA

This report presents the most current stock assessment of yellowfin tuna (*Thunnus albacares*) in the eastern Pacific Ocean (EPO). An integrated statistical age-structured stock assessment model (Stock Synthesis Version 3.23b) was used in the assessment, which is based on the assumption that there is a single stock of yellowfin in the EPO. This model is the same as that used in the previous assessment ([IATTC Stock Assessment Report 12](#)). Yellowfin are distributed across the Pacific Ocean, but the bulk of the catch is made in the eastern and western regions. The purse-seine catches of yellowfin are relatively low in the vicinity of the western boundary of the EPO at 150°W (Figure A-1a and A-1b). The majority of the catch in the EPO is taken in purse-seine sets on yellowfin associated with dolphins and unassociated schools (Figure B-1). The movements of tagged yellowfin are generally over hundreds, rather than thousands, of kilometers, and exchange between the eastern and western Pacific Ocean appears to be limited. This is consistent with the fact that longline catch-per-unit-of-effort (CPUE) trends differ among areas. It is likely that there is a continuous stock throughout the Pacific Ocean, with exchange of individuals at a local level, although there is some genetic evidence for local isolation. Movement rates between the EPO and the western Pacific cannot be estimated with currently-available tagging data.

The stock assessment requires substantial amounts of information, including data on retained catches, discards, indices of abundance, and the size compositions of the catches of the various fisheries. Assumptions have been made about processes such as growth, recruitment, movement, natural mortality, fishing mortality, and stock structure. The assessment for 2011 is identical to that of 2010 except for updated and new data. The catch data for the surface fisheries have been updated and new data added for 2011. New or updated longline catch data are available for China (2010), Chinese Taipei (2008-2010), French Polynesia (2010), Japan (2007-2010), Korea (2009-2011) and the United States (2009-2010). Surface fishery CPUE data were updated, and new CPUE data added for 2011. New or updated CPUE data are available for the Japanese longline fleet (2007-2010). New surface-fishery size-composition data for 2011 were added. New or updated length-frequency data are not available for the Japanese longline fleet.

In general, the recruitment of yellowfin to the fisheries in the EPO is variable, with a seasonal component. This analysis and previous analyses have indicated that the yellowfin population has experienced two, or possibly three, different recruitment productivity regimes (1975-1982, 1983-2002, and 2003-2009) (Figure B-2). Although the two most recent annual recruitments (2010 and 2011) were estimated at about average levels, these estimates are highly uncertain. The productivity regimes correspond to regimes in biomass, with higher-productivity regimes producing greater biomass levels. A stock-recruitment relationship is also supported by the data from these regimes, but the evidence is weak, and this is probably an artifact of the apparent regime shifts.

The average weights of yellowfin taken from the fishery have been fairly consistent over time, but vary substantially among the different fisheries. In general, the floating-object, northern unassociated, and pole-and-line fisheries capture younger, smaller yellowfin than do the southern unassociated, dolphin-associated, and longline fisheries. The longline fisheries and the dolphin-associated fishery in the southern region capture older, larger yellowfin than the northern and coastal dolphin-associated fisheries.

Significant levels of fishing mortality have been estimated for the yellowfin fishery in the EPO (Figure B-3). These levels are highest for middle-aged yellowfin. Historically, the dolphin-associated and unassociated purse-seine fisheries have the greatest impact on the spawning biomass of yellowfin, followed by the floating-object fisheries. In more recent years, the impact of the floating-object fisheries has been slightly greater than that by unassociated fisheries. The impact of the longline and purse-seine discard fisheries is much less (Figure B-4).

There has been a large retrospective pattern of overestimating recent recruitment. This pattern, in combination with the wide confidence intervals of the estimates of recent recruitment, indicate that these estimates and those of recent biomass are uncertain.

Historically, the spawning biomass ratio (the ratio of the spawning biomass to that of the unfished population; SBR) of yellowfin in the EPO was below the level corresponding to the maximum sustainable yield (MSY) during 1977-1983, coinciding with the low productivity regime, but above that level during most of the following years, except for the recent period (2005-2007 and 2010-2011) (Figure B-5). The 1984 increase in the SBR is attributed to the regime change, and the recent decrease may be a reversion to an intermediate productivity regime. The different productivity regimes may support different MSY levels and associated SBR levels. The SBR at the start of 2012 was estimated to be 0.26, above the level corresponding to the MSY (0.25). The recent SBR levels (2010-2011) predicted by the current assessment are more optimistic than those produced by the previous assessment, which indicated a sharp decline in the levels of spawning biomass since 2009 ([IATTC Stock Assessment Report 12](#)). This result is due to a decline in the fishing mortality levels for middle-age and older yellowfin tuna since 2009, which is estimated by the current assessment (Figure B-3). The effort levels are estimated to be less than those that would support the MSY (based on the current distribution of effort among the different fisheries) (Figure B-6), and recent catches are below MSY (Table B-1). It is important to note that the curve relating the average sustainable yield to the long-term fishing mortality is very flat around the MSY level (Figure B-7). Therefore, moderate changes in the long-term levels of effort will change the long-term catches only marginally, while changing the biomass considerably. Reducing fishing mortality below the level at MSY would result in only a marginal decrease in the long-term average yield, with the benefit of a relatively large increase in the spawning biomass. In addition, if management is based on the base case assessment (which assumes that there is no stock-recruitment relationship), when in fact there is such a relationship, there would be a greater loss in yield than if management is based on assuming a stock-recruitment relationship when in fact there is no relationship (Figure B-7).

The MSY calculations indicate that, theoretically at least, catches could be increased if the fishing effort were directed toward longlining and purse-seine sets on yellowfin associated with dolphins. This would also increase the SBR levels.

The MSY has been stable during the assessment period (1975-2011) (Figure B-8), which suggests that the overall pattern of selectivity has not varied a great deal through time. However, the overall level of fishing effort has varied with respect to the level corresponding to MSY.

If a stock-recruitment relationship is assumed, the outlook is more pessimistic, and current effort is estimated to be above the level corresponding to the MSY (Table B-1). Previous assessments have also indicated that the status of the stock is also sensitive to the value assumed for the average size of the oldest fish, and more pessimistic results are obtained when larger values are assumed for this parameter. Under current levels of fishing mortality (2009-2011), the spawning biomass is predicted to slightly increase and remain above the level corresponding to MSY (Figure B-5). However, the confidence intervals are wide, a retrospective pattern exists in recent recruitment, and there is a moderate probability that the SBR will be substantially above or below this level. In addition, the spawning biomass is predicted to remain below the level corresponding to MSY if a stock-recruitment relationship is assumed (Figure B-6). Fishing at F_{msy} is predicted to reduce the spawning biomass slightly from that under current effort and produces slightly higher catches (Figure B-9).

Key Results

1. There is uncertainty about recent and future levels of recruitment and biomass. There have been two, and possibly three, different productivity regimes, and the levels of MSY and the biomasses corresponding to the MSY may differ among the regimes. The population may have recently switched from a high to an intermediate productivity regime.
2. The recent fishing mortality rates are lower than those corresponding to the MSY, and the recent levels of spawning biomass are estimated to be at about that level. As described in [IATTC Stock Assessment Report 12](#) and previous assessments, these interpretations are uncertain, and highly sensitive to the assumptions made about the steepness parameter of the stock-recruitment relationship,

the average size of the older fish, and the assumed levels of natural mortality. The results are more pessimistic if a stock-recruitment relationship is assumed, if a higher value is assumed for the average size of the older fish, and if lower rates of natural mortality are assumed for adult yellowfin;

3. The recent levels of spawning biomass predicted by the current assessment are more optimistic than those from the previous assessment ([IATTC Stock Assessment Report 12](#)). This result is due to a recent decline in the fishing mortality levels for middle-age and older yellowfin tuna since 2009 which is estimated by the current assessment.
4. Increasing the average weight of the yellowfin caught could increase the MSY.

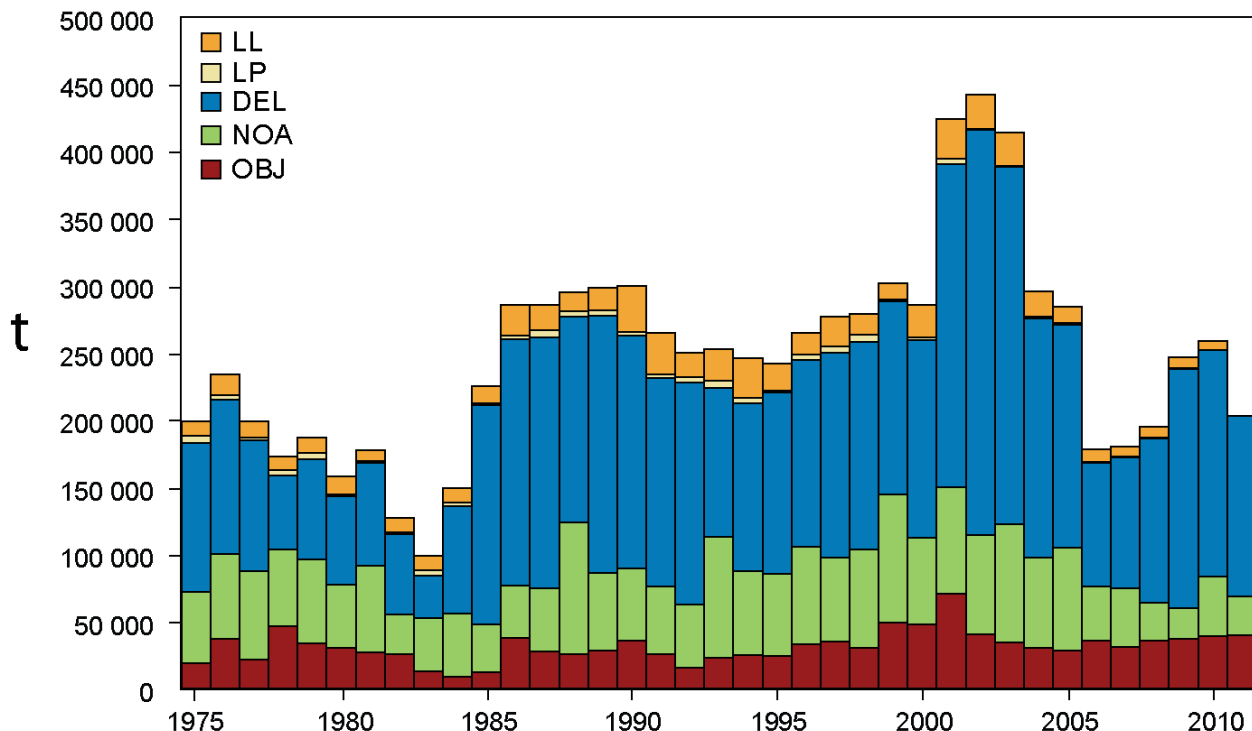


FIGURE B-1. Total catches (retained catches plus discards) for the purse-seine fisheries, and retained catches for the pole-and-line and longline fisheries, of yellowfin tuna in the eastern Pacific Ocean, 1975-2011. The purse-seine catches are adjusted to the species composition estimate obtained from sampling the catches. The 2011 catch data are preliminary.

FIGURA B-1. Capturas totales (capturas retenidas más descartes) en las pesquerías de cerco, y capturas retenidas de las pesquerías de caña y de palangre, de atún aleta amarilla en el Océano Pacífico oriental, 1975-2011. Se ajustan las capturas de cerco a la estimación de la composición por especie obtenida del muestreo de las capturas. Los datos de captura de 2011 son preliminares.

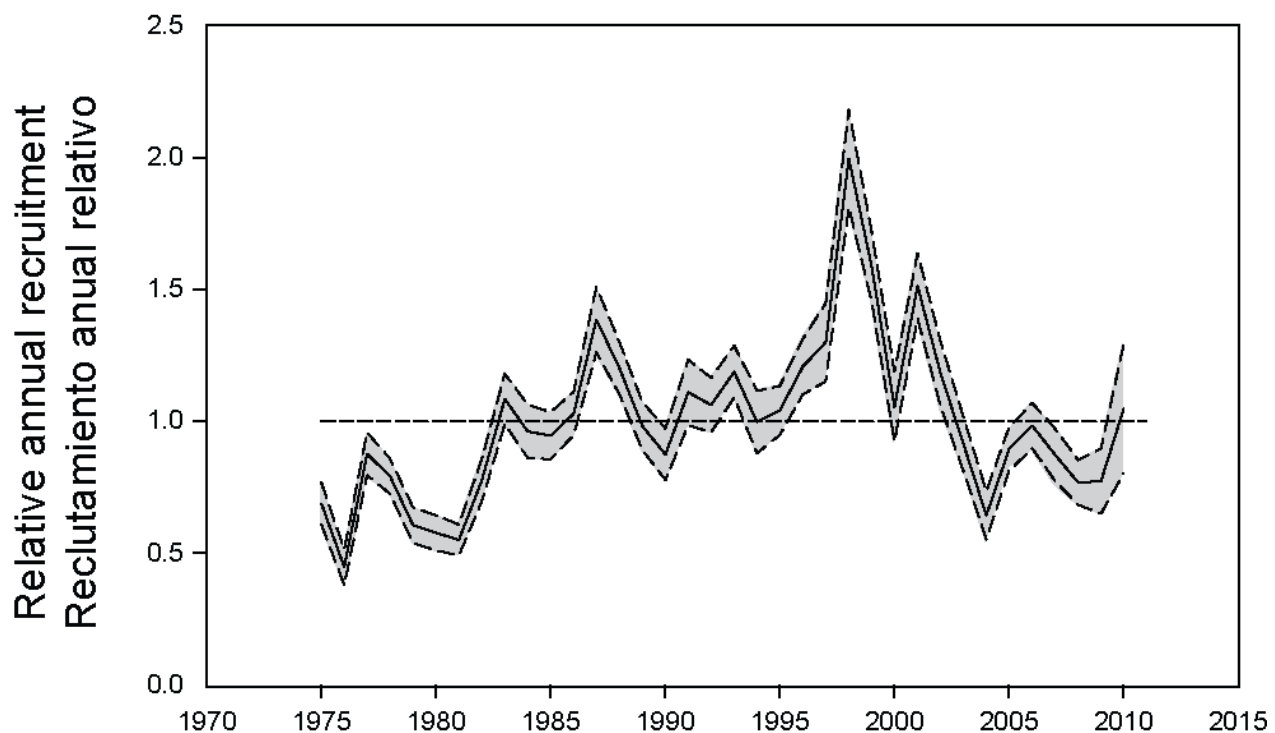


FIGURE B-2. Estimated annual recruitment at age zero of yellowfin tuna to the fisheries of the EPO. The estimates are scaled so that the average recruitment is equal to 1.0 (dashed horizontal line). The solid line illustrates the maximum likelihood estimates of recruitment, and the shaded area indicates the approximate 95% confidence intervals around those estimates.

FIGURA B-2. Reclutamiento anual estimado a edad cero del atún aleta amarilla a las pesquerías del OPO. Se escalan las estimaciones para que el reclutamiento medio equivalga a 1.0 (línea de trazos horizontales). La línea sólida ilustra las estimaciones de verosimilitud máxima del reclutamiento, y la zona sombreada los límites de confianza de 95% aproximados de las estimaciones.

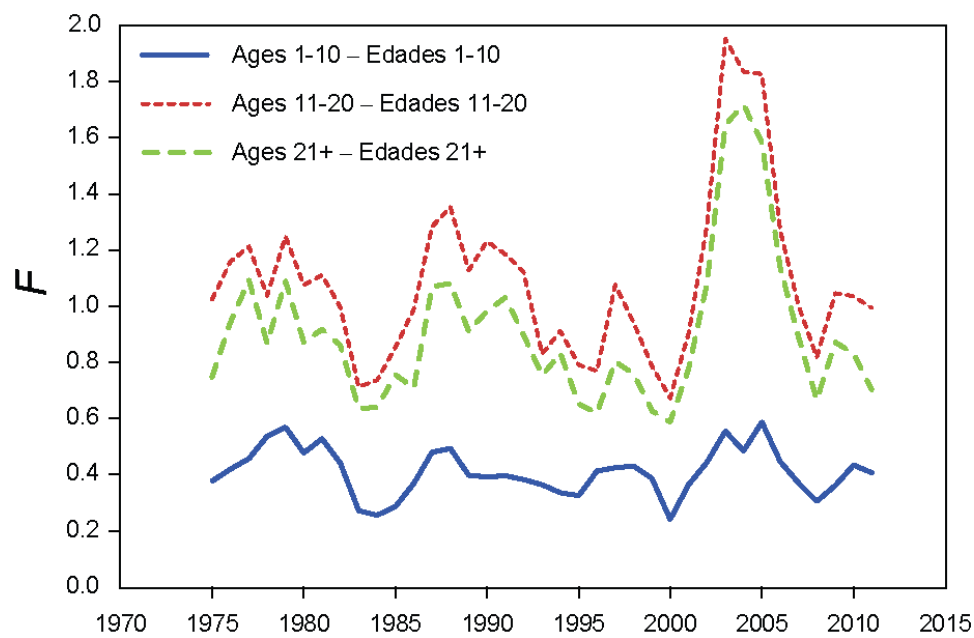


FIGURE B-3. Average annual fishing mortality (F) by age groups, by all gears, of yellowfin tuna recruited to the fisheries of the EPO. The age groups are defined by age in quarters.

FIGURA B-3. Mortalidad por pesca (F) anual media, por grupo de edad, por todas las artes, de atún aleta amarilla reclutado a las pesquerías del OPO. Se definen los grupos de edad por edad en trimestres.

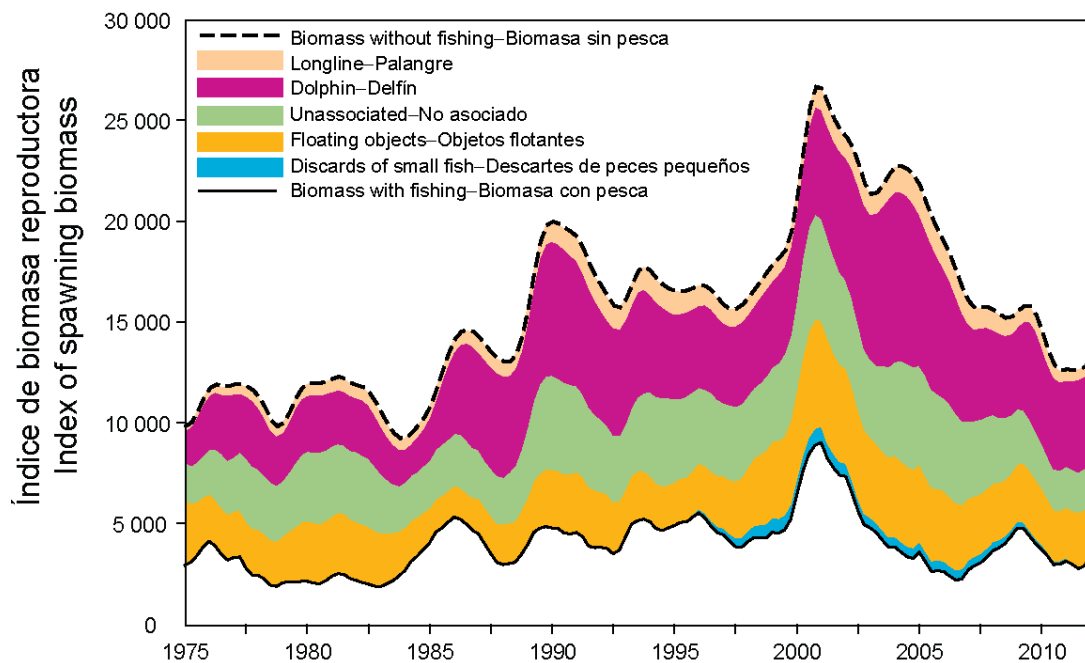


FIGURE B-4. Biomass trajectory of a simulated population of yellowfin tuna that was never exploited (dashed line) and that predicted by the stock assessment model (solid line). The shaded areas between the two lines show the portions of the fishery impact attributed to each fishing method.

FIGURA B-4. Trayectoria de la biomasa de una población simulada de atún aleta amarilla que nunca fue explotada (línea de trazos) y aquélla predicha por el modelo de evaluación de la población (línea sólida). Las áreas sombreadas entre las dos líneas representan la porción del impacto de la pesca atribuida a cada método de pesca.

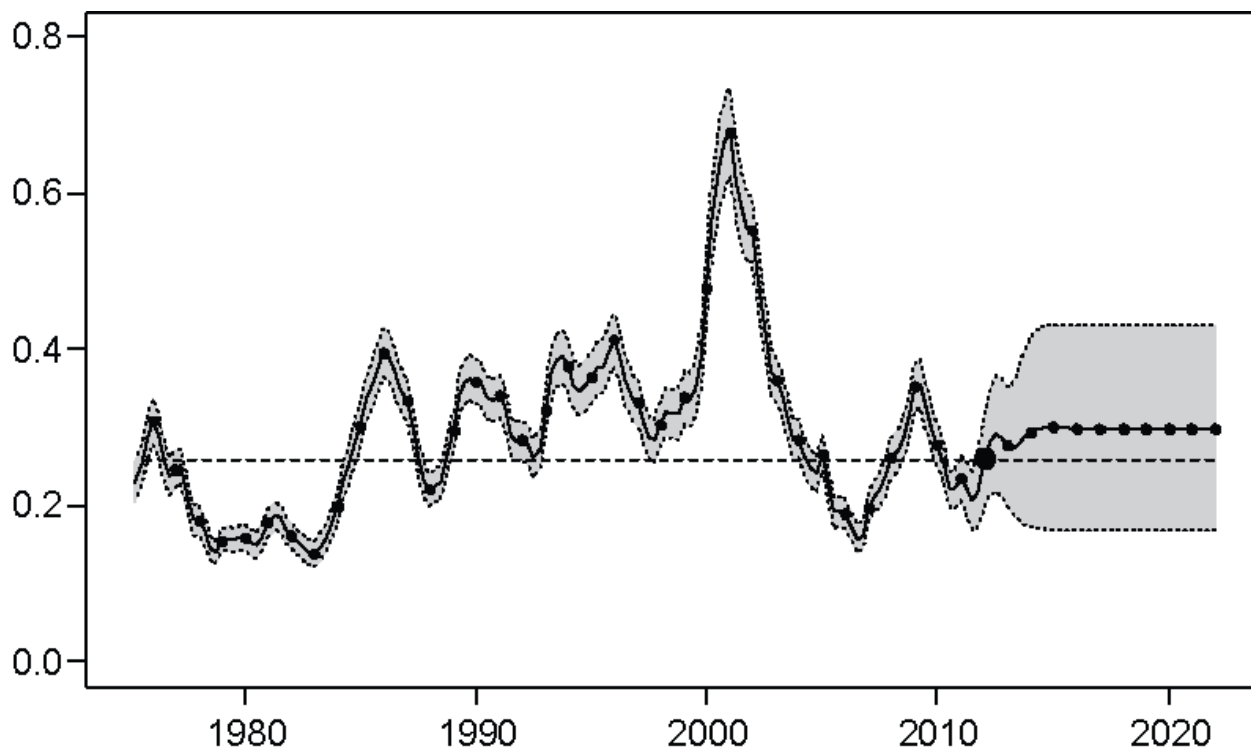


FIGURE B-5 Estimated spawning biomass ratios (SBRs) for yellowfin tuna in the EPO. The dashed horizontal line (at about 0.25) identifies the SBR at MSY. The solid curve illustrates the maximum likelihood estimates, and the estimates after 2012 (the large dot) indicate the SBR predicted to occur if fishing mortality rates continue at the average of that observed during 2009-2011, and average environmental conditions occur during the next 10 years. The shaded area indicates the approximate 95% confidence intervals around those estimates.

FIGURA B-5. Cocientes de biomasa reproductora (SBR) de atún aleta amarilla en el OPO. La línea de trazos horizontal (en aproximadamente 0.25) identifica el SBR correspondiente al RMS. La curva sólida ilustra las estimaciones de verosimilitud máxima, y las estimaciones a partir de 2012 (punto grande) indican el SBR que se predice ocurrirá con tasas de mortalidad por pesca en el promedio de aquellas observadas durante 2009-2011, y con condiciones ambientales medias durante los 10 años próximos. El área sombreada indica los intervalos de confianza de 95% medios aproximados alrededor de esas estimaciones.

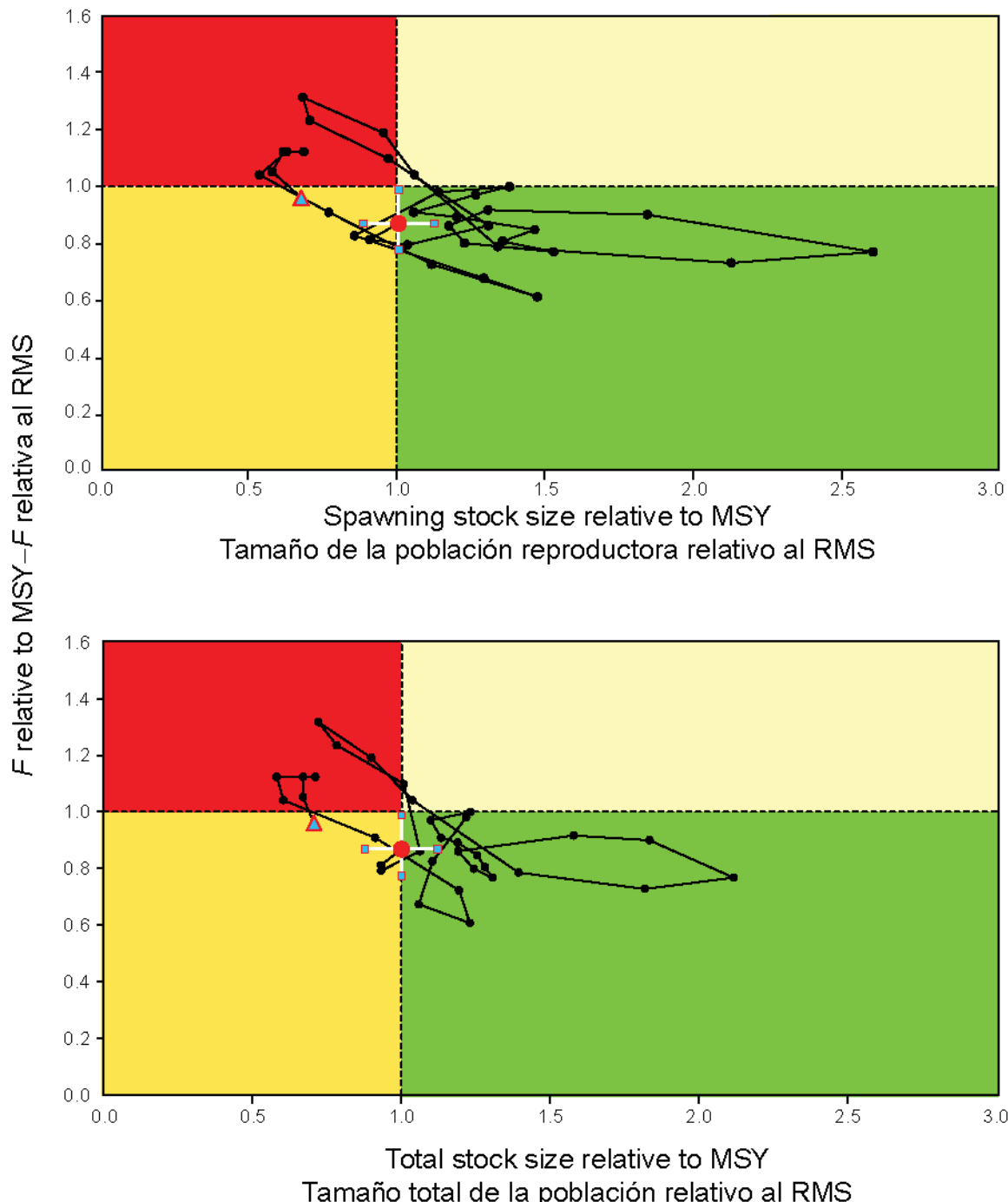


FIGURE B-6. Kobe (phase) plot of the time series of estimates for stock size (top: spawning biomass; bottom: summary biomass) and fishing mortality relative to their MSY reference points. Each dot is based on the average exploitation rate over three years; the large red dot indicates the most recent estimate. The squares around the most recent estimate represent its approximate 95% confidence interval.

FIGURA B-6. Gráfica de Kobe (fase) de la serie de tiempo de las estimaciones del tamaño de la población (arriba: biomasa reproductora; abajo: biomasa sumaria) y la mortalidad por pesca en relación con sus puntos de referencia de RMS. Cada punto se basa en la tasa de explotación media de tres años; el punto rojo grande indica la estimación más reciente. Los cuadrados alrededor de la estimación más reciente representan su intervalo de confianza de 95% aproximado.

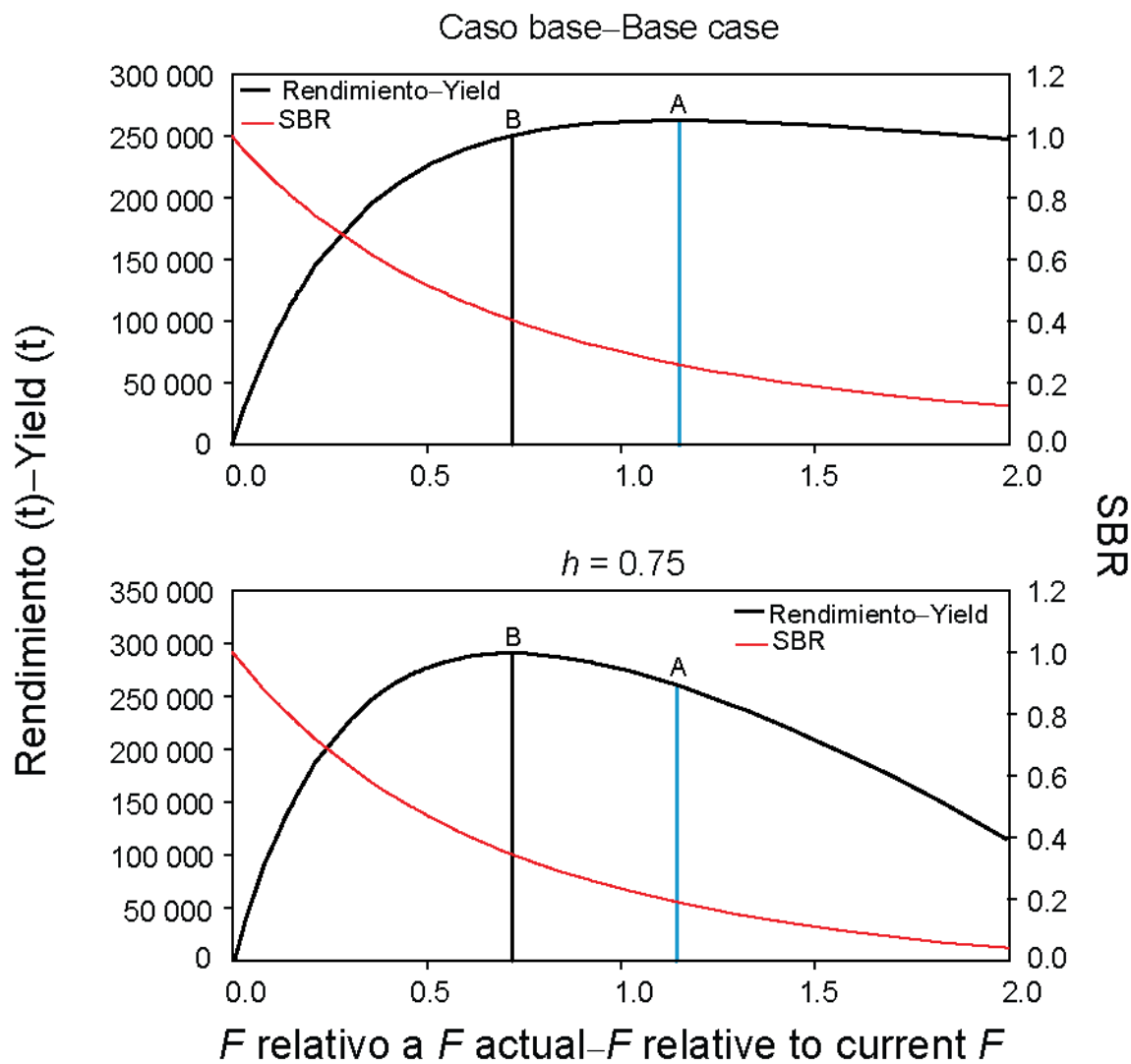


FIGURE B-7. Yield and spawning biomass ratio (SBR) as a function of fishing mortality relative to the current fishing mortality. The vertical lines represent the fishing mortality corresponding to MSY for the base case and the sensitivity analysis that uses a stock-recruitment relationship ($h = 0.75$). The vertical lines a and b represent the fishing mortality corresponding to MSY for the base case and $h = 0.75$, respectively.

FIGURA B-7. Rendimiento y cociente de biomasa reproductora (SBR) como función de la mortalidad por pesca relativa a la mortalidad por pesca actual. Las líneas verticales representan la mortalidad por pesca correspondiente al RMS del caso base y del análisis de sensibilidad que usa una relación población-reclutamiento ($h = 0.75$). Las líneas verticales a y b representan la mortalidad por pesca correspondiente al RMS del caso base y de $h = 0.75$, respectivamente.

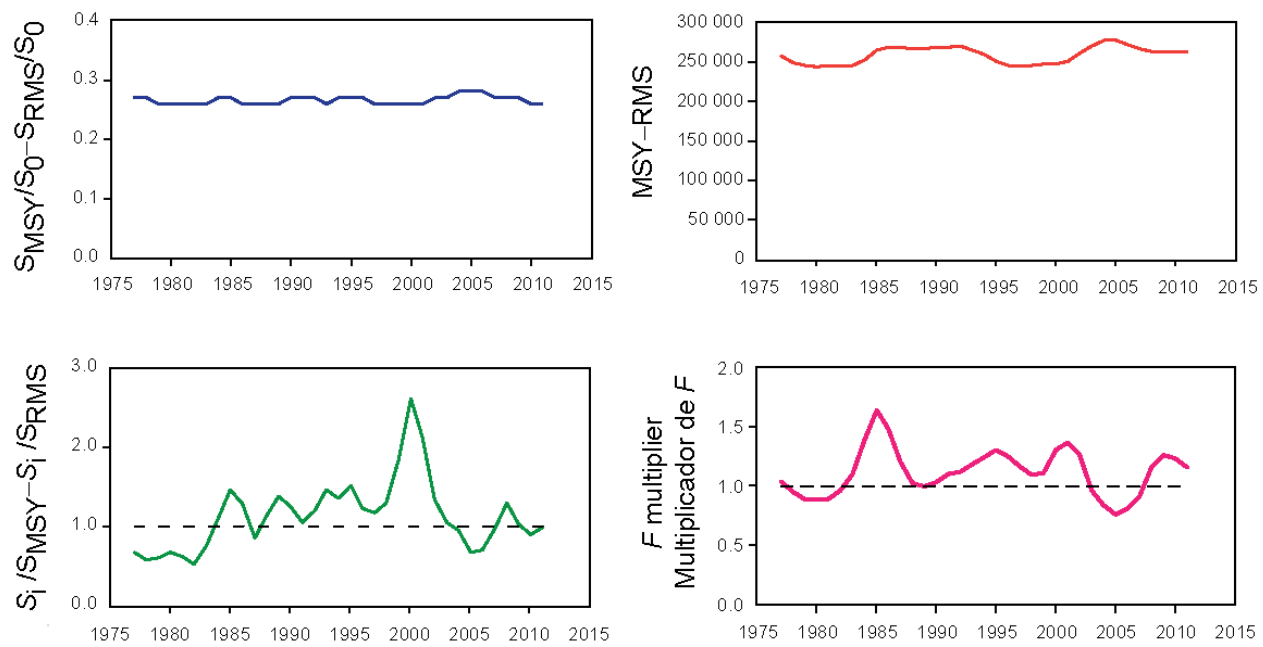


FIGURE B-8. Estimates of MSY-related quantities calculated using the average age-specific fishing mortality for each year (S_i is the index of spawning biomass at the end of the last year in the assessment).

FIGURA B-8. Estimaciones de cantidades relacionadas con el RMS calculadas a partir de la mortalidad por pesca media por edad para cada año. (S_i es el índice de la biomasa reproductora al fin del último año en la evaluación).

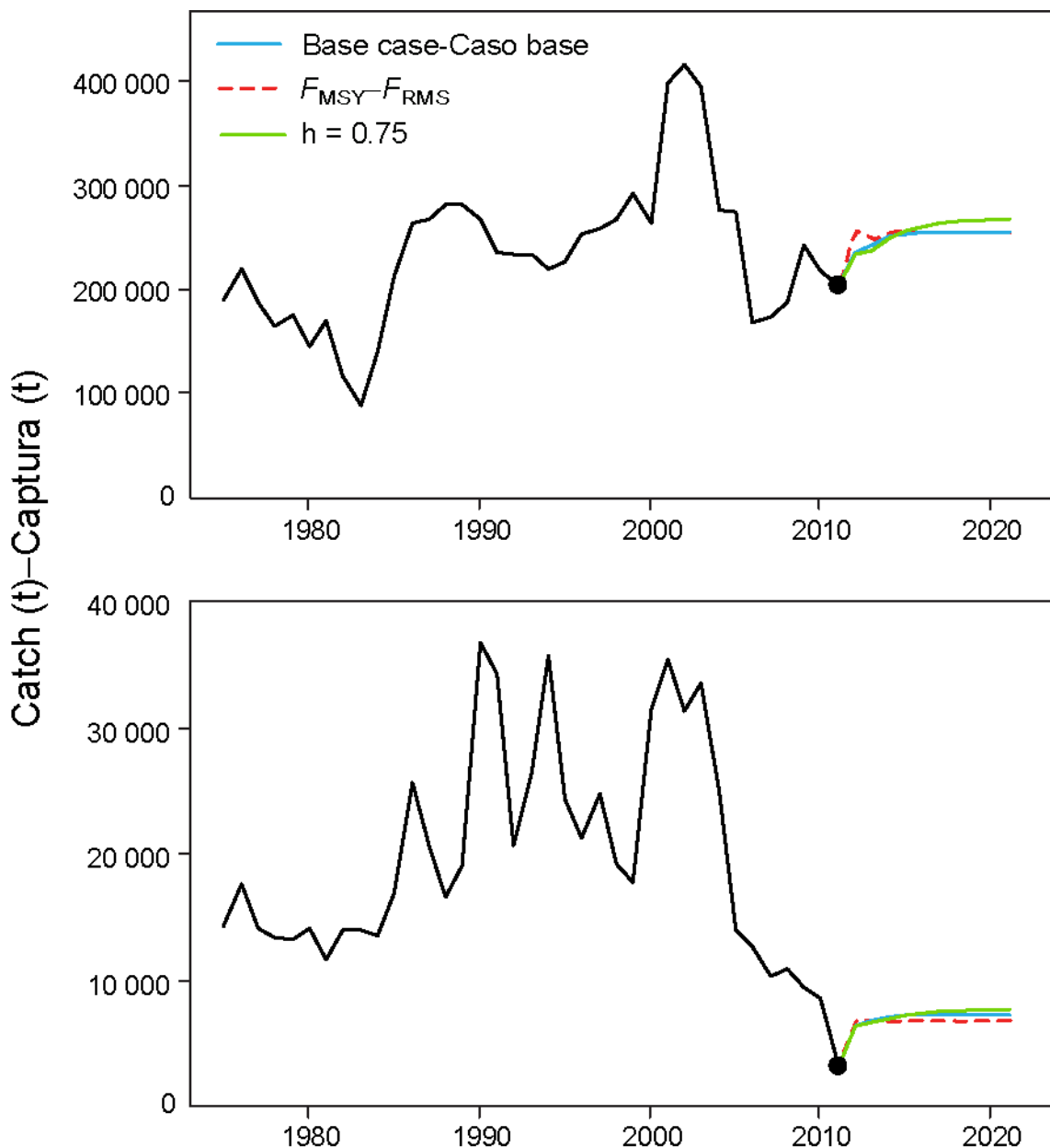


FIGURE B-9. Historic and projected annual catches of yellowfin tuna by surface (top panel) and longline (bottom panel) fisheries from the base case while fishing with the current effort, the base case while fishing at the fishing mortality corresponding to MSY (F_{MSY}), and the analysis of sensitivity to steepness (labeled $h = 0.75$) of the stock-recruitment relationship while fishing with the current effort. The large dot indicates the most recent observed catch (2011).

FIGURA B-9. Capturas históricas y proyectadas de atún aleta amarilla por las pesquerías de superficie (panel superior) y palangre (panel inferior) del caso base con la pesca en el nivel actual de esfuerzo, del caso base con la pesca en la mortalidad por pesca correspondiente al RMS (F_{RMS}), y el análisis de sensibilidad a la inclinación (identificado como $h = 0.75$) de la relación población-reclutamiento al pescar con el esfuerzo actual. El punto grande indica la captura observada más reciente (2011).

TABLE B-1. MSY and related quantities for the base case and the stock-recruitment relationship sensitivity analysis, based on average fishing mortality (F) for 2009-2011. B_{recent} and B_{MSY} are defined as the biomass, in metric tons, of fish 3+ quarters old at the start of the first quarter of 2012 and at MSY, respectively, and S_{recent} and S_{MSY} are defined as indices of spawning biomass (therefore, they are not in metric tons). C_{recent} is the estimated total catch for 2011.

TABLA B-1. RMS y cantidades relacionadas para el caso base y el análisis de sensibilidad a la relación población-reclutamiento, basados en la mortalidad por pesca (F) media de 2009-2011. Se definen B_{recent} y B_{RMS} como la biomasa, en toneladas, de peces de 3+ trimestres de edad al principio del primer trimestre de 2012 y en RMS, respectivamente, y S_{recent} y S_{RMS} como índices de biomasa reproductora (por lo tanto, no se expresan en toneladas). C_{recent} es la captura total estimada de 2011.

YFT	Base case Caso base	$h = 0.75$
MSY-RMS	262,642	290,680
$B_{\text{MSY}} - B_{\text{RMS}}$	356,682	560,354
$S_{\text{MSY}} - S_{\text{RMS}}$	3,334	6,013
$B_{\text{MSY}}/B_0 - B_{\text{RMS}}/B_0$	0.31	0.37
$S_{\text{MSY}}/S_0 - S_{\text{RMS}}/S_0$	0.26	0.35
$C_{\text{recent}}/\text{MSY} - C_{\text{recent}}/\text{RMS}$	0.79	0.71
$B_{\text{recent}}/B_{\text{MSY}} - B_{\text{recent}}/B_{\text{RMS}}$	1.00	0.63
$S_{\text{recent}}/S_{\text{MSY}} - S_{\text{recent}}/S_{\text{RMS}}$	1.00	0.56
F multiplier-Multiplicador de F	1.15	0.72

B. ATÚN ALETA AMARILLA

Este informe presenta la evaluación más reciente de la población del atún aleta amarilla (*Thunnus albacares*) en el Océano Pacífico oriental (OPO). Se usó un modelo de evaluación de poblaciones estadístico integrado con estructura por edad (*Stock Synthesis*, versión 3.23b) en la evaluación, que se basa en el supuesto que existe una sola población de aleta amarilla en el OPO. Este modelo es el mismo que aquél usado en la evaluación previa ([Informe de la condición de los stocks 12](#)). El aleta amarilla se encuentra distribuido por todo el Océano Pacífico, pero la mayor parte de la captura proviene de las zonas oriental y occidental del mismo. Las capturas cerqueras de la especie son relativamente bajas cerca del límite occidental del OPO en 150°O (Figura A-1a y A-1b). La mayor parte de la captura de aleta amarilla en el OPO proviene de lances cerqueros sobre aletas amarillas asociados con delfines y no asociados (Figura B-1). Los desplazamientos de aletas amarillas marcadas suelen ser de centenares, no miles, de kilómetros, y el intercambio entre el OPO y el Pacífico occidental parece ser limitado. Esto es consistente con que las tendencias de la CPUE palangrera varíen entre áreas. Es probable que exista una población continua en el Océano Pacífico entero, con intercambio de individuos a nivel local, aunque existe cierta evidencia genética de aislamiento local. No es posible estimar las tasas de desplazamiento entre el OPO y el Pacífico occidental con los datos de marcado actualmente disponibles.

La evaluación de poblaciones requiere cantidades sustanciales de información, incluyendo datos de capturas retenidas, descartes, índices de abundancia, y la composición por tamaño de las capturas de las distintas pesquerías. Se hicieron supuestos sobre procesos tales como crecimiento, reclutamiento, desplazamiento, mortalidad natural, mortalidad por pesca (F), y estructura de poblaciones. La evaluación de 2011 es idéntica a aquélla de 2010 con la excepción de datos nuevos y actualizados. Se actualizaron los datos de captura de las pesquerías de superficie, y se añadieron datos nuevos de 2011. Se dispone de datos de captura palangrera nuevos o actualizados de China (2010), Taipeí Chino (2008-2010), Polinesia Francesa (2010), Japón (2007-2010), Corea (2009-2011), y Estados Unidos (2009-2010). Se actualizaron los datos de CPUE de la pesquería de superficie y se añadieron datos de CPUE nuevos de 2011. Se dispone de datos de CPUE nuevos o actualizados de la flota palangrera japonesa (2007-2010). Se añadieron datos nuevos de 2011 de composición por tamaño de la pesquería de superficie. No se dispone de datos de frecuencia de talla nuevos o actualizados de la flota palangrera japonesa.

En general, el reclutamiento de aleta amarilla a las pesquerías en el OPO es variable, con un componente estacionaria. El presente análisis y los análisis previos indican que la población de aleta amarilla ha pasado por dos, o posiblemente tres, regímenes distintos de productividad de reclutamiento (1975-1982, 1983-2002, y 2003-2009) (Figura B-2). Aunque se estimaron los reclutamientos anuales más recientes (2010 y 2011) en niveles aproximadamente medios, estas estimaciones son altamente inciertas. Los regímenes de productividad corresponden a regímenes de biomasa: un régimen de productividad alto produce niveles mayores de biomasa. Una relación población-reclutamiento es también apoyada por los datos de estos regímenes, pero las pruebas son tenues, y esto es probablemente un artefacto de los cambios de régimen aparentes.

El peso medio de los aletas amarillas capturados en la pesquería ha sido bastante consistente en el transcurso de los años, pero varía sustancialmente entre las distintas pesquerías. En general, las pesquerías sobre objetos flotantes, no asociada del norte, y cañera capturan aletas amarillas más jóvenes y pequeños que las pesquerías no asociada del sur, asociadas con delfines, y palangreras. En las pesquerías palangreras y en la pesquería asociada con delfines del sur se capturan aletas amarillas de mayor edad y tamaño que en las pesquerías sobre delfines costera y del norte.

Se han estimado niveles importantes de mortalidad por pesca en la pesquería de aleta amarilla en el OPO (Figura B-3). Estos niveles son máximos para los aletas amarillas de edad intermedia. Históricamente, las pesquerías cerqueras asociadas con delfines y no asociadas ejercen el mayor impacto sobre la biomasa reproductora del aleta amarilla, seguidos por las pesquerías sobre objetos flotantes. En los años más recientes, el impacto de las pesquerías sobre objetos flotantes ha sido ligeramente mayor que aquel de las

pesquerías no asociadas. El impacto de las pesquerías palangreras y de descarte de cerco es mucho menor (Figura B-4)

Existió un patrón retrospectivo grande de sobreestimación del reclutamiento reciente, debido a los datos de composición por talla de la pesquería sobre objetos flotantes. En combinación con los grandes intervalos de confianza de las estimaciones del reclutamiento reciente, este patrón indica que las estimaciones del reclutamiento reciente y la biomasa reciente son inciertas.

Históricamente, el cociente de biomasa reproductora (el cociente de la biomasa reproductora a la de la población no explotada; SBR) del aleta amarilla en el OPO estuvo por debajo del nivel correspondiente al rendimiento máximo sostenible (RMS) durante 1977-1983, correspondiendo al régimen de productividad baja, pero por encima de ese nivel durante la mayoría de los años subsiguientes, excepto el período reciente (2005-2007 y 2010-2011) (Figura B-5). Se atribuye el incremento del SBR en 1984 a un cambio de régimen, y la disminución reciente podría ser una reversión a un régimen de productividad intermedio. Los dos distintos regímenes de productividad podrían sostener dos niveles distintos de RMS y de los SBR asociados. Se estima que el SBR al principio de 2012 fue 0,26, por encima del nivel correspondiente al RMS (0.25). Los niveles de SBR recientes (2010-2011) predichos por la evaluación actual son más optimistas que aquellos producidos por la evaluación previa, que indicaba una reducción brusca del nivel de biomasa reproductora desde 2009 ([Informe de la condición de los stocks 12](#)). Este resultado se debe a una disminución de los niveles de mortalidad por pesca de atunes aleta amarilla de edad mediana o mayores desde 2009 estimada por la evaluación actual (Figura B-3). Se estima que los niveles de esfuerzo son menores que aquéllos que sostendrían el RMS (con base en la distribución actual del esfuerzo entre las distintas pesquerías) (Figura B-6), y las capturas recientes son inferiores al RMS (Tabla B-1). Es importante señalar que la curva que relaciona al rendimiento máximo promedio a la mortalidad por pesca a largo plazo es muy plana alrededor del nivel de RMS (Figura B-7). Por lo tanto, cambios moderados en los niveles de esfuerzo a largo plazo cambiarán las capturas a largo plazo de forma marginal solamente, pero cambiaron la biomasa considerablemente. Reducir la mortalidad por pesca por debajo del nivel de RMS resultaría en una disminución tan sólo marginal en el rendimiento promedio a largo plazo, con el beneficio de un aumento relativamente grande de la biomasa reproductora. Además, si se basa la ordenación en la evaluación de caso base (que supone que no existe una relación población-reclutamiento), cuando en realidad sí existe dicha relación, ocurre una mayor pérdida de rendimiento que si se basa la ordenación en el supuesto que sí existe una relación población-reclutamiento cuando en realidad no existe (Figure B-7).

Los cálculos de RMS indican que, al menos en teoría, se podría incrementar las capturas si se dirigiera el esfuerzo de pesca hacia la pesca con palangre y a los lances sobre aleta amarilla asociado con delfines. Esto incrementaría también los niveles de SBR.

El RMS ha sido estable durante el período de la evaluación (1975-2011) (Figura B-8), lo cual sugiere que el patrón general de selectividad no ha variado mucho con el tiempo. No obstante, el nivel general del esfuerzo de pesca ha variado con respecto al nivel correspondiente a RMS.

Si se supone una relación población-reclutamiento, el pronóstico es más pesimista, y se estima que el esfuerzo actual se encuentra por encima del nivel correspondiente al RMS (Tabla B-1). Las evaluaciones previas han indicado asimismo que la condición de la población es también sensible al valor supuesto para el tamaño medio de los peces más viejos, y se obtienen resultados más pesimistas si se suponen valores mayores para este parámetro. Con los niveles actuales de mortalidad por pesca (2009-2011), se predice que la biomasa reproductora aumentará ligeramente y permanecer por encima del nivel correspondiente al RMS (Figura B-5). No obstante, los intervalos de confianza son anchos, existe un patrón retrospectivo en el reclutamiento reciente, y existe una probabilidad moderada que el SBR estará sustancialmente por encima o por debajo de este nivel. Además, se predice que la biomasa reproductora permanecerá por debajo del nivel correspondiente al RMS si se supone una relación población-reclutamiento (Figura B-6). Se predice que la pesca en F_{rms} reducirá la biomasa reproductora ligeramente

con respecto a aquella con el esfuerzo actual y produce capturas ligeramente mayores (Figura B-9).

Resultados clave

1. Existe incertidumbre acerca de los niveles recientes y futuros de reclutamiento y biomasa. Hubo dos, y posiblemente tres, regímenes distintos de productividad, y los niveles de RMS y la biomasa correspondiente al RMS podrían ser diferentes entre los regímenes. Es posible que la población haya cambiado recientemente de un régimen de productividad alto a uno intermedio.
2. Las tasas recientes de mortalidad por pesca son más bajas que aquellas correspondientes al RMS, y se estima que los niveles recientes de biomasa reproductora se encuentran en aproximadamente ese nivel. Tal como se describe en el [Informe de la condición de los stocks 12](#) y en evaluaciones previas, estas interpretaciones son inciertas, y altamente sensibles a los supuestos con respecto al parámetro de inclinación de la relación población-reclutamiento, el tamaño medio de los peces más viejos, y los niveles supuesto de mortalidad natural. Los resultados son más pesimistas si se supone una relación población-reclutamiento si se supone un valor más alto para el tamaño medio de los peces más viejos, y si se suponen tasas de mortalidad natural más bajas para el patudo adulto.
3. Los niveles recientes de biomasa reproductora predichos por la evaluación actual son más optimistas que aquellos de la evaluación previa ([Informe de la condición de los stocks 12](#)). Este resultado se debe a una disminución reciente de los niveles de mortalidad por pesca del aleta amarilla de edad mediana y mayor desde 2009 estimado por la evaluación actual.
4. Incrementar el peso medio del aleta amarilla capturado podría incrementar el RMS.

C. SKIPJACK TUNA

Several alternative methods are used to assess the status of skipjack tuna: a) fishery and biological indicators; b) analysis of tag data; c) a length-structured stock assessment model; d) a Spatial Ecosystem and Population Dynamic Model (SEAPODYM; Lehodey, P., Senina, I., Calmettes, B., Hampton, J., Nicol, S., Williams, P., Jurado Molina, J., Ogura, M., Kiyofuji, H., and Okamoto, S. 2011. SEAPODYM working progress and applications to Pacific skipjack tuna population and fisheries. WCPFC-SC7-2011/EB-WP 06 rev. 1.). The results of all four of these methods are compared when evaluating the status of skipjack in the EPO.

The catches used in the assessment are presented in Figure C-1.

Skipjack are distributed across the Pacific Ocean, and it is likely that there is a continuous stock throughout the Pacific Ocean, with exchange of individuals at a local level, although large-scale movements are thought to be rare. The bulk of the catches of skipjack are made in the eastern and western regions; the purse-seine catches are relatively low in the vicinity of the western boundary of the EPO at 150°W. The movements of tagged skipjack generally cover hundreds, rather than thousands, of kilometers, and exchange of fish between the eastern and western Pacific Ocean appears to be limited. Movement rates between the EPO and the western Pacific cannot be estimated with currently-available tagging data. In some analyses the EPO is divided into six independent sub-regions to accommodate spatial structure of the population and fishery dynamics.

Stock assessment requires substantial amounts of information and the information varies depending on the method used. The methods applied to skipjack require a variety of information, including data on retained catches, discards, indices of abundance, the size compositions of the catches of the various fisheries, tagging data, and oceanographic data. In addition, assumptions have to be made about processes such as growth, recruitment, movement, natural mortality, selectivity, and stock structure.

Biomass, recruitment, and fishing mortality are estimated to be highly variable over time. The estimates are uncertain and differ among the alternative assessment methods. A large recruitment appears to have entered the population in 1999, and led to increased biomass in that year, but the increase was temporary, due to the short-lived nature of skipjack. Biomass appears to have been above average in recent years, but this may differ among regions, as indicated by differences in CPUE. SEAPODYM estimates annual biomass of skipjack 30cm or larger cycling between 1,800,000 t and 2,350,000 t from 1998 to 2008, but the quality of these estimates has yet to be determined. The average weight of skipjack has generally been declining since 2000, however the trend differs among regions. Previous assessments using a catch-at-length analysis (A-SCALA) to assess skipjack tuna in the EPO were considered preliminary because: 1) it was unknown if catch-per-day-fished for purse-seine fisheries is proportional to abundance; 2) it is possible that there is a population of large skipjack that is invulnerable to the fisheries; and 3) the structure of the EPO stock in relation to the western and central Pacific stocks is uncertain. These issues are also relevant to the current assessment.

Previous assessments estimated that maximum yields are achieved with infinite fishing mortality because the critical weight is less than the average weight at recruitment to the fishery. However, this is uncertain because of uncertainties in the estimates of natural mortality and growth. For this reason, no traditional reference points are available for skipjack tuna in the EPO. Consequently, indicators and reference levels have been used to evaluate the status of the stock (Figure C-2). The main concern with the skipjack stock is the constantly increasing exploitation rate. However, exploitation rate appears to have leveled off in recent years and the effort has declined. The data- and model-based indicators have yet to detect any adverse consequence of this increase. The average weight was below its lower reference level in 2009, which can be a consequence of overexploitation, but it can also be caused by recent recruitments being greater than past recruitments or expansion of the fishery into areas occupied by smaller skipjack. Any further decline in average length is a concern and, combined with leveling off of catch and CPUE, may indicate that the exploitation rate is approaching or above the level associated with MSY. The tagging

analyses for regions A and C, length-structured model for region B, and the SEAPODYM analyses do not provide any information that indicates a credible risk to the skipjack stock(s).

Key Results

1. There is uncertainty about the status of skipjack tuna in the EPO.
2. There may be differences in the status of the stock among regions.
3. There is no evidence that indicates a credible risk to the skipjack stock(s).

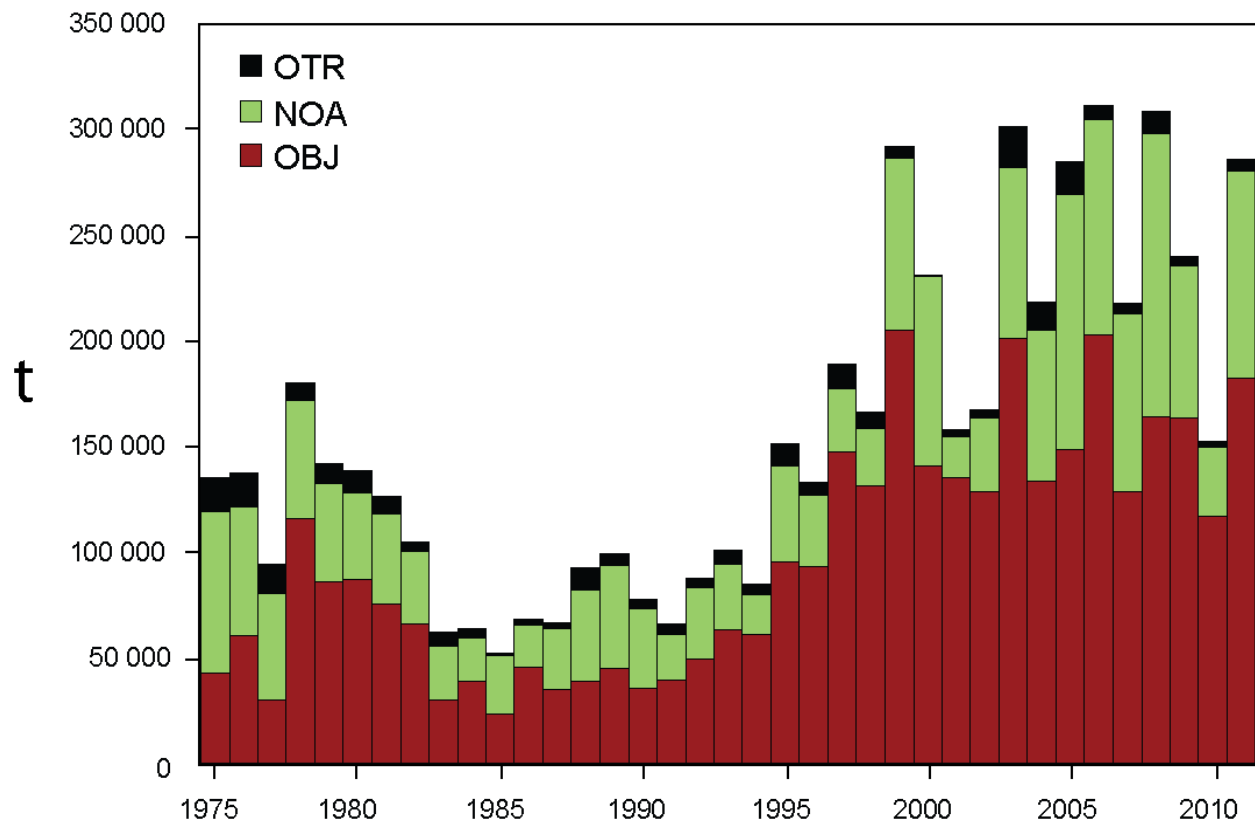


FIGURE C-1. Total catches (retained catches plus discards) of skipjack tuna by the purse-seine fisheries on floating objects and unassociated schools, and by other fisheries combined, in the eastern Pacific Ocean. The purse-seine catches are adjusted to the species composition estimate obtained from sampling the catches. The 2011 catch data are preliminary.

FIGURA C-1. Capturas totales (capturas retenidas más descartes) de atún barrilete por las pesquerías de cerco sobre objetos flotantes y cardúmenes no asociados, y de las demás pesquerías combinadas, en el Océano Pacífico oriental. Las capturas cerqueras están ajustadas a la estimación de la composición por especie obtenida del muestreo de las capturas. Los datos de captura de 2011 son preliminares.

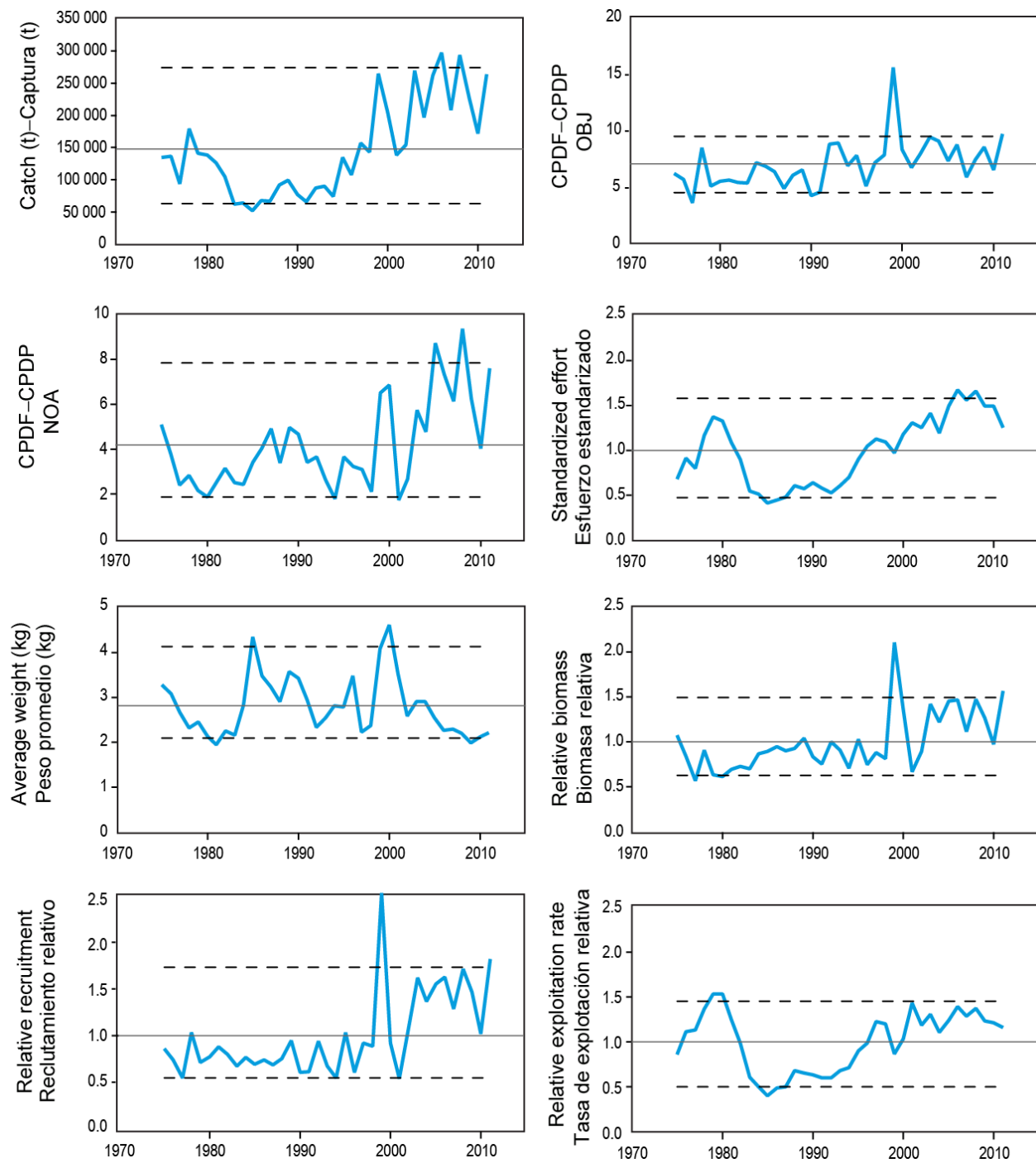


FIGURE C-2. Indicators of stock status for skipjack tuna in the eastern Pacific Ocean. OBJ: floating-object fishery; NOA: unassociated fishery. All indicators are scaled so that their average equals one.

FIGURA C-2. Indicadores del estatus de la población de atún barrilete en el Océano Pacífico oriental. OBJ: pesquería sobre objetos flotantes; NOA: pesquería no asociada. Se escalan todos los indicadores para que su promedio equivalga a uno.

C. ATÚN BARRILETE

Este informe presenta la evaluación más actual de la población de atún barrilete (*Katsuwonus pelamis*) en el Océano Pacífico oriental (OPO). Se usan varios métodos alternativos para evaluar la condición del atún barrilete: a) indicadores de pesca y biológicos; b) análisis de datos de marcado; c) un modelo de evaluación de población por talla; d) un modelo de dinámica de poblaciones y ecosistema espacial (*Spatial Ecosystem and Population Dynamic Model* (SEAPODYM; Lehodey, P., Senina, I., Calmettes, B., Hampton, J., Nicol, S., Williams, P., Jurado Molina, J., Ogura, M., Kiyofuji, H., and Okamoto, S. 2011. SEAPODYM working progress and applications to Pacific skipjack tuna population and fisheries. WCPFC-SC7-2011/EB-WP 06 rev. 1). Se comparan los resultados de estos cuatro métodos al evaluar la condición del barrilete en el OPO.

En la Figura C-1 se presentan las capturas usadas en la evaluación.

El barrilete se encuentra distribuido por todo el Océano Pacífico, y es probable que exista una población continua por todo el Océano Pacífico, con intercambio de individuos a nivel local, aunque se cree que los desplazamientos a gran escala son poco comunes. La mayoría de las capturas de barrilete provienen de las regiones oriental y occidental; las capturas cercanas son relativamente bajas cerca del límite occidental del OPO en 150°OW. Los desplazamientos de barrilete es marcados cubren generalmente centenares, no miles, de kilómetros, y el intercambio de peces entre el Océano Pacífico oriental y occidental parece ser limitado. Las tasas de desplazamiento entre el OPO y el Pacífico occidental no pueden ser estimadas con los datos de marcado actualmente disponibles. En algunos análisis se divide el OPO en seis subregiones independientes para acomodar la estructura espacial de la población y de la pesquería.

La evaluación de poblaciones requiere cantidades sustanciales de información, y la información varía de acuerdo al método usado. Los métodos aplicados al barrilete exigen una variedad de información, incluyendo datos de las capturas retenidas, descartes, índices de abundancia, la composición por tamaño de las capturas de las varias pesquerías, datos de marcado, y datos oceanográficos. Además, se han de hacer supuestos acerca de los procesos tales como crecimiento, reclutamiento, desplazamiento, mortalidad natural, selectividad, y estructura de la población.

Se estima que la biomasa, reclutamiento, y mortalidad por pesca son altamente variables a lo largo del tiempo. Las estimaciones son inciertas, y son diferentes entre los métodos de evaluación alternativos. Parece que un reclutamiento grande ingresó a la población en 1999, y condujo a una biomasa incrementada en ese año, pero el incremento fue temporal, debido a la corta vida del barrilete. La biomasa parece haber sido superior al promedio en los últimos años, pero esto podría variar entre regiones, tal como lo indican las diferencias en la CPUE. SEAPODYM estima una biomasa en el barrilete de 30 cm o más de entre 1,800,000 y 2,350,000 t entre 1998 y 2008, pero la calidad de estas estimaciones queda todavía por determinar. El peso promedio del barrilete viene generalmente disminuyendo desde 2000, pero la tendencia es diferente entre regiones. Las evaluaciones previas que usaron un análisis de captura por talla (A-SCALA) para evaluar al atún barrilete en el OPO fueron consideradas preliminares porque: 1) no se sabía si la captura por día de pesca en las pesquerías de cerco es proporcional a la abundancia; 2) es posible que exista una población de barriletes grandes invulnerable a las pesquerías; y 3) la estructura de la población del OPO en relación con las poblaciones del Pacífico occidental y central es incierta. Estos problemas son asimismo pertinentes a la evaluación actual.

Las evaluaciones previas estimaron que se logran los rendimientos máximos con una mortalidad por pesca infinita, porque el peso crítico es inferior al peso promedio al momento del reclutamiento a la pesquería. No obstante, esto es incierto debido a incertidumbres en las estimaciones de la mortalidad natural y el crecimiento. Por este motivo, no se dispone de puntos de referencia tradicionales para el atún barrilete en el OPO. Consecuentemente, se han usado indicadores y niveles de referencia para evaluar la condición de la población (Figura C-2). La preocupación principal con respecto a la población de barrilete es el incremento constante de la tasa de explotación. No obstante, esta tasa parece haber permanecido estable en los últimos años, y el esfuerzo disminuido. Los indicadores basados en datos y en modelos

todavía no han detectado consecuencias adversas de este incremento. El peso promedio estuvo por debajo de su nivel de referencia inferior en 2009, lo cual podría ser consecuencia de sobreexplotación, pero también puede ser causado por el hecho que los reclutamientos recientes han sido mayores que los anteriores, o por la expansión de la pesquería a zonas ocupadas por barriletes más pequeños. Cualquier disminución adicional de la talla promedio es motivo de preocupación y, combinada con una estabilización de la captura y la CPUE, podría indicar que la tasa de explotación se está acercando al nivel asociado con el RMS, o que se encuentra por encima del mismo. Los análisis de marcado correspondientes a las regiones A y C, el modelo por talla para la región B, y el análisis de SEAPODYM no brindan ninguna información que indique un riesgo creíble para la población (o poblaciones) de barrilete.

Resultados clave

1. Existe incertidumbre acerca de la condición del atún barrilete en el OPO.
2. Podrían existir diferencias en la condición de la población entre regiones.
3. No existen pruebas que indiquen un riesgo creíble para la población (o poblaciones) de barrilete.

D. BIGEYE TUNA

This report presents the most current stock assessment of bigeye tuna (*Thunnus obesus*) in the eastern Pacific Ocean (EPO). An integrated statistical age-structured stock assessment model (Stock Synthesis Version 3.23b) was used in the assessment. This model is the same as the base case model used in the previous full assessment ([IATTC Stock Assessment Report 11](#)).

Bigeye tuna are distributed across the Pacific Ocean, but the bulk of the catch is made to the east and to the west. The purse-seine catches of bigeye are substantially lower close to the western boundary (150°W) of the EPO (Figure A-3); the longline catches are more continuous, but relatively low between 160°W and 180° (Figure A-4). Bigeye are not often caught by purse seiners in the EPO north of 10°N, but a substantial portion of the longline catches of bigeye in the EPO is made north of that parallel. Bigeye tuna do not move long distances (95% of tagged bigeye showed net movements of less than 1000 nautical miles), and current information indicates minimal net movement between the EPO and the western and central Pacific Ocean (Figure D-1). This is consistent with the fact that longline catch-per-unit-of-effort (CPUE) trends differ among areas. It is likely that there is a continuous stock throughout the Pacific Ocean, with exchange of individuals at local levels. The assessment is conducted as if there were a single stock in the EPO, and there is limited exchange of fish between the EPO and the western and central Pacific Ocean. Its results are consistent with results of other analyses of bigeye tuna on a Pacific-wide basis. In addition, analyses have shown that the results are insensitive to the spatial structure of the analysis. Currently, there are not enough tagging data to provide adequate estimates of movement between the EPO and the western and central Pacific Ocean.

The stock assessment requires a substantial amount of information. Data on retained catch, discards, catch per unit of effort (CPUE), and age-at-length data and size compositions of the catches from several different fisheries have been analyzed. Several assumptions regarding processes such as growth, recruitment, movement, natural mortality, and fishing mortality, have also been made (see [IATTC Stock Assessment Report 11](#)). Catch and CPUE for the surface fisheries have been updated to include new data for 2011. New or updated longline catch data are available for China (2010), Chinese Taipei (2008-2010), French Polynesia (2010), Japan (2007-2010), the Republic of Korea (2009-2011) and the United States (2009-2010). Longline catch data for 2011 are available for China, Chinese Taipei and Japan from the monthly reporting statistics. New or updated CPUE data are available for the Japanese longline fleet (2007-2010). New purse-seine length-frequency data are available for 2011. New or updated length-frequency data are not available for the Japanese longline fleet.

There are several important features in the estimated time series of bigeye recruitment (Figure D-2). The most obvious pattern is a period of below-average recruitment prior to 1994, which may be a model artifact caused by the expansion of the floating-object fisheries in 1994. Estimates of recruitment before 1993 are more uncertain, as the floating-object fisheries were not catching significant amounts of small bigeye. There was a period of above-average annual recruitment in 1994-1998, followed by a period of below-average recruitment in 1999-2000. The recruitments were above average from 2001 to 2006, and were particularly high in 2005 and 2006. The 2008 and 2010 recruitments were above average, but the recruitment in 2011 appears to have been below average. However, this recent estimate is very uncertain and should be regarded with caution, due to the fact that recently-recruited bigeye are represented in only a few length-frequency samples.

There have been important changes in the amount of fishing mortality caused by the fisheries that catch bigeye tuna in the EPO. On average, since 1993 the fishing mortality of bigeye less than about 15 quarters old has increased substantially, and that of fish more than about 15 quarters old has also increased but to a lesser extent (Figures D-3 and D-4). The increase in the fishing mortality of the younger fish was caused by the expansion of the purse-seine fisheries that catch tuna in association with floating objects. It is clear that the longline fishery had the greatest impact on the stock prior to 1995, but with the decrease in longline effort and the expansion of the floating-object fishery, at present the impact of the purse-seine

fishery on the population is far greater than that of the longline fishery (Figure D-4). The discarding of small bigeye has a small, but detectable, impact on the depletion of the stock.

Over the range of spawning biomasses estimated by the base case assessment, the abundance of bigeye recruits appears to be unrelated to the spawning potential of adult females at the time of hatching.

Since the start of 2005, when the spawning biomass ratio (the ratio of the spawning biomass at that time to that of the unfished stock; SBR) was at its historic low level of 0.16, the bigeye stock has shown a recovery trend, to an SBR of 0.24 at the end of 2010. This recent recovery trend is subsequent to the IATTC tuna conservation resolutions initiated in 2004. The SBR is estimated to have declined slightly since the beginning of 2011 to a level of 0.23 at the start of 2012 (Figure D-6). According to the base case model, this most recent SBR is about 12% higher than the maximum sustainable yield (MSY) level (Table D-1).

Recent catches are estimated to have been 8% less than those corresponding to the MSY levels (Table D-1). If fishing mortality (F) is proportional to fishing effort, and the current patterns of age-specific selectivity are maintained, the level of fishing effort corresponding to the MSY is about 95% of the current (2009-2011) level of effort (Table D-1).

According to the base case results, the two most recent estimates indicate that the bigeye stock in the EPO is probably not overfished ($S > S_{MSY}$), but that fishing mortality slightly exceeds the level corresponding to the MSY (overfishing is taking place, $F > F_{MSY}$) (Figure D-7). This interpretation, however, is subject to uncertainty, as indicated by the approximated confidence intervals around the most recent estimate in the Kobe plot (Figure D-7).

The MSY of bigeye in the EPO could be maximized if the age-specific selectivity pattern were similar to that of the longline fisheries, because they catch larger individuals that are close to the critical weight. Before the expansion of the floating-object fishery that began in 1993, the MSY was greater than the current MSY and the fishing mortality was less than F_{MSY} (Figure D-8).

Under the current levels of fishing mortality, recent spikes in recruitment are predicted not to sustain the increasing trend observed for SBR since 2004. Both the base case and the assessment assuming a stock-recruitment relationship indicate a slight decline of the SBR since the start of 2011 and predict that the population is likely to further drop below the level corresponding to MSY under average recruitment conditions (Figure D-6). It is estimated that catches will be lower in the future at current levels of fishing effort if a stock-recruitment relationship is assumed, particularly for the surface fisheries (Figure D-9).

These simulations are based on the assumption that selectivity and catchability patterns will not change in the future. Changes in targeting practices or increasing catchability of bigeye as abundance declines (e.g. density-dependent catchability) could result in differences from the outcomes predicted here.

Key results

1. The results of this assessment indicate a recent recovery trend for bigeye tuna in the EPO (2005-2010), subsequent to IATTC tuna conservation resolutions initiated in 2004. However, an apparent slight decline of the spawning biomass has begun at the start of 2011 and, under the current levels of fishing mortality and average recruitment, recent spikes in recruitment are predicted not to sustain the early observed population rebuilding trend.
2. There is uncertainty about recent and future recruitment and biomass levels;
3. The recent fishing mortality rates are estimated to be slightly above the level corresponding to MSY, and the recent levels of spawning biomass are estimated to be above that level. As described in [IATTC Stock Assessment Report 11](#), these interpretations are uncertain and highly sensitive to the assumptions made about the steepness parameter of the stock-recruitment relationship, the average size of the older fish, the assumed levels of natural mortality for adult bigeye, and the historic period of the bigeye exploitation used in the assessment. The results are more pessimistic if a stock-

recruitment relationship is assumed, if a higher value is assumed for the average size of the older fish, if lower rates of natural mortality are assumed for adult bigeye, and if only the late period of the fishery (1995-2009) is included in the assessment;

4. The results are more optimistic if a lower value is assumed for the average size of the older fish, and if higher levels of natural mortality are assumed for adult bigeye.

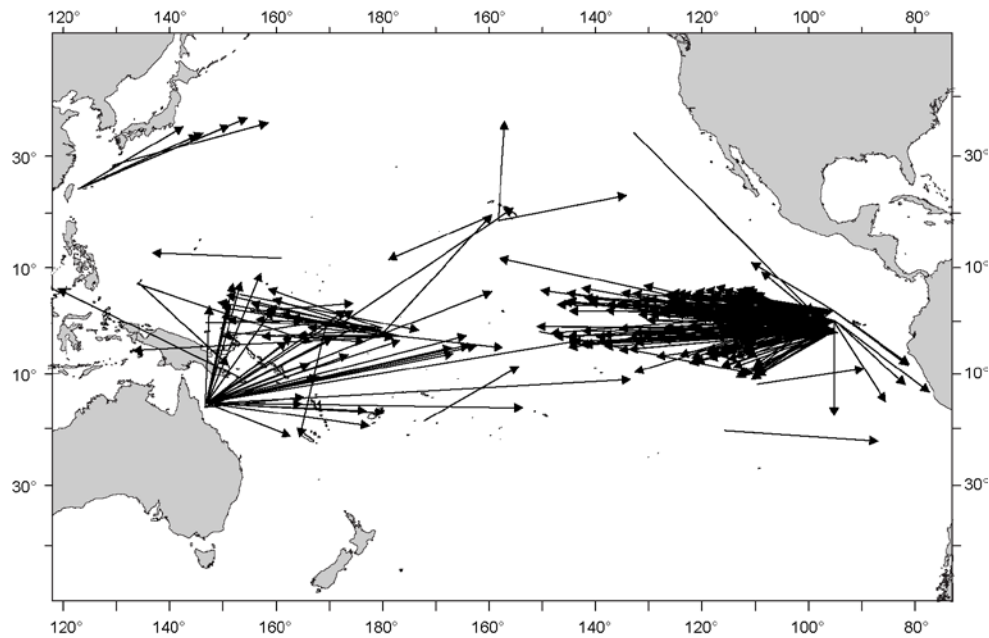


FIGURE D-1. Movements of more than 1000 nm by tagged bigeye tuna in the Pacific Ocean.

FIGURA D-1. Desplazamientos de más de 1000 mn de atunes patudo marcados en el Océano Pacífico.

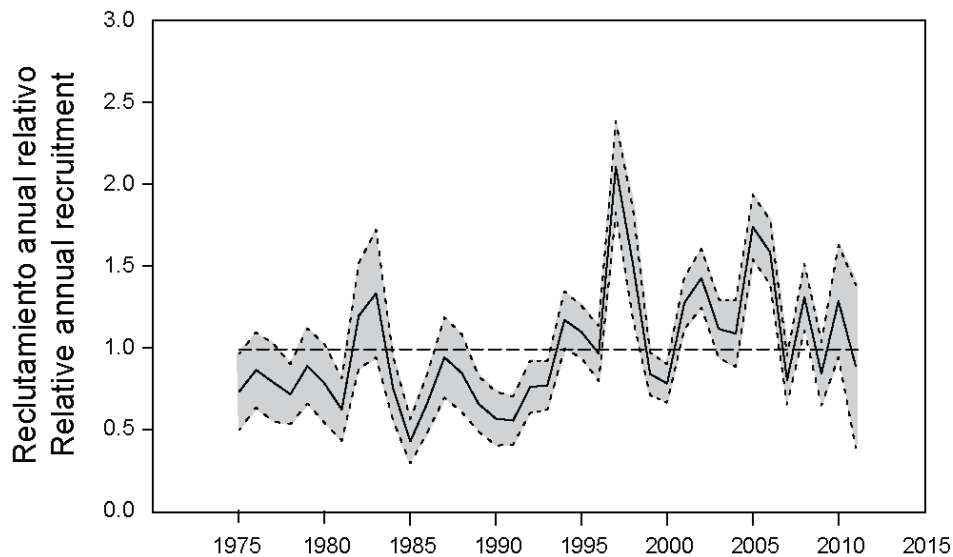


FIGURE D-2. Estimated annual recruitment of bigeye tuna to the fisheries of the EPO. The estimates are scaled so that the estimate of virgin recruitment is equal to 1.0 (dashed horizontal line). The solid line shows the maximum likelihood estimates of recruitment, and the shaded area indicates the approximate 95% intervals around those estimates.

FIGURA D-2. Reclutamiento estimado de atún patudo a las pesquerías del OPO. Se escalan las estimaciones para que la estimación de reclutamiento virgen equivalga a 1,0 (línea de trazos horizontal). La línea sólida indica las estimaciones de reclutamiento de verosimilitud máxima, y el área sombreada indica los intervalos de confianza de 95% aproximados de esas estimaciones.

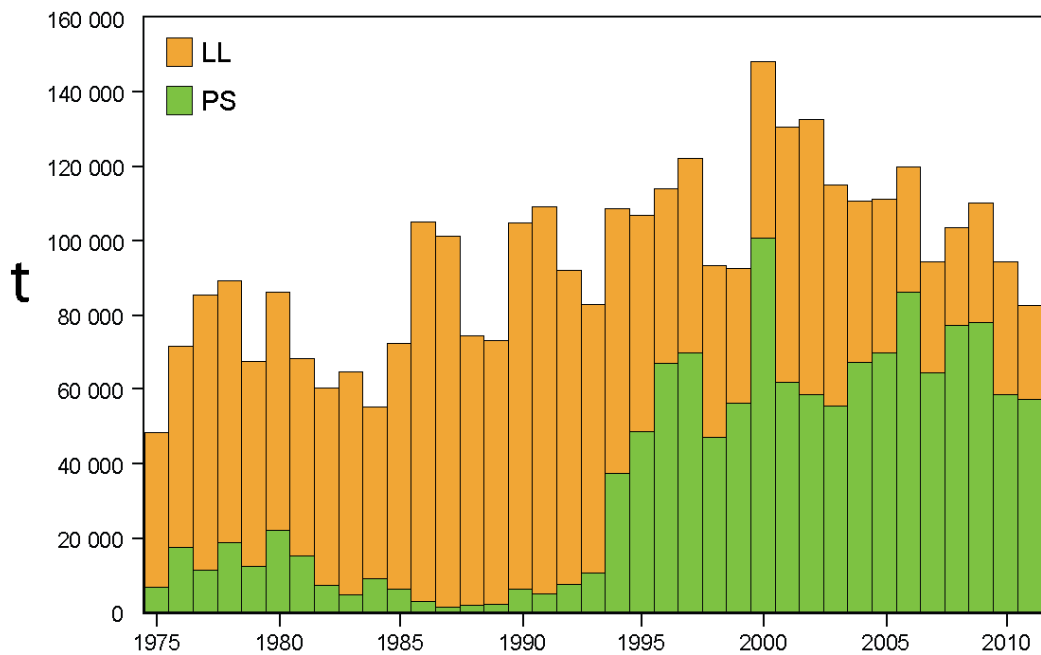


FIGURE D-3. Total catches (retained catches plus discards) of bigeye tuna by the purse-seine fisheries, and retained catches for the longline fisheries, in the eastern Pacific Ocean. The purse-seine catches are adjusted to the species composition estimate obtained from sampling the catches. The 2011 catch data are preliminary.

FIGURA D-3. Capturas totales (capturas retenidas más descartes) de atún patudo por las pesquerías de cerco, y capturas retenidas de las pesquerías palangreras en el Océano Pacífico oriental. Las capturas cerqueras están ajustadas a la estimación de la composición por especie obtenida del muestreo de las capturas. Los datos de captura de 2011 son preliminares.

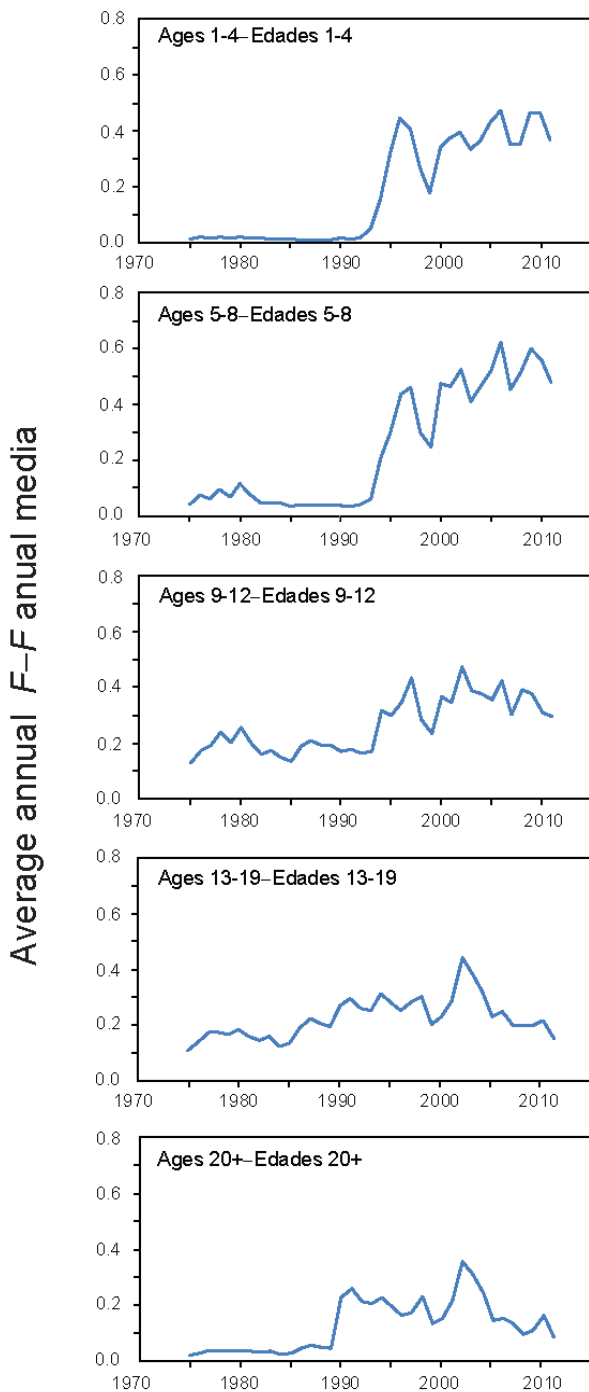


FIGURE D-4 Average annual fishing mortality, by all gears, of bigeye tuna recruited to the fisheries of the EPO. Each panel illustrates the average fishing mortality rates that affected the fish within the range of ages indicated in the title of each panel. For example, the trend illustrated in the top panel is an average of the fishing mortalities that affected the fish that were 1-4 quarters old.

FIGURA D-4 Mortalidad por pesca anual media, por todas las artes, de atún patudo reclutado a las pesquerías del OPO. Cada recuadro ilustra las tasas medias de mortalidad por pesca que afectaron a los peces de la edad indicada en el título de cada recuadro. Por ejemplo, la tendencia ilustrada en el recuadro de más arriba es un promedio de las mortalidades por pesca que afectaron a los peces de entre 1 y 4 trimestres de edad.

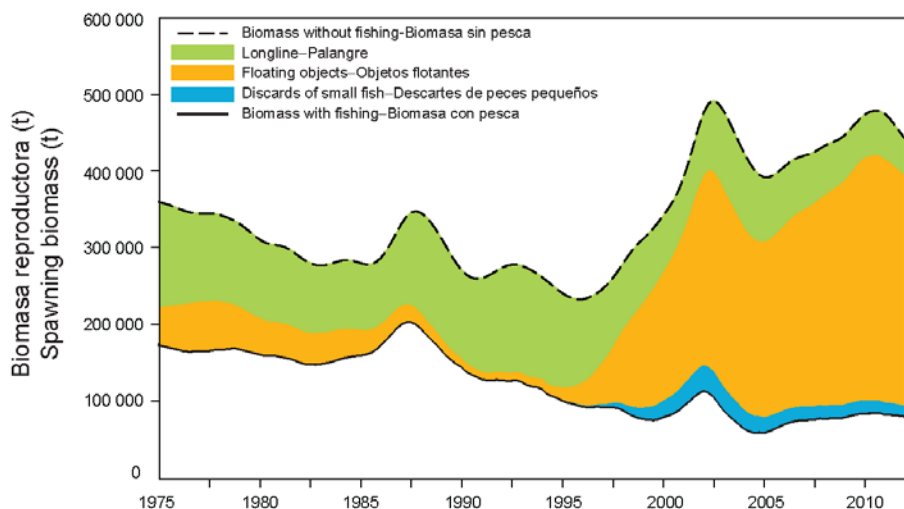


FIGURE D-5. Trajectory of the spawning biomass of a simulated population of bigeye tuna that was not exploited (top line) and that predicted by the stock assessment model (bottom line). The shaded areas between the two lines show the portions of the impact attributed to each fishing method. t = metric tons.

FIGURA D-5. Trayectoria de la biomasa reproductora de una población simulada de atún patudo no explotada (línea superior) y la que predice el modelo de evaluación (línea inferior). Las áreas sombreadas entre las dos líneas señalan la porción del efecto atribuida a cada método de pesca. t = toneladas métricas.

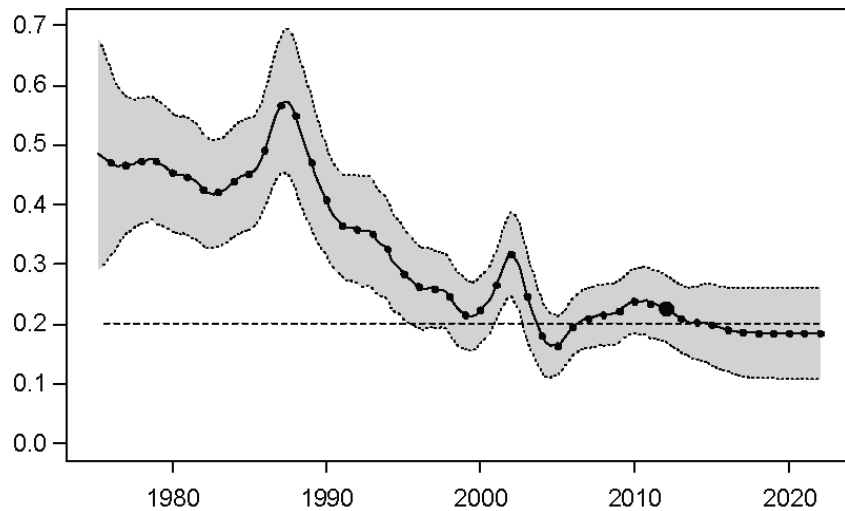


FIGURE D-6. Estimated spawning biomass ratios (SBRs) for bigeye tuna in the EPO. The dashed horizontal line (at about 0.20) identifies the SBR at MSY. The solid curve illustrates the maximum likelihood estimates, and the estimates after 2012 (large dot) indicate the SBR predicted to occur if fishing mortality rates continue at the average of that observed during 2009-2011, and average environmental conditions occur during the next 10 years. The shaded area indicates the approximate 95% confidence intervals around those estimates.

FIGURA D-6. Cocientes de biomasa reproductora (SBR) de atún patudo en el OPO. La línea de trazos horizontal (en aproximadamente 0.20) identifica el SBR correspondiente al RMS. La curva sólida ilustra las estimaciones de verosimilitud máxima, y las estimaciones a partir de 2012 (punto grande) indican el SBR que se predice ocurrirá con tasas de mortalidad por pesca en el promedio de aquellas observadas durante 2009-2011, y con condiciones ambientales medias durante los 10 años próximos. El área sombreada indica los intervalos de confianza de 95% medios aproximados alrededor de esas estimaciones.

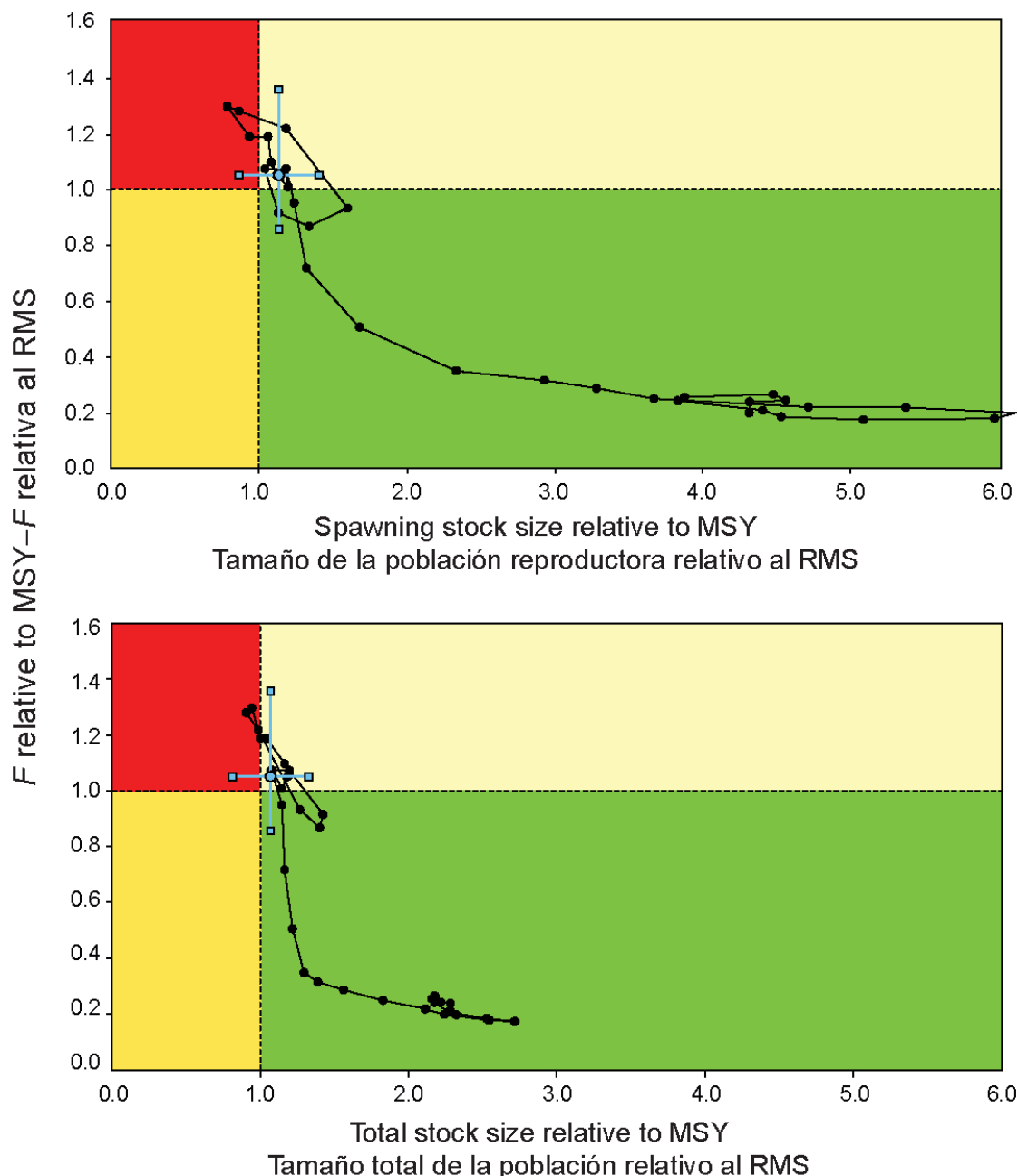


FIGURE D-7. Kobe (phase) plot of the time series of estimates of stock size (top: spawning biomass; bottom: total biomass) and fishing mortality relative to their MSY reference points. Each dot is based on the average fishing mortality rate over three years; the large dot indicates the most recent estimate. The squares around the most recent estimate represent its approximate 95% confidence interval.

FIGURA D-7. Gráfica de Kobe (fase) de la serie de tiempo de las estimaciones del tamaño de la población (arriba: biomasa reproductora; abajo: biomasa total) y la mortalidad por pesca en relación con sus puntos de referencia de RMS. Cada punto se basa en la tasa de explotación media de un trienio; el punto grande indica la estimación más reciente. Los cuadrados alrededor de la estimación más reciente representan su intervalo de confianza de aproximadamente 95%.

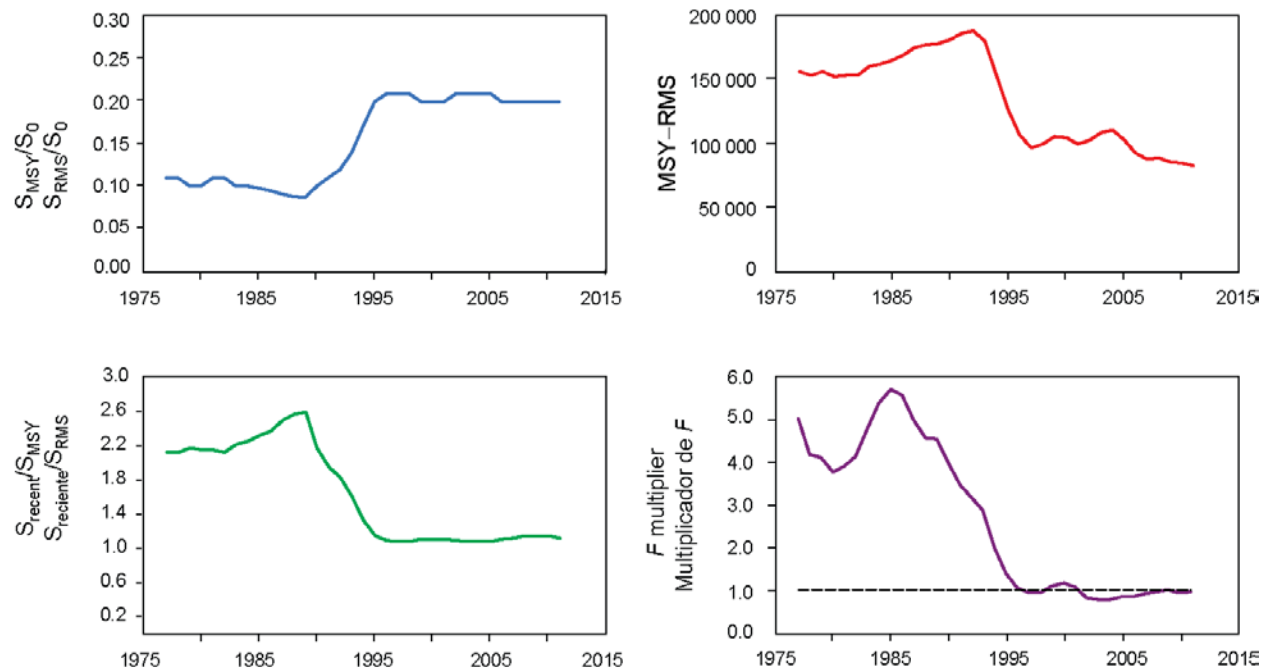


FIGURE D-8. Estimates of MSY-related quantities calculated using the average age-specific fishing mortality for each year. (S_{recent} is the spawning biomass at the end of the last year in the assessment.)

FIGURA D-8. Estimaciones de cantidades relacionadas con el RMS calculadas usando la mortalidad por pesca por edad media para cada año. ($S_{recente}$ es la biomasa reproductora al fin del último año en la evaluación.)

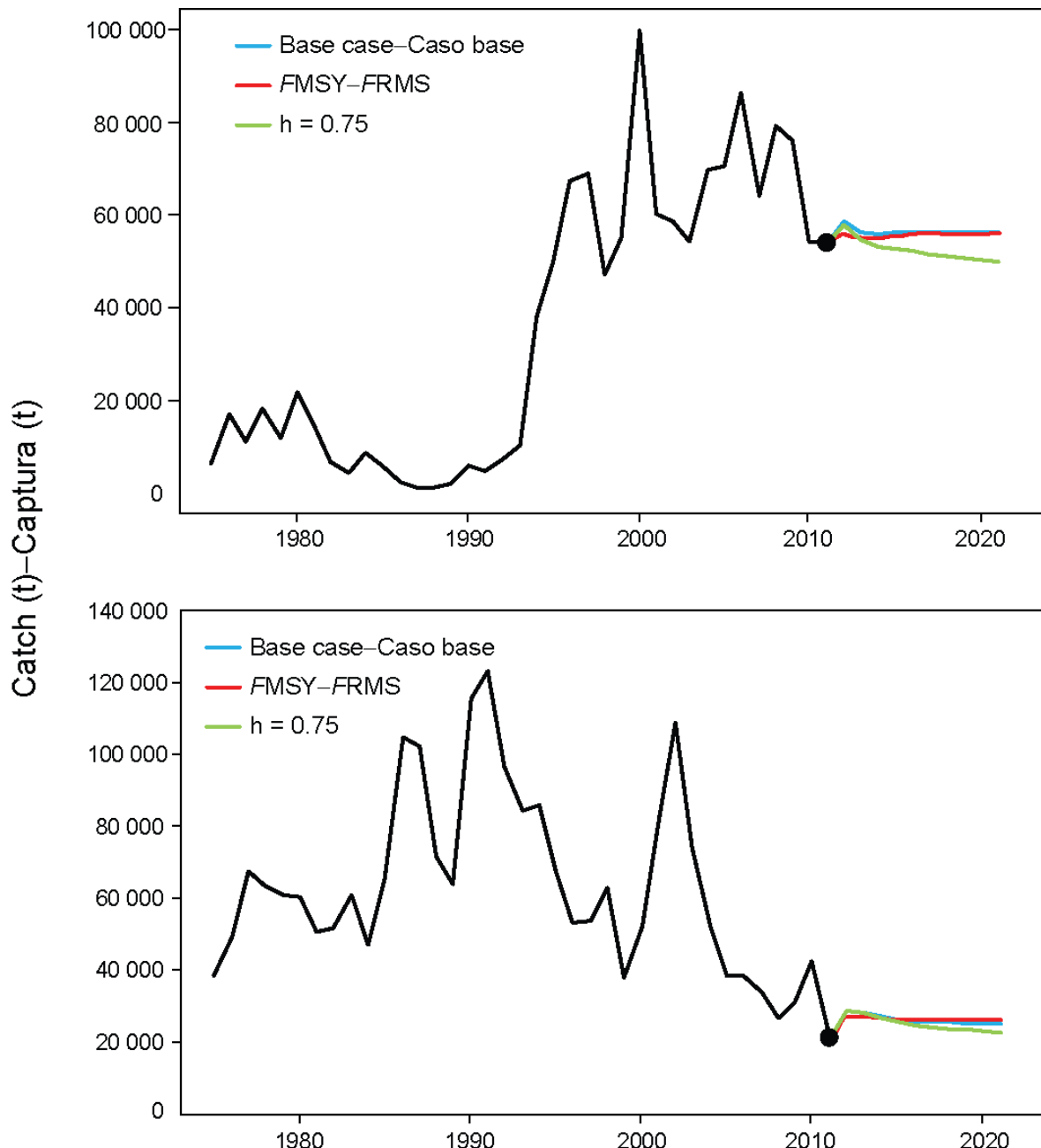


FIGURE D-9. Historic and projected annual catches of bigeye tuna by the surface (top panel) and longline (bottom panel) fisheries from the base case while fishing with the current effort, the base case while fishing at the fishing mortality corresponding to MSY (F_{MSY}), and the analysis of sensitivity to steepness ($h = 0.75$) of the stock-recruitment relationship while fishing with the current effort. The large dot indicates the most recent observed catch (2011).

FIGURA D-9. Capturas anuales históricas y proyectadas de patudo por las pesquerías de superficie (arriba) y de palangre (abajo) del caso base con la pesca en el nivel actual de esfuerzo, del caso base con la pesca en la mortalidad por pesca correspondiente al RMS (F_{RMS}), y el análisis de sensibilidad a la inclinación ($h = 0.75$) de la relación población-reclutamiento al pescar con el esfuerzo actual. El punto grande representa la captura observada más reciente (2011).

TABLE D-1. MSY and related quantities for the base case and the stock-recruitment relationship sensitivity analysis, based on average fishing mortality (F) for 2009-2011. B_{recent} and B_{MSY} are defined as the biomass, in metric tons, of fish 3+ quarters old at the start of the first quarter of 2012 and at MSY, respectively, and S_{recent} and S_{MSY} are defined as indices of spawning biomass (therefore, they are not in metric tons). C_{recent} is the estimated total catch for 2011.

TABLA D-1. RMS y cantidades relacionadas para el caso base y el análisis de sensibilidad a la relación población-reclutamiento, basados en la mortalidad por pesca (F) media de 2009-2011. Se definen B_{reciente} y B_{RMS} como la biomasa, en toneladas, de peces de 3+ trimestres de edad al principio del primer trimestre de 2012 y en RMS, respectivamente, y S_{reciente} y S_{RMS} como índices de biomasa reproductora (por lo tanto, no se expresan en toneladas). C_{reciente} es la captura total estimada de 2011.

BET	Base case Caso base	$h = 0.75$
MSY-RMS	82,246	78,879
$B_{\text{MSY}} - B_{\text{RMS}}$	320,818	559,384
$S_{\text{MSY}} - S_{\text{RMS}}$	72,902	140,995
$B_{\text{MSY}}/B_0 - B_{\text{RMS}}/B_0$	0.25	0.34
$S_{\text{MSY}}/S_0 - S_{\text{RMS}}/S_0$	0.20	0.30
$C_{\text{recent}}/\text{MSY} - C_{\text{recent}}/\text{RMS}$	0.92	0.96
$B_{\text{recent}}/B_{\text{MSY}} - B_{\text{recent}}/B_{\text{RMS}}$	1.06	0.76
$S_{\text{recent}}/S_{\text{MSY}} - S_{\text{recent}}/S_{\text{RMS}}$	1.12	0.77
F multiplier-Multiplicador de F	0.95	0.70

D. ATÚN PATUDO

Este documento presenta la evaluación más actual de la población de atún patudo (*Thunnus obesus*) en el Océano Pacífico oriental (OPO). Se usó en la evaluación un modelo de evaluación de poblaciones estadístico integrado con estructura por edad (*Stock Synthesis*, versión 3.23b), igual que el modelo de caso base en la evaluación completa previa ([Informe de Evaluación de Stocks 11](#) de la CIAT).

El atún patudo se encuentra distribuido por todo el Océano Pacífico, pero la mayor parte de la captura proviene de las zonas oriental y occidental del mismo. Las capturas cerqueras de aleta amarilla son sustancialmente más bajas cerca del límite occidental del OPO (150°O; Figura A-3); las capturas palangreras son más continuas, pero relativamente bajas entre 160°O y 180° (Figura A_4). El patudo no es capturado frecuentemente con arte de cerco en el OPO al norte de 10°N, pero una porción sustancial de las capturas palangreras de patudo en el OPO proviene del norte de ese paralelo. El patudo no se desplaza grandes distancias (el desplazamiento neto del 95% de los patudos marcados es de menos de 1000 millas náuticas), e la información actual indica desplazamientos netos mínimos entre el OPO y el Océano Pacífico central y occidental (Figura D-1). Esto es consistente con que las tendencias de la captura por unidad de esfuerzo (CPUE) difieran entre zonas. Es probable que exista una población continua por todo el Océano Pacífico, con intercambio de individuos a escala local. Se realiza la evaluación como si existiera una sola población en el OPO, y ocurriría intercambio limitado de peces entre el OPO y el Océano Pacífico central y occidental. Sus resultados son consistentes con aquéllos de otros análisis del atún patudo a escala del Pacífico entero. Además, los análisis han demostrado que los resultados no son sensibles a la estructura espacial del análisis. Actualmente, no existen suficientes datos de marcado para brindar estimaciones adecuadas de los desplazamientos entre el OPO y el Océano Pacífico central y occidental.

La evaluación de la población requiere una cantidad sustancial de información. Se analizaron datos de capturas retenidas, descartes, captura por unidad de esfuerzo (CPUE), y datos de talla por edad y composición por tamaño de las capturas de varias pesquerías distintas. Se hicieron también varios supuestos sobre procesos tales como crecimiento, reclutamiento, desplazamiento, mortalidad natural, y mortalidad por pesca (ver [Informe de Evaluación de Stocks 11](#)). Se actualizaron los datos de captura y CPUE de las pesquerías de superficie para incluir datos nuevos de 2011. Se dispone de datos nuevos o actualizados de la captura palangrera de China (2010), Taipei Chino (2008-2010), Polinesia Francesa (2010), Japón (2007-2010), Corea (2009-2011) y Estados Unidos (2009-2010). Se dispone de datos de captura de 2011 para China, Taipei Chino, y Japón a partir de las estadísticas de los informes mensuales. Se dispone de datos nuevos o actualizados de CPUE para la flota japonesa de palangre (2007-2010). Se dispone de datos nuevos de frecuencia de talla de la pesquería de cerco para 2011. No se dispone de datos nuevos o actualizados de frecuencia de talla para la flota japonesa de palangre.

La serie de tiempo de estimaciones de reclutamiento de patudo tiene varias características importantes (Figura D-2). The most obvious pattern is a period of below-average recruitment prior to 1994, which may be a model artifact caused by the expansion of the floating-object fisheries in 1994. Las estimaciones del reclutamiento antes de 1993 son más inciertas, ya que las pesquerías sobre objetos flotantes no capturaban cantidades importantes de patudo pequeño. Hubo un período de reclutamiento anual superior al promedio en 1994-1998, seguido por un período de reclutamiento inferior al promedio en 1999-2000. Los reclutamientos fueron superiores al promedio entre 2001 y 2006, y fueron particularmente grandes en 2005 y 2006. Los reclutamientos de 2008 y 2010 fueron superiores al promedio, pero el reclutamiento en 2011 parece haber sido inferior al promedio. No obstante, esta estimación reciente es muy incierta, y debe ser considerada con cautela, debido a que el patudo recién reclutado está representado en solamente unas pocas muestras de frecuencia de talla.

Han ocurrido cambios importantes en la cantidad de mortalidad por pesca causada por las pesquerías que capturan atún patudo en el OPO. En promedio, desde 1993 la mortalidad por pesca de patudo de menos de unos 15 trimestres de edad ha aumentado sustancialmente, y la de los de más de unos 15 trimestres de

edad también ha aumentado, pero en menor grado (Figuras D-3 y D-4). El aumento de la mortalidad por pesca de los peces más jóvenes fue causado por la expansión de las pesquerías de cerco que capturan atún en asociación con objetos flotantes. Queda claro que la pesquería de palangre ejerció el mayor impacto sobre la población antes de 1995, pero con la reducción del esfuerzo de palangre, y la expansión de la pesquería sobre objetos flotantes, en la actualidad el impacto de la pesquería de cerco sobre la población es mucho mayor que aquél de la pesquería de palangre (Figura D-5). Los descartes de patudo pequeño tienen un impacto pequeño pero detectable sobre la merma de la población.

Dentro de la gama de biomassas reproductoras estimadas por la evaluación del caso base, la abundancia de los reclutas de patudo no parece estar relacionada con el potencial reproductor de las hembras adultas en el momento de cría.

Desde el principio de 2005, cuando el cociente de biomasa reproductora (*spawning biomass ratio*, o SBR: el cociente de la biomasa reproductora actual a aquélla de la población no explotada) de atún patudo su nivel mínimo histórico de 0,16, la población ha mostrado una tendencia recuperativa, a un SBR de 0,24 al fin de 2010. Esta tendencia recuperativa reciente es subsiguiente a las resoluciones de conservación de la CIAT iniciadas en 2004. Se estima que el SBR ha disminuido ligeramente desde el principio de 2011 a un nivel de 0,23 al principio de 2012 (Figura D-6). Según el modelo de caso base, este SBR más reciente es aproximadamente un 12% mayor que el nivel de rendimiento máximo sostenible (RMS) (Tabla D-1).

Se estima que las capturas recientes han sido un 8% menores que aquéllas correspondientes a los niveles de RMS (Tabla D-1). Si la mortalidad por pesca (F) es proporcional al esfuerzo de pesca, y se mantienen los patrones actuales de selectividad por edad, el nivel de esfuerzo de pesca correspondiente al RMS es aproximadamente el 95% del nivel de esfuerzo actual (2009-2011) (Tabla D-1).

Según los resultados del caso base, las dos estimaciones más recientes indican que la población de patudo en el OPO probablemente no se encuentra sobreexpuesta ($S > S_{RMS}$), pero que la mortalidad por pesca es ligeramente superior al nivel correspondiente al RMS (está ocurriendo sobrepesca, $F > F_{RMS}$) (Figura D-7). No obstante, esta interpretación está sujeta a incertidumbre, tal como indican los intervalos de confianza aproximados alrededor de la estimación más reciente en la gráfica de Kobe (Figura D-7).

El RMS de patudo en el OPO podría ser maximizado si el patrón de selectividad por edad fuese similar a aquél de las pesquerías de palangre, porque capturan peces más grandes de un peso cercano al crítico. Antes de la expansión de la pesquería sobre objetos flotantes que comenzó en 1993, el RMS fue mayor que el RMS actual, y la mortalidad por pesca fue menos que F_{RMS} (Figura D-8).

Con los niveles actuales de mortalidad por pesca, se predice que los picos recientes en el reclutamiento no sostendrán la tendencia creciente del SBR observada desde 2004. Tanto el caso base como la evaluación que supone una relación población-reclutamiento indican una ligera disminución del SBR desde el principio de 2011, y predicen que es probable que la población seguirá disminuyendo por debajo del nivel correspondiente al RMS con condiciones de reclutamiento promedio (Figura D-6). Se estima que las capturas serán menores en el futuro con los niveles actuales de esfuerzo de pesca si se supone una relación población-reclutamiento, particularmente en el caso de las pesquerías de superficie (Figura D-9).

Estas simulaciones se basan en el supuesto que los patrones de selectividad y capturabilidad no cambiarán en el futuro. Cambios en las prácticas con respecto a los objetivos de la pesca, o una mayor capturabilidad de patudo a medida que disminuye la abundancia (por ejemplo, capturabilidad dependiente de la densidad) podrían resultar en diferencias de los resultados aquí predichos.

Resultados clave

1. Los resultados de esta evaluación indican una tendencia recuperativa reciente (2005-2010) del atún patudo en el OPO, subsiguiente a las resoluciones de conservación de atún de la CIAT iniciadas en 2004. No obstante, comenzó a principios de 2011 una ligera disminución aparente de la biomasa reproductora y, con los niveles actuales de mortalidad por pesca y reclutamientos medios, se predice

que los picos recientes en el reclutamiento no sostendrán esta tendencia temprana observada de reconstrucción de la población.

2. Existe incertidumbre con respecto a los niveles de reclutamiento y biomasa recientes y futuros;
3. Se estima que las tasas recientes de mortalidad por pesca están ligeramente por encima del nivel correspondiente al RMS, y que los niveles recientes de la biomasa reproductora están por encima de dicho nivel. Tal como se describió en el [Informe de Evaluación de Stocks 11](#), estas interpretaciones son inciertas, y altamente sensibles a los supuestos correspondientes al parámetro de inclinación de la relación población-reclutamiento, el tamaño medio de los peces más viejos, los niveles supuestos de mortalidad natural del patudo adulto, y el período histórico de la explotación de patudo usado en la evaluación. Los resultados son más pesimistas si se supone una relación población-reclutamiento, un valor mayor para el tamaño medio de los peces viejos, y niveles más bajos de mortalidad natural del patudo adulto, y si se incluye solamente el período tardío de la pesquería (1995-2009) en la evaluación
4. Los resultados son más optimistas si se supone un valor más bajo para el tamaño medio de los peces viejos, y si se suponen niveles de mortalidad natural más altos para el patudo adulto.

E. PACIFIC BLUEFIN TUNA

Tagging studies have shown that there is exchange of Pacific bluefin between the eastern and western Pacific Ocean. Larval, postlarval, and early juvenile bluefin have been caught in the western Pacific Ocean (WPO), but not in the eastern Pacific Ocean (EPO), so it is likely that there is a single stock of bluefin in the Pacific Ocean (or possibly two stocks in the Pacific Ocean, one spawning in the vicinity of Taiwan and the Philippines and the other spawning in the Sea of Japan).

Most of the catches of bluefin in the EPO are taken by purse seiners. Nearly all of the purse-seine catches have been made west of Baja California and California, within about 100 nautical miles of the coast, between about 23°N and 35°N. Ninety percent of the catch is estimated to have been between about 60 and 100 cm in length, representing mostly fish 1 to 3 years of age. Aquaculture facilities for bluefin were established in Mexico in 1999, and some Mexican purse seiners began to direct their effort toward bluefin during that year. During recent years, most of the catches have been transported to holding pens, where the fish are held for fattening and later sale to sashimi markets. Lesser amounts of bluefin are caught by recreational, gillnet, and longline gear. Bluefin have been caught during every month of the year, but most of the fish are taken during May through October.

Bluefin are exploited by various gears in the WPO from Taiwan to Hokkaido. Age-0 fish about 15 to 30 cm in length are caught by trolling during July–October south of Shikoku Island and south of Shizuoka Prefecture. During November–April, age-0 fish about 35 to 60 cm in length are taken by trolling south and west of Kyushu Island. Age-1 and older fish are caught by purse seining, mostly during May–September, between about 30°–42°N and 140°–152°E. Bluefin of various sizes are also caught by traps, gillnets, and other gear, especially in the Sea of Japan. Small amounts of bluefin are caught near the southeastern coast of Japan by longlining. The Chinese Taipei small-scale longline fishery, which has expanded since 1996, takes bluefin tuna more than 180 cm in length from late April to June, when they are aggregated for spawning in the waters east of the northern Philippines and Taiwan.

The high-seas longline fisheries are directed mainly at tropical tunas, albacore, and billfishes, but small amounts of Pacific bluefin are caught by these fisheries. Small amounts of bluefin are also caught by Japanese pole-and-line vessels on the high seas.

Tagging studies, conducted with conventional and archival tags, have revealed a great deal of information about the life history of bluefin. Some fish apparently remain their entire lives in the WPO, while others migrate to the EPO. These migrations begin mostly during the first and second years of life. The first- and second-year migrants are exposed to various fisheries before beginning their journey to the EPO. The migrants, after crossing the ocean, are exposed to commercial and recreational fisheries off California and Baja California. Eventually, the survivors return to the WPO.

Bluefin more than about 50 cm in length are most often found in waters where the sea-surface temperatures (SSTs) are between 17° and 23°C. Fish 15 to 31 cm in length are found in the WPO in waters where the SSTs are between 24° and 29°C. The survival of larval and early juvenile bluefin is undoubtedly strongly influenced by the environment. Conditions in the WPO probably influence the portions of the juvenile fish there that migrate to the EPO, and also the timing of these migrations. Likewise, conditions in the EPO probably influence the timing of the return of the juvenile fish to the WPO.

An index of abundance for the predominantly young bluefin in the EPO has been calculated, based on standardization of catch per vessel day using a generalized linear model, and including the variables latitude, longitude, SST, SST², month, and vessel identification number. The index is highly variable, but shows a peak in the early 1960s, very low levels for a period in the early 1980s, and some increase since that time.

A full stock assessment was carried out by the Pacific Bluefin Working Group of the International Scientific Committee for Tuna and Tuna-like Species in the North Pacific Ocean (ISC) in 2008. The assessment results were highly sensitive to the assumptions made about biological parameters,

particularly natural mortality. Regardless of these uncertainties, the following trends were robust to different assumptions on natural mortality:

- Recruitment has fluctuated without trend over the assessment period (1952-2006), and does not appear to have been adversely affected by fishery exploitation;
- Recent (2000-2006) levels of spawning biomass (mature females) are above the median historic level;
- The bluefin catch (in weight and numbers) is dominated by recruits (0 years) and juveniles (1-3 years). Fishing mortality (F) on recruits has gradually increased and remained above median historic exploitation levels for more than a decade (since the early 1990s). Fishing mortality on 1-2 year old fish has also increased since the early 1990s, but these levels have fluctuated around median historic levels.

The Pacific Bluefin Working Group of the ISC has subsequently conducted workshops in 2009 and 2010, mainly to deal with data updates and modelling improvements.. A full stock assessment meeting is scheduled for May-June 2012.

The total catches of bluefin have fluctuated considerably during the last 50 years (Figure E-1). The consecutive years of above-average catches (mid-1950s to mid-1960s) and below-average catches (early 1980s to early 1990s) could be due to consecutive years of above-average and below-average recruitments.

Reference points

Developing management reference points for bluefin is problematic, due to sensitivity to the stock assessment model's assumptions. In particular, absolute levels of biomass and fishing mortality, and reference points based on maximum sustainable yield (MSY), are hypersensitive to the value of natural mortality. Relative trends in biomass and fishing mortality levels are more robust to model assumptions. Therefore, management reference points based on relative biomass or fishing mortality should be considered for managing bluefin . It is unlikely that these management measures can be designed to optimize yield, and management should be designed to provide reasonable yields while ensuring sustainability until the uncertainty in the assessment is reduced.

A management “indicator” was developed that is based on integrating multiple years of fishing mortality and takes into consideration the age structure of the fishing mortality. The indicator is based on estimating the impact of fisheries on the stock of fish. The fishery impact over time is used as an indicator for developing reference points based on historic performance. The assumption is that if the fishery impact is less than that seen in the past, then the population is likely to be sustainable at current levels of fishing mortality.

The fishery impact indicator is estimated for bluefin based on spawning biomass. The fisheries are grouped into those in the eastern Pacific Ocean (EPO) and those of the WPO because setting management guidelines for the EPO is the goal of this analysis. The base case assessment developed by the ISC is used as the stock assessment model. The sensitivity of the fishery impact and its use as a management indicator to the different natural mortality assumptions are evaluated.

The index of impact proposed for management is calculated as the estimate of actual spawning biomass divided by the hypothetical spawning biomass in the absence of a fishery. This assumes that the impact is measured under the assumption that the impact of other fisheries is not controlled.

The estimated impact of the fisheries on the bluefin population for the entire time period modeled (1952-2006) is substantial (Figure E-2). The impact is highly sensitive to the assumed values for natural mortality. The WPO fisheries have had a greater impact than the EPO fisheries, and their rate of increase in recent years is greater. The temporal trend in the impact is robust to the assumed level of natural mortality (Figure E-3).

The temporal trend in the estimated fisheries impact is robust to the assumption about natural mortality.

Therefore, using the relative fishery impact as an indicator for management advice based on estimated historical performance may be useful. The impact of the EPO fisheries was substantially less during 1994-2007 than it was during 1970-1993, when bluefin was reduced to a much lower level; however, the impact has been increasing recently (Figure E-3). The estimated status of bluefin is uncertain, and is sensitive to model assumptions. Catch levels should be set based on the years in which the impact was low until the uncertainty in the assessment is reduced. This management measure should ensure that the fishery is sustainable, provided equivalent measures are taken in the WPO.

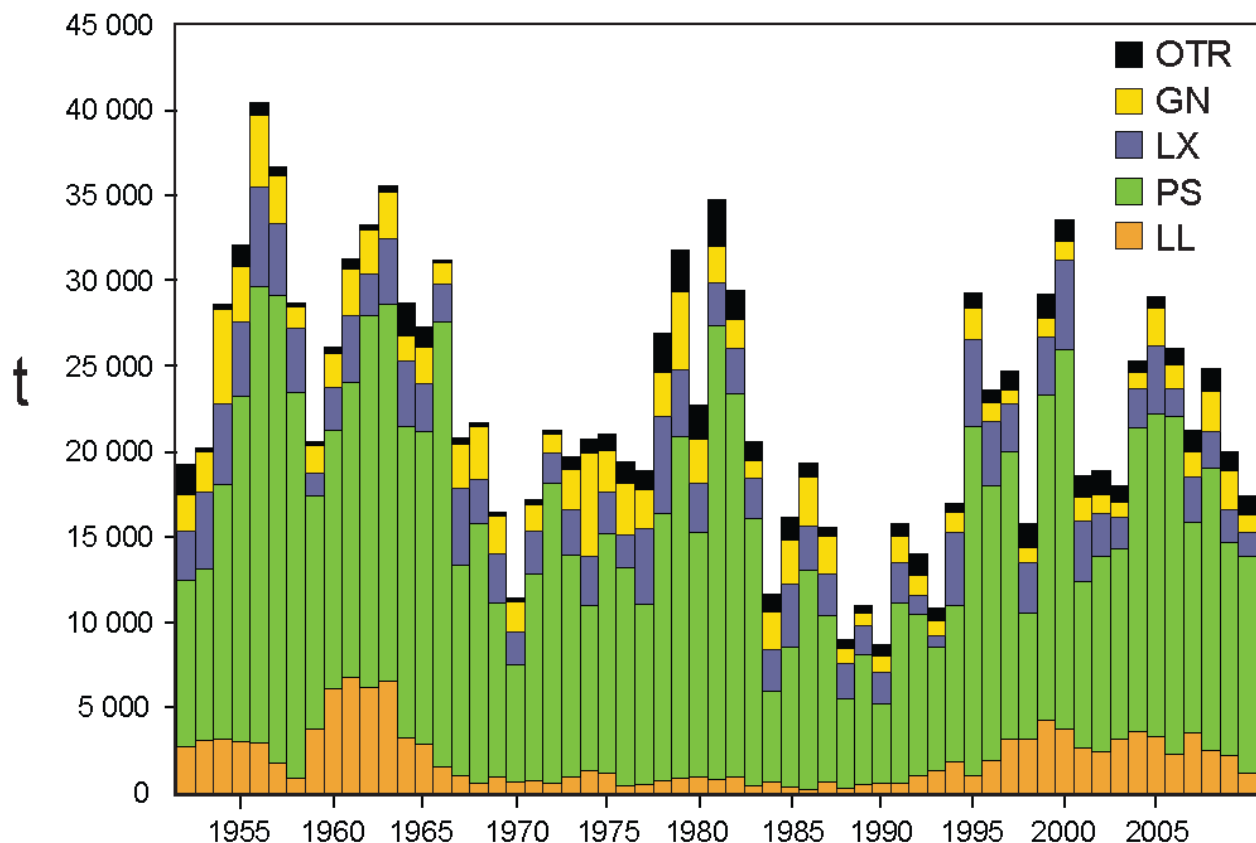


FIGURE E-1. Retained catches of Pacific bluefin tuna.

FIGURA E-1. Capturas retenidas de atún aleta azul del Pacífico.

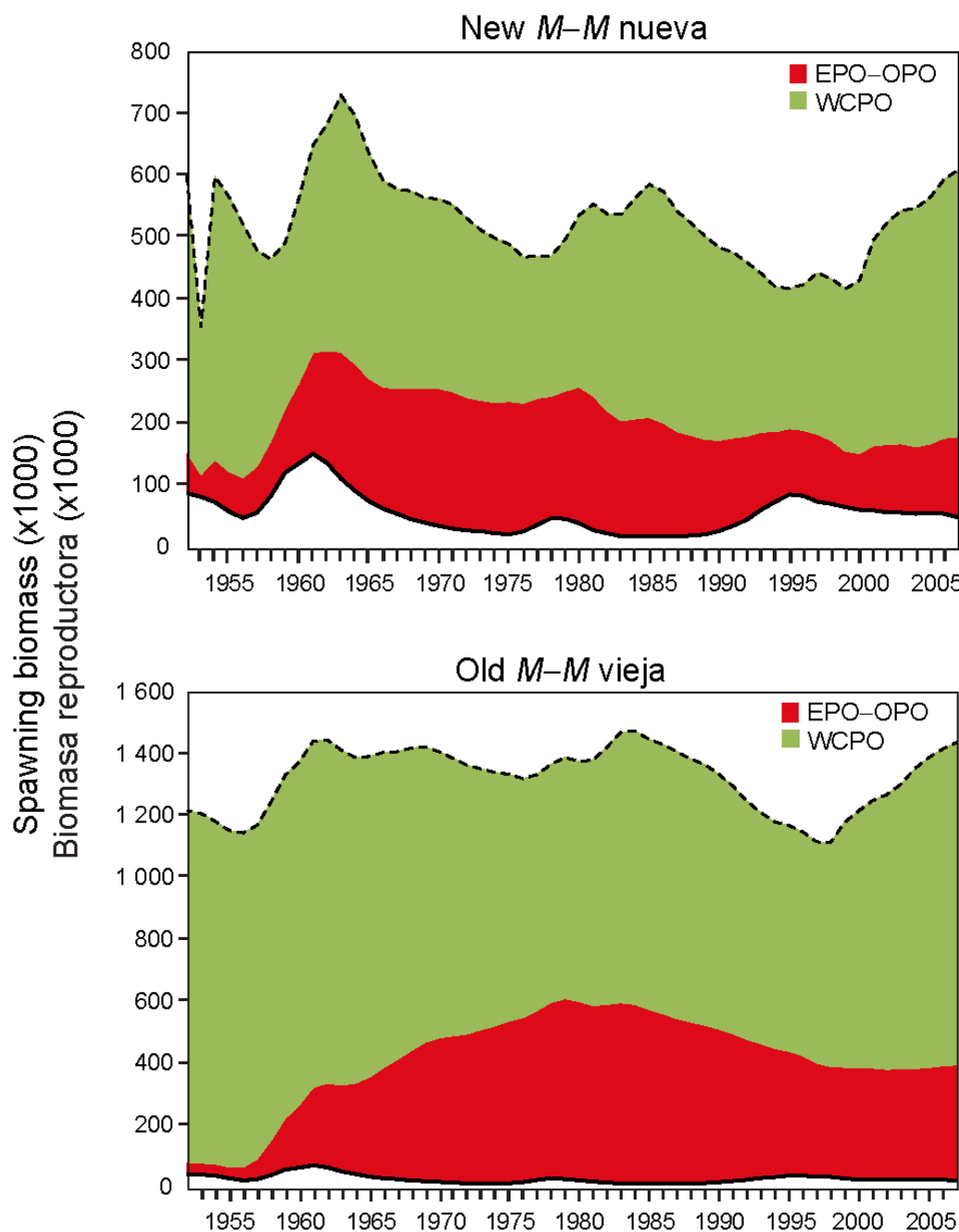


FIGURE E-2. Estimates of the impact on the Pacific bluefin tuna population of fisheries in the EPO and in the WPO for the new (upper panel) and old (lower panel) values of natural mortality (M). The dashed line represents the estimated hypothetical unfished spawning biomass, and the solid line the estimated actual spawning biomass. New $M = M$ assumed in the current assessment; old $M = M$ assumed in the previous assessment. The shaded areas indicate the impact attributed to each fishery.

FIGURA E-2. Estimaciones del impacto sobre la población de atún aleta azul del Pacífico de las pesquerías en el OPO y en el WPO correspondientes a los valores de mortalidad natural (M) nueva (panel superior) y vieja (panel inferior). La línea de trazos representa la biomasa reproductora no pescada hipotética estimada, y la línea sólida la biomasa reproductora real estimada. M nueva = M supuesta en la evaluación actual; M vieja = M supuesta en la evaluación previa. Las áreas sombreadas indican el impacto atribuido a cada pesquería.

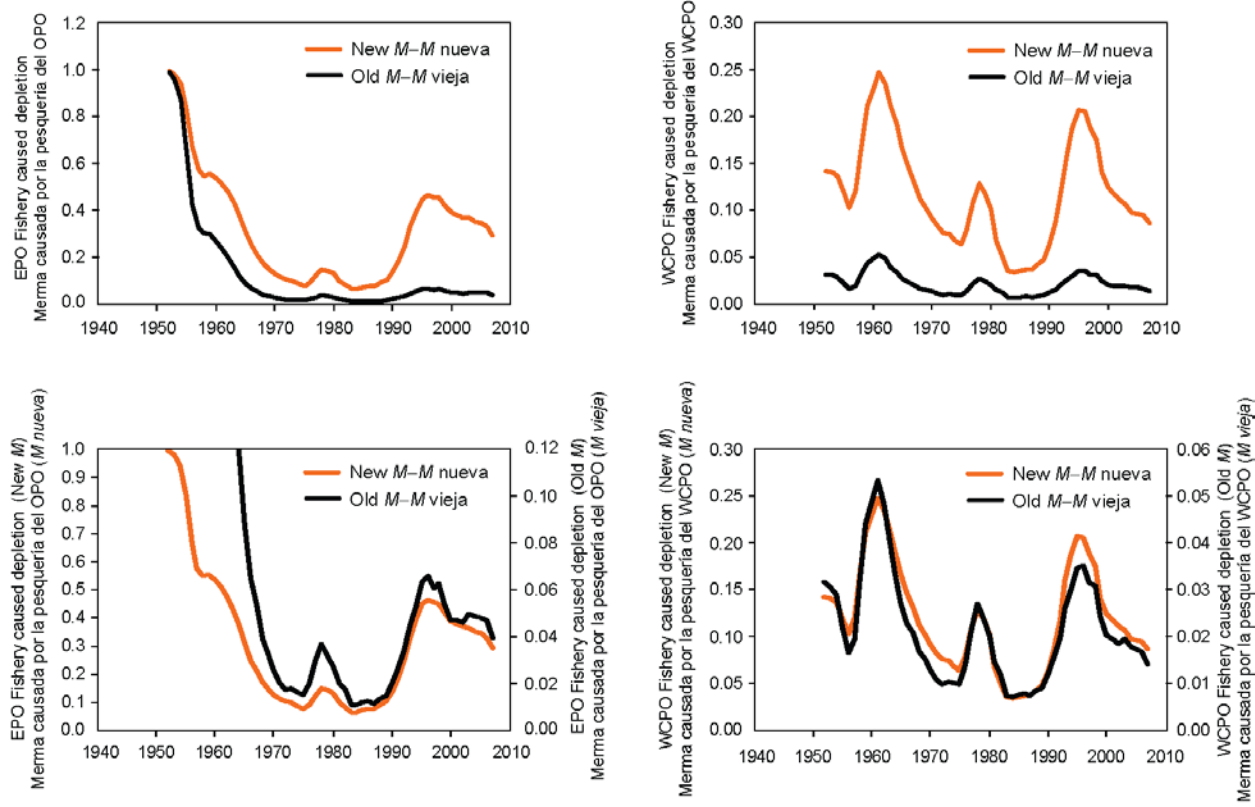


FIGURE E-3. Stock depletion (actual abundance as a fraction of the hypothetical abundance if the fishery were not operating) caused by the EPO fisheries (left) and WPO fisheries (right) for the new and old values of M , on the same scale (top) and on different scales (bottom). Higher values correspond to less depletion; *i.e.* actual abundance is closer to hypothetical abundance without the fishery operating.

FIGURA E-3. Merma de la población (abundancia real como fracción de la abundancia hipotética si no operara la pesquería) causada por las pesquerías del OPO (izquierda) y WPO (derecha) correspondientes a los valores nuevo y viejo de M , en la misma escala (arriba) y en escalas diferentes (abajo). Valores altos corresponden a menos merma; es decir, la abundancia real es más cercana a la abundancia hipotética sin la pesquería.

E. ATÚN ALETA AZUL DEL PACÍFICO

Los estudios de marcado han demostrado que ocurre intercambio de aleta azul del Pacífico entre el Océano Pacífico oriental y occidental. Se han capturado aletas azules larvales, poslarvales, y juveniles tempranos en el Pacífico occidental pero no en el OPO, por lo que es probable que exista una sola población de aleta azul en el Océano Pacífico (o posiblemente dos poblaciones en el Océano Pacífico, uno que desova cerca de Taiwán y Filipinas, y el otro que desova en el Mar de Japón).

La mayoría de las capturas de aleta azul en el OPO es realizada por buques cerqueros. Casi todas las capturas cerqueras han provenido de una zona frente a Baja California y California, a menos de unas 100 millas náuticas de la costa, entre 23°N y 35°N. Se estima que el 90% de la captura midió entre aproximadamente 60 y 100 cm de talla, representando principalmente peces de entre 1 y 3 años de edad. En 1999 fueron establecidas en México instalaciones de acuacultura de aleta azul, y algunos cerqueros mexicanos comenzaron a dirigir su esfuerzo hacia el aleta azul en ese año. En los últimos años, la mayoría de las capturas han sido son transportadas a corrales marinos, donde se mantienen los peces para engordarlos y luego venderlos en el mercado de *sashimi*. Se capturan cantidades menores de aleta azul con arte de pesca recreacional, redes de transmalle, y palangres. Se captura la especie en todos los meses del año, pero la mayor parte de la captura es lograda entre mayo y octubre.

El aleta azul es pescado con varias artes en el Pacífico occidental y central desde Taiwán hasta Hokkaido. Peces de 0 años de edad de entre unos 15 y 30 cm de talla son capturados con curricán durante julio-octubre al sur de Shikoku y al sur de la Prefectura de Shizuoka. Durante noviembre-abril, peces de edad 0 de entre unos 35 y 60 cm son capturados con curricán al sur y oeste de Kyushu. Peces de edad 1 y mayores son capturados con redes de cerco, principalmente durante mayo-septiembre, entre 30°-42°N y 140°-152°E. Se capturan también aletas azules de varios tamaños con trampas, redes de transmalle, y otras artes de pesca, especialmente en el Mar de Japón. Se capturan pequeñas cantidades de la especie con palangre cerca del litoral sudeste de Japón. La pesquería palangrera a pequeña escala de Taipei Chino, que se ha expandido desde 1996, captura atunes aleta azul de más de 180 cm desde fines de abril hasta junio, cuando se agregan para el desove en las aguas al este del norte de Filipinas y Taiwán.

Las pesquerías palangreras de alta mar están dirigidas principalmente hacia los atunes tropicales, la albacora, y los peces picudos, pero capturan pequeñas cantidades de aleta azul del Pacífico. Buques cañeros japoneses capturan asimismo pequeñas cantidades de aleta azul en alta mar.

Los estudios de marcado, con marcas convencionales y archivadoras, han arrojado una gran cantidad de información sobre el ciclo vital del aleta azul. Algunos peces permanecen aparentemente toda la vida en el Pacífico occidental, mientras que otros migran al OPO; estas migraciones comienzan principalmente durante el primer y segundo año de vida. Los migrantes de primer o segundo año están expuestos a varias pesquerías antes de iniciar su migración al OPO. Después de cruzar el océano, están expuestos a las pesquerías comercial y recreacional frente a California y Baja California. Posteriormente, los supervivientes regresan al Pacífico occidental.

Se encuentran aletas azules de más de 50 cm de talla con mayor frecuencia en aguas de entre 17° y 23°C de temperatura de superficie. En el Pacífico occidental se encuentran peces de entre 15 y 31 cm en aguas de entre 24° y 29°C de temperatura de superficie. La supervivencia de las larvas y juveniles tempranos de la especie es indudablemente afectada de manera importante por las condiciones ambientales. Las condiciones en el Pacífico occidental afectan probablemente cuáles porciones de los peces juveniles migran al OPO, y cuándo. Asimismo, las condiciones en el OPO probablemente afectan cuándo los peces juveniles regresan al Pacífico occidental.

Se ha calculado un índice de abundancia para el aleta azul predominantemente joven en el OPO, basado en una estandarización de la captura por día de buque usando un modelo lineal generalizado, y incluyendo las variables latitud, longitud, TSM, TSM^2 , mes, y número de identificación del buque. El índice es altamente variable, pero señala un pico a principios de los años 1960, niveles muy bajos durante un

período a principios de los años 1980, y cierto aumento desde entonces.

Una evaluación completa de la población fue realizada por el Grupo de Trabajo sobre el Aleta Azul del Pacífico del Comité Científico Internacional del Pacífico Norte (ISC) en 2008. Los resultados de la evaluación fueron altamente sensibles a los supuestos hechos con respecto a los parámetros biológicos, particularmente la mortalidad natural. Independientemente de estas incertidumbres, las tendencias siguientes fueron robustas a distintos supuestos sobre la mortalidad natural:

- El reclutamiento ha fluctuado sin tendencia durante el período de la evaluación (1952-2006), y no parece haber sido afectado negativamente por la explotación pesquera;
- Los niveles recientes (2000-2006) de biomasa reproductora (hembras maduras) están por encima del nivel mediano histórico;
- La captura de aleta azul (en peso y número) es dominada por los reclutas (0 años) y juveniles (1-3 años). La mortalidad por pesca (F) de reclutas ha aumentado paulatinamente y ha permanecido por encima de los niveles históricos medianos de explotación desde hace más de una década (desde principios de los años 1990). La mortalidad por pesca de los peces de 1-2 años de edad también ha aumentado desde principios de los años 1990, pero estos niveles han fluctuado alrededor de los niveles históricos medianos.

El Grupo de Trabajo sobre el Aleta Azul del Pacífico del ISC ha realizado reuniones técnicas en 2009 y 2010, dedicadas principalmente a actualizaciones de datos y mejoras del modelado. Está programada para mayo-junio de 2012 una reunión para una evaluación completa de la población.

Las capturas totales de aleta azul han fluctuado considerablemente durante los últimos 50 años (Figura E-1). Los años consecutivos de capturas superiores al promedio (mediados de los años 1950 a mediados de los 1960) y capturas inferiores al promedio (principios de los años 1980 a principios de los 1990) podrían deberse a años consecutivos de reclutamientos superiores e inferiores al promedio.

Las capturas totales de aleta azul han fluctuado considerablemente durante los últimos 50 años (Figura E-1). La presencia de años consecutivos de capturas superiores al promedio (mediados de la década de 1950 a mediados de la década de 1960) e inferiores al promedio (principios de la década de 1980 a principios de la década de 1990) podría deberse a años consecutivos de reclutamiento superior e inferior al promedio.

Puntos de referencia

El desarrollo de puntos de referencia para la ordenación del aleta azul es problemático, debido a la sensibilidad a los supuestos del modelo de evaluación de la población. En particular, los niveles absolutos de biomasa y de mortalidad por pesca, y los puntos de referencia basados en el rendimiento máximo sostenible (RMS), son hipersensibles al valor de mortalidad natural. Las tendencias relativas de los niveles de biomasa y de la mortalidad por pesca son más robustas a los supuestos del modelo. Por lo tanto, puntos de referencia para la ordenación basados en biomasa o mortalidad por pesca relativa deberían ser considerados para la ordenación del aleta azul. Es poco probable que estas medidas de ordenación puedan ser diseñadas para optimizar el rendimiento, y la ordenación debería ser ideada para producir rendimientos razonables, y al mismo tiempo asegurar la sustentabilidad hasta que se reduzca la incertidumbre en la evaluación.

Se desarrolló un « indicador » de ordenación que se basa en la integración de múltiples años de mortalidad por pesca y que toma en consideración la estructura por edades de la misma. El indicador se basa en estimaciones del impacto de la pesca sobre la población de peces. Se usa el impacto de la pesca a lo largo del tiempo como indicador para desarrollar puntos de referencia basados en desempeño histórico. El supuesto es que, si el impacto de la pesca es menor que aquél observado en el pasado, es probable que la población sea sostenible con los niveles actuales de mortalidad por pesca.

Se estima el indicador de impacto de pesca para el aleta azul a partir de la biomasa reproductora. Se agrupan las pesquerías en aquéllas en el Océano Pacífico oriental (OPO) y aquéllas en el Océano Pacífico occidental, porque fijar directrices de ordenación para el OPO es la meta de este análisis. Se usa la evaluación de caso base desarrollada por el ISC para los atunes y especies afines en el Océano Pacífico norte como modelo de evaluación de la población. Se evalúan la sensibilidad del impacto de la pesca y su uso como indicador de ordenación a los distintos supuestos sobre la mortalidad natural.

Se calcula el índice del impacto propuesto para la ordenación como la estimación de la biomasa reproductora real dividida por la biomasa reproductora hipotética en ausencia de pesca. Esto supone que se mide el impacto bajo el supuesto que no se controla el impacto de las otras pesquerías.

El impacto estimado de la pesca sobre la población de aleta azul del Pacífico durante todo el período modelado (1952-2006) es sustancial (Figura E-2). El impacto es altamente sensible al valor de mortalidad natural supuesto. Las pesquerías del Pacífico occidental han tenido un impacto mayor que aquellas del OPO, y su tasa de aumento en los últimos años es mayor. La tendencia temporal del impacto es robusta al nivel de mortalidad natural supuesto (Figura E-3).

La tendencia temporal del impacto estimado de la pesca es robusta al supuesto acerca de la mortalidad natural. Por lo tanto, podría ser útil usar el impacto relativo de la pesca como indicador para el asesoramiento de ordenación basado en desempeño histórico. El impacto de las pesquerías del OPO fue sustancialmente menor durante 1994-2007 que durante 1970-1993, cuando las poblaciones fueron reducidas a un nivel mucho más bajo, pero el impacto ha aumentado recientemente (Figura E-3). La estimación de la condición de la población es incierta, y es sensible a los supuestos del modelo. Hasta que se reduzca la incertidumbre en la evaluación, se deberían fijar los niveles de captura sobre la base de aquellos años en los que el impacto fue bajo. Esta medida de ordenación debería asegurar que la pesquería sea sostenible, siempre que se tomen medidas equivalentes en el Océano Pacífico occidental.

F. ALBACORE TUNA

There are two stocks of albacore in the Pacific Ocean, one occurring in the northern hemisphere and the other in the southern hemisphere. Albacore are caught by longline gear in most of the North and South Pacific, but not often between about 10°N and 5°S, by trolling gear in the eastern and central North and South Pacific, and by pole-and-line gear in the western North Pacific. In the North Pacific about 60% of the fish are taken in pole-and-line and troll fisheries that catch smaller, younger albacore, whereas about 90% of the albacore caught in the South Pacific are taken by longline. The total annual catches of North Pacific albacore peaked in 1976 at about 125,000 t, declined to about 38,000 t in 1991, and then increased to about 122,000 t in 1999 (Figure F-1a). During 2005-2010 the average annual catch was about 75,000 t. The total annual catches of South Pacific albacore ranged from about 25,000 to 50,000 t during the 1980s and 1990s, but increased after that, ranging from about 55,000 to 82,000 t during 2001-2010 (Figure F-1b).

Juvenile and adult albacore are caught mostly in the Kuroshio Current, the North Pacific Transition Zone, and the California Current in the North Pacific and in the Subtropical Convergence Zone in the South Pacific, but spawning occurs in tropical and subtropical waters, centering around 20°N and 20°S latitudes. North Pacific albacore are believed to spawn between March and July in the western and central Pacific.

The movements of North Pacific albacore are strongly influenced by oceanic conditions, and migrating albacore tend to concentrate along oceanic fronts in the North Pacific Transition Zone. Most of the catches are made in water temperatures between about 15° and 19.5°C. Details of the migration remain unclear, but juvenile fish (2- to 5-year-olds) are believed to move into the eastern Pacific Ocean (EPO) in the spring and early summer, and return to the western and central Pacific, perhaps annually, in the late fall and winter, where they tend to remain as they mature. It has been hypothesized that there are two subgroups of North Pacific albacore, separated at about 40°N in the EPO, with the northern subgroup more likely to migrate to the western and central Pacific Ocean.

Less is known about the movements of albacore in the South Pacific Ocean. The juveniles move southward from the tropics when they are about 35 cm long, and then eastward along the Subtropical Convergence Zone to about 130°W. When the fish approach maturity they return to tropical waters, where they spawn. Recoveries of tagged fish released in areas east of 155°W were usually made at locations to the east and north of the release site, whereas those of fish released west of 155°W were usually made at locations to the west and north of the release site.

The most recent stock assessments for the South and North Pacific stocks of albacore were presented in 2008 and 2010, respectively.

The assessment of South Pacific albacore, which was carried out with MULTIFAN-CL by scientists of the Secretariat of the Pacific Community, incorporated catch and effort data, length-frequency data, tagging data, and information on biological parameters. Although uncertainties were found to exist, it appeared reasonably certain that the stock was above the level corresponding to the average maximum sustainable yield (MSY), that the effort during 2004-2006 was less than that corresponding to the MSY, and that the spawning biomass was greater than that corresponding to the MSY. There currently appears to be no need to restrict the fisheries for albacore in the South Pacific Ocean, but additional research to attempt to resolve the uncertainties in the data are recommended.

An assessment of North Pacific albacore using fisheries data through 2009 was conducted at a workshop of the Albacore Working Group of the International Scientific Committee for Tuna and Tuna-like Species in the North Pacific Ocean (ISC), held in June 2011. The assessment methodology has been changed from Virtual Population Analysis (VPA) to an integrated statistical age-structured stock assessment model (Stock Synthesis 3). The conclusions reached at that workshop were presented to the eleventh plenary meeting of the ISC, held in August 2011. Among these were the following:

- The base-case model estimates that the spawning stock biomass (SSB) has likely fluctuated between 300,000 and 500,000 t between 1966 and 2009, and that recruitment has averaged 48 million fish annually during this period (Figure F-2).

- The pattern of F -at-age shows fishing mortality increasing to its highest level in 3-year-old fish, and then declining to a much lower and stable level in mature fish. Current F (geometric mean of 2006 to 2008, $F_{2006-2008}$) is lower than $F_{2002-2004}$ (current F in the 2006 assessment).
- Stochastic future projections of the stock were conducted to estimate the probability that future SSB will fall below the average of the ten historically lowest estimated SSBs (SSB-ATHL) in at least one year of a 25-year (2010-2035) projection period. Future SSB is expected to fluctuate around the historical median SSB (~405,000 t), assuming F remains constant at $F_{2006-2008}$ and average historical recruitment levels persist.
- Sensitivity and retrospective analyses assessed the impact of alternative assumptions on the assessment results. These analyses revealed scaling differences in estimated biomass (total and SSB) and, to a lesser extent, recruitment, but few differences in overall trends. Relative F -at-age patterns were not affected by different assumptions, except when the growth curve parameters from the 2006 assessment were used, and $F_{2006-2008}$ was consistently lower than $F_{2002-2004}$.
- The Working Group concluded that the north Pacific albacore stock is healthy at current levels of recruitment and fishing mortality. Since current $F_{2006-2008}$ is about 71% of $F_{SSB-ATHL}$ and the stock is expected to fluctuate around the long-term median SSB (~405,000 t) in the foreseeable future given average historical recruitment levels and constant fishing mortality at $F_{2006-2008}$, the Working Group concluded that overfishing is not occurring and that the stock is probably not overfished.

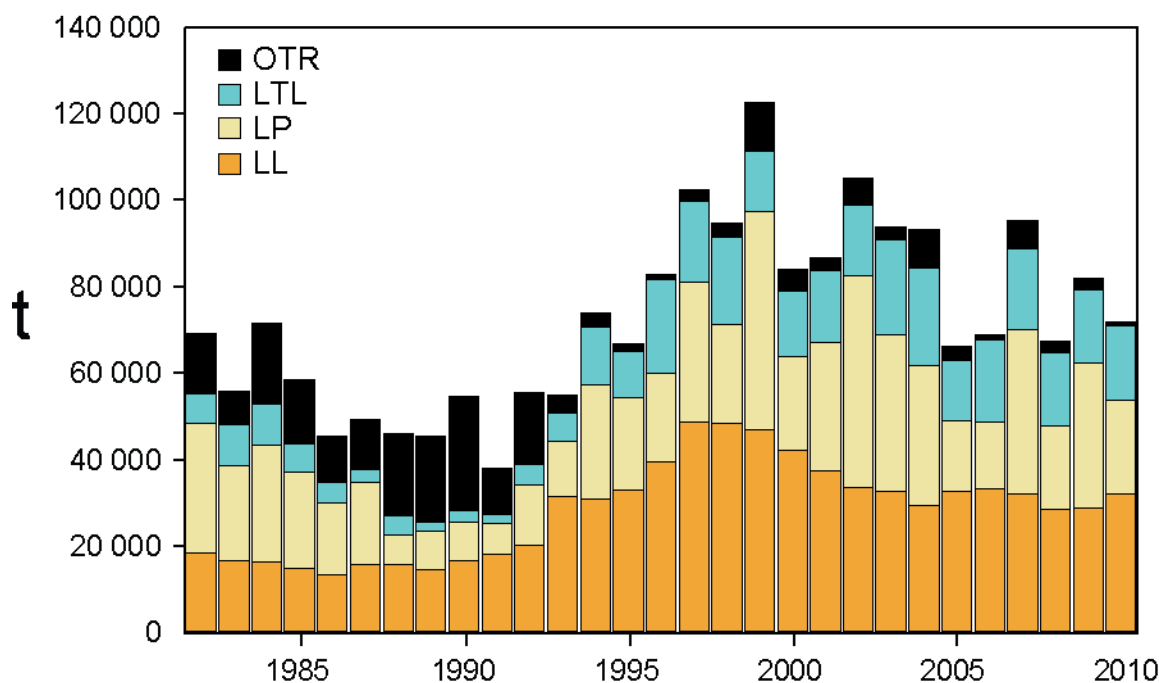
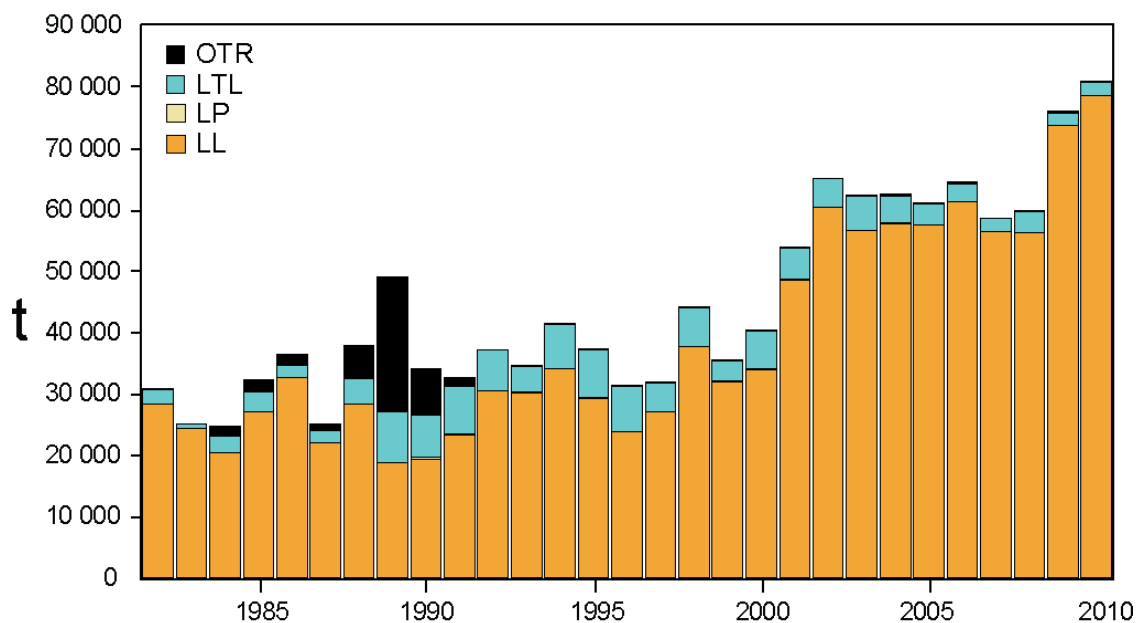
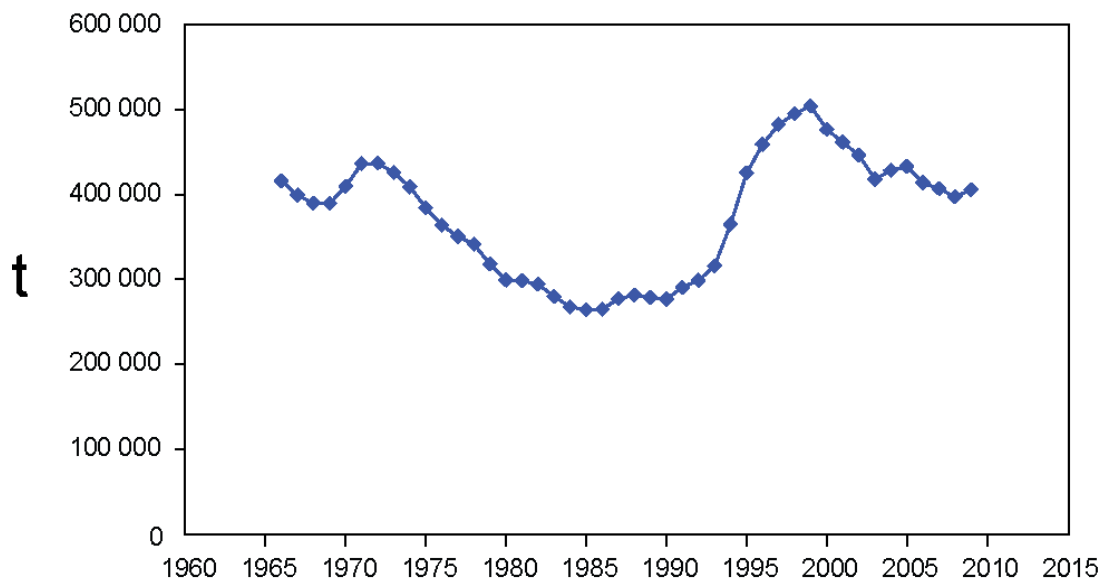


FIGURE F-1a. Retained catches of North Pacific albacore.

FIGURA F-1a. Capturas retenidas de albacora del Pacífico norte.

**FIGURE F-1b.** Retained catches of South Pacific albacore.**FIGURA F-1b.** Capturas retenidas de albacora del Pacífico sur.**FIGURE F-2.** Spawning stock biomass of North Pacific albacore tuna, from the North Pacific Albacore Workshop analysis of 2011.**FIGURA F-2.** Biomasa de la población reproductora del atún albacora del Pacífico norte, de los análisis de la Reunión Técnica sobre el albacora del Pacífico norte de 2011.

F. ATÚN ALBACORA

Existen dos poblaciones de atún albacora en el Océano Pacífico, una en el hemisferio norte y la otra en el hemisferio sur. La especie es capturada con palangre en la mayor parte del Pacífico Norte y Sur, pero rara vez entre aproximadamente 10°N y 5°S, con curricán en el Pacífico Norte y Sur oriental y central, y con caña en el Pacífico Norte occidental. En el Pacífico Norte un 60% del pescado es capturado con caña y curricán, que capturan albacora más joven de menor tamaño, mientras que en el Pacífico Sur un 90% de la captura de albacora es tomada con palangre. Las capturas totales anuales de albacora del Pacífico Norte alcanzaron su nivel máximo de más de 125.000 t anuales en 1976, disminuyeron a unas 38.000 t en 1991, y luego aumentaron a unas 122.000 t en 1999 (Figura F-1a). Durante 2005-2010 la captura anual media fue aproximadamente 75.000 t. Las capturas anuales totales de albacora del Pacífico Sur oscilaron entre unas 25.000 y 50.000 t durante los años 1980 y 1990, pero aumentaron posteriormente, oscilando entre unas 55.000 y 82.000 t durante 2001-2010 (Figura F-1b).

El atún albacora juvenil y adulto es capturado principalmente en la Corriente de Kuroshio, la Zona de Transición del Pacífico Norte, y la Corriente de California en el Pacífico norte y en la Zona de Convergencia Subtropical en el Pacífico sur, pero el desove ocurre en aguas tropicales y subtropicales, y se centra en los paralelos de 20°N y 20°S. Se cree que el albacora del Pacífico Norte desova entre marzo y julio en el Pacífico occidental y central.

Los desplazamientos del albacora del Pacífico Norte son fuertemente afectados por las condiciones oceánicas, y los migrantes suelen estar concentrados en frentes oceánicos en la Zona de Transición del Pacífico Norte. La mayoría de las capturas tienen lugar en aguas de entre aproximadamente 15° y 19.5°C. No quedan claros los detalles de la migración, pero se cree que peces juveniles (de entre 2 y 5 años de edad) se trasladan al Océano Pacífico oriental (OPO) en la primavera y a principios del verano, y vuelven al Pacífico occidental y central, tal vez anualmente, a fines de otoño y en el invierno, donde suelen permanecer cuando maduran. Se ha propuesto la hipótesis de dos subgrupos de albacora del Pacífico Norte, separados en aproximadamente 40°N en el Pacífico oriental, y que el subgrupo del norte tiene la mayor probabilidad de migrar al Pacífico occidental y central.

Se sabe menos acerca de los desplazamientos de albacora en el Pacífico sur. Los juveniles se desplazan de los trópicos hacia el sur cuando miden unos 35 cm, y luego hacia el este por la Zona de Convergencia Subtropical hasta aproximadamente 130°O. Poco antes de alcanzar la madurez vuelven a aguas tropicales, donde desovan. Marcas fijadas en peces liberados al este de 155°O fueron recuperadas generalmente en lugares al este y norte del punto de liberación, mientras que aquéllas fijadas al oeste de 155°O fueron recuperadas generalmente en lugares al oeste y norte del punto de liberación.

En 2008 y 2010 fueron presentadas las evaluaciones más recientes por edad de las poblaciones de albacora del Pacífico Sur y Norte, respectivamente.

La evaluación del albacora del Pacífico Sur, realizada con MULTIFAN-CL por científicos de la Secretaría de la Comunidad del Pacífico, incorporó datos de captura y esfuerzo, datos de frecuencia de talla, datos de marcado, e información sobre parámetros biológicos. Aunque se descubrió que existen incertidumbres, pareció razonablemente seguro que la población está por encima del nivel correspondiente al rendimiento máximo sostenible promedio (RMS), que el esfuerzo durante 2004-2006 fue menor que aquél correspondiente al RMS, y que la biomasa reproductora fue mayor que aquélla correspondiente al RMS. Las capturas seguirían aumentando con aumentos del esfuerzo, aunque no se sabe bien hasta cuál punto el rendimiento sostenible podría aumentar a medida que disminuye la biomasa total. No parece haber en la actualidad ninguna necesidad de limitar la pesca de albacora en el Pacífico Sur, pero se recomiendan investigaciones adicionales para procurar resolver las incertidumbres en los datos.

Se realizó una evaluación del albacora del Pacífico Norte, usando datos de la pesca de hasta 2009, en una reunión del Grupo de Trabajo sobre Albatros del Comité Científico Internacional sobre los Atunes y Especies Afines en el Océano Pacífico Norte (ISC), celebrada en junio de 2011. Se ha cambiado la

metodología de la evaluación de un análisis de población virtual (VPA) a un modelo de evaluación de poblaciones estadístico integrado con estructura por edad (*Stock Synthesis*, versión 3). Las conclusiones alcanzadas en dicha reunión fueron presentadas a la undécima reunión plenaria del ISC en agosto de 2011. Entre las mismas figuraban las siguientes:

- El modelo de caso base estima que es probable que la biomasa de la población reproductora (SSB) haya fluctuado entre 300.000 y 500.000 t entre 1966 y 2009, y que el reclutamiento medio anual fue 48 millones de peces durante este periodo (Figura F-2).
- El patrón de F indica que la mortalidad por pesca aumenta a su nivel máximo en peces de tres años de edad, y que luego disminuye a un nivel mucho más bajo y estable en los peces maduros. La F actual (promedio geométrico de 2006 a 2008, $F_{2006-2008}$) is lower than $F_{2002-2004}$ (F actual en la evaluación de 2006).
- Se realizaron proyecciones estocásticas al futuro para estimar la probabilidad de que la SSB disminuya por debajo del promedio de las diez SSB históricamente más bajas (SSB-ATHL) en al menos un año de los 25 años del periodo de proyección (2010-2035). Se espera que las SSB futuras fluctúen alrededor de la SSB mediana histórica (~405,000 t), suponiendo que F siga constante en $F_{2006-2008}$ y persistan los niveles de reclutamiento medios históricos.
- Análisis de sensibilidad y retrospectivos evaluaron el impacto de supuestos alternativos sobre los resultados de la evaluación. Éstos análisis descubrieron diferencias de escala en la biomasa estimada (total y SSB) y, en grado menor, el reclutamiento, pero pocas diferencias en las tendencias generales, los patrones relativos de F por edad no fueron afectados por diferentes supuestos, excepto cuando se usaron los parámetros de la curva de crecimiento de la evaluación de 2006, y $F_{2006-2008}$ fue consistentemente más baja que $F_{2002-2004}$.
- El grupo de trabajo concluyó que la población del albacora del Pacífico norte se encuentra sano en los niveles actuales de reclutamiento y mortalidad por pesca. Ya que $F_{2006-2008}$ es aproximadamente 71% de $F_{SSB-ATHL}$, y se espera que la población fluctúe alrededor de la SSB mediana a largo plazo (~405,000 t) en un futuro previsible con los niveles de reclutamiento históricos medios y mortalidad por pesca constante en $F_{2006-2008}$, el grupo de trabajo concluyó que no está ocurriendo sobrepesca y que probablemente la población no esté sobreexpuesta.

G. SWORDFISH

Swordfish (*Xiphias gladius*) occur throughout the Pacific Ocean between about 50°N and 50°S. They are caught mostly by the longline fisheries of Far East and Western Hemisphere nations. Lesser amounts are taken by gillnet and harpoon fisheries. They are seldom caught by recreational fishermen.

Swordfish grow in length very rapidly, with both males and the faster-growing females reaching lower-jaw-fork lengths of more than a meter during their first year. Swordfish begin reaching maturity at about two years of age, when they are about 150 to 170 cm in length, and by age four all are mature. They probably spawn more than once per season. For fish greater than 170 cm in length, the proportion of females increases with increasing length.

Swordfish tend to inhabit waters further below the surface during the day than at night, and they tend to inhabit frontal zones. Several of these occur in the eastern Pacific Ocean (EPO), including areas off California and Baja California, off Ecuador, Peru, and Chile, and in the equatorial Pacific. Swordfish tolerate temperatures of about 5° to 27°C, but their optimum range is about 18° to 22°C, and larvae have been found only at temperatures exceeding 24°C.

Significant effort has been devoted to studying the stock structure of swordfish in the Pacific, which is now moderately well known. A number of specific regions of spawning are known, and analyses of fisheries and genetic data indicate that there is only limited exchange of swordfish between geographical areas, including between the eastern and western, and the northern and southern, Pacific Ocean.

The best available scientific information from genetic and fishery data indicate that the swordfish of the northeastern Pacific Ocean (NEPO) and the southeastern Pacific Ocean (SEPO: south of about 5°S) constitute two distinct stocks. Also, there may be occasional movement of a northwestern Pacific stock of swordfish into the EPO at various times. Though assessments of eastern Pacific stocks did not include parameters for movements among these or other stocks, there may be limited exchange of fish among them.

The results of an assessment of a North Pacific swordfish stock in the area north of 10°N and west of 140°W indicate that the biomass level has been stable and well above 50% of the unexploited levels of stock biomass, indicating that these swordfish are not overexploited at current levels of fishing effort. A more recent analysis for the Pacific Ocean north of the equator, using a sex-specific age-structured assessment method, indicated that, at the current level of fishing effort, there is negligible risk of the spawning biomass decreasing to less than 40% of its unfished level.

The standardized catches per unit of effort of the longline fisheries in the northern region of the EPO and trends in relative abundance obtained from them do not indicate declining abundances. Attempts to fit production models to the data failed to produce estimates of management parameters, such as maximum sustainable yield (MSY), under reasonable assumptions of natural mortality rates, due to lack of contrast in the trends. This lack of contrast suggests that the fisheries in this region have not been of magnitudes sufficient to cause significant responses in the populations. Based on these considerations, and the long period of relatively stable catches (Figure G-1), it appears that swordfish are not overfished in the northern EPO.

An assessment of the stock of swordfish in the southwestern EPO was conducted with Stock Synthesis, using data that were updated as of 22 April 2011. Key results from that assessment were (1) that the swordfish stock in the southeast Pacific Ocean is not experiencing overfishing and is not overfished; (2) that the spawning biomass ratio is about 1.45, indicating that the spawning biomass is about 50 percent above the carrying capacity, and substantially above the level which is expected to produce catch at the MSY level; (3) that the recent catch levels (Figure G-2) are significantly below the estimated MSY (~25,000 t); and (4) that there has been a recent series of high recruitments to the swordfish stock. There is no indication of a significant impact of fishing on this stock. The results of the assessment did suggest an expansion of the fishery onto components of the stock that were previously not exploited, or only lightly.

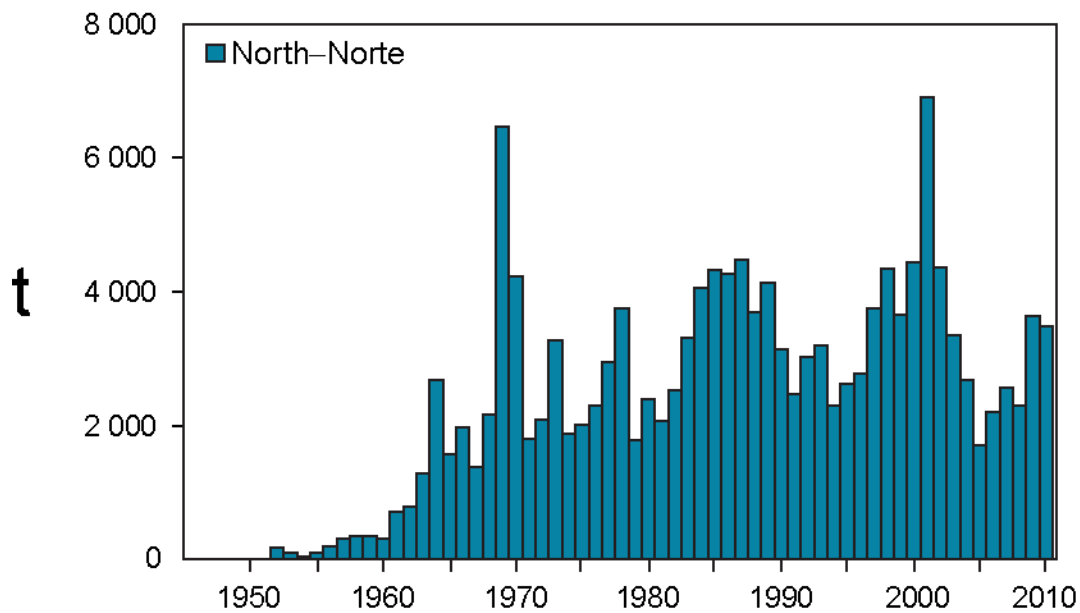


FIGURE G-1. Retained catches of swordfish in the northeastern Pacific Ocean.

FIGURA G-1. Capturas retenidas de pez espada en el Océano Pacífico noreste.

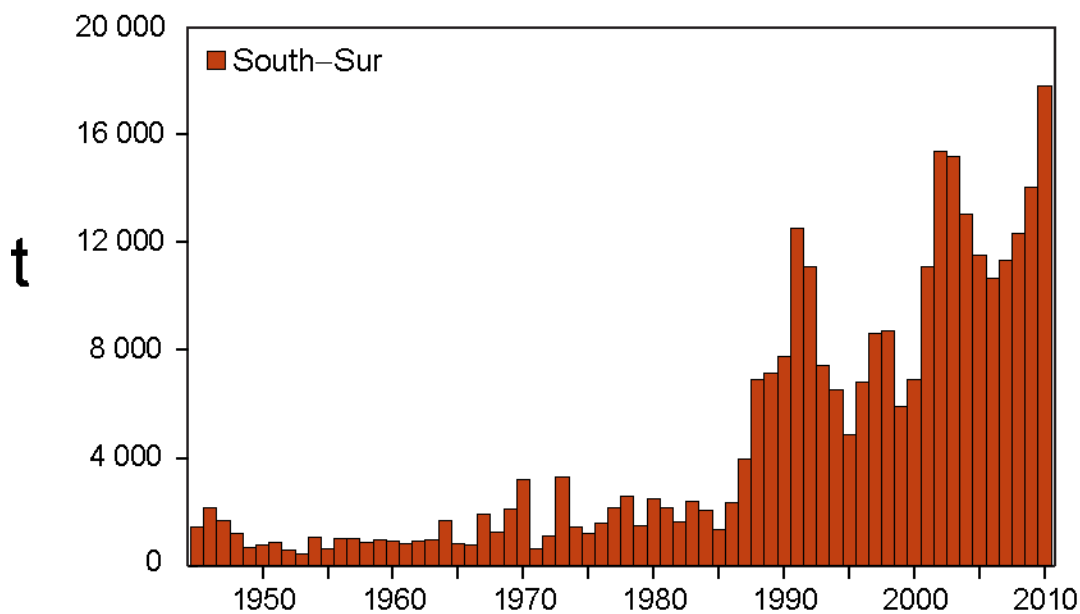


FIGURE G-2. Retained catches of swordfish in the southeastern Pacific Ocean

FIGURA G-2. Capturas retenidas de pez espada en el Océano Pacífico sudeste.

G. PEZ ESPADA

El pez espada (*Xiphias gladius*) habita todo el Océano Pacífico entre 50°N y 50°S, aproximadamente. Es capturado principalmente por las pesquerías palangreras de países de Lejano Oriente y del hemisferio occidental. Las pesquerías de red de transmalle y arpón capturan cantidades menores. Es rara vez capturado en la pesca recreacional.

El pez espada crece en talla muy rápidamente, y tanto los machos como las hembras, que crecen más rápidamente, alcanzan tallas de mandíbula inferior a furca caudal de más de un metro durante su primer año. Comienza a alcanzar la madurez alrededor de los dos años de edad, cuando mide unos 150 a 170 cm de talla, y se considera que a los cuatro años de edad todos son maduros. Es probable que desove más de una vez por temporada. En el caso de peces de más de 170 cm, la proporción de hembras aumenta con el aumento en la talla.

El pez espada suele permanecer a mayor profundidad de día que de noche, y vivir en zonas frontales, de las que hay varias en el Océano Pacífico oriental (OPO), entre ellas zonas frente a California y Baja California, frente a Ecuador, Perú, y Chile, y en el Pacífico ecuatorial. Tolera temperaturas de entre unos 5° y 27°C, pero su gama óptima es de 18° a 22°C, y se han encontrado larvas únicamente a temperaturas de más de 24°C.

Se ha dedicado un esfuerzo importante al estudio de la estructura de la población del pez espada en el Pacífico, y ahora es moderadamente bien conocida. Se sabe de varias regiones específicas de desove, y los análisis de los datos de pesca y genéticos indican que ocurre un intercambio de peces espada tan sólo limitado entre zonas geográficas, inclusive entre el Océano Pacífico oriental y occidental, y norte y sur.

La mejor información científica disponible, basada en datos genéticos y de la pesca, indica que el pez espada del Océano Pacífico noreste y el Océano Pacífico sudeste (al sur de 5°S) y constituyen dos poblaciones separadas. Además, es posible que una población del Pacífico noroeste se desplace ocasionalmente al OPO en varias ocasiones. Aunque las evaluaciones de las poblaciones del Pacífico oriental no incluyeron parámetros de desplazamientos entre éstas u otras poblaciones, podría ocurrir un intercambio limitado de peces entre las mismas.

Los resultados de una evaluación de una población de pez espada del Pacífico Norte en el área al norte de 10°N y al oeste de 140°O indican que el nivel de biomasa ha sido estable y ha estado por encima del 50% del nivel de la biomasa no explotada, lo cual indica que con los niveles actuales de esfuerzo de pesca, la explotación de estos peces espada no es excesiva. Un análisis más reciente para el Océano Pacífico al norte de la línea ecuatorial, usando un método de evaluación por sexo y edad, indicó que, al nivel actual de esfuerzo de pesca, existe un riesgo insignificante de que la biomasa reproductora disminuya a menos del 40% de su nivel sin pesca.

Las tasas de captura por unidad de esfuerzo estandarizadas de las pesquerías de palangre en la región norte del OPO, y las tendencias en la abundancia relativa derivadas de las mismas, no señalan que la abundancia esté disminuyendo. Intentos de ajuste de modelos de producción a los datos no produjeron estimaciones de parámetros de ordenación, tales como el rendimiento máximo sostenible (RMS), con supuestos razonables de las tasas de mortalidad natural, debido a la falta de contraste en las tendencias. Esta falta de contraste sugiere que las pesquerías en esta región no son de magnitud suficiente como para causar reacciones significativas en las poblaciones. A partir de estas consideraciones, y del período de capturas relativamente estables (Figura G-1), parece que el pez espada no se encuentra sobre pescado en el OPO norte.

Se realizó una evaluación de la población de pez espada en el OPO sudoeste con Stock Synthesis, usando datos actualizados al 22 de abril de 2011. Los resultados clave de esa evaluación son que (1) la población del pez espada en el Océano Pacífico sudeste no está padeciendo sobre pesca y no se encuentra sobre pescada; (2) el cociente de biomasa reproductora es aproximadamente 1,45, lo cual indica que la biomasa reproductora está aproximadamente un 50% por encima de la capacidad de carga, y sustancialmente por encima del nivel que se espera produciría una captura al nivel de RMS; (3) los

niveles recientes de captura (Figura G-2) son significativamente inferiores al RMS estimado (~25,000 t); y (4) ha ocurrido una serie reciente de reclutamientos altos a la población. No existe ninguna indicación de un impacto significativo de la pesca sobre esta población. Los resultados de la evaluación no sugieren una expansión de la pesquería a componentes de la población que previamente no se explotaban, o se explotaban tan sólo ligeramente.

H. BLUE MARLIN

The best information currently available indicates that blue marlin constitutes a single world-wide species, and that there is a single stock of blue marlin in the Pacific Ocean. For this reason, statistics on catches (Figure H-1) are compiled, and analyses of stock status are made, for the entire Pacific Ocean.

Blue marlin are taken mostly in longline fisheries for tunas and billfishes between about 30°N and 30°S. Lesser amounts are taken by recreational fisheries and by various other commercial fisheries.

Small numbers of blue marlin have been tagged with conventional dart tags, mostly by recreational fishermen. A few of these fish have been recaptured long distances from the locations of release. Blue marlin have been tagged with electronic popoff satellite tags (PSATs) which collected data over periods of about 30-180 days, mostly in the Gulf of Mexico and the Atlantic Ocean, in studies of post-release survival and movement. More recently such studies have been undertaken in the Pacific Ocean.

Blue marlin usually inhabit regions where the sea-surface temperatures (SSTs) are greater than 24°C, and they spend about 90% of their time at depths at which the temperatures are within 1° to 2° of the SSTs.

The most recent assessment of the status and trends of the species was conducted in 1999, and included data through 1997. A second analysis, using the same data but an alternative stock assessment model, was made in 2003. The first assessment concluded that the levels of biomass and fishing effort were near those corresponding to the maximum sustainable yield (MSY). These results indicate that there was considerable uncertainty regarding the levels of fishing effort that would produce the MSY. It indicated that blue marlin in the Pacific Ocean were close to fully exploited, *i.e.* that the population was being harvested at levels producing catches near the top of the yield curve.

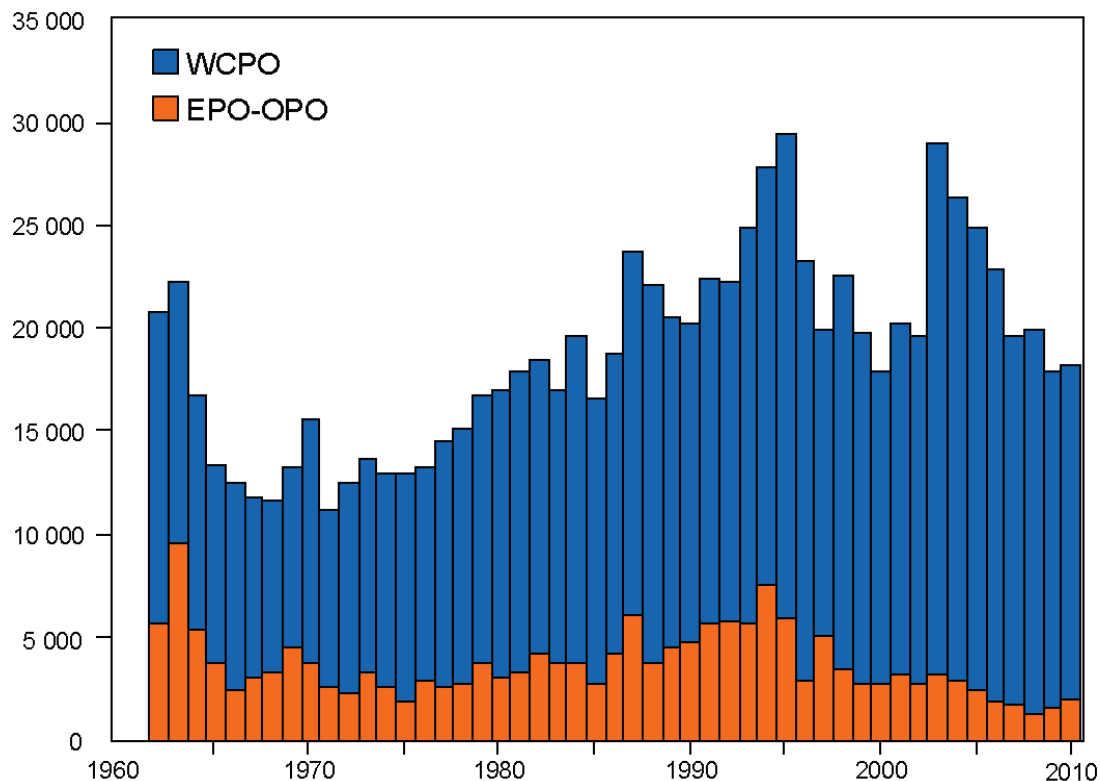


FIGURE H-1. Retained catches of blue marlin in Pacific Ocean by region.

FIGURA H-1. Capturas retenidas de marlín azul en el Océano Pacífico, por región .

H. MARLÍN AZUL

La mejor información ahora disponible indica que el marlín azul constituye una sola especie a nivel mundial, y que existe una sola población de la especie en el Océano Pacífico. Por este motivo, se compilan estadísticas de capturas (Figura H-1), y se realizan análisis de la condición de la población, para el Océano Pacífico entero.

El marlín azul es capturado principalmente por las pesquerías de palangre de atunes y peces picudos entre aproximadamente 30°N y 30°S. Las pesquerías recreacionales y varias otras pesquerías comerciales capturan cantidades menores.

Pequeñas cantidades de marlines azules han sido marcadas con marcas convencionales, principalmente por pescadores recreacionales. Algunos de estos peces han sido recapturados a grandes distancias del punto de liberación. Marlines azules han sido marcados con marcas electrónicas satelitales desprendibles que toman datos durante períodos de unos 30 a 180 días, principalmente en el Golfo de México y el Océano Atlántico, en estudios de la supervivencia y desplazamientos después de la liberación. Más recientemente se han emprendido estudios de este tipo en el Océano Pacífico.

El marlín azul vive generalmente en regiones con temperaturas superficiales del mar (TSM) de más de 24°C, y pasa un 90% del tiempo a profundidades donde la temperatura es de 1° a 2° menos que la TSM.

La evaluación más reciente de la condición y las tendencias fue realizada en 1999 e incluyó datos hasta 1997. En 2003 se realizó un segundo análisis, usando los mismos datos pero un modelo de evaluación alternativo. Esta evaluación concluyó que los niveles de biomasa y esfuerzo de pesca estaban cercanos a aquellos correspondientes al rendimiento máximo sostenible (RMS). Estos resultados indican que existe una incertidumbre considerable con respecto a los niveles de esfuerzo de pesca que producirían el RMS. Se estimó también que el marlín azul en el Océano Pacífico está casi plenamente explotado, es decir, se está explotando la población en niveles que producen capturas cerca de la cima de la curva de rendimiento.

I. STRIPED MARLIN

Striped marlin [*Kajikia audax* (Philippi, 1887)] occur throughout the Pacific Ocean between about 45°N and 45°S. The assessment on which this report is based is for the stock of striped marlin in the eastern Pacific Ocean (EPO) region lying north of 10°S; and east of about 145°W north of the equator, and east of about 165°W south of the equator. Although not included in the assessment model, there may be limited exchange of fish between this stock and stocks in adjacent regions.

Significant effort has been devoted to understanding the stock structure of striped marlin in the Pacific Ocean, which is now moderately well known. It has been clear for some years that there are a number of stocks. Information on the movements of striped marlin is limited. Fish tagged with conventional dart tags and released off the tip of the Baja California peninsula have generally been recaptured near where they were tagged, but some have been recaptured around the Revillagigedo Islands, a few around Hawaii, and one near Norfolk Island. Tagging studies of striped marlin in the Pacific conducted using pop-off satellite tags indicated that there is essentially no mixing of tagged fish among tagging areas and that striped marlin maintain site fidelity. Recent results of analyses of fisheries and genetic data indicate that the northern EPO is home to a single stock, though there may be a seasonal low-level presence of juveniles from a more westerly Hawaii/Japan stock.

Historically, the majority of the catch in the EPO was taken by longline fisheries; however, removals by recreational fisheries have become more important in recent years (Figure I-1). Longline fisheries expanded into the EPO beginning in the mid-1950s, and they extended throughout the region by the late 1960s. Except for a few years in the late 1960s to early 1970s in the northern EPO, these fisheries did not target billfish. The shifting patterns of areas fished and changes in the targeting practices of the fisheries increase the difficulties encountered when using fisheries data in analyses of stock status and trends, and these difficulties are intensified in analyses of species which are not principal targets of the fishery.

The assessment of this stock was conducted using Stock Synthesis, with data updated as of 30 October 2010. Key results of the assessment were that (1) the stock is not overfished; (2) overfishing is not occurring; (3) the spawning stock biomass has been increasing and is above that expected to support MSY catch; and (4) catches in recent years have remained at about half the MSY catch level. If fishing effort and harvests continue at levels near current observed levels, it is expected that the biomass of the stock will continue to increase over the near term.

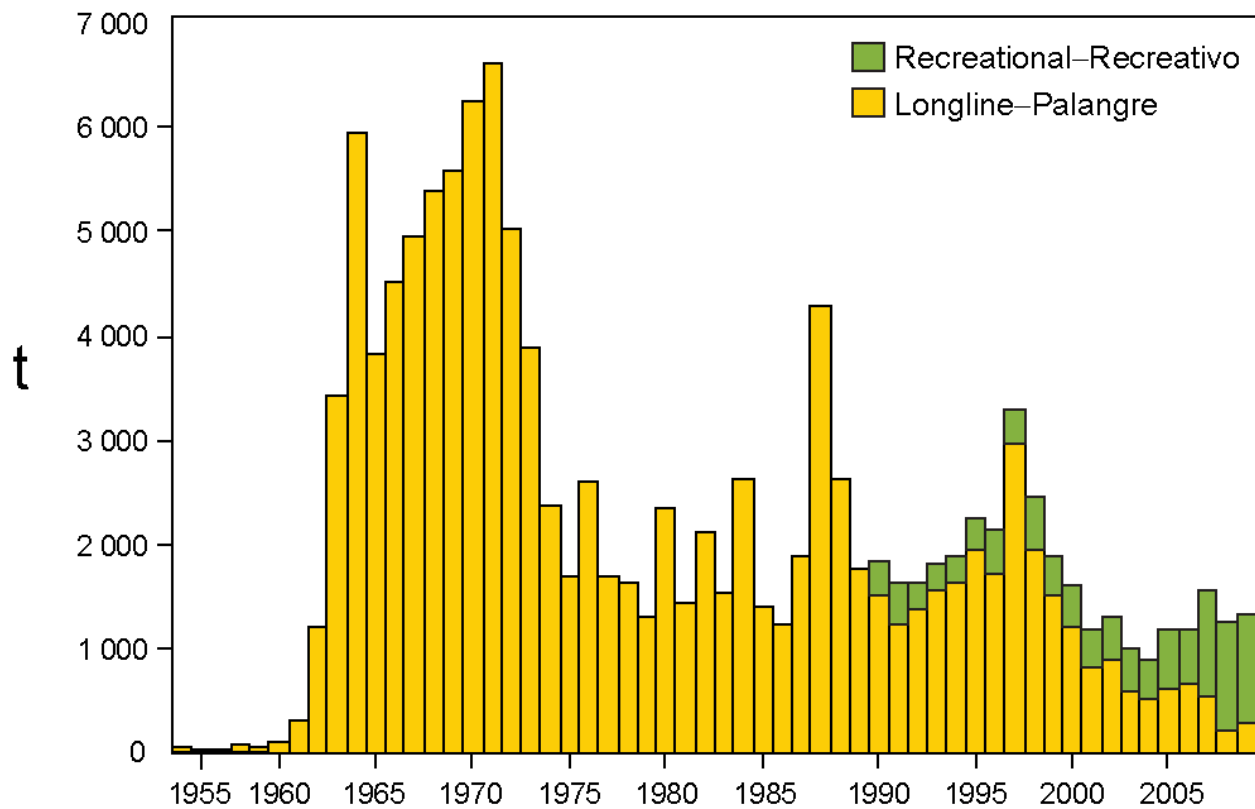


FIGURE I-1. Landings of striped marlin from the northern EPO by longline and recreational fisheries, 1954-2009.

FIGURA I-1. Descargas de marlín rayado del OPO norte por las pesquerías palangreras y recreativas, 1954-2009.

I. MARLÍN RAYADO

El marlín rayado [*Kajikia audax* (Philippi, 1887)] está distribuido por todo el Océano Pacífico entre aproximadamente 45°N y 45°S. El presente informe se basa en una evaluación de la población de marlín rayado en la región del Océano Pacífico oriental (OPO) al norte de 10°S, al este de aproximadamente 145°O al norte de la línea ecuatorial y al este de aproximadamente 165°O al sur de la misma. Aunque no se incluye en el modelo de evaluación, es posible que ocurra un intercambio limitado de peces entre esta población y las poblaciones en regiones adyacentes.

Se ha dedicado un esfuerzo importante a entender la estructura de la población de marlín rayado en el Océano Pacífico, que ahora es moderadamente bien conocida. Queda claro desde hace varios años que existe varias poblaciones. La información sobre los desplazamientos del marlín rayado es limitada. Peces marcados con marcas de dardo convencionales y liberados frente a la punta de la península de Baja California han sido generalmente recapturados cerca de donde fueron marcados, pero algunos han sido recapturados cerca de las islas Revillagigedo, unos pocos cerca de Hawai, y uno cerca de la isla Norfolk. Estudios de marcado de marlín rayado en el Pacífico con marcas satelitales desprendibles indicaron que esencialmente no ocurre mezcla de peces marcados entre zonas de marcado, y que el marlín rayado mantiene fidelidad a su sitio. Los resultados recientes de análisis de datos de pesca y genéticos indican que en el OPO norte vive una sola población, aunque es posible que haya una presencia estacional a bajo nivel de juveniles de una población más al oeste de Hawai/Japón.

Históricamente, la mayor parte de la captura en el OPO fue capturada por las pesquerías de palangre, pero las capturas de la pesca recreacional se han vuelto más importantes en años recientes (Figure I-1). Las pesquerías de palangre comenzaron a ingresar al OPO a mediados de los años 1950, y para fines de los años 1960 se extendían por toda la región. Con la excepción de unos años a fines de los 1960 y principios de los 1970 en el OPO norte, estas pesquerías no se dirigieron a los peces picudos. Los patrones cambiantes de zonas pescadas y cambios en los objetivos de la pesca incrementan las dificultades encontradas al usar datos de pesca in los análisis de la condición y tendencias de la población, y estas dificultades se intensifican en los análisis de especies que no son el blanco principal de la pesquería.

Se realizó la evaluación de esta población con el modelo Stock Synthesis, con datos actualizados al 30 de octubre de 2010. Los resultados clave de la evaluación son que (1) la población no se encuentra sobreexpuesta; (2) no está ocurriendo sobrepesca; (3) la biomasa de la población reproductora viene en aumento y se encuentra por encima del nivel que se espera produciría la captura en RMS; y (4) la captura en los últimos años ha permanecido alrededor de la mitad de la captura en el nivel de RMS. Si el esfuerzo de pesca y las capturas siguen en niveles cercanos a aquéllos observados en la actualidad, se espera que la biomasa de la población siga aumentando en el futuro cercano.

J. ECOSYSTEM CONSIDERATIONS

1.	Introduction	119
2.	Impact of catches.....	119
3.	Other ecosystem components	124
4.	Trophic interactions.....	126
5.	Physical environment	128
6.	Aggregate indicators	129
7.	Ecological risk assessment	130
8.	Ecosystem modeling	132
9.	Actions by the IATTC and the AIDCP addressing ecosystem considerations.....	132
10.	Future developments	134

1. INTRODUCTION

The FAO Code of Conduct for Responsible Fisheries provides that management of fisheries should ensure the conservation not only of target species, but also of the other species belonging to the same ecosystem. In 2001, the Reykjavik Declaration on Responsible Fisheries in the Ecosystem elaborated this standard with a commitment to incorporate an ecosystem approach into fisheries management.

The IATTC has taken account of ecosystem issues in many of its decisions, and this report on the offshore pelagic ecosystem of the tropical and subtropical Pacific Ocean, which is the habitat of tunas and billfishes, has been available since 2003 to assist in making its management decisions. This section provides a coherent view, summarizing what is known about the direct impact of the fisheries upon various species and species groups of the ecosystem, and reviews what is known about the environment and about other species that are not directly impacted by the fisheries but may be indirectly impacted by means of predator-prey interactions in the food web.

This review does not suggest objectives for the incorporation of ecosystem considerations into the management of tuna or billfish fisheries, nor any new management measures. Rather, its prime purpose is to offer the Commission the opportunity to ensure that ecosystem considerations are part of its agenda.

It is important to remember that the view that we have of the ecosystem is based on the recent past; we have almost no information about the ecosystem before exploitation began. Also, the environment is subject to change on a variety of time scales, including the well-known El Niño fluctuations and more recently recognized longer-term changes, such as the Pacific Decadal Oscillation and other climate changes.

In addition to reporting the catches of the principal species of tunas and billfishes, the staff has reported the bycatches of non-target species that are either retained or discarded. In this section, data on these bycatches are presented in the context of the effect of the fishery on the ecosystem. Unfortunately, while relatively good information is available for the tunas and billfishes, information for the entire fishery is not available. The information is comprehensive for large (carrying capacity greater than 363 metric tons) purse seiners that carry observers under the Agreement on the International Dolphin Conservation Program (AIDCP), and information on retained catches is also reported for other purse seiners, pole-and-line vessels, and much of the longline fleet. Some information is available on sharks that are retained by parts of the longline fleet. Information on retained and discarded non-target species is reported for large purse-seiners, and is available for very few trips of smaller ones. There is little information available on the bycatches and discards for other fishing vessels.

2. IMPACT OF CATCHES

2.1. Single-species assessments

Current information on the effects of the tuna fisheries on the stocks of individual species in the eastern Pacific Ocean (EPO) and the detailed assessments are found in this document. An ecosystem

perspective requires a focus on how the fishery may have altered various components of the ecosystem. Sections 2.2 and 2.3 of this report refer to information on the current biomass of each stock considered, compared to estimates of what it might have been in the absence of a fishery. There are no direct measurements of the stock size before the fishery began, and, in any case, the stocks would have varied from year to year. In addition, the unexploited stock size may be influenced by predator and prey abundance, which is not included in the single-species analyses.

2.2. Tunas

Information on the effects of the fisheries on yellowfin, skipjack, and bigeye tunas is found in Sections B, C, and D, respectively, and Pacific bluefin and albacore tunas are addressed in Sections E and F, respectively, of this document.

2.3. Billfishes

Information on the effects of the tuna fisheries on swordfish, blue marlin, and striped marlin is presented in Sections G-I of this document.

2.3.1. Black marlin, sailfish, and shortbill spearfish

No recent stock assessments have been made for these species, although there are some data published jointly by scientists of the National Research Institute of Far Seas Fisheries (NRIFSF) of Japan and the IATTC in the IATTC Bulletin series that show trends in catches, effort, and catches per unit of effort (CPUEs).

2.4. Summary

Preliminary estimates of the catches (including purse-seine discards), in metric tons, of tunas, bonitos, and billfishes during 2011 in the EPO are found in Tables A-2a and A-2b of this document.

2.5. Marine mammals

Marine mammals, especially spotted dolphins (*Stenella attenuata*), spinner dolphins (*S. longirostris*), and common dolphins (*Delphinus delphis*), are frequently found associated with yellowfin tuna in the size range of about 10 to 40 kg in the EPO. Purse-seine fishermen have found that their catches of yellowfin in the EPO can be maximized by setting their nets around herds of dolphins and the associated schools of tunas, and then releasing the dolphins while retaining the tunas. The incidental mortality of dolphins in this operation was high during the early years of the fishery, and the populations of dolphins were reduced from their unexploited levels during the 1960s and 1970s. After the late 1980s the incidental mortality decreased precipitously, and there is now evidence that the populations are recovering. Preliminary mortality estimates of dolphins in the fishery in 2011 are shown in Table 1.

Studies of the association of tunas with dolphins have been an important component of the staff's long-term approach to understanding key interactions in the ecosystem. The extent to which yellowfin tuna and dolphins compete for resources, whether either or both of them benefits from the interaction, why the tuna are most often found with spotted dolphins, and why the species associate most strongly in the eastern tropical Pacific, remain critical pieces of information, given the large biomasses of both groups and their high rates of prey consumption. Three studies were conducted to address these hypotheses: a simultaneous tracking study of spotted dolphins and yellowfin tuna, a trophic interactions study comparing their prey and daily foraging patterns, and a spatial study of oceanographic features correlated with the tuna dolphin association. These studies demonstrated that the association is neither permanent nor obligatory, and that the benefits of the association are not based on feeding advantages. The studies support the hypothesis that one or both species reduce the risk of predation by forming large, mixed-species groups. The association is most prevalent where the habitat of the tuna is compressed to the warm, shallow, surface waters of the mixed layer by the oxygen minimum zone, a thick layer of oxygen-poor waters underlying the mixed layer. The association has been observed in other oceans with similar oceanographic conditions, but it is most prevalent and consistent in the eastern tropical Pacific, where the oxygen minimum zone is the most hypoxic and extensive in the world.

TABLE 1. Mortality of dolphins caused by the fishery in 2011

Species and stock	Incidental mortality	
	Number	Metric tons
Offshore spotted dolphin		
Northeastern	172	11
Western-southern	124	8
Spinner dolphin		
Eastern	467	21
Whitebelly	139	8
Common dolphin		
Northern	35	2
Central	12	0.9
Southern	9	0.6
Other mammals*	28	2
Total	986	54

**"Other mammals" includes the following species and stocks, whose observed mortalities were as follows: Central American spinner dolphins (*Stenella longirostris centroamericana*) 10 (0.4 t); striped dolphins 4 (0.3 t); bottlenose dolphins 9 (0.8 t), unidentified dolphins 5 (0.3 t).

During August-December 2006, scientists of the U.S. National Marine Fisheries Service (NMFS) conducted the latest in a series of research cruises under the *Stenella* Abundance Research (STAR) project. The primary objective of the multi-year study is to investigate trends in population size of the dolphins that have been taken as incidental catch by the purse-seine fishery in the EPO. Data on cetacean distribution, herd size, and herd composition were collected from the large-scale line-transect surveys to estimate dolphin abundance. Oceanographic data are collected to characterize habitat and its variation over time. Data on distribution and abundance of prey fishes and squids, seabirds, and marine turtles further characterize the

ecosystem in which these dolphins live. The 2006 survey covered the same areas and used the same methods as past surveys. Data from the 2006 survey produced new abundance estimates, and previous data were re-analyzed to produce revised estimates for 10 dolphin species and/or stocks in the EPO between 1986 and 2006. The 2006 estimates for northeastern offshore spotted dolphins were somewhat greater, and for eastern spinner dolphins substantially greater, than the estimates for 1998-2000. Estimates of population growth for these two depleted stocks and the depleted coastal spotted dolphin stock may indicate they are recovering, but the western-southern offshore spotted dolphin stock may be declining. The 1998-2006 abundance estimates for coastal spotted, whitebelly spinner, and rough-toothed (*Steno bredanensis*) dolphins showed an increasing trend, while those for the striped (*S. coeruleoalba*), short-beaked common (*Delphinus delphis*), bottlenose (*Tursiops truncatus*), and Risso's (*Grampus griseus*) dolphins were generally similar to previous estimates obtained with the same methods.

Scientists of the NMFS have made estimates of the abundances of several other species of marine mammals based on data from research cruises made between 1986 and 2000 in the EPO. The STAR 2003 and 2006 cruises will provide further estimates of abundance of these mammals. Of the species not significantly affected by the tuna fishery, short-finned pilot whales (*Globicephala macrorhynchus*) and three stocks of common dolphins showed increasing trends in abundance during that 15-year period. The apparent increased abundance of these mammals may have caused a decrease in the carrying capacity of the EPO for other predators that overlap in diet, including spotted dolphins. Bryde's whales (*Balaenoptera edeni*) also increased in estimated abundance, but there is very little diet overlap between these baleen whales and the upper-level predators impacted by the fisheries. The abundance estimates for sperm whales (*Physeter macrocephalus*) tended to decrease during 1986-2000.

Some marine mammals are adversely affected by reduced food availability during El Niño events, especially in coastal ecosystems. Examples that have been documented include dolphins, pinnipeds, and Bryde's whales off Peru, and pinnipeds around the Galapagos Islands. Large whales are able to move in response to changes in prey productivity and distribution.

2.6. Sea turtles

Sea turtles are caught on longlines when they take the bait on hooks, are snagged accidentally by hooks, or are entangled in the lines. Estimates of incidental mortality of turtles due to longline and gillnet fishing

are few. At the [4th meeting of the IATTC Working Group on Bycatch](#) in January 2004, it was reported that 166 leatherback (*Dermochelys coriacea*) and 6,000 other turtle species, mostly olive Ridley (*Lepidochelys olivacea*), were incidentally caught by Japan's longline fishery in the EPO during 2000, and that, of these, 25 and 3,000, respectively, were dead. At the [6th meeting of the Working Group](#) in February 2007, it was reported that the Spanish longline fleet targeting swordfish in the EPO averaged 65 interactions and 8 mortalities per million hooks during 1990-2005. The mortality rates due to longlining in the EPO are likely to be similar for other fleets targeting bigeye tuna, and possibly greater for those that set their lines at shallower depths for albacore and swordfish. About 23 million of the 200 million hooks set each year in the EPO by distant-water longline vessels target swordfish with shallow longlines.

In addition, there is a sizeable fleet of artisanal longline vessels that fish for tunas, billfishes, sharks, and dorado (*Coryphaena* spp.) in the EPO. Since 2005, staff members of the IATTC and some other organizations, together with the governments of several coastal Latin American nations, have been engaged in a program to reduce the hooking rates and mortalities of sea turtles in these fisheries. Additional information on this program can be found in Section 9.2.

Sea turtles are occasionally caught in purse seines in the EPO tuna fishery. Most interactions occur when the turtles associate with floating objects, and are captured when the object is encircled. In other cases, nets set around unassociated schools of tunas or schools associated with dolphins may capture sea turtles that happen to be at those locations. The olive Ridley turtle is, by far, the species of sea turtle taken most often by purse seiners. It is followed by green sea turtles (*Chelonia mydas*), and, very occasionally, by loggerhead (*Caretta caretta*) and hawksbill (*Eretmochelys imbricata*) turtles. From 1990, when IATTC observers began recording this information, through 2011, only three mortalities of leatherback turtles have been recorded. Some of the turtles are unidentified because they were too far from the vessel or it was too dark for the observer to identify them. Sea turtles, at times, become entangled in the webbing under fish-aggregating devices (FADs) and drown. In some cases, they are entangled by the fishing gear and may be injured or killed. Preliminary estimates of the mortalities (in numbers) of turtles caused by large purse-seine vessels during 2011, by set type (on floating objects (OBJ), unassociated schools (NOA), and dolphins (DEL)), are shown in Table 2:

The mortalities of sea turtles due to purse seining for tunas are probably less than those due to other types of human activity, which include exploitation of eggs and adults, beach development, pollution, entanglement in and ingestion of marine debris, and impacts of other fisheries.

The populations of olive Ridley, green, and loggerhead turtles are designated as endangered, and those of hawksbill and leatherback turtles as critically endangered, by the International Union for the Conservation of Nature.

2.7. Sharks and other large fishes

Sharks and other large fishes are taken by both purse-seine and longline vessels. Silky sharks (*Carcharhinus falciformis*) are the most commonly-caught species of shark in the purse-seine fishery, followed by oceanic whitetip sharks (*C. longimanus*). The longline fisheries also take silky sharks. A Pacific-wide analysis of longline and purse-seine fishing is necessary to estimate the impact of fishing on the stock(s). Estimated indices of relative abundance of silky sharks, based on data for purse-seine sets on

TABLE 2. Mortality of turtles caused by large purse-seine vessels in 2011

	Set type			Total
	OBJ	NOA	DEL	
Olive Ridley	8	0	1	9
Eastern Pacific green	0	2	0	2
Loggerhead	0	0	0	0
Hawksbill	0	0	0	0
Leatherback	0	0	0	0
Unidentified	0	1	0	1
Total	8	3	1	12

floating objects, showed decreasing trends for large (>150 cm total length) and medium-sized sharks (90–150 cm total length) during 1994–2004, and remained relatively constant for large sharks and increased slightly for medium sharks between 2005 and 2009. The trends in unstandardized bycatch per set were similar for the other two types of purse-seine sets (standardized trends are not yet available). The unstandardized average bycatches per set of oceanic whitetip sharks also showed decreasing trends for all three set types during the same period. It is not known whether these decreasing trends were due to incidental capture by the fisheries, changes in the environment (perhaps associated with the 1997–1998 El Niño event), or other factors. The decreasing trends do not appear to be due to changes in the density of floating objects.

Scientists at the University of Washington have conducted an analysis of the temporal frequency of areas of high bycatches of silky sharks in purse-seine sets on floating objects, which will be useful for determining the effectiveness of area-time closures as a means of reducing shark bycatch. Results show that both model predictions and observed data tend to indicate that these bycatches occurred most frequently north of 4°N and west of 100–105°W. However, due to large tuna catches south of 5°N, the greatest reduction in bycatch from sets on floating objects with the least loss of tuna catch would be achieved north of approximately 6°N.

A sampling project was conducted during May 2007–June 2008 by scientists of the IATTC and the NMFS to collect and archive tissue samples of sharks, rays, and other large fishes for genetics analysis. Data from the archived samples is being used in studies of large-scale stock structure of these taxa in the EPO, information that is vital for stock assessments and is generally lacking throughout the Pacific Ocean. The preliminary results of an analysis for silky sharks showed two stocks, one north and one south of the equator.

A stock assessment for blue sharks (*Prionace glauca*) in the North Pacific Ocean has been conducted by scientists of the NMFS and the NRIFSF. Preliminary results provided a range of plausible values for MSY of 1.8 to nearly 4 times the 2001 catch of blue sharks per year. A more recent assessment that used catch and effort data for 1971–2002 showed a decline in abundance in the 1980s, followed by a recovery to above the level of 1971. It was assumed that the blue shark population in 2009 was close to MSY level, and fishing mortality may be approaching the MSY level in the future.

Preliminary estimates of the catches (including purse-seine discards), in metric tons, of sharks and other large fishes in the EPO during 2011, other than those mentioned above, by large purse-seine vessels are shown in Table 3. Complete data are not available for small purse-seine, longline, and other types of vessels.

Apart from blue sharks, there are no stock assessments available for these species in the EPO, and hence the impacts of the bycatches on the stocks are unknown. Progress on a stock assessment for the silky shark in the EPO was achieved at the IATTC 3rd Technical Meeting on Sharks in December 2011. Implementing a stock assessment model for the silky shark will require further work on estimation of catches and bycatches during 2012, and an assessment will be attempted in 2013.

The catch rates of species other than tunas in the purse-seine fishery are different for each type of set. With a few exceptions, the bycatch rates are greatest in sets on floating objects, followed by unassociated sets and, at a much lower level, dolphin sets. Dolphin bycatch rates are greatest for dolphin sets, followed by unassociated sets and, at a much lower level, floating-object sets. The bycatch rates of sailfish (*Istiophorus platypterus*), manta rays (Mobulidae), and stingrays (Dasyatidae) are greatest in unassociated sets, followed by dolphin sets, and lowest in floating-object sets. Because of these differences, it is necessary to follow the changes in frequency of the different types of sets to interpret the changes in bycatch figures. The estimated numbers of purse-seine sets of each type in the EPO during 1996–2011 are shown in Table A-7 of Document [SAC-03-03](#).

TABLE 3. Catches of sharks and other large fishes, rounded to nearest ton, in 2011.

	Set type			Total
	OBJ	NOA	DEL	
Silky shark (<i>Carcharhinus falciformis</i>)	239	32	65	336
Oceanic whitetip shark (<i>C. longimanus</i>)	1	0	<1	2
Hammerhead sharks (<i>Sphyrna</i> spp.)	85	10	6	100
Thresher sharks (<i>Alopias</i> spp.)	3	6	5	14
Other sharks	49	243	5	297
Manta rays (Mobulidae)	8	48	26	82
Pelagic sting rays (Dasyatidae)	<1	<1	<1	<1
Dorado (<i>Coryphaena</i> spp.)	1,696	9	<1	1,705
Wahoo (<i>Acanthocybium solandri</i>)	192	2	<1	194
Rainbow runner (<i>Elagatis bipinnulata</i>) and yellowtail (<i>Seriola lalandi</i>)	39	57	0	96
Other large fishes	33	501	<1	534

In October 2006, the NMFS hosted a workshop on bycatch reduction in the EPO purse-seine fishery. The attendees agreed to support a proposal for research on methods to reduce bycatches of sharks by attracting them away from floating objects prior to setting the purse seine. A feasibility study has been planned. The attendees also supported a suite of field experiments on bycatch reduction devices and techniques; these would include FAD modifications and manipulations, assessing behavioral and physiological indicators of stress, and removing living animals from the seine and deck (e.g. sorting grids, bubble gates, and vacuum pumps). A third proposal, which was likewise supported by the attendees, involves using IATTC data to determine if spatial, temporal, and environmental factors can be used to predict bycatches in FAD sets and to determine to what extent time/area closures would be effective in reducing bycatches.

3. OTHER ECOSYSTEM COMPONENTS

3.1. Seabirds

There are approximately 100 species of seabirds in the tropical EPO. Some seabirds associate with epipelagic predators near the sea surface, such as fishes (especially tunas) and marine mammals. Subsurface predators often drive prey to the surface to trap them against the air-water interface, where the prey becomes available to the birds. Most species of seabirds take prey within a half meter of the sea surface or in the air (flyingfishes (Exocoetidae) and squids (primarily Ommastrephidae)). In addition to driving the prey to the surface, subsurface predators make prey available to the birds by injuring or disorienting the prey, and by leaving scraps after feeding on large prey. Feeding opportunities for some seabird species are dependent on the presence of tuna schools feeding near the surface.

Seabirds are affected by the variability of the ocean environment. During the 1982-1983 El Niño event, seabird populations throughout the tropical and northeastern Pacific Ocean experienced breeding failures and mass mortalities, or migrated elsewhere in search of food. Some species, however, are apparently not affected by El Niño episodes. In general, seabirds that forage in upwelling areas of the tropical EPO and Peru Current suffer reproductive failures and mortalities due to food shortage during El Niño events, while seabirds that forage in areas less affected by El Niño episodes may be relatively unaffected.

According to the *Report of the Scientific Research Program under the U.S. International Dolphin Conservation Program Act*, prepared by the NMFS in September 2002, there were no significant temporal trends in abundance estimates over the 1986-2000 period for any species of seabird, except for a downward trend for the Tahiti petrel (*Pseudobulweria rostrata*), in the tropical EPO. Population status and trends are currently under review for waved (*Phoebastria irrorata*), black-footed (*P. nigripes*), and Laysan (*P. immutabilis*) albatrosses.

Some seabirds, especially albatrosses and petrels, are susceptible to being caught on baited hooks in pelagic longline fisheries. Satellite tracking and at-sea observation data have identified the importance of the IATTC area for waved, black-footed, Laysan, and black-browed (*Thalassarche melanophrys*) albatrosses, plus several other species that breed in New Zealand, yet forage off the coast of South America. There is particular concern for the waved albatross because it is endemic to the EPO and nests only in the Galapagos Islands. Observer data from artisanal vessels show no interactions with waved albatross during these vessels' fishing operations. Data from the US pelagic longline fishery in the northeastern Pacific Ocean indicate that bycatches of black-footed and Laysan albatrosses occur. Few comparable data for the longline fisheries in the central and southeastern Pacific Ocean are available. At the 6th meeting of the IATTC Working Group on Bycatch in February 2007, it was reported that the Spanish surface longline fleet targeting swordfish in the EPO averaged 40 seabird interactions per million hooks, virtually all resulting in mortality, during 1990-2005. In 2007, the IATTC Stock Assessment Working Group identified areas of vulnerability to industrial longline fishing for several species of albatross and proposed mitigation measures. See also section 9.3.

3.2. Forage

The forage taxa occupying the middle trophic levels in the EPO are obviously important components of the ecosystem, providing a link between primary producers at the base of the food web and the upper-trophic-level predators, such as tunas and billfishes. Indirect effects on those predators caused by environmental variability are transmitted to the upper trophic levels through the forage taxa. Little is known, however, about fluctuations in abundance of the large variety of prey species in the EPO. Scientists from the NMFS have recorded data on the distributions and abundances of common prey groups, including lantern fishes (Myctophidae), flyingfishes, and some squids, in the tropical EPO during 1986-1990 and 1998-2000. Mean abundance estimates for all fish taxa and, to a lesser extent, for squids increased from 1986 through 1990. The estimates were low again in 1998, and then increased through 2000. Their interpretation of this pattern was that El Niño events in 1986-1987 and 1997-1998 had negative effects on these prey populations. More data on these taxa were collected during the NMFS STAR 2003 and 2006 cruises.

The Humboldt or jumbo squid (*Dosidicus gigas*) populations in the EPO have increased in size and geographic range in recent years. For example, the squid expanded their range to the north into waters off central California, USA from 2002 to mid-2010. In addition, in 2002 observers on tuna purse-seine vessels reported increased incidental catches of Humboldt squid taken with tunas, primarily skipjack, off Peru. Juvenile stages of these squid are common prey for yellowfin and bigeye tunas, and other predatory fishes, and Humboldt squid are also voracious predators of small fishes and cephalopods throughout their range. Large Humboldt squid have been observed attacking skipjack and yellowfin inside a purse seine. Not only have these squid impacted the ecosystems that they have expanded into, but they are also thought to have the capacity to affect the trophic structure in pelagic regions. Changes in the abundance and geographic range of Humboldt squid could affect the foraging behavior of the tunas and other predators, perhaps changing their vulnerability to capture.

Some small fishes, many of which are forage for the larger predators, are incidentally caught by purse-seine vessels in the EPO. Frigate and bullet tunas (*Auxis* spp.), for example, are a common prey of many of the animals that occupy the upper trophic levels in the tropical EPO. In the tropical EPO ecosystem model (Section 8), frigate and bullet tunas comprise 10% or more of the diet of eight predator categories. Small quantities of frigate and bullet tunas are captured by purse-seine vessels on the high seas and by artisanal fisheries in some coastal regions of Central and South America. The vast majority of frigate and bullet tunas captured by tuna purse-seine vessels is discarded at sea. Preliminary estimates of the catches (including purse-seine discards), in metric tons, of small fishes by large purse-seine vessels with observers aboard in the EPO during 2011 are shown in Table 4.

TABLE 4. Catches of small fishes, in tons, by large purse-seine vessels with observers aboard in the EPO during 2011

	Set type			Total
	OBJ	NOA	DEL	
Triggerfishes (Balistidae) and filefishes (Monacanthidae)	30	<1	0	30
Other small fishes	50	1	<1	51
Frigate and bullet tunas (<i>Auxis</i> spp.)	764	101	12	878

3.3. Larval fishes and plankton

Larval fishes have been collected by manta (surface) net tows in the EPO for many years by personnel of the NMFS Southwest Fisheries Science Center. Of the 314 taxonomic categories identified, 17 were found to be most likely to show the effects of environmental change. The occurrence, abundance, and distribution of these key taxa revealed no consistent temporal trends. Recent research has shown a longitudinal gradient in community structure of the ichthyoplankton assemblages in the eastern Pacific warm pool, with abundance, species richness, and species diversity high in the east (where the thermocline is shallow and primary productivity is high) and low but variable in the west (where the thermocline is deep and primary productivity is low).

The phytoplankton and zooplankton populations in the tropical EPO are variable. For example, chlorophyll concentrations on the sea surface (an indicator of phytoplankton blooms) and the abundance of copepods were markedly reduced during the El Niño event of 1982-1983, especially west of 120°W. Similarly, surface concentrations of chlorophyll decreased during the 1986-1987 El Niño episode and increased during the 1988 La Niña event due to changes in nutrient availability.

The species and size composition of zooplankton is often more variable than the zooplankton biomass. When the water temperatures increase, warm-water species often replace cold-water species at particular locations. The relative abundance of small copepods off northern Chile, for example, increased during the 1997-1998 El Niño event, while the zooplankton biomass did not change.

Copepods often comprise the dominant component of secondary production in marine ecosystems. An analysis of the trophic structure among the community of pelagic copepods in the EPO was conducted by a student of the Centro Interdisciplinario de Ciencias Marinas, Instituto Politécnico Nacional, La Paz, Mexico, using samples collected by scientists of the NMFS STAR project. The stable nitrogen isotope values of omnivorous copepods were used in a separate analysis of the trophic position of yellowfin tuna, by treating the copepods as a proxy for the isotopic variability at the base of the food web (see next section).

4. TROPHIC INTERACTIONS

Tunas and billfishes are wide-ranging, generalist predators with high energy requirements, and, as such, are key components of pelagic ecosystems. The ecological relationships among large pelagic predators, and between them and animals at lower trophic levels, are not well understood. Given the need to evaluate the implications of fishing activities on the underlying ecosystems, it is essential to acquire accurate depictions of trophic links and biomass flows through the food web in open-ocean ecosystems, and a basic understanding of the natural variability forced by the environment.

Knowledge of the trophic ecology of predatory fishes has historically been derived from stomach contents analysis. Large pelagic predators are considered efficient biological samplers of micronekton organisms, which are poorly sampled by nets and trawls. Diet studies have revealed many of the key trophic connections in the pelagic EPO, and have formed the basis for representing food-web interactions in an ecosystem model ([IATTC Bulletin, Vol. 22, No. 3](#)) to explore indirect ecosystem effects of fishing. For

two studies a decade apart, the most common prey items of yellowfin tuna caught by purse seines offshore were frigate and bullet tunas, red crabs (*Pleuroncodes planipes*), Humboldt squid, a mesopelagic fish (*Vinciguerria lucezia*) and several epipelagic fishes. Bigeye tuna feed at greater depths than do yellowfin and skipjack, and consume primarily cephalopods and mesopelagic fishes. The most important prey of skipjack overall were reported to be euphausiid crustaceans during the late 1950s, whereas the small mesopelagic fish *V. lucezia* appeared dominant in the diet during the early 1990s. Tunas that feed inshore often utilize different prey than those caught offshore. Recently, diet studies have become focused on understanding entire food webs, initially by describing the inter-specific connections among the predator communities, comprising tunas, sharks, billfishes, dorado, wahoo, rainbow runner, and others. In general, considerable resource partitioning is evident among the components of these communities, and researchers seek to understand the spatial scale of the observable trophic patterns, and also the role of climate variability in influencing the patterns.

While diet studies have yielded many insights, stable isotope analysis is a useful complement to stomach contents for delineating the complex structure of marine food webs. Stomach contents represent a sample of only the most-recent several hours of feeding at the time of day an animal is captured, and under the conditions required for its capture. Stable carbon and nitrogen isotopes, however, integrate information on all components of the entire diet into the animal's tissues, providing a recent history of trophic interactions and information on the structure and dynamics of ecological communities. More insight is provided by compound-specific isotope analysis of amino acids (AA-CSIA). In samples of consumer tissues, "source" amino acids (e.g. phenylalanine, glycine) retained the isotopic values at the base of the food web, and "trophic" amino acids (e.g. glutamic acid) became enriched in ^{15}N by about 7‰ relative to the baseline. In AA-CSIA, predator tissues alone are adequate for trophic-position estimates, and separate analysis of the isotopic composition of the base of the food web is not necessary. A recent analysis of the spatial distribution of stable isotope values of yellowfin tuna in relation to those of copepods showed that the trophic position of yellowfin tuna increased from inshore to offshore in the EPO, a characteristic of the food web never detected in diet data. The diet data for the same yellowfin samples analyzed for isotope content showed comparable variability in the trophic position of yellowfin, but did not show an inshore-offshore gradient in trophic position.

Stomach samples of a ubiquitous generalist predator, such as yellowfin tuna can be used to infer changes in prey populations by identifying changes in foraging behavior. Prey-induced changes in foraging behavior could cause the tunas, for example, to alter the typical depth distributions while foraging, which could affect their vulnerability to capture. Prey populations that support the apex predators vary over time (see 3.2 Forage), and some prey impart considerable predation pressure on animals that occupy the lower trophic levels (including the early life stages of large fishes). There are two recent examples of pertinent diet research. **1)** Stomach samples from purse-seine caught yellowfin tuna were collected during 1992-1994 and again during 2003-2005. A new method of classification tree analysis, developed by Dr. P. Kuhnert, CSIRO, Australia, is being used to tease apart spatial, temporal, and yellowfin size covariates explaining differences in decadal-scale predation patterns. Statistical differences in diet were detected between the two sampling periods, with frigate and bullet tunas and other epipelagic fishes dominating during the 1990s and mesopelagic fishes and a pelagic galatheid crab most important in the 2000s. Amounts of food consumed per day (daily ration, percent of body weight) were lower during the latter period. While circumstantial evidence supports the concept that changes in prey availability in the environment can be detected by monitoring the stomach contents of a non-selective predator, such as yellowfin tuna, there is no supportive evidence that the forage community of the EPO has changed since the early 1990s. **2)** In a second study, stomach samples of yellowfin tuna were collected from purse-seine sets made on fish associated with dolphins during only the fourth quarter of 2006, and compared with samples from dolphin sets made during 2003-2005 in the same fishing area, to detect possible changes in foraging behavior. Of special interest were the inter-annual differences in predation on the Humboldt squid because of recent changes in its abundance and geographical range (see 3.2 Forage). The amount of fresh squid tissue in the yellowfin stomachs was very low, and there were no differences in the diet

proportions by weight from year to year. Cephalopod mandibles (or beaks), however, are retained in the stomachs, and the percent occurrence of Humboldt squid mandibles decreased by 21 percent between 2004 and 2006. Overall, there was no convincing evidence of substantial changes in the trophic structure had taken place during 2003-2006, based on the food habits of yellowfin tuna caught in association with dolphins.

5. PHYSICAL ENVIRONMENT¹

Environmental conditions affect marine ecosystems, the dynamics and catchability of tunas and billfishes, and the activities of the fishermen. Tunas and billfishes are pelagic during all stages of their lives, and the physical factors that affect the tropical and sub-tropical Pacific Ocean can have important effects on their distribution and abundance. Environmental conditions are thought to cause considerable variability in the recruitment of tunas and billfishes. Stock assessments by the IATTC have often incorporated the assumption that oceanographic conditions might influence recruitment in the EPO.

Different types of climate perturbations may impact fisheries differently. It is thought that a shallow thermocline in the EPO contributes to the success of purse-seine fishing for tunas, perhaps by acting as a thermal barrier to schools of small tunas, keeping them near the sea surface. When the thermocline is deep, as during an El Niño event, tunas seem to be less vulnerable to capture, and the catch rates have declined. Warmer- or cooler-than-average sea-surface temperatures (SSTs) can also cause these mobile fishes to move to more favorable habitats.

The ocean environment varies on a variety of time scales, from seasonal to inter-annual, decadal, and longer (*e.g.* climate phases or regimes). The dominant source of variability in the upper layers of the EPO is known as the El Niño-Southern Oscillation (ENSO). The ENSO is an irregular fluctuation involving the entire tropical Pacific Ocean and global atmosphere. It results in variations of the winds, rainfall, thermocline depth, circulation, biological productivity, and the feeding and reproduction of fishes, birds, and marine mammals. El Niño events occur at 2- to 7-year intervals, and are characterized by weaker trade winds, deeper thermoclines, and abnormally-high SSTs in the equatorial EPO. El Niño's opposite phase, often called La Niña (or anti-El Niño), is characterized by stronger trade winds, shallower thermoclines, and lower SSTs. Research has documented a connection between the ENSO and the rate of primary production, phytoplankton biomass, and phytoplankton species composition. Upwelling of nutrient-rich subsurface water is reduced during El Niño episodes, leading to a marked reduction in primary and secondary production. ENSO also directly affects animals at middle and upper trophic levels. Researchers have concluded that the 1982-1983 El Niño event, for example, deepened the thermocline and nutricline, decreased primary production, reduced zooplankton abundance, and ultimately reduced the growth rates, reproductive successes, and survival of various birds, mammals, and fishes in the EPO. In general, however, the ocean inhabitants recover within short periods because their life histories are adapted to respond to a variable habitat.

The IATTC reports monthly average oceanographic and meteorological data for the EPO, including a summary of current ENSO conditions, on a quarterly basis. La Niña conditions influenced much of the EPO from June 2010 through April 2011, with below average SSTs. La Niña conditions weakened during February through April 2011, and in May 2011 ENSO conditions transitioned to neutral, with SSTs near average across much of the equatorial Pacific Ocean. Starting in August 2011, La Niña conditions developed once again, with negative SST anomalies slightly greater than 0.5°C and, in the fourth quarter, much greater than 0.5°C across much of the eastern and central equatorial Pacific. According to the Climate Diagnostics Bulletin of the U.S. National Weather Service for December 2011, La Niña conditions were expected to continue into the Northern Hemisphere spring of 2012.

Variability on a decadal scale (*i.e.* 10 to 30 years) also affects the EPO. During the late 1970s there was a

¹ Much of the information in this section is from Fiedler, P.C. 2002. Environmental change in the eastern tropical Pacific Ocean: review of ENSO and decadal variability. Mar. Ecol. Prog. Ser. 244: 265-283.

major shift in physical and biological states in the North Pacific Ocean. This climate shift was also detected in the tropical EPO by small increases in SSTs, weakening of the trade winds, and a moderate change in surface chlorophyll levels. Some researchers have reported another major shift in the North Pacific in 1989. Climate-induced variability in the ocean has often been described in terms of “regimes,” characterized by relatively stable means and patterns in the physical and biological variables. Analyses by the IATTC staff have indicated that yellowfin tuna in the EPO have experienced regimes of lower (1975–1982) and higher (1983–2001) recruitment, and possibly intermediate (2002–2006) recruitment. The increased recruitment during 1983–2001 is thought to be due to a shift to a higher productivity regime in the Pacific Ocean. Decadal fluctuations in upwelling and water transport are simultaneous to the higher-frequency ENSO pattern, and have basin-wide effects on the SSTs and thermocline slope that are similar to those caused by ENSO, but on longer time scales.

There is evidence that the North Pacific Ocean is currently in a cool regime, while no such evidence is apparent for the equatorial Pacific.

Environmental variability in the tropical EPO is manifested differently in different regions in which tunas are caught. For example, SST anomalies in the tropical EPO warm pool (5° to 20° N, east of 120° W) have been about one-half the magnitude and several months later than those in the equatorial Pacific NIÑO3 area (5° S to 5° N, 90° to 150° W).

6. AGGREGATE INDICATORS

Recognition of the consequences of fishing for marine ecosystems has stimulated considerable research in recent years. Numerous objectives have been proposed to evaluate fishery impacts on ecosystems and to define over-fishing from an ecosystem perspective. Whereas reference points have been used primarily for single-species management of target species, applying performance measures and reference points to non-target species is believed to be a tractable first step. Current examples include incidental mortality limits for dolphins in the EPO purse-seine fishery under the AIDCP. Another area of interest is whether useful performance indicators based on ecosystem-level properties might be developed. Several ecosystem metrics or indicators, including community size structure, diversity indices, species richness and evenness, overlap indices, trophic spectra of catches, relative abundance of an indicator species or group, and numerous environmental indicators, have been proposed. Whereas there is general agreement that multiple system-level indicators should be used, there is concern over whether there is sufficient practical knowledge of the dynamics of such metrics and whether a theoretical basis for identifying precautionary or limit reference points based on ecosystem properties exists. Ecosystem-level metrics are not yet commonly used for managing fisheries.

Relationships between indices of species associations in the catch and environmental characteristics are viewed as potentially valuable information for bycatch mitigation. Preliminary work in 2007–2008, based on novel methods of ordination developed by scientists at the Institute of Statistical Mathematics in Tokyo, Japan, showed clear large-scale spatial patterns in different groupings of target and bycatch species for floating-object sets in the EPO purse-seine fishery and relationships to environmental variables, such as SST, chlorophyll-a density, and mixed layer depth. More work is needed on this or similar approaches.

Ecologically-based approaches to fisheries management place renewed emphasis on achieving accurate depictions of trophic links and biomass flows through the food web in exploited systems. The structure of the food web and the interactions among its components have a demonstrable role in determining the dynamics and productivity of ecosystems. Trophic levels (TLs) are used in food-web ecology to characterize the functional role of organisms, to facilitate estimates of energy or mass flow through communities, and for elucidating trophodynamics aspects of ecosystem functioning. A simplified food-web diagram, with approximate TLs, of the pelagic tropical EPO, is shown in Figure J-1. Toothed whales (Odontoceti, average TL 5.2), large squid predators (large bigeye tuna and swordfish, average TL 5.2), and sharks (average TL 5.0) are top-level predators. Other tunas, large piscivores, dolphins (average TL

4.8), and seabirds (average TL 4.5) occupy slightly lower TLs. Smaller epipelagic fishes (*e.g.* *Auxis* spp. and flyingfishes, average TL 3.2), cephalopods (average TL 4.4), and mesopelagic fishes (average TL 3.4) are the principal forage of many of the upper-level predators in the ecosystem. Small fishes and crustaceans prey on two zooplankton groups, and the herbivorous micro-zooplankton (TL 2) feed on the producers, phytoplankton and bacteria (TL 1).

In exploited pelagic ecosystems, fisheries that target large piscivorous fishes act as the system's apex predators. Over time, fishing can cause the overall size composition of the catch to decrease, and, in general, the TLs of smaller organisms are lower than those of larger organisms. The mean TL of the organisms taken by a fishery is a useful metric of ecosystem change and sustainability because it integrates an array of biological information about the components of the system. There has been increasing attention to analyzing the mean TL of fisheries catches and discards since a study demonstrated that, according to FAO landings statistics, the mean TL of the fishes and invertebrates landed globally had declined between 1950 and 1994, which was hypothesized by the authors of that study to be detrimental to the ecosystems. Some ecosystems, however, have changed in the other direction, from lower to higher TL communities. Given the potential utility of this approach, mean TLs were estimated for a time series of annual catches and discards by species from 1993 to 2010 for three purse-seine fishing modes and the pole-and-line fishery in the EPO. The estimates were made by applying the TL values from the EPO ecosystem model (see Section 8), weighted by the catch data by fishery and year for all model groups from the IATTC tuna, bycatch, and discard data bases. The TLs from the ecosystem model were determined by average diet estimates for all species groups. The mean TLs of the summed catches of all purse-seine and pole-and-line fisheries were fairly constant from year to year, varying by less than 0.1 TL (Figure J-2: Average PS+LP). A slight downward trend for the unassociated sets, amounting to 0.4 TL over the 18-year period, resulted from increasing proportions of skipjack and decreasing proportions of yellowfin or bigeye tunas in the catch, not from increasing catches of low trophic-level species. It is not, therefore, considered an ecologically-detrimental decline. In general, the TLs of the unassociated sets and the pole-and-line fishery were below average and those of the dolphin sets were above average for most years (Figure J-2). The TLs of the floating-object sets varied more than those of the other set types and fisheries, primarily due to the inter-annual variability in the amounts of bigeye and skipjack caught in those sets. The TLs of floating-object sets were positively related to the percentage of the total catch comprised of large bigeye and negatively related to the percentage of the catch comprised of skipjack.

Mean TLs were also estimated separately for the time series of retained and discarded catches of the purse-seine fishery each year from 1993 to 2010 (Figure J-3). The discarded catches were much less than the retained catches, and thus the TL patterns of the total (retained plus discarded) catches (Figure J-2) were determined primarily by the TLs of the retained catches (Figure J-3). The TLs of the discarded catches varied more year-to-year than those of the retained catches, due to the species diversity of the incidental catches. The considerable reduction in the mean TLs of the dolphin-set discards over the 18-year period (Figure J-3), was largely due to an increase in the proportions of discarded prey fishes (bullet and frigate tunas (*Auxis* spp.) and miscellaneous epipelagic fishes) and rays (Rajiformes, mostly manta rays, *Mobulidae*) with lower trophic levels. For unassociated sets, marked inter-annual reductions in TL were due to increased bycatches of rays (TL 3.68), which feed on plankton and other small animals that occupy low TLs, a reduction in the catches of large sharks (TL 4.93), and an increase in prey fishes (*e.g.* Clupeiformes, Nomeidae, Tetraodontiformes, and *Auxis* spp.; TL 3.19-3.86) in the bycatch. Although prey fishes were lower than 25% in unassociated sets, they reduced the average TLs of the unassociated-set discards substantially, especially when discard proportions of yellowfin tuna were low. For floating-object sets, the discards of bigeye were related to higher mean TLs.

7. ECOLOGICAL RISK ASSESSMENT

Long-term ecological sustainability is a requirement of ecosystem-based fisheries management. Fishing directly impacts the populations of not only target species, but also the species incidentally caught as

bycatch. The vulnerability to overfishing of many of the stocks incidentally caught in the EPO tuna fisheries is unknown, and biological and fisheries data are severely limited for most of those stocks. Many fisheries managers and scientists are turning to risk assessments to evaluate vulnerability to fishing. Vulnerability is defined here as the potential for the productivity of a stock to be diminished by direct and indirect fishing pressure. The IATTC staff is evaluating established methods for determining the vulnerability of data-poor, non-target species caught by the purse-seine fishery in the EPO. A version of productivity and susceptibility analysis (PSA²), used to evaluate other fisheries in recent years, considers a stock's vulnerability as a combination of its productivity and its susceptibility to the fishery. Stock productivity is the capacity of a stock to recover if it is depleted, and is a function of the species' life history traits. Stock susceptibility is the degree to which a fishery can negatively impact a stock, *i.e.* the propensity of a species to be captured by, and incur mortality from, a fishery. Productivity and susceptibility indices of a stock are determined by deriving a score ranging from 1 (low) to 3 (high) for a standardized set of attributes related to each index. The individual attribute scores are then averaged for each factor and graphically displayed on an x-y scatter plot. When scoring the attributes, the data quality associated with each attribute score was assessed, and the attributes were weighted by the data-quality score. Stocks that received a low productivity score (p) and high susceptibility score (s) were considered to be at a high risk of becoming depleted, while stocks with a high productivity score and low susceptibility score were considered to be at low risk. Vulnerability scores (v) were calculated from the p and s scores as the Euclidean distance from the origin of the x-y scatter plot and the datum point:

$$v = \sqrt{(p-3)^2 + (s-1)^2}$$

To examine the utility of productivity and susceptibility indices to assess vulnerability of incidentally-caught fishes, mammals, and turtles to overfishing in the EPO, a preliminary evaluation of three purse-seine "fisheries" in the EPO was made. The PSA was focused on 33 species (Table J-1) that comprised the majority of the biomass removed by the purse-seine vessels with carrying capacity greater than 363 metric tons during 2005-2011. Nine productivity and eight susceptibility attributes (Tables J-2 and J-3, respectively) were based on established PSA methodology², and some were modified for more consistency with the tuna fisheries in the EPO.

Information corresponding to the productivity attributes for each species was compiled from a variety of published and unpublished literature sources and EPO fisheries data (*i.e.* not adopted from previous PSAs) to better approximate the distribution of life history characteristics observed in the species found in the EPO. Scoring thresholds for productivity attributes (Table J-2) were derived by dividing the compiled data into 1/3 percentiles. Scoring criteria for the susceptibility attributes (Table J-3) were taken from the example PSA² and modified where appropriate to better fit the EPO fisheries. The scores for each index were then averaged. Scatter plots of averaged productivity and susceptibility scores for subsets of the 33 species caught by three purse-seine fisheries (on dolphins, unassociated tunas, and floating objects) are shown in Figure J-4 by group (see Table J-1 for group species composition). The scale of the x-axis on the Figure J-4 is reversed because species/stocks with a high productivity score and a low susceptibility score (*i.e.* at the origin of the plots) are considered to be the least vulnerable.

In general, some of the sharks and the giant manta ray scored the highest in overall vulnerability to overfishing (equation above). The shortfin mako shark, scalloped, great, and smooth hammerhead sharks, and bigeye and pelagic thresher sharks had vulnerability scores greater than 2.0 (*i.e.* points to the right side of the semi-circle from susceptibility 3.0 to productivity 1.0 in Figure J-4).

The IATTC staff will continue working to improve and refine the productivity and susceptibility analysis

² Patrick, W.S., P. Spencer, J. Link, J. Cope, J. Field, D. Kobayashi, P. Lawson, T. Gedamke, E. Cortés, O. Ormseth, K. Bigelow, and W. Overholz. 2010. Using productivity and susceptibility indices to assess the vulnerability of United States fish stocks to overfishing. Fish. Bull. U.S. 108: 305-322.

for the EPO during 2012.

8. ECOSYSTEM MODELING

It is clear that the different components of an ecosystem interact. Ecosystem-based fisheries management is facilitated through the development of multi-species ecosystem models that represent ecological interactions among species or guilds. Our understanding of the complex maze of connections in open-ocean ecosystems is at an early stage, and, consequently, the current ecosystem models are most useful as descriptive devices for exploring the effects of a mix of hypotheses and established connections among the ecosystem components. Ecosystem models must be compromises between simplistic representations on the one hand and unmanageable complexity on the other.

The IATTC staff has developed a model of the pelagic ecosystem in the tropical EPO (IATTC Bulletin, [Vol. 22, No. 3](#)) to explore how fishing and climate variation might affect the animals at middle and upper trophic levels. The ecosystem model has 38 components, including the principal exploited species (*e.g.* tunas), functional groups (*e.g.* sharks and flyingfishes), and sensitive species (*e.g.* sea turtles). Some taxa are further separated into size categories (*e.g.* large and small marlins). The model has finer taxonomic resolution at the upper trophic levels, but most of the system's biomass is contained in the middle and lower trophic levels. Fisheries landings and discards were estimated for five fishing "gears": pole-and-line, longline, and purse-seine sets on tunas associated with dolphins, with floating objects, and in unassociated schools. The model focuses on the pelagic regions; localized, coastal ecosystems are not adequately described by the model.

Most of the information describing inter-specific interactions in the model came from a joint IATTC-NMFS project, which included studies of the food habits of co-occurring yellowfin, skipjack, and bigeye tuna, dolphins, pelagic sharks, billfishes, dorado, wahoo, rainbow runner, and others. The impetus of the project was to contribute to the understanding of the tuna-dolphin association, and a community-level sampling design was adopted.

The ecosystem model has been used to evaluate the possible effects of variability in bottom-up forcing by the environment on the middle and upper trophic levels of the pelagic ecosystem. Predetermined time series of producer biomasses were put into the model as proxies for changes in primary production that have been documented during El Niño and La Niña events, and the dynamics of the remaining components of the ecosystem were simulated. The model was also used to evaluate the relative contributions of fishing and the environment in shaping ecosystem structure in the tropical pelagic EPO. This was done by using the model to predict which components of the ecosystem might be susceptible to top-down effects of fishing, given the apparent importance of environmental variability in structuring the ecosystem. In general, animals with relatively low turnover rates were influenced more by fishing than by the environment, and animals with relatively high turnover rates more by the environment than by fishing.

9. ACTIONS BY THE IATTC AND THE AIDCP ADDRESSING ECOSYSTEM CONSIDERATIONS

Both the IATTC convention and the AIDCP have objectives that address the incorporation of ecosystem considerations into the management of the tuna fisheries in the EPO. Actions taken in the past include:

9.1. Dolphins

- a. For many years, the impact of the fishery on the dolphin populations has been assessed, and programs to reduce or eliminate that impact have met with considerable success.
- b. The incidental mortalities of all stocks of dolphins have been limited to levels that are insignificant relative to stock sizes.

9.2. Sea turtles

- a. A data base on all sea turtle sightings, captures, and mortalities reported by observers has been compiled.

- b. In June 2003 the IATTC adopted a Recommendation on Sea Turtles, which contemplates “the development of a three-year program that could include mitigation of sea turtle bycatch, biological research on sea turtles, improvement of fishing gears, industry education and other techniques to improve sea turtle conservation.” In January 2004, the Working Group on Bycatch drew up a detailed program that includes all these elements, and urges all nations with vessels fishing for tunas in the EPO to provide the IATTC with information on interactions with sea turtles in the EPO, including both incidental and direct catches and other impacts on sea turtle populations. [Resolution C-04-07](#) on a three-year program to mitigate the impact of tuna fishing on sea turtles was adopted by the IATTC in June 2004; it includes requirements for data collection, mitigation measures, industry education, capacity building, and reporting.
- c. [Resolution C-04-05 REV 2](#), adopted by the IATTC in June 2006, contains provisions on releasing and handling of sea turtles captured in purse seines. The resolution also prohibits vessels from disposing of plastic containers and other debris at sea, and instructs the Director to study and formulate recommendations regarding the design of FADs, particularly the use of netting attached underwater to FADs.
- d. [Resolution C-07-03](#), adopted by the IATTC in June 2007, contains provisions on implementing observer programs for fisheries under the purview of the Commission that may have impacts on sea turtles and are not currently being observed. The resolution requires fishermen to foster recovery and resuscitation of comatose or inactive hard-shell sea turtles before returning them to the water. CPCs with purse-seine and longline vessels fishing for species covered by the IATTC Convention in the EPO are directed to avoid encounters with sea turtles, to reduce mortalities using a variety of techniques, and to conduct research on modifications of FAD designs and longline gear and fishing practices.
- e. In response to a request made by the Subsecretaría de Recursos Pesqueros of Ecuador, a program was established by the World Wildlife Fund, the IATTC, and the government of the United States to mitigate the incidental capture and reduce the mortality of sea turtles due to longline fishing. A key element of this program is the comparison of catch rates of tunas, billfishes, sharks, and dorado caught with J hooks to the catch rates using circle hooks. Circle hooks do not hook as many turtles as the J hooks, which are traditionally used in the longline fishery, and the chance of serious injury to the sea turtles that bite the circle hooks is reduced because the hooks are wider and they tend to hook the lower jaw, rather than the more dangerous deep hookings in the esophagus and other areas, which are more common with the J hooks. Improved procedures and instruments to release hooked and entangled sea turtles have also been disseminated to the longline fleets of the region.

By the end of 2008 the hook-exchange and observer program, which began in Ecuador in 2003, was active in Colombia, Costa Rica, Ecuador, El Salvador, Guatemala, Mexico, Nicaragua, Panama, and Peru and under development in Chile, with workshops taking place in many ports. The program in Ecuador is being carried out in partnership with the government and the Overseas Fishery Cooperation Foundation of Japan, while those in other countries are currently funded by U.S. agencies. Initial results show that, in the fisheries that target tunas, billfishes, and sharks, there was a significant reduction in the hooking rates of sea turtles with the circle hooks, and fewer hooks lodged in the esophagus or other areas detrimental to the turtles. The catch rates of the target species are, in general, similar to the catch rates with the J-hooks. An experiment was also carried out in the dorado fishery using smaller circle hooks. There were reductions in turtle hooking rates, but the reductions were not as great as for the fisheries that target tunas, billfishes, and sharks. In addition, workshops and presentations were conducted by IATTC staff members and others in all of the countries participating in the program.

9.3. Seabirds

- a. [Recommendation C-10-02](#) adopted by the IATTC in October 2010, reaffirmed the importance that IATTC Parties and cooperating non-Parties, fishing entities, and regional economic integration

organizations implement, if appropriate, the FAO International Plan of Action for Reducing the Incidental Catch of Seabirds in Longline Fisheries (“IPOA-Seabirds”). The governments listed on the Recommendation agreed to report to the IATTC on their implementation of the IPOA-Seabirds, including, as appropriate, the status of their National Plans of Action for reducing incidental catches of seabirds in longline fisheries. It was also agreed that the governments would require their longline vessels that fish for species covered by the IATTC in specific areas (specified in Annex 1 of the Recommendation) to use at least two of a set of eight mitigation measures listed. In addition, members and cooperating non-members of the IATTC were encouraged to establish national programs to place observers aboard longline vessels flying their flags or fishing in their waters, and to adopt measures aimed at ensuring that seabirds captured alive during longline fishing operations are released alive and in the best condition possible

- b. [Resolution C-11-02](#), adopted by the IATTC in July 2011, reaffirmed the importance of implementing the IPOA-Seabirds (see 9.3.a) and provides that Members and cooperating non-Members (CPCs) shall require their longline vessels of more than 20 meters length overall and that fish for species covered by the IATTC in the EPO to use at least two of the specified mitigation measures, and establishes minimum technical standards for the measures. CPCs are encouraged to work, jointly and individually, to undertake research to further develop and refine methods for mitigating seabird bycatch, and to submit to the IATTC any information derived from such efforts. Also, CPCs are encouraged to establish national programs to place observers aboard longline vessels flying their flags or fishing in their waters, for the purpose of, *inter alia*, gathering information on the interactions of seabirds with the longline fisheries.

9.4. Other species

- a. In June 2000, the IATTC adopted a resolution on live release of sharks, rays, billfishes, dorado, wahoo, and other non-target species.
- b. [Resolution C-04-05](#), adopted by the IATTC in June 2006, instructs the Director to seek funds for reduction of incidental mortality of juvenile tunas, for developing techniques and equipment to facilitate release of billfishes, sharks, and rays from the deck or the net, and to carry out experiments to estimate the survival rates of released billfishes, sharks, and rays.
- c. [Resolution C-11-10](#), adopted by the IATTC in July 2011, prohibits retaining onboard, transshipping, landing, storing, selling, or offering for sale any part or whole carcass of oceanic whitetip sharks in the fisheries covered by the Antigua Convention, and to promptly release unharmed, to the extent practicable, oceanic whitetip sharks when brought alongside the vessel.

9.5. All species

- a. Data on the bycatches of large purse-seine vessels are being collected, and governments are urged to provide bycatch information for other vessels.
- b. Data on the spatial distributions of the bycatches and the bycatch/catch ratios have been collected for analyses of policy options to reduce bycatches.
- c. Information to evaluate measures to reduce the bycatches, such as closures, effort limits, *etc.*, has been collected.
- d. Assessments of habitat preferences and the effect of environmental changes have been made.
- e. Requirements have been adopted for the CPCs to ensure that, from 1 January 2013, at least 5% of the fishing effort made by its longline vessels greater than 20 m length overall carry a scientific observer.

10. FUTURE DEVELOPMENTS

It is unlikely, in the near future at least, that there will be stock assessments for most of the bycatch species. In lieu of formal assessments, it may be possible to develop indices to assess trends in the status

of these species. The IATTC staff's experience with dolphins suggests that the task is not trivial if relatively high precision is required.

An array of measures has been proposed to study changes in ecosystem properties. This could include studies of average trophic level, size spectra, dominance, diversity, *etc.*, to describe the ecosystem in an aggregate way.

The distributions of the fisheries for tunas and billfishes in the EPO are such that several regions with different ecological characteristics may be included. Within them, water masses, oceanographic or topographic features, influences from the continent, *etc.*, may generate heterogeneity that affects the distributions of the different species and their relative abundances in the catches. It would be desirable to increase our understanding of these ecological strata so that they can be used in our analyses.

It is important to continue studies of the ecosystems in the EPO. The power to resolve issues related to fisheries and the ecosystem will increase with the number of habitat variables, taxa, and trophic levels studied and with longer time series of data.

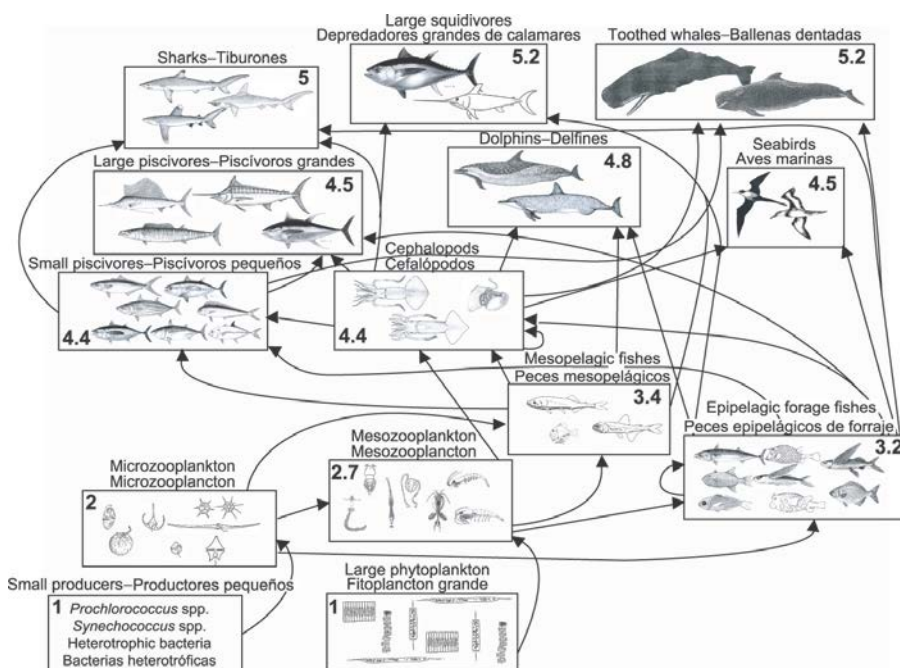


FIGURE J-1. Simplified food-web diagram of the pelagic ecosystem in the tropical EPO. The numbers inside the boxes indicate the approximate trophic level of each group.

FIGURA J-1. Diagrama simplificado de la red trófica del ecosistema pelágico en el OPO tropical. Los números en los cuadros indican el nivel trófico aproximado de cada grupo.

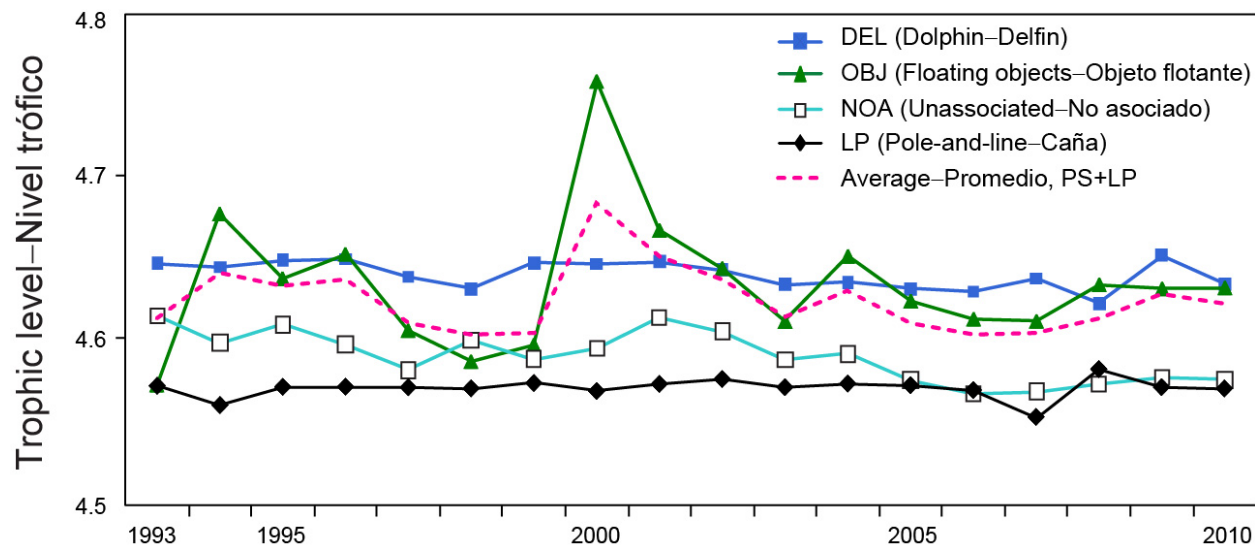


FIGURE J-2. Yearly mean trophic level estimates of the catches (retained and discarded) by the purse-seine and pole-and-line fisheries in the tropical EPO, 1993-2010. .

FIGURA J-2. Estimaciones anuales del nivel trófico de las capturas (retenidas y descartadas) de las pesquerías cerquera y cañera en el OPO tropical, 1993-2010.

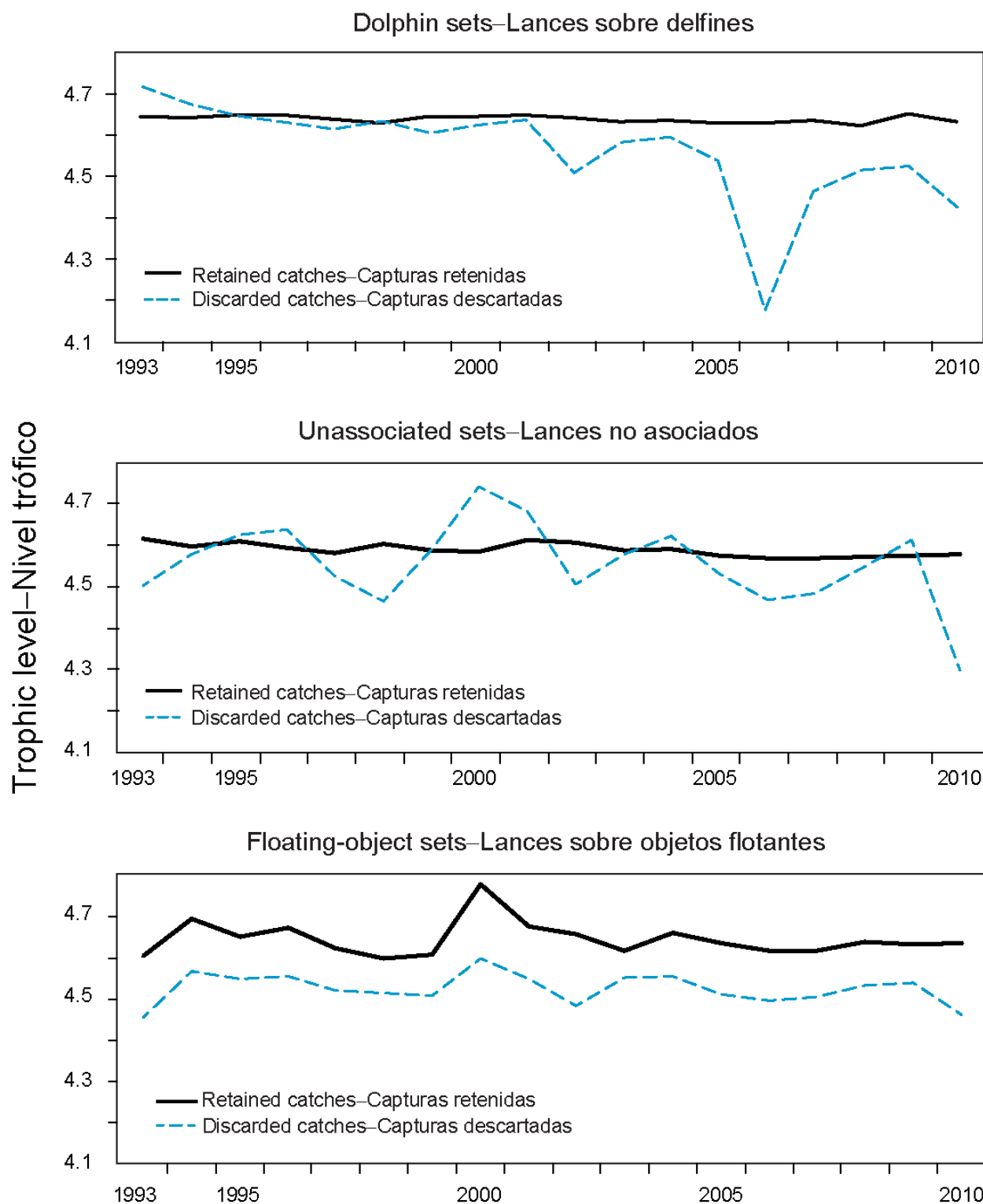


FIGURE J-3. Trophic level estimates of the retained catches and discarded catches by purse-seine fishing modes in the tropical EPO, 1993-2010.

FIGURA J-3. Estimaciones del nivel trófico de las capturas retenidas y descartadas por modalidad de pesca cerquera en el OPO tropical, 1993-2010.

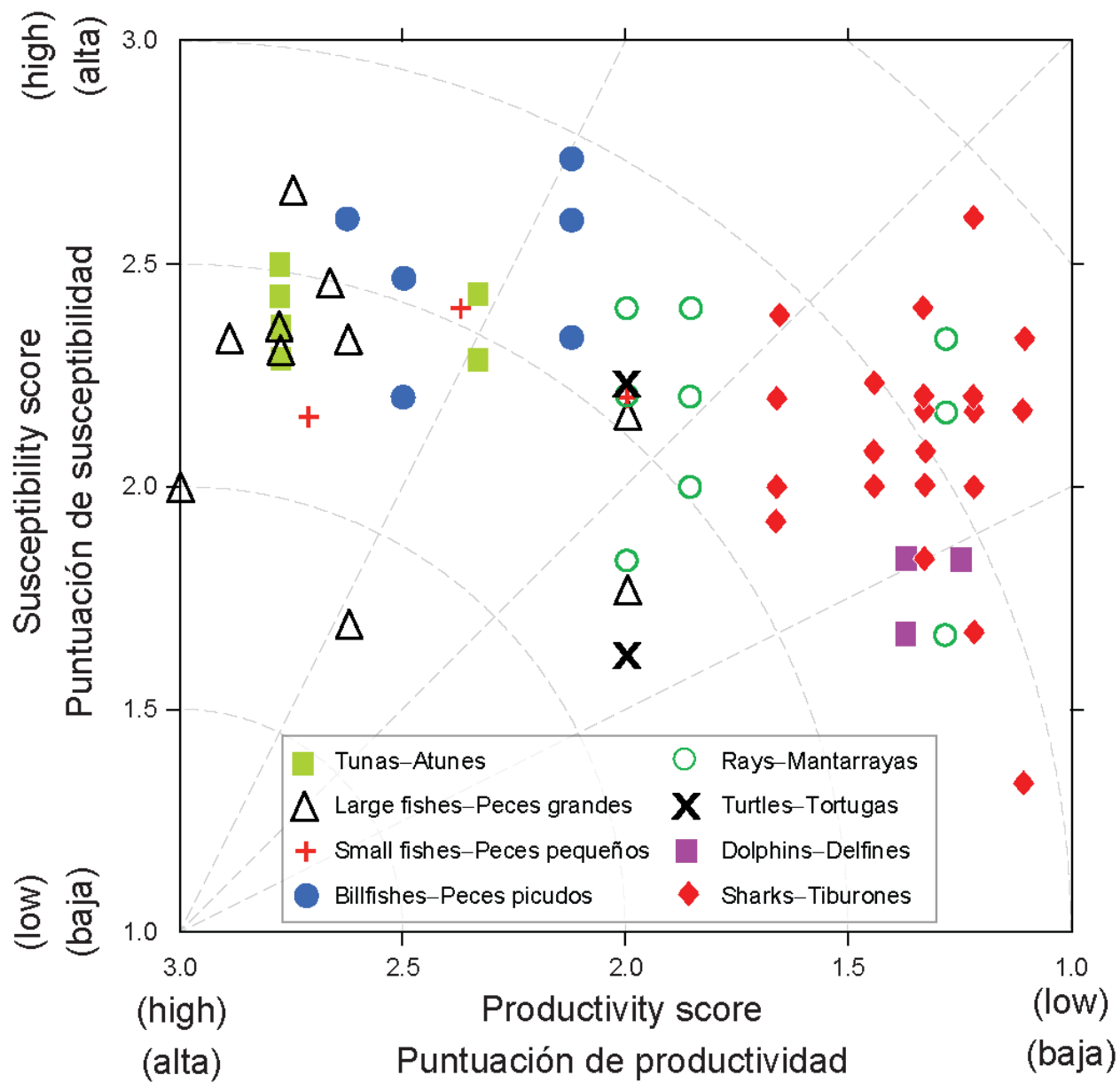


FIGURE J-4. Productivity and susceptibility x-y plot for target and bycatch species caught by the purse-seine fishery of the EPO during 2005-2011. Group species composition is shown in Table J-1.

FIGURA J-4. Gráfica x-y de productividad y susceptibilidad de especies objetivo y de captura incidental capturadas por la pesquería de cerco del OPO durante 2005-2011. En la Tabla J-1 se presenta la composición por especies de los grupos.

TABLE J-1. Annual bycatch per set (in kilograms) averaged over 2005-2011 for purse-seine vessels with carrying capacity greater than 363 metric tons, by three set methods. "n/a" indicates the tuna species that were included in the PSA analysis, but no values were given because tunas are not bycatches of these fisheries. Only species with a catch value (or n/a) were used in the PSA for the corresponding set type.

Group	Species		Bycatch (kg) per set		
	Common name	Scientific name	DEL	NOA	OBJ
Tunas	Yellowfin tuna	<i>Thunnus albacares</i>	n/a	n/a	n/a
	Bigeye tuna	<i>Thunnus obesus</i>	--	n/a	n/a
	Skipjack tuna	<i>Katsuwonus pelamis</i>	--	n/a	n/a
Billfishes	Black marlin	<i>Makaira indica</i>	1.0	1.1	10.7
	Blue marlin	<i>Makaira nigricans</i> ²	1.1	1.8	23.3
	Striped marlin	<i>Kajikia audax</i>	1.1	1.6	2.3
	Indo-Pacific sailfish	<i>Istiophorus platypterus</i>	2.3	1.4	--
Dolphins	Spotted dolphin	<i>Stenella attenuata</i>	2.2	--	--
	Spinner dolphin	<i>Stenella longirostris</i>	2.3	--	--
	Common dolphin	<i>Delphinus delphis</i>	1.6	--	--
Large Fishes	Common dolphinfish	<i>Coryphaena hippurus</i>	--	3.2	169.6
	Pompano dolphinfish	<i>Coryphaena equiselis</i>	--	--	10.8
	Wahoo	<i>Acanthocybium solandri</i>	--	--	59.3
	Rainbow runner	<i>Elagatis bipinnulata</i>	--	--	9.5
	Bigeye trevally	<i>Caranx sexfasciatus</i>	--	4.2	--
	Yellowtail amberjack	<i>Seriola lalandi</i>	--	3.5	1.8
	Ocean sunfish	<i>Mola mola</i>	--	5.0	1.4
Rays	Giant manta	<i>Manta birostris</i>	2.6	2.9	0.5
	Spinetail manta	<i>Mobula japonica</i> ⁴	1.3	2.7	0.3
	Smoothtail manta	<i>Mobula thurstoni</i> ⁴	0.3	1.4	0.1
Sharks	Silky shark	<i>Carcharhinus falciformis</i> ⁴	4.1	9.1	55.8
	Oceanic whitetip shark	<i>Carcharhinus longimanus</i> ²	<0.1	--	0.4
	Bigeye thresher shark	<i>Alopias superciliosus</i> ²	0.3	0.6	0.1
	Pelagic thresher shark	<i>Alopias pelagicus</i> ²	0.3	0.6	0.2
	Common thresher shark	<i>Alopias vulpinus</i> ²	<0.1	0.2	<0.1
	Scalloped hammerhead shark	<i>Sphyrna lewini</i> ³	0.1	0.7	2.3
	Great hammerhead	<i>Sphyrna mokarran</i> ³	<0.1	<0.1	0.2
	Smooth hammerhead shark	<i>Sphyrna zygaena</i> ²	0.1	0.3	4.5
	Shortfin mako shark	<i>Isurus oxyrinchus</i> ²	<0.1	0.3	0.2
Small Fishes	Ocean triggerfish	<i>Canthidermis maculatus</i>	--	--	7.7
	Bluestriped chub	<i>Sectator ocyurus</i>	--	--	2.0
	Scrawled filefish	<i>Aluterus scriptus</i> ¹	--	--	0.2
Turtles	Olive Ridley turtle	<i>Lepidochelys olivacea</i> ²	<0.1	<0.1	<0.1

¹ Included due to numerical importance in bycatch (≥ 1 individual per set)

² "Vulnerable" status, IUCN Red List of Threatened Species

³ "Endangered" status, IUCN Red List of Threatened Species

⁴ "Near threatened" status, IUCN Red List of Threatened Species

TABLA J-1. Captura incidental anual por lance (en kilogramos) promediado durante 2005-2011 por buques cerqueros de más de 363 t de capacidad de acarreo, por tres métodos de lance. "n/a" indica las especies de atunes que fueron incluidas en el análisis de APS, pero no se presentan valores porque los atunes no son captura incidental de estas pesquerías. Solamente las especies con un valor de captura (o n/a) fueron usados en el APS para el tipo de lance correspondiente.

Grupo	Especie		Captura incidental (kg) por lance		
	Nombre común	Nombre científico	DEL	NOA	OBJ
Atunes	Atún aleta amarilla	<i>Thunnus albacares</i>	n/a	n/a	n/a
	Atún patudo	<i>Thunnus obesus</i>	--	n/a	n/a
	Atún barrilete	<i>Katsuwonus pelamis</i>	--	n/a	n/a
Peces picudos	Marlín negro	<i>Makaira indica</i>	1.0	1.1	10.7
	Marlín azul	<i>Makaira nigricans</i> ²	1.1	1.8	23.3
	Marlín rayado	<i>Kajikia audax</i>	1.1	1.6	2.3
	Pez vela indopacífico	<i>Istiophorus platypterus</i>	2.3	1.4	--
Delfines	Delfín manchado	<i>Stenella attenuata</i>	2.2	--	--
	Delfín tornillo	<i>Stenella longirostris</i>	2.3	--	--
	Delfín común	<i>Delphinus delphis</i>	1.6	--	--
Peces grandes	Dorado	<i>Coryphaena hippurus</i>	--	3.2	169.6
	Dorado pompano	<i>Coryphaena equiselis</i>	--	--	10.8
	Peto	<i>Acanthocybium solandri</i>	--	--	59.3
	Salmón	<i>Elagatis bipinnulata</i>	--	--	9.5
	Jurel voráz	<i>Caranx sexfasciatus</i>	--	4.2	--
	Medregal rabo amarillo	<i>Seriola lalandi</i>	--	3.5	1.8
	Pez luna	<i>Mola mola</i>	--	5.0	1.4
Rayas		<i>Manta birostris</i>	2.6	2.9	0.5
		<i>Mobula japonica</i> ⁴	1.3	2.7	0.3
		<i>Mobula thurstoni</i> ⁴	0.3	1.4	0.1
Tiburones	Tiburón sedoso	<i>Carcharhinus falciformis</i> ⁴	4.1	9.1	55.8
	Tiburón oceánico punta blanca	<i>Carcharhinus longimanus</i> ²	<0.1	--	0.4
	Zorro ojón	<i>Alopias superciliosus</i> ²	0.3	0.6	0.1
	Zorro pelágico	<i>Alopias pelagicus</i> ²	0.3	0.6	0.2
	Zorro	<i>Alopias vulpinus</i> ²	<0.1	0.2	<0.1
	Cornuda común	<i>Sphyrna lewini</i> ³	0.1	0.7	2.3
	Cornuda gigante	<i>Sphyrna mokarran</i> ³	<0.1	<0.1	0.2
	Cornuda cruz	<i>Sphyrna zygaena</i> ²	0.1	0.3	4.5
	Marrajo dientuso	<i>Isurus oxyrinchus</i> ²	<0.1	0.3	0.2
Peces pequeños	Pez ballesta oceánico	<i>Canthidermis maculatus</i>	--	--	7.7
	Chopa	<i>Sectator ocyurus</i>	--	--	2.0
	Lija trompa	<i>Aluterus scriptus</i> ¹	--	--	0.2
Tortugas	Tortuga golfinha	<i>Lepidochelys olivacea</i> ²	<0.1	<0.1	<0.1

¹ Incluido debido a su importancia numérica en la captura incidental (≥ 1 individuo por lance)

² Estatus « vulnerable », Lista Roja de Especies Amenazadas de la IUCN

³ Estatus « en peligro », Lista Roja de Especies Amenazadas de la IUCN

⁴ Estatus « casi amenazado », Lista Roja de Especies Amenazadas de la IUCN

TABLE J-2. Productivity attributes and scoring thresholds used in the IATTC PSA.**TABLA J-2.** Atributos de productividad y umbrales de puntuación usados en el APS de la CIAT.

Productivity attribute Atributo de productividad	Ranking – Clasificación		
	Low – Bajo (1)	Moderate – Moderado (2)	High – Alto (3)
Intrinsic rate of population growth (r)			
Tasa intrínseca de crecimiento de la población (r)	≤ 0.1	$> 0.1, \leq 1.3$	> 1.3
Maximum age (years)			
Edad máxima (años)	≥ 20	$> 11, < 20$	≤ 11
Maximum size (cm)			
Talla máxima (cm)	> 350	$> 200, \leq 350$	≤ 200
von Bertalanffy growth coefficient (k)			
Coeficiente de crecimiento de von Bertalanffy (k)	< 0.095	$0.095 – 0.21$	> 0.21
Natural mortality (M)			
Mortalidad natural (M)	< 0.25	$0.25 – 0.48$	> 0.48
Fecundity (measured)			
Fecundidad (medida)	< 10	$10 – 200,000$	$> 200,000$
Breeding strategy			
Estrategia de reproducción	≥ 4	1 to-a 3	0
Age at maturity (years)			
Edad de madurez (años)	≥ 7.0	$\geq 2.7, < 7.0$	< 2.7
Mean trophic level			
Nivel trófico medio	> 5.1	$4.5 – 5.1$	< 4.5

TABLE J-3. Susceptibility attributes and scoring thresholds used in the IATTC PSA.

Susceptibility attribute	Ranking		
	Low (1)	Moderate (2)	High (3)
Management strategy	Management and proactive accountability measures in place	Stocks specifically named in conservation resolutions; closely monitored	No management measures; stocks closely monitored
Areal overlap - geographical concentration index	Greatest bycatches outside areas with the most sets <u>and</u> stock concentrated (or rare), OR Greatest bycatches in areas with the most sets <u>and</u> stock not concentrated (or not rare)	Greatest bycatches outside areas with the most sets <u>and</u> stock concentrated (or rare), OR Greatest bycatches in areas with the most sets <u>and</u> stock not concentrated (or not rare)	Greatest bycatches in areas with the most sets <u>and</u> stock concentrated (or rare)
Vertical overlap with gear	< 25% of stock occurs at the depths fished	Between 25% and 50% of the stock occurs at the depths fished	> 50% of the stock occurs in the depths fished
Seasonal migrations	Seasonal migrations decrease overlap with the fishery	Seasonal migrations do not substantially affect the overlap with the fishery	Seasonal migrations increase overlap with the fishery
Schooling/Aggregation and other behavioral responses to gear	Behavioral responses decrease the catchability of the gear	Behavioral responses do not substantially affect the catchability of the gear	Behavioral responses increase the catchability of the gear
Potential survival after capture and release under current fishing practices	Probability of survival > 67%	33% < probability of survival ≤ 67%	Probability of survival < 33%
Desirability/value of catch (percent retention)	Stock is not highly valued or desired by the fishery (< 33% retention)	Stock is moderately valued or desired by the fishery (33-66% retention)	Stock is highly valued or desired by the fishery (> 66% retention)
Catch trends	Catch-per-set increased over time	No catch-per-set trend over time	Catch-per-set decreased over time

TABLA J-3. Atributos de susceptibilidad y umbrales de puntuación usados en el APS de la CIAT.

Atributo de susceptibilidad	Clasificación		
	Baja (1)	Moderada (2)	Alta (3)
Estrategia de ordenación	Medidas de ordenación y responsabilidad proactiva en vigor	Poblaciones nombradas específicamente en resoluciones de conservación; estrechamente vigiladas	Sin medidas de ordenación; poblaciones estrechamente vigiladas
Índice traslapo zonal - concentración geográfica	Capturas incidentales máximas fuera de zonas con el mayor número de lances y población no concentrada (o común)	Capturas incidentales máximas fuera de zonas con el mayor número de lances y población no concentrada (o común), O Capturas incidentales máximas en zonas con el mayor número de lances y población no concentrada (o común)	Capturas incidentales máximas fuera de zonas con el mayor número de lances y población concentrada (o poco común)
Traslapo vertical con el arte	< 25% de la población ocurre en las profundidades pescadas	Entre 25% y 50% de la población ocurre en las profundidades pescadas	> 50% de la población ocurre en las profundidades pescadas
Migraciones estacionales	Migraciones estacionales reducen el traslapo con la pesquería	Migraciones estacionales no afectan sustancialmente el traslapo con la pesquería	Migraciones estacionales incrementan el traslapo con la pesquería
Agrupación/agregación y otras reacciones comportamentales al arte	Reacciones comportamentales reducen la capturabilidad del arte	Reacciones comportamentales no afectan sustancialmente la capturabilidad del arte	Reacciones comportamentales incrementan la capturabilidad del arte
Supervivencia potencial después de la captura y liberación con las prácticas de pesca actuales	Probabilidad de supervivencia > 67%	33% < probabilidad de supervivencia ≤ 67%	Probabilidad de supervivencia < 33%
Deseabilidad/valor de la captura (porcentaje de retención)	Población no es altamente valorada o deseada por la pesquería (< 33% retención)	Población es moderadamente valorada o deseada por la pesquería (33-66% retención)	Población es altamente valorada o deseada por la pesquería (> 66% retención)
Tendencias de la captura	Captura por lance aumenta con el tiempo	Ninguna tendencia de la captura por lance con el tiempo	Captura por lance disminuye con el tiempo

J. CONSIDERACIONES ECOSISTÉMICAS

1.	Introducción	144
2.	Impacto de las capturas	145
3.	Otros componentes del ecosistema.....	150
4.	Interacciones tróficas.....	152
5.	Ambiente físico	154
6.	Indicadores agregados	155
7.	Evaluación de riesgos ecológicos	157
8.	Modelado de ecosistemas.....	157
9.	Acciones de la CIAT y el APICD relativas a consideraciones de ecosistema	159
10.	Acontecimientos futuros.....	161

1. INTRODUCCIÓN

El Código de Conducta para la Pesca Responsable de FAO dispone que la ordenación de pesquerías debiera asegurar la conservación de no sólo las especies objetivo, sino también de las otras especies que pertenecen al mismo ecosistema. En 2001, la Declaración de Reikiavik sobre la Pesca Responsable en el Ecosistema elaboró esta norma con un compromiso de incorporar un enfoque de ecosistema en la ordenación de las pesquerías.

La CIAT ha tomado cuestiones de ecosistema en cuenta en muchas de sus decisiones, y el presente informe sobre el ecosistema pelágico de alta mar del Océano Pacífico tropical y subtropical, que constituye el hábitat de los atunes y peces picudos, ha estado disponible desde 2003 para ayudar en la toma de decisiones de ordenación. Esta sección brinda un panorama coherente, resumiendo los conocimientos del impacto directo de la pesca sobre varias especies y grupos de especies en el ecosistema, y presenta los conocimientos del medio ambiente y de otras especies que no son afectadas directamente por la pesca, pero podrían ser afectadas indirectamente mediante interacciones depredador-preso en la red alimenticia.

Este análisis no sugiere objetivos para la incorporación de consideraciones de ecosistema en la ordenación de las pesquerías de atunes o peces picudos ni nuevas medidas de ordenación. Su propósito principal es más bien brindar a la Comisión la oportunidad de asegurar que dichas consideraciones formen parte de su agenda.

Es importante tener en cuenta que la perspectiva que tenemos del ecosistema se basa en el pasado reciente; disponemos de muy poca información sobre el ecosistema antes de que comenzara la explotación. Además, el medio ambiente está sujeto a cambios en varias escalas temporales, entre ellas las conocidas fluctuaciones de El Niño y cambios a mayor plazo recientemente reconocidos, tales como la Oscilación Decadal del Pacífico y otros cambios climáticos.

Además de reportar las capturas de las especies principales de atunes y peces picudos, el personal reporta las capturas incidentales de especies no objetivo que son o retenidas o descartadas. En la presente sección, se presentan datos sobre dichas capturas incidentales en el contexto del efecto de la pesca sobre el ecosistema. Desgraciadamente, mientras que se cuenta con información relativamente buena para los atunes y peces picudos, no se dispone de información para la pesquería entera. La información es completa para los buques cerqueros grandes (de más de 363 toneladas de capacidad de acarreo) que llevan observadores bajo el Acuerdo sobre el Programa Internacional para la Conservación de los Delfines (APICD), y se registra información sobre capturas retenidas también para otros buques cerqueros, barcos cañeros, y gran parte de la flota palangrera. Se dispone de cierta información sobre tiburones retenidos por partes de la flota palangrera. Se reporta información especies no objetivo retenidas y descartadas en el caso de los cerqueros grandes, y se cuenta con esta información para unos pocos viajes por buques de menor tamaño. Se dispone de poca información sobre las capturas incidentales y descartes de otros buques pesqueros.

2. IMPACTO DE LAS CAPTURAS

2.1. Evaluaciones de especies individuales

En otros documentos preparados para esta reunión se presenta información sobre el efecto de la pesca atunera sobre las poblaciones de especies individuales en el Océano Pacífico oriental (OPO) y evaluaciones detalladas. Una perspectiva ecosistémica requiere un enfoque en cómo la pesca puede haber cambiado varios componentes del ecosistema. Las secciones 2.2 y 2.3 del presente informe presentan información sobre la biomasa actual de cada población considerada comparada con lo que hubiera sido en ausencia de la pesca. No hay medidas directas del tamaño de la población antes de que comenzara la pesca y, en todo caso, las poblaciones hubiesen variado entre años. Además, el tamaño de la población sin explotación podría ser afectado por la abundancia de los depredadores y las presas, la cual no es incluida en los análisis de las especies individuales.

2.2. Atunes

En las secciones B a D del presente informe se presenta información sobre los efectos de la pesca sobre los atunes aleta amarilla, barrilete, y patudo, y en las secciones E y F se tratan los atunes aleta azul del Pacífico y albacora, respectivamente.

En los Documentos SAC-03-05, -06, y -07 se presenta información sobre los efectos de las pesquerías de atunes aleta amarilla, barrilete, y patudo, y en las secciones E y F se del [Informe de la CIAT de la situación de la pesquería 9](#) se tratan los atunes aleta azul del Pacífico y albacora, respectivamente.

2.3. Peces picudos

En las secciones G a I del [Informe de la CIAT de la situación de la pesquería 9](#) se presenta información sobre los efectos de la pesca atunera sobre el pez espada, el marlín azul, y el marlín rayado. No se tratan otros peces picudos en la presente reunión.

2.3.1. Marlín negro, pez vela, y marlín trompa corta

No se han realizado recientemente evaluaciones de las poblaciones de estas especies, pero existen ciertos datos, publicados conjuntamente por científicos del Instituto Nacional de Investigación de Pesquerías de Ultramar (NRIFSF) del Japón y la CIAT en la serie de Boletines de la CIAT, que indican tendencias en las capturas, el esfuerzo, y la captura por unidad de esfuerzo (CPUE).

2.4. Resumen

En las Tablas A-2a y A-2b del documento SAC-03-03 se presentan las estimaciones preliminares de las capturas (incluyendo descartes de la pesca de cerco), en toneladas, de atunes, bonitos, y peces picudos en el OPO durante 2011.

2.5. Mamíferos marinos

En el OPO, se encuentran frecuentemente mamíferos marinos, especialmente delfines manchados (*Stenella attenuata*), tornillo (*S. longirostris*), y comunes (*Delphinus delphis*), asociados con atunes aleta amarilla de entre unos 10 y 40 kg. Los pescadores con red de cerco descubrieron que podían lograr las capturas máximas de aleta amarilla en el OPO si cercaran manadas de delfines asociadas con atunes, y luego liberaran los delfines sin dejar al pescado escapar. La mortalidad incidental de delfines en esta operación fue alta en los primeros años de la pesquería, y las poblaciones de delfines fueron reducidas de sus niveles sin explotación durante las décadas de 1960 y 1970. A partir de fines de la década de los 1980 la mortalidad incidental disminuyó precipitadamente, y ahora hay evidencias de una recuperación de las poblaciones. En la Tabla 1 se detallan las estimaciones preliminares de la mortalidad de delfines ocasionada por la pesca en 2011.

Los estudios de la asociación de atunes con delfines forman un componente importante del enfoque a largo plazo del personal para comprender las interacciones clave en el ecosistema. El grado al cual los

atunes aleta amarilla y los delfines compiten por recursos, o si uno u otro se beneficia de la interacción, por qué los atunes se encuentran con mayor frecuencia asociados a delfines manchados, y por qué las especies se asocian más fuertemente en el Pacífico oriental tropical, constituyen información crítica, en vista de la gran biomasa de ambos grupos, y su altas tasas de consumo de presas. Se realizaron tres estudios para tratar estas hipótesis: un estudio de rastreo simultáneo de delfines manchados y atunes aleta amarilla, un estudio de interacciones tróficas que compara sus

TABLA 1. Mortalidad de delfines ocasionada por la pesca en 2011.

Especie y población	Mortalidad incidental	
	número	toneladas
Delfín manchado de altamar		
Nororiental	172	11
Occidental/sureño	124	8
Delfín tornillo		
Oriental	467	21
Panza blanca	139	8
Delfín común		
Norteño	35	2
Central	12	0.9
Sureño	9	0.6
Otros mamíferos*	28	2
Total	986	54

**"Otros mamíferos" incluye las siguientes especies y poblaciones, con las mortalidades observadas correspondientes: delfín tornillo centroamericano (*Stenella longirostris centroamericana*), 10 (0.4 t); delfín listado, 4 (0.3 t); tonina (*Tursiops truncatus*) 9 (0.8 t); delfines no identificados, 5 (0.3 t).

presas y patrones diarios de alimentación, y un estudio espacial de las características oceanográficas correlacionadas con la asociación atún-delfín. Estos estudios demostraron que la asociación no es ni permanente ni obligatoria, y que los beneficios de la asociación no se basan en ventajas alimenticias. Apoyan la hipótesis que una especie, o ambas, reducen el riesgo de depredación mediante la formación de grupos grandes de especies mixtas. La asociación es más prevalente donde el hábitat de los atunes se encuentra comprimido a las aguas superficiales someras y cálidas de la capa de mezcla por la zona de oxígeno mínimo, una capa gruesa de aguas pobres en oxígeno debajo de la capa de mezcla. La asociación ha sido observada en otros océanos con condiciones oceanográficas similares, pero es más prevalente y consistente en el Pacífico oriental tropical, donde la zona de oxígeno mínimo es la más hipóxica y extensa del mundo.

Durante agosto-diciembre de 2006, científicos del Servicio Nacional de Pesquerías Marinas (NMFS) de EE.UU. realizaron un crucero de investigación como parte del proyecto STAR (*Stenella Abundance Research*). La meta principal de este estudio plurianual es investigar tendencias en el tamaño de las poblaciones de delfines que son capturadas incidentalmente en la pesquería de cerco en el OPO. Se tomaron datos de los estudios de transectos lineales a gran escala sobre la distribución y el tamaño y composición de manadas de cetáceos para estimar la abundancia de los delfines. Los datos oceanográficos son recolectados para caracterizar el hábitat y su variación a lo largo del tiempo. Los datos de la distribución y abundancia de los peces presa y los calamares, las aves marinas, y las tortugas marinas caracterizan todavía más el ecosistema en el que viven estos delfines. El estudio de 2006 cubrió las mismas zonas y usó los mismos métodos que los estudios anteriores. Los datos del estudio de 2006 produjeron nuevas estimaciones de abundancia, y se analizaron de nuevo los datos previos para producir estimaciones revisadas, para 10 especies y/o poblaciones de delfines en el OPO entre 1986 y 2006. Las estimaciones de 2006 para el delfín manchado nordeste de altamar fueron algo mayores, y para el delfín tornillo oriental sustancialmente mayores, que aquéllas de los estudios previos en 1998-2000. Las estimaciones de incremento de estas dos poblaciones mermadas, y del delfín manchado costero mermado, podrían indicar que se están recuperando, pero la población del delfín manchado de altamar occidental-sureño podría estar disminuyendo.

Las estimaciones de abundancia de 1998-2006 de los delfines manchado costero, tornillo panza blanca, y de dientes rugosos (*Steno bredanensis*) mostraron una tendencia creciente, mientras que aquéllas de los delfines listado (*S. coeruleoalba*), común de hocico corto (*Delphinus delphis*), tonina (*Tursiops truncatus*), y de Risso (*Grampus griseus*), fueron generalmente similares a estimaciones previas obtenidas con los mismos métodos.

Científicos del NMFS han calculado estimaciones de la abundancia de varias otras especies de mamíferos marinos a partir de datos de cruceros de investigación realizados entre 1986 y 2000 en el OPO. Los cruceros STAR de 2003 y 2006 proveerán más estimaciones de la abundancia de estos mamíferos. De las especies no afectadas significativamente por la pesquería atunera, las ballenas piloto de aletas cortas (*Globicephala macrorhynchus*) y tres poblaciones de delfines comunes presentaron tendencias crecientes en abundancia durante esos 15 años. La mayor abundancia aparente de estos mamíferos podría haber causado una disminución en la capacidad de carga del OPO para otros depredadores que comparten su dieta, entre ellos el delfín manchado. La abundancia estimada de la ballena de Bryde (*Balaenoptera edeni*) también aumentó, pero coinciden muy poco las dietas de estas ballenas barbadas y de los depredadores de alto nivel afectados por las pesquerías. La abundancia estimada del delfín listado (*Stenella coeruleoalba*) no demostró ninguna tendencia clara con el tiempo, y las estimaciones de abundancia del cachalote (*Physeter macrocephalus*) tendieron a disminuir durante 1986-2000.

Ciertos mamíferos marinos son afectados adversamente por la reducción en la disponibilidad de alimento durante eventos de El Niño, especialmente en ecosistemas costeros. Ejemplos documentados incluyen delfines y pinnípedos frente a Perú, pinnípedos en las Islas Galápagos, y ballenas de Bryde frente a Perú. Las ballenas grandes pueden desplazarse en reacción a cambios en la productividad y distribución de sus presas.

2.6. Tortugas marinas

Las tortugas marinas son capturadas en los palangres cuando toman el cebo en los anzuelos, se traban al dar accidentalmente con un anzuelo, o se enredan en una línea. Hay pocas estimaciones de la mortalidad incidental de tortugas causada por la pesca con palangre o red de trasmalle. En la [cuarta reunión del Grupo de Trabajo sobre Captura Incidental de la CIAT](#) en enero de 2004 se informó que la captura incidental de tortugas en la pesquería palangrera japonesa en el OPO en 2000 consistió de 166 tortugas laúd (*Dermochelys coriacea*), de las cuales 25 estaban muertas, y unas 6,000 tortugas de todas las otras especies, principalmente golfinas (*Lepidochelys olivacea*), de las cuales aproximadamente la mitad estaba muerta. En la [sexta reunión del Grupo de Trabajo en febrero de 2007](#), se informó que la flota española de palangre de superficie que pesca pez espada en el OPO tuvo en promedio 65 interacciones y 8 mortalidades por millón de anzuelos durante 1990-2005. Es probable que las tasas de mortalidad sean similares para otras flotas que pescan atún patudo, y posiblemente mayores que aquéllas flotas que pescan albacora y pez espada a menor profundidad. Unos 23 millones de los 200 millones de anzuelos calados cada año en el OPO por buques palangreros de aguas lejanas están dirigidos hacia el pez espada en palangres poco profundos.

Además, hay una flota considerable de buques palangreros artesanales que pescan atunes, peces picudos, tiburones y dorado (*Coryphaena spp.*) en el OPO. Desde 2005, miembros del personal de la CIAT y de otras organizaciones, junto con los gobiernos de varias naciones costeras de Latinoamérica, han participado en un programa para reducir las tasas de enganche y la mortalidad de tortugas marinas en estas pesquerías. En la sección 8.2 se presenta información adicional sobre este programa.

Las tortugas marinas son capturadas ocasionalmente en redes de cerco en la pesquería atunera del OPO. La mayoría de las interacciones ocurren cuando las tortugas se asocian con objetos flotantes, y son capturados cuando el objeto es cercado; en otros casos, una red calada alrededor de un cardumen de atunes no asociados, o un cardumen asociado con delfines, capture tortugas marinas que están presentes. La tortuga golfinas es, por mucho, la especie de tortuga marina capturada con mayor frecuencia por buques cerqueros; la siguen la tortuga verde (*Chelonia mydas*), y, muy ocasionalmente, las tortugas caguama

(*Caretta caretta*) y carey (*Eretmochelys imbricata*). Desde 1990, cuando los observadores de la CIAT comenzaron a registrar esta información, hasta 2011, inclusive, se ha registrado mortalidad de solamente tres tortugas laúd. Algunas tortugas no son identificadas por estar demasiado lejos del buque o porque no había suficiente luz para permitir al observador identificarla. A veces las tortugas marinas se enredan en malla debajo de dispositivos agregadores de peces (plantados) y se ahogan. En unos pocos casos, son sacadas del agua por el aparejo de pesca mientras están enmalladas, y pueden caer de la red de alturas considerables y ser heridas, o ser pasadas por la pasteca hidráulica. En la Tabla 2 se presentan las estimaciones

preliminares de la mortalidad de tortugas, en número, causada por buques cerqueros grandes durante 2011, por tipo de lance (sobre objetos flotantes (OBJ), atunes no asociados (NOA), y delfines (DEL))..

La pesca atunera de cerco es probablemente una

TABLA 2. Mortalidad de tortugas ocasionada por buques cerqueros grandes en 2011

	Tipo de lance			Total
	OBJ	NOA	DEL	
Golfina	8	0	1	9
Verde del Pacífico oriental	0	2	0	2
Caguama	0	0	0	0
Carey	0	0	0	0
Laúd	0	0	0	0
No identificada	0	1	0	1
Total	8	3	1	12

causa de mortalidad de tortugas marinas menos importante que otros tipos de actividad humana, entre ellas el aprovechamiento de huevos y adultos, utilización de playas, contaminación, enmalle en detritos en el mar, ingestión de los mismos, y los impactos de otras pesquerías.

Las poblaciones de tortugas golfina, verde, y caguama están designadas como en peligro, y las de carey y laúd como en peligro crítico, por la Unión Mundial para la Conservación de la Naturaleza (UICN).

2.7. Tiburones y otros peces grandes

Los tiburones y otros peces grandes son capturados por buques cerqueros y palangreros. El tiburón jaquetón o sedoso (*Carcharhinus falciformis*) es la especie de tiburón capturada con mayor frecuencia en la pesquería de cerco, seguido por el tiburón oceánico o punta blanca (*C. longimanus*). Las pesquerías palangreras capturan también de tiburones jaquetón, y es necesario un análisis de la pesca palangrera y cerquera en el Pacífico entero para estimar el impacto de la pesca sobre la población. Los índices estimados de abundancia relativa de tiburones jaquetón grandes, basadas en datos de lances cerqueros sobre objetos flotantes, señalan tendencias decrecientes para los tiburones grandes (>150 cm de talla total) y medianos (90-150 cm de talla total) durante 1994-2004, y entre 2005 y 2009 permanecieron relativamente constantes en el caso de los tiburones grandes y aumentaron ligeramente en el caso de los medianos. Las tendencias fueron similares en los datos no estandarizados de captura incidental por lances en los dos otros tipos de lance cerquero (no se dispone todavía de datos estandarizados). Las capturas incidentales por lance medias no estandarizadas de tiburones oceánicos también demostraron tendencias descendentes para los tres tipos de lance durante el mismo período. Se ignora si dicha tendencia se debió a la captura incidental en las pesquerías, a cambios en el medio ambiente (quizá asociados con el Niño de 1997-1998), o a otros factores. La tendencia decreciente no parece ser debida a cambios en la densidad de los objetos flotantes.

Científicos en la Universidad de Washington realizaron un análisis de la frecuencia temporal de zonas de captura incidental elevada del tiburón jaquetón en los lances cerqueros sobre objetos flotantes, el cual será útil para determinar la eficacia de las vedas de tiempo y zona como método de reducción de la captura incidental de tiburones. Los resultados señalan que tanto las predicciones del modelo como los datos observados suelen indicar que la frecuencia de estas capturas incidentales fue máxima al norte de 4°N y

al oeste de 100-105°O. Sin embargo, debido a las grandes capturas de atún al sur de 5°N, se lograría la mayor reducción de esta captura incidental con la menor pérdida de captura de atún al norte de aproximadamente 6°N.

Entre mayo de 2007 y junio de 2008 científicos de la CIAT y del NMFS realizaron un proyecto para obtener y archivar muestras de tejido de tiburones, rayas y otros peces grandes, para análisis genéticos. Se están usando los datos de las muestras archivadas en estudios de la estructura de las poblaciones de estos grupos a gran escala, información esencial para las evaluaciones de las poblaciones y que falta generalmente en todo el Océano Pacífico. Los resultados preliminares de un análisis del tiburón jaquetón indicaron dos poblaciones, una al norte y la otra al sur de la línea ecuatorial.

Una evaluación de la población del tiburón azul (*Prionace glauca*) en el Océano Pacífico Norte ha sido realizada por científicos del NMFS y del NRIFSF. Los resultados preliminares brindan un rango de valores verosímiles del RMS de 1,8 a casi 4 veces la captura anual de la especie en 2001. Una evaluación más reciente, que usó datos de captura y esfuerzo de 1971-2002, señaló una disminución de la abundancia en los años 1980, seguida por una recuperación a un nivel mayor que aquel de 1971. Se supuso que la población de tiburón azul en 2009 estuvo cerca del nivel de RMS y el esfuerzo de pesca podría estar acercándose al nivel de RMS en el futuro.

En la Tabla 3 se presentan las estimaciones preliminares de las capturas (incluidos los descartes de la pesca de cerco), en toneladas, de tiburones y otros peces grandes en el OPO durante 2011 (aparte de aquéllos mencionados en lo anterior) por buques cerqueros grandes. No se dispone de datos completos de buques cerqueros pequeños, palangreros y otros.

TABLA 3. Capturas de tiburones y otros peces grandes, redondeadas a la tonelada más cercana, 2011

	Tipo de lance			Total
	OBJ	NOA	DEL	
Tiburón jaquetón o sedoso (<i>Carcharhinus falciformis</i>)	239	32	65	336
Tiburón oceánico punta blanca (<i>C. longimanus</i>)	1	0	<1	2
Cornudas (<i>Sphyraña spp.</i>)	85	10	6	100
Tiburones zorro (<i>Alopias spp.</i>)	3	6	5	14
Otros tiburones	49	243	5	297
Rayas (Mobilidae)	8	48	26	82
Raya látigo del Pacífico (Dasyatidae)	<1	<1	<1	<1
Dorado (<i>Coryphaena spp.</i>)	1,696	9	<1	1,705
Peto (<i>Acanthocybium solandri</i>)	192	2	<1	194
Salmón (<i>Elagatis bipinnulata</i>) y jurel (<i>Seriola lalandi</i>)	39	57	0	96
Otros peces grandes	33	501	<1	534

Aparte del tiburón azul, no existen evaluaciones de las poblaciones de estas especies en el OPO, y por lo tanto se ignoran los impactos de las capturas incidentales sobre las mismas. Se lograron avances en la evaluación de la población del tiburón sedoso en la Tercera Reunión Técnica de la CIAT sobre tiburones en diciembre de 2011. La implementación de un modelo de evaluación exigirá mayor trabajo sobre la estimación de las capturas y capturas incidentales durante 2012, y se intentará una evaluación en 2013.

Las tasas de captura de especies aparte de los atunes en la pesquería cerquera son diferentes para cada tipo de lance. Con unas pocas excepciones, las tasas de captura incidental son máximas en lances sobre objetos flotantes, seguidos por lances no asociados y, en un nivel mucho más bajo, lances sobre delfines. Las tasas de captura incidental de delfines son máximas en lances sobre delfines, seguidos por lances no asociados y, en un nivel mucho más bajo, lances sobre objetos flotantes. Las tasas de captura incidental de pez vela (*Istiophorus platypterus*), rayas (Mobilidae), y mantarrayas (Dasyatidae) son máximas en lances no asociados, seguidos por lances sobre delfines, y mínimas en lances sobre objetos flotantes.

Debido a estas diferencias, es necesario seguir los cambios en la frecuencia de los distintos tipos de lance para poder interpretar los cambios en las cifras de captura incidental. En la Tabla A-7 del Documento [SAC-03-03](#) se detalla el número estimado de lances cerqueros de cada tipo realizados durante 1996-2011 en el OPO.

En octubre de 2006, el NMFS convocó una reunión técnica sobre la reducción de la captura incidental en la pesquería de cerco en el OPO. Los asistentes acordaron apoyar una propuesta de investigación de métodos para reducir la captura incidental de los tiburones, alejándolos de los objetos flotantes antes de calar la red. Se tiene planeado un estudio de factibilidad. Los asistentes apoyaron también una serie de experimentos de campo sobre aparejos y técnicas para reducir la captura incidental; incluirían modificación y manipulación de los plantados, una evaluación de indicadores de comportamiento y fisiológicos de estrés, y sacar los animales vivos de la red y de la cubierta (por ejemplo, rejas clasificadoras, puertas de burbujas, y bombas de vacío). En una tercera propuesta, asimismo apoyada por los asistentes, se usarían los datos de la CIAT para determinar si los factores espaciales, temporales, y ambientales pueden ser usados para predecir las capturas incidentales en los lances sobre plantados y para determinar en cuál grado las vedas de temporada o zona serían eficaces para reducir dichas capturas incidentales.

3. OTROS COMPONENTES DEL ECOSISTEMA

3.1. Aves marinas

Hay aproximadamente 100 especies de aves marinas en el OPO tropical. Algunas aves marinas se asocian con depredadores epipelágicos cerca de la superficie del agua, tales como peces (especialmente atunes) y mamíferos marinos. Estos depredadores arrean a las presas a la superficie para atraparlas en la interfaz entre el agua y el aire, donde las aves las pueden alcanzar. La mayoría de las especies de aves marinas capturan sus presas a menos de medio metro de la superficie del mar o en el aire (peces voladores (Exocoetidae) y calamares (principalmente Ommastrephidae)). Los depredadores subsuperficiales causan que las aves puedan conseguir las presas más fácilmente no sólo al arrearlas a la superficie, sino también al herirlas o desorientarlas y al dejar restos después de alimentarse de presas grandes. Las oportunidades de alimentación de algunas especies de aves marinas dependen de la presencia de cardúmenes de atunes alimentándose cerca de la superficie.

Las aves marinas son afectadas por la variabilidad del ambiente oceánico. Durante el Niño de 1982-1983, las poblaciones de aves marinas en todo el Océano Pacífico tropical y noreste padecieron fracasos de reproducción y mortalidades masivas, o migraron a otros lugares en busca de alimento. Algunas especies, empero, aparentemente no son afectadas por eventos de El Niño. En general, las aves marinas que se alimentan en las zonas de afloramiento del OPO tropical y la Corriente de Perú padecen fracasos de reproducción y mortalidades debido a falta de alimento durante eventos de El Niño, mientras que aquéllas que se alimentan en zonas menos afectadas por El Niño podrían resultar relativamente ileas.

Según el *Report of the Scientific Research Program under the U.S. International Dolphin Conservation Program Act* (Informe del Programa de Investigación Científica bajo la Ley sobre el Programa Internacional para la Conservación de los Delfines de EE.UU.), preparado por el NMFS en septiembre de 2002, no hubo tendencias temporales significativas en las estimaciones de abundancia del período de 1986-2000 de ninguna especie de ave marina en el OPO tropical, excepto una tendencia decreciente en caso del petrel de Tahití (*Pseudobulweria rostrata*). Se están revisando la condición y las tendencias de las poblaciones de albatros de las Galápagos (*Phoebastria irrorata*), patinegro (*P. nigripes*), y de Laysan (*P. immutabilis*).

Algunas aves marinas, especialmente los albatros y petreles, son susceptibles a la captura en los anzuelos cebados en las pesquerías palangreras pelágicas. Datos de rastreo por satélite y de observaciones en el mar han identificado la importancia del Área de la CIAT para los albatros de las Galápagos, de Laysan, y ojeroso (*Thalassarche melanophrys*), más varias especies que se crían en Nueva Zelanda pero que se

alimentan frente a Sudamérica. El albatros de las Galápagos es motivo de preocupación especial, por ser endémico del OPO y anidar únicamente en Galápagos. Los datos de observadores en buques artesanales no indicaron interacciones del albatros de Galápagos con las faenas de pesca de estos buques. Los datos de la pesquería palangrera pelágica de EE.UU. en el Pacífico noreste indican que ocurren capturas incidentales de albatros patinegro y de Laysan. Se dispone de pocos datos comparables de las pesquerías palangreras en el Pacífico central y sudeste. En la sexta reunión del Grupo de Trabajo en febrero de 2007, se informó que la flota española de palangre de superficie que pesca pez espada en el OPO tuvo en promedio 40 interacciones con aves marinas por millón de anzuelos durante 1990-2005, casi todas de las cuales resultaron en mortalidad. En 2007, el Grupo de Trabajo sobre Evaluaciones de Poblaciones de la CIAT identificó áreas de vulnerabilidad a la pesca industrial de palangre para varias especies de albatros, y propuso medidas de mitigación. Ver también la sección 9.3.

3.2. Alimento

Los grupos taxonómicos de alimento que ocupan los niveles tróficos medios en el OPO son obviamente componentes importantes del ecosistema, formando un vínculo entre los productores primarios en la base de la red trófica y los depredadores de nivel trófico superior, como los atunes y peces picudos. Los efectos indirectos sobre estos depredadores causados por la variabilidad ambiental son transmitidos a los niveles tróficos superiores por medio de los grupos taxonómicos de alimento. Sin embargo, se sabe poco acerca de las fluctuaciones en abundancia de la gran variedad de especies de presas en el OPO. Científicos del NMFS registraron datos sobre la distribución y abundancia de grupos de presas comunes, entre ellos peces linternas (Myctophidae), peces voladores, y ciertos calamares, en el OPO tropical durante 1986-1990 y 1998-2000. Las estimaciones de abundancia media de todos los grupos taxonómicos de peces, y en menor grado los calamares, aumentaron durante 1986-1990; fueron bajas de nuevo en 1998, y luego aumentaron hasta 2000. Su interpretación de este patrón fue que los eventos de El Niño en 1986-1987 y 1997-1998 ejercieron efectos negativos sobre estas poblaciones de presas. Durante los cruceros STAR de NMFS en 2003 y 2006 se obtuvieron más datos sobre estos grupos taxonómicos.

El tamaño y la distribución geográfica de las poblaciones del calamar gigante o de Humboldt (*Dosidicus gigas*) en el OPO han aumentado en los últimos años. Por ejemplo, el calamar extendió su distribución geográfica al norte a las aguas frente a Alta California central desde 2002 hasta mediados de 2010. Además, en 2002 los observadores en buques atuneros de cerco reportaron incrementos de las capturas incidentales de la especie con los atunes, principalmente el barrilete, frente al Perú. Las etapas juveniles de este calamar constituyen una presa común de los atunes aleta amarilla y patudo, y de otros peces depredadores, y el calamar de Humboldt es también un depredador voraz de peces pequeños y de cefalópodos en toda su zona de distribución. Han sido observados atacando a los atunes aleta amarilla y barrilete en una red de cerco. Estos calamares no sólo han afectado los ecosistemas a los cuales se han expandido, sino que se piensa que son capaces de afectar la estructura trófica en las regiones pelágicas. Cambios en la abundancia y distribución geográfica del calamar de Humboldt podrían afectar el comportamiento de alimentación de los atunes y otros depredadores, cambiando quizás su vulnerabilidad a la captura.

Algunos peces pequeños, muchos de los cuales son alimento para los depredadores más grandes, son capturados por buques cerqueros en el OPO. Las melvas (*Auxis spp.*), por ejemplo, son presas comunes de muchos de los animales que ocupan los niveles tróficos superiores en el OPO tropical. En el modelo del ecosistema del OPO tropical (Sección 7), las melvas forman el 10% a más de la dieta de ocho categorías de depredadores. Pequeñas cantidades de melvas son capturadas por buques cerqueros en alta mar, y por pesquerías artesanales locales en algunas regiones costeras de América Central y del Sur. La gran mayoría de las melvas capturadas por buques atuneros de cerco es descartada en el mar. En la Tabla 4 se presentan las estimaciones preliminares de las capturas (incluidos los descartes de la pesca de cerco), en toneladas, de peces pequeños, por buques cerqueros grandes con observadores a bordo en el OPO durante 2011.

TABLA 4. Capturas de peces pequeños, en toneladas, por buques cerqueros grandes con observadores a bordo en el OPO durante 2011

	Tipo de lance			Total
	OBJ	NOA	DEL	
Peces ballesta (Balistidae) y cachúas (Monacanthidae)	30	<1	0	30
Otros peces pequeños	50	1	<1	51
Melvas (<i>Auxis</i> spp.)	764	101	12	878

3.3. Peces larvales y plancton

Desde hace muchos años, el personal del Southwest Fisheries Science Center del NMFS captura peces larvales en el OPO con redes de arrastre de superficie. De las 314 categorías taxonómicas identificadas, se descubrió que 17 tenían la mayor probabilidad de mostrar los efectos de cambios ambientales. La frecuencia, abundancia, y distribución de estos grupos clave no mostró ninguna tendencia temporal consistente. Investigaciones recientes demuestran una pendiente longitudinal en la estructura comunal de los conjuntos de ictioplanctón la charca cálida, con la abundancia, riqueza de especies, y diversidad de especies altas en el este (donde la termoclina es poco profunda y la productividad primaria es alta) y bajas pero variables en el oeste (donde la termoclina es profunda y la productividad primaria es baja).

Las poblaciones de fitoplancton y zooplancton en el OPO tropical son variables. Por ejemplo, las concentraciones de clorofila en la superficie del mar (un indicador de afloramientos de fitoplancton) y la abundancia de copépodos fueron reducidas marcadamente durante el Niño de 1982-1983, especialmente al oeste de 120°O. Similarmente, las concentraciones de clorofila en la superficie disminuyeron durante el Niño de 1986-1987 y aumentaron durante la Niña de 1988 debido a cambios en la disponibilidad de nutrientes.

La composición por especies y tamaños del zooplancton es a menudo más variable que la biomasa de zooplancton. Cuando aumenta la temperatura del agua, las especies de agua cálida a menudo reemplazan las especies de agua fría en lugares particulares. La abundancia relativa de copépodos pequeños frente al norte de Chile, por ejemplo, aumentó durante el Niño de 1997-1998, mientras que la biomasa de zooplancton no cambió.

Los copépodos forman a menudo el componente predominante de la producción secundaria en los ecosistemas marinos. Un estudiante del Centro Interdisciplinario de Ciencias Marinas del Instituto Politécnico Nacional en La Paz (Méjico), realizó un análisis de la estructura trófica entre la comunidad de copépodos pelágicos en el OPO, usando muestras recolectadas por científicos del proyecto STAR del NMFS. Se usaron los valores del isótopo estable de nitrógeno de copépodos omnívoros en un análisis separado de la posición trófica del atún aleta amarilla, tratando los copépodos como sustituto de la variabilidad isotópica en la base de la red alimenticia (ver la sección siguiente).

4. INTERACCIONES TRÓFICAS

Los atunes y peces picudos son depredadores generalistas de gran alcance con requisitos energéticos elevados, y como tal, son componentes clave de los ecosistemas pelágicos. No se entienden bien las relaciones ecológicas entre estos grandes depredadores pelágicos, y entre ellos y los animales de niveles tróficos más bajos. A la luz de la necesidad de evaluar las implicaciones de las actividades de pesca sobre los ecosistemas subyacentes, es esencial adquirir representaciones exactas de los vínculos tróficos y los flujos de la biomasa por la red de alimentación en los ecosistemas del océano abierto, así como conocimientos básicos de la variabilidad natural impuesta por el medio ambiente.

Históricamente, los conocimientos de la ecología trófica de los peces depredadores se basaron en análisis del contenido de los estómagos. Los depredadores pelágicos grandes son considerados muestreadores eficaces de los organismos micronécticos, que son mal muestreados por redes y arrastres. Los estudios de

las dietas han descubierto muchos de los vínculos tróficos clave en el OPO pelágico, y han formado la base para la representación de las interacciones de la red de alimentación en un modelo de ecosistema ([Boletín de la CIAT, Vol. 22, No. 3](#)) para explorar los efectos indirectos de la pesca sobre el ecosistema. En dos estudios separados por una década, la presa más común de los atunes aleta amarilla capturados por buques cerqueros en alta mar fue las melvas (*Auxis spp.*), el canguro rojo (*Pleuroncodes planipes*), calamares de Humboldt, un pez mesopelágico (*Vinciguerria lucetia*) y varios peces epipelágicos. El atún patudo se alimenta a mayor profundidad que el aleta amarilla y barrilete, y consume principalmentecefalópodos y peces mesopelágicos. Se informó, a fines de los años 1950, que la presa más importante del barrilete fue, en general, los crustáceos eufásidos mientras que a principios de los 1990 el pequeño pez mesopelágico *Vinciguerria lucetia* pareció predominar en la dieta. Los atunes que se alimentan cerca de la costa utilizan a menudo presas diferentes a aquéllos capturados mar afuera. Recientemente, los estudios de dieta se han enfocado en entender redes de alimentación enteras, inicialmente con descripciones de las conexiones interespecíficas entre las comunidades de depredadores, formadas por los atunes, tiburones, peces picudos, el dorado, peto, salmón, y otros. En general, es evidente una repartición considerable de recursos entre los componentes de estas comunidades, y los investigadores buscan comprender la escala espacial de los patrones tróficos que se pueden observar, así como la influencia de la variabilidad climática sobre estos patrones.

Mientras que los estudios de la dieta han contribuido mucho a los conocimientos de la materia, los análisis de isótopos estables son un complemento útil al contenido de los estómagos para delinejar la estructura compleja de las redes de alimentación marinas. El contenido de los estómagos representa una muestra de solamente las horas más recientes de alimentación en el momento en el que fue capturado el animal, y bajo las condiciones necesarias para su captura. Los isótopos estables de carbono y nitrógeno, en cambio, integran información sobre todos los componentes de la dieta entera en el tejido del animal, brindando así un historial reciente de las interacciones tróficas e información sobre la estructura y dinámica de las comunidades ecológicas. AA-CSIA (*compound-specific stable isotope analysis*, o análisis de isótopos estables por compuesto) de los aminoácidos brinda una mayor comprensión. En muestras de tejido de consumidores, los aminoácidos “fuente” (por ejemplo, fenilalanina, glicina) retuvieron los valores isotópicos en la base de la red de alimentación, y los aminoácidos “tróficos” (por ejemplo, ácido glutámico) fueron enriquecidos en ^{15}N aproximadamente un 7% con respecto a la línea de referencia. En AA-CSIA, el tejido de los depredadores por sí mismo es suficiente para estimaciones de la posición trófica, y no es necesario un análisis separado de la composición isotópica de la base de la red de alimentación. Un análisis reciente de la distribución espacial de los valores de los isótopos estables del atún aleta amarilla en relación con aquéllos de los copépodos indicó que la posición trófica del atún aleta amarilla aumentó con distancia de la costa en el OPO, una característica de la red de alimentación nunca detectada en la dieta. Los datos de dieta de las mismas muestras de aleta amarilla analizadas para el contenido isotópico mostraron una variabilidad comparable en la posición trófica del aleta amarilla, pero no mostraron una pendiente de la posición trófica con distancia de la costa.

Las muestras de estómago de un depredador generalista ubicuo, como el atún aleta amarilla, pueden ser usadas para inferir cambios en las poblaciones de presas mediante la identificación de cambios en el comportamiento de alimentación. Cambios inducidos por las presas en el comportamiento de alimentación podrían causar que los atunes, por ejemplo, cambiaseen su distribución típica de profundidad mientras se alimentan, lo cual podría afectar su vulnerabilidad a la captura. Las poblaciones de presas que sostienen los depredadores ápice varían a lo largo del tiempo (ver 3.2 Alimento), y ciertas presas ejercen una presión depredadora considerable sobre los animales que ocupan los niveles tróficos más bajos (incluidas las etapas tempranas de vida de peces grandes). Existen dos ejemplos recientes de investigaciones de dieta pertinentes: 1) Se recolectaron muestras de estómago de aletas amarillas capturados con red de cerco durante 1992-1994 y de nuevo durante 2003-2005. Se está usando un nuevo método de análisis de árbol de clasificación, desarrollado por el Dr. P. Kuhnert, de CSIRO, Australia, para separar las covariables espaciales, temporales, y de tamaño de aleta amarilla que expliquen diferencias en los patrones de depredación a escala decadal. Se detectaron diferencias estadísticas entre

los dos períodos de muestreo: predominaron las melvas y otros peces epipelágicos durante los años 1990 y peces mesopelágicos y un cangrejo galateido pelágico fueron más importantes en los 2000. Las cantidades de alimento consumido por día (ración diaria, porcentaje del peso del cuerpos) fueron menores durante este último período. Mientras que las pruebas circunstanciales apoyan el concepto que los cambios en la disponibilidad de presas en el medio ambiente pueden ser detectados mediante un seguimiento del contenido del estómago de un depredador no selectivo, tal como el atún aleta amarilla, y no existen pruebas que la comunidad alimenticia del OPO haya cambiado desde principios de los años 1990. 2) En un segundo estudio, se obtuvieron muestras de estómago de aleta amarilla de lances cerqueros sobre atunes asociados con delfines durante el cuarto trimestre de 2006 solamente, y comparadas con muestras de lances sobre delfines realizados durante 2003-2005 en la misma zona de pesca, a fin de detectar posibles cambios en el comportamiento de alimentación. De interés especial fueron las diferencias interanuales en la depredación sobre el calamar de Humboldt debido a cambios recientes en su abundancia y distribución geográfica (ver 3.2 Alimento). La cantidad de tejido fresco de calamar en los estómagos de los aletas amarillas fue muy baja, y no hubo diferencias de año en año en las proporciones en la dieta por peso. Las mandíbulas (o picos) de los cetáceos son retenidas en el estómago, y la frecuencia porcentual de las mandíbulas de calamares de Humboldt disminuyó un 21% entre 2004 y 2006. En general, no existe evidencia convincente de que hayan ocurrido cambios sustanciales en la estructura trófica durante 2003-2006, a partir de los hábitos de alimentación de los atunes aleta amarilla capturados en asociación con delfines.

5. AMBIENTE FÍSICO¹

Las condiciones ambientales afectan a los ecosistemas marinos, la dinámica y capturabilidad de los atunes y peces picudos, y las actividades de los pescadores. Los atunes y peces picudos son pelágicos durante todas las etapas de la vida, y los factores físicos que afectan al Océano Pacífico tropical y subtropical pueden ejercer efectos importantes sobre su distribución y abundancia. Se cree que las condiciones ambientales causan una variabilidad considerable en el reclutamiento de los atunes y peces picudos. Las evaluaciones de las poblaciones realizadas por la CIAT a menudo han incorporado el supuesto que las condiciones oceanográficas podrían afectar el reclutamiento en el OPO.

Distintos tipos de perturbaciones climáticas podrían afectar la pesca de distintas formas. Se cree que una termoclina poco profunda en el OPO contribuye al éxito de la pesca atunera de cerco, actuando tal vez de barrera térmica para los cardúmenes de atunes pequeños, manteniéndolos cerca de la superficie del agua. Cuando la termoclina se hunde, como durante un evento de El Niño, los atunes parecen ser menos vulnerables a la captura, y las tasas de captura disminuyen. Temperaturas superficiales del mar (TSM) cálidas o frías pueden asimismo causar que estos peces móviles se desplacen a un hábitat más favorable.

El ambiente oceánico varía en una variedad de escalas temporales, de estacional a interanual, decadal, y mayores (por ejemplo, fases o regímenes climáticos). La causa dominante de variabilidad en las capas superiores del OPO es conocida como El Niño-Oscilación del Sur (ENOS). El ENOS es una fluctuación irregular que afecta al Océano Pacífico tropical entero y la atmósfera global. Resulta en variaciones de los vientos, la precipitación, profundidad de la termoclina, circulación, productividad biológica, y la alimentación y reproducción de peces, aves y mamíferos marinos. Los eventos de El Niño ocurren a intervalos de entre 2 y 7 años, y son caracterizados por vientos alisios más débiles, una termoclina más profunda, y TSM anormalmente elevadas en el OPO ecuatorial. La fase contraria de El Niño, denominado comúnmente La Niña, es caracterizada por vientos alisios más fuertes, una termoclina menos profunda, y TSM más bajas. La investigación ha documentado una conexión entre el ENOS y la tasa de producción primaria, la biomasa de fitoplancton, y la composición por especies del fitoplancton. Durante los episodios de El Niño disminuye el afloramiento de agua subsuperficial, rica en nutrientes, lo cual lleva a una reducción notoria en la producción primaria y secundaria. El ENOS también afecta directamente a

¹ Gran parte de la información en esta sección proviene de Fiedler, P.C. 2002. *Environmental change in the eastern tropical Pacific Ocean: review of ENOS and decadal variability*. Mar. Ecol. Prog. Ser. 244: 265-283.

los animales en los niveles tróficos medianos y altos. Los investigadores han concluido que el Niño de 1982-1983, por ejemplo, incrementó la profundidad de la termoclina y nutriclina, redujo la producción primaria, redujo la abundancia de zooplancton, y al final redujo las tasas de crecimiento, el éxito reproductivo, y la supervivencia de varias aves, mamíferos, y peces en el OPO. Sin embargo, en general los habitantes del océano se recuperan en períodos cortos, porque su ciclo vital está adaptado para responder a un hábitat variable.

La CIAT informa trimestralmente de los datos oceanográficos y meteorológicos mensuales medios del OPO, incluyendo un resumen de las condiciones actuales del ENOS. Las condiciones de El Niño afectaron gran parte del OPO desde junio de 2010 hasta abril de 2011, con TSM inferiores al promedio. Se atenuaron durante febrero-abril de 2011, y en mayo de 2011 cambiaron las condiciones de ENOS a neutras, con TSM casi medias a través de gran parte del Océano Pacífico ecuatorial. A partir de agosto de 2011, se desarrollaron de nuevo condiciones de La Niña, con anomalías negativas de las TSM de menos de 0,5°C y, en el cuarto trimestre, mucho menos que 0,5°C en gran parte del Pacífico central y oriental. Según el *Climate Diagnostics Bulletin* del Servicio Meteorológico Nacional de EE.UU. de diciembre de 2011, se espera que continúen las condiciones de La Niña hasta bien entrada la primavera del hemisferio septentrional de 2012.

La variabilidad a escala decadal (o sea, de 10 a 30 años) también afecta al OPO. A fines de la década de 1970 ocurrió en el Pacífico Norte un cambio importante en las condiciones físicas y biológicas. Este cambio de clima fue detectado en el OPO tropical también, mediante pequeños aumentos de las TSM, un debilitamiento de los vientos alisios, y un cambio moderado en los niveles de clorofila en la superficie. Algunos investigadores han reportado otro cambio importante en el Pacífico Norte en 1989. La variabilidad en el océano causada por el clima ha sido descrita a menudo en términos de “regímenes” caracterizados por promedios y patrones relativamente estables en las variables físicas y biológicas. Análisis realizados por el personal de la CIAT indican que el atún aleta amarilla en el OPO ha pasado por regímenes de reclutamiento bajo (1975-1982) y alto (1983-2001), y posiblemente otro intermedio (2002-2006). Se cree que el mayor reclutamiento durante 1983-2001 se debe a un cambio a un régimen de productividad más alta en el Océano Pacífico. Las fluctuaciones decídidas en el afloramiento y transporte de agua son simultáneas con el patrón de ENOS más frecuentes y tienen efectos en toda la cuenca sobre las TSM y la pendiente de la termoclina que son similares a los que causa el ENOS, pero a escala temporal mayor.

Existen evidencias que el Océano Pacífico Norte se encuentra actualmente en un régimen frío, mientras que no son aparentes evidencias similares en el caso del Pacífico ecuatorial.

La variabilidad ambiental en el OPO tropical es manifestada de forma diferente en las diferentes regiones donde se capturan los atunes. Por ejemplo, las anomalías de la TSM en la zona cálida del OPO (5° a 20°N, al este de 120°O) han ocurrido con la mitad de la magnitud y varios meses después de aquéllas en el área NIÑO3 en el Pacífico ecuatorial (5°S a 5°N, 90° a 150°O).

6. INDICADORES AGREGADOS

El reconocimiento de las consecuencias de la pesca para los ecosistemas marinos ha fomentado una investigación considerable en los últimos años. Han sido propuestos numerosos objetivos para evaluar los impactos de la pesca sobre los ecosistemas y para definir la sobrepesca desde una perspectiva ecosistémica. Mientras que se han usado los puntos de referencia principalmente para la ordenación de especies objetivo individuales, se cree que un primer paso factible sería aplicar medidas de desempeño y puntos de referencia a especies no objetivo. Ejemplos actuales incluyen límites de mortalidad incidental de delfines en la pesquería cerquera del OPO bajo el APICD. Otra área de interés es la posibilidad de elaborar indicadores útiles de desempeño basados en propiedades a nivel de ecosistema. Han sido propuestos varios indicadores de ecosistema, entre ellos la estructura del tamaño de la comunidad, índices de diversidad, riqueza y uniformidad de especies, índices de solape, espectros tróficos de la captura, abundancia relativa de una especie o un grupo indicador, y numerosos indicadores ambientales. Se

opina generalmente que se debería usar indicadores múltiples a nivel de sistema, pero existen dudas sobre la suficiencia de los conocimientos prácticos de la dinámica de estos indicadores, y sobre la existencia de un fundamento teórico para identificar puntos de referencia precautorios o límite basados en las propiedades de los ecosistemas. El uso de indicadores basados en ecosistemas para la ordenación de pesquerías todavía no es común.

Las relaciones entre los índices de asociaciones de especies en las características de la captura y el medio ambiente son consideradas información potencialmente valiosa para la mitigación de la captura incidental. Un trabajo preliminar en 2007-2008, basado en métodos novedosos de ordenación desarrollados por científicos en el Instituto de Matemática Estadística en Tokio (Japón), señaló patrones espaciales a gran escala claros en distintas agrupaciones de especies objetivo y de captura incidental en los lances sobre objetos flotantes en la pesquería de cerco en el OPO y relaciones con variables ambientales, tales como TSM, densidad de clorofila a, y la profundidad de la capa de mezcla. Es necesario un trabajo más extenso en este u otro enfoque similar.

Los enfoques ecosistémicos a la ordenación de la pesca ponen énfasis de nuevo en lograr representaciones fieles de los vínculos tróficos y los flujos de biomasa por la red alimenticia en los sistemas explotados. La estructura de la red alimenticia y las interacciones entre sus componentes desempeñan un papel demostrable en la determinación de la dinámica y productividad de los ecosistemas. En la ecología de las redes tróficas se usan los niveles tróficos (TL) para caracterizar el papel funcional de los organismos, para facilitar las estimaciones del flujo de energía o masa por las comunidades, y para elucidar aspectos de la trofodinámica del funcionamiento de los ecosistemas. En la Figura J-1 se presenta un diagrama simplificado, con NT aproximados, de la red trófica del OPO tropical pelágico. Las ballenas dentadas (Odontoceti, NT medio 5.2), depredadores de calamar grande (atún patudo grande y pez espada, NT medio 5.2) y tiburones (NT medio 5.0) son depredadores ápice. Los otros atunes y peces piscívoros grandes, delfines (NT medio 4.8), y aves marinas (NT medio 4.5) ocupan NT ligeramente más bajos. Peces epipelágicos menores (melvas y peces voladores (NT medio 3.2), por ejemplo), cefalópodos (NT medio 4.4), y peces mesopelágicos (NT medio 3.4) son el alimento principal de muchos de los depredadores de alto nivel en el ecosistema. Los peces pequeños y crustáceos se alimentan de dos grupos de zooplancton, y el microzooplancton herbívoro (NT 2) se alimenta de los productores, fitoplancton y bacterias (NT 1).

En los ecosistemas pelágicos explotados, las pesquerías dirigidas hacia peces piscívoros grandes funcionan de depredadores ápice del sistema. Con el tiempo, la pesca puede causar una disminución de la composición por tamaño general de la captura, y en general, los NT de los organismos pequeños son más bajos que los de los más grandes. El NT medio de los organismos capturados por una pesquería es un indicador útil de cambios en el ecosistema y de su sustentabilidad, porque integra una variedad de información biológica sobre los componentes del mismo. Se está prestando mayor atención al análisis del NT medio de las capturas y descartes de la pesca desde que un estudio demostró que, según estadísticas de descargas de FAO, el NT medio de los peces e invertebrados descargados a nivel mundial disminuyó entre 1950 y 1994, y la hipótesis de los autores del estudio es que esto perjudica los ecosistemas. Sin embargo, algunos ecosistemas han cambiado en la otra dirección, de comunidades de NT bajo a comunidades de NT más alto. En vista de la utilidad potencial de este enfoque, se estimaron los NT medios de una serie de tiempo de capturas y descartes anuales por especie desde 1993 hasta 2010 para tres modalidades de pesca cerco y la pesquería cañera en el OPO. Se calcularon las estimaciones mediante la aplicación de los NT del modelo de ecosistema del OPO (Sección 7), ponderados por los datos de captura por pesquería y año correspondientes a todos los grupos del modelo de las bases de datos de la CIAT de atún, captura incidental, y descartes. Se determinaron los NT del modelo ecosistémico mediante estimaciones de la dieta media de todos los grupos de especies. Los NT medios de las capturas sumadas de todas las pesquerías de cerco y de caña fueron bastante constantes de año a año, con menos de un 0.1 NT de variación (Figura J-2: promedio PS-LP). Una leve tendencia decreciente de los lances no asociados, equivalente a 0,4 TL durante el período de 18 años, resultó de las proporciones crecientes de

barilete y las proporciones decrecientes de aleta amarilla y patudo en la captura, no de capturas crecientes de especies de bajo nivel trófico. Por lo tanto, no es considerada una disminución ecológicamente perjudicial porque fue causada por proporciones crecientes de barilete en la captura a lo largo del tiempo. En general, los NT de los lances no asociados y la pesquería de caña fueron inferiores al promedio, y aquéllos de los lances sobre delfines superiores al promedio en la mayoría de los años (Figura J-2). Los NT de los lances sobre objetos flotantes variaron más que los de los otros tipos de lance y las otras pesquerías, debido principalmente a la variabilidad interanual en las cantidades del patudo y barilete capturadas en esos lances. Los NT de los lances sobre objetos flotantes estuvieron positivamente relacionados con el porcentaje de la captura total formado por patudo grande y negativamente relacionado con el porcentaje de la captura formado por barilete.

Se estimaron también por separado NT medios para la serie de tiempo de capturas retenidas y descartadas de la pesquería de cerco en cada año del período de 1993 a 2010 (Figura J-3). Las capturas descartadas fueron mucho menores que las capturas retenidas, y por lo tanto los patrones de los NT de las capturas totales (retenidos más descartadas) (Figura J-2) fueron determinados principalmente por los NT de las capturas retenidas (Figura J-3). Los NT de las capturas descartadas variaron más entre años que aquéllos de las capturas retenidas, debido a la diversidad de especies en las capturas incidentales. La disminución considerable de los NT medios de los descartes en los lances sobre delfines durante el período de 18 años (Figura J-3) se debió en gran parte a un aumento en las proporciones de peces de presa pequeños (melvas (*Auxis* spp.) y peces epipelágicos misceláneos) y rayas (Rajiformes, principalmente mantarrayas, *Mobulidae*) de niveles tróficos más bajos. En el caso de los lances no asociados, las marcadas disminuciones interanuales del NT durante 1997 se debió a una mayor captura incidental de rayas (NT 3.68), que se alimentan de plancton y otros animales pequeños que ocupan NT bajos, y una disminución de las capturas de tiburones grandes (NT 4.93), y un aumento de los peces presa (por ejemplo, Clupeiformes, Nomeidae, Tetraodontiformes, y *Auxis* spp.; NT 3.19-3.86) en la captura incidental. Aunque los peces de presa formaron menos del 25% en los lances no asociados, redujeron sustancialmente los NT medios de los descartes en los lances no asociados, especialmente cuando las proporciones de descartes de atún aleta amarilla fueron bajas. En el caso de los lances sobre objetos flotantes, los descartes de patudo están relacionados con NT medios más altos.

7. EVALUACIÓN DE RIESGOS ECOLÓGICOS

La sustentabilidad ecológica a largo plazo es un requisito de la ordenación de la pesca basada en ecosistemas. La pesca afecta directamente las poblaciones de no sólo las especies objetivo, sino también las especies capturadas incidentalmente. Se ignora la vulnerabilidad a la sobrepesca de muchas de las poblaciones capturadas incidentalmente en las pesquerías atuneras del OPO, y los datos biológicos y de la pesca son severamente limitados en el caso de la mayoría de estas poblaciones. El personal de la CIAT está evaluando los métodos establecidos para determinar la vulnerabilidad de especies no objetivo y de datos escasos capturadas por la pesquería de cerco en el OPO. Una versión de un análisis de productividad y susceptibilidad (APS²), usadas para evaluar otras pesquerías en años recientes, considera la vulnerabilidad de una población como una combinación de su productividad y su susceptibilidad a la pesca. La productividad de una población es la capacidad de la población de recuperarse si es mermada, y es una función de las características del ciclo vital de la especie. La susceptibilidad de una población es el grado al cual la pesca puede impactarla negativamente, es decir, la propensión de una especie de ser capturada por una pesquería y padecer mortalidad debido a la misma. Los índices de productividad y susceptibilidad de una población son determinados por derivar una puntuación de entre 1 (baja) y 3 (alta) relativa a un conjunto estandarizado de atributos para cada índice. Las puntuaciones de los atributos individuales son entonces promediadas para cada

² Patrick, W.S., P. Spencer, J. Link, J. Cope, J. Field, D. Kobayashi, P. Lawson, T. Gedamke, E. Cortés, O. Ormseth, K. Bigelow, y W. Overholz. 2010. Using productivity and susceptibility indices to assess the vulnerability of United States fish stocks to overfishing. Fish. Bull. U.S. 108: 305-322

factor e ilustradas en una gráfica de dispersión x-y. Al puntuar los atributos, se devaluó la calidad de los datos asociados con de cada atributo, y se ponderaron los atributos por la puntuación de calidad de datos. Se consideró que las poblaciones con una puntuación de productividad (p) baja y una puntuación de susceptibilidad (s) alta corren un riesgo de ser mermadas, mientras que el riesgo es bajo para aquellas con una puntuación de productividad alta y una puntuación de susceptibilidad baja. Se calcularon puntuaciones de vulnerabilidad (v) a partir de las puntuaciones de p y s como la distancia euclíadiana entre el origen de la gráfica de dispersión x-y y el punto del dato:

$$v = \sqrt{(p-3)^2 + (s-1)^2}$$

A fin de examinar la utilidad de los índices de productividad y susceptibilidad para evaluar la vulnerabilidad a la sobrepesca de los peces, mamíferos, y tortugas capturados incidentalmente en el OPO, se realizó una evaluación preliminar de tres « pesquerías » de cerco en el OPO. El APS se enfocó en 33 especies (Tabla J-1) que formaron la mayoría de la biomasa extraída por los buques de cerco de capacidad de acarreo de más de 363 t durante 2005-2011. Se basaron nueve atributos de productividad y ocho de susceptibilidad (Tablas J-2 y J-3, respectivamente) en una metodología² de APS establecida, y algunas fueron modificadas para una mayor consistencia con las pesquerías atuneras del OPO.

Se compiló información correspondiente a los atributos de productividad de cada especie a partir de una variedad de fuentes publicadas e inéditas de la literatura y de datos de la pesca en el OPO (es decir, no adoptadas de APS previos) para aproximar mejor la distribución de las características del ciclo vital observadas en las especies encontradas en el OPO. Se derivaron los umbrales de puntuación de los atributos de productividad (Tabla J-2) mediante la división de los datos compilados en percentiles de 1/3. Los criterios de puntuación de los atributos de susceptibilidad (Tabla J-3) fueron tomados de los APS² ejemplares y modificados en caso apropiado para un mejor ajuste a las pesquerías del OPO, y se promediaron las puntuaciones de cada índice. En la Figura J-7 se presentan gráficas de dispersión de las puntuaciones de productividad y susceptibilidad promediadas correspondientes a subconjuntos de las 33 especies capturadas por tres pesquerías de cerco (sobre delfines, atunes no asociados, y objetos flotantes), por grupo (ver la composición por especies de los grupos en la Tabla J-1). La escala del eje x en la Figura J-4 está invertida porque se considera que las especies/poblaciones con puntuaciones alta de productividad y baja de susceptibilidad (o sea, en el origen de las gráficas) son las menos vulnerables.

En general, algunos de los tiburones y la mantarraya gigante tuvieron las puntuaciones más altas en cuanto a vulnerabilidad general a la sobrepesca (ecuación). El tiburón marajo dientuso, las cornudas coronada, gigante, y cruz, y los tiburones zorro ojón y zorro pelágico tuvieron puntuaciones de vulnerabilidad de más de 2,0 (o sea, los puntos al lado derecho del semicírculo entre susceptibilidad 3,0 y productividad 1,0 en la Figura J-4).

El personal de la CIAT seguirá trabajando durante 2012 para mejorar y refinar el análisis de productividad y susceptibilidad para el OPO.

8. MODELADO DE ECOSISTEMAS

Es evidente que los distintos componentes de un ecosistema interactúan. La ordenación ecosistémica de la pesca es facilitada por la elaboración de modelos ecosistémicos multiespecíficos que representan las interacciones ecológicas entre las especies o gremios. Nuestros conocimientos del complicado laberinto de conexiones en los ecosistemas del océano abierto están en su etapa temprana, y, por lo tanto, la mayor utilidad de los modelos de ecosistema actuales es como instrumentos descriptivos para explorar los efectos de una mezcla de hipótesis y conexiones establecidas entre los componentes del ecosistema. Los modelos de ecosistema necesitan mantener un equilibrio entre representaciones simplistas por un lado y una complejidad imposible de manejar por el otro.

El personal de la CIAT ha desarrollado un modelo del ecosistema pelágico en el OPO tropical (Boletín de la CIAT, [Vol. 22, No. 3](#)) para explorar cómo la pesca y la variación climática podrían afectar los animales

en los niveles tróficos medianos y altos. El modelo tiene 38 componentes, entre ellos las principales especies explotadas (atunes, por ejemplo), grupos funcionales (tiburones y peces voladores, por ejemplo), y especies sensibles (tortugas marinas, por ejemplo). Algunos grupos taxonómicos están subdivididos en categorías (marlines grandes y pequeños, por ejemplo). La resolución taxonómica del modelo es más fina en los niveles tróficos superiores, pero la mayor parte de la biomasa del sistema está en los niveles tróficos medianos y bajos. Se estimaron las descargas y descartes para cinco “artes” de pesca: caña, palangre, y tres tipos de lances cerqueros: sobre atunes asociados con delfines, con objetos flotantes, y no asociados. El modelo está enfocado en las regiones pelágicas; no describe adecuadamente los ecosistemas locales costeros.

La mayor parte de la información que describe las interacciones interespecíficas en el modelo provino de un proyecto conjunto CIAT-NMFS, el que incluyó estudios de los hábitos alimenticios de atunes aleta amarilla, barrilete, y patudo, delfines, tiburones pelágicos, peces picudos, dorados, petos, salmones, y otros. El objetivo del proyecto fue contribuir a los conocimientos de la asociación atún-delfín, y se adoptó un diseño de muestreo a nivel de comunidad.

Se usó el modelo de ecosistema para evaluar los posibles efectos de variabilidad en los procesos forzados desde abajo por el medio ambiente sobre los niveles tróficos medianos y altos del ecosistema pelágico. Se incorporaron en el modelo series de tiempo predeterminadas de biomasa de productores para aproximar los cambios en la producción primaria documentados durante eventos de El Niño y La Niña, y se simuló la dinámica de los demás componentes del ecosistema. Se usó el modelo también para evaluar las contribuciones relativas de la pesca y el medio ambiente en la formación de la estructura del ecosistema en el OPO pelágico tropical. Se hizo esto usando el modelo para predecir cuáles componentes del ecosistema podrían ser susceptibles a efectos de la pesca de arriba hacia abajo, dada la importancia aparente de la variabilidad ambiental en la estructuración del ecosistema. En general, los animales con tasas de cambio relativamente bajas fueron afectados más por la pesca que por el medio ambiente, y aquéllos con tasas relativamente altas más por el medio ambiente que por la pesca.

9. ACCIONES DE LA CIAT Y EL APICD RELATIVAS A CONSIDERACIONES DE ECOSISTEMA

Tanto la Convención de la CIAT como el APICD tienen objetivos que versan sobre la incorporación de consideraciones de ecosistema en la ordenación de las pesquerías atuneras en el OPO. Acciones tomadas en el pasado incluyen:

9.1. Delfines

- Desde hace muchos años se evalúa el impacto de la pesquería sobre las poblaciones de delfines, y los programas para reducir o eliminar ese impacto han tenido un éxito considerable.
- Se ha limitado la mortalidad incidental de todas las poblaciones de delfines a niveles insignificantes con respecto al tamaño de las poblaciones.

9.2. Tortugas marinas

- Se ha compilado una base de datos sobre todos los avistamientos, capturas, y mortalidades de tortugas marinas reportadas por observadores.
- En junio de 2003, la CIAT adoptó una *Recomendación sobre tortugas marinas*, en la que se contempla “el desarrollo de un programa de tres años que podría incluir la reducción de capturas incidentales de tortugas marinas, investigaciones biológicas de tortugas marinas, perfeccionamiento de artes de pesca, educación de la industria y otras técnicas para mejorar la conservación de tortugas marinas.” En enero de 2004, el Grupo de Trabajo sobre Captura Incidental propuso un programa detallado que incluye todos estos elementos e insta a todas las naciones con buques que pescan atunes en el OPO a que provean a la CIAT información sobre interacciones de las pesquerías con tortugas marinas en el OPO, incluyendo capturas tanto incidentales como directas, y otros impactos sobre las

poblaciones de tortugas marinas. En junio de 2004, la CIAT adoptó la [Resolución C-04-07](#) sobre un programa de tres años para mitigar el impacto de la pesca atunera sobre las tortugas marinas; incluye disposiciones sobre la toma de datos, medidas de mitigación, educación de la industria, fomento de capacidad, e informes.

- c. La [Resolución C-04-05](#), adoptada por la CIAT en junio de 2004, contiene disposiciones relativas a la liberación y tratamiento de tortugas marinas capturadas en redes de cerco. Prohíbe también a los buques desechar bolsas y otra basura plástica en el mar, y encarga al Director estudiar y formular recomendaciones acerca del diseño de plantados, particularmente el uso de malla de red sujetada bajo el agua a los mismos.
- d. La [Resolución C-07-03](#), adoptada por la CIAT en junio de 2007, contiene disposiciones acerca de la instrumentación de programas de observadores en pesquerías bajo el amparo de la Comisión que podrían ejercer un efecto sobre las tortugas marinas y actualmente no son acatadas. La resolución exige que los pescadores fomenten la recuperación y reanimación de tortugas marinas de caparazón duro comatosas o inactivas antes de devolverlas al agua. Se dirige a las CPC con buques de cerco o palangre que pesquen especies abarcadas por la Convención de la CIAT en el OPO evitar a evitar encuentros con las tortugas marinas, reducir las mortalidades mediante el uso de una variedad de técnicas, y realizar investigaciones sobre la modificación de los diseños de los plantados y las artes de palangre y las prácticas de pesca.
- e. En respuesta a una solicitud de la Subsecretaría de Recursos Pesqueros del Ecuador, un programa fue establecido por World Wildlife Fund, la CIAT, y el gobierno de Estados Unidos, para mitigar la captura incidental y reducir la mortalidad de tortugas marinas causadas por la pesca con palangre. Un elemento clave de este programa es la comparación de las tasas de captura de atunes, peces picudos, tiburones, y dorado capturados con anzuelos J con las tasas de captura con anzuelos circulares. Los anzuelos circulares no enganchan tantas tortugas como los anzuelos J, usados tradicionalmente en la pesca palangrera, y la probabilidad de herir gravemente a las tortugas que muerden los anzuelos circulares es menor porque son más anchos y suelen engancharse en la mandíbula inferior, en lugar de internarse en el esófago y otras áreas, evento más peligroso y más común con los anzuelos J. Se difundieron además a las flotas palangreras de la región procedimientos y herramientas para liberar tortugas marinas enganchadas y enmalladas.

Al fin de 2008, el programa de intercambio de anzuelos y de observadores, que comenzó en Ecuador en 2003, fue activo en Colombia, Costa Rica, Ecuador, El Salvador, Guatemala, México, Nicaragua, Panamá, y Perú, y está en desarrollo en Chile, con talleres en muchos puertos. El programa en Ecuador se está realizando en conjunto con el gobierno y la Overseas Fishery Cooperation Foundation de Japón, mientras que en los otros países es financiado por agencias de EE.UU. Los resultados iniciales señalan que, en las pesquerías dirigidas hacia los atunes, peces picudos y tiburones, ocurrió una reducción importante en las tasas de enganche de las tortugas marinas con los anzuelos circulares, y que menos anzuelos se alojaron en el esófago u otras áreas perjudiciales para las tortugas. Las tasas de captura de las especies objetivo son, en general, similares a aquéllas de los anzuelos J. Se realizó también un experimento en la pesquería de dorado con anzuelos circulares más pequeños; las tasas de enganche de tortugas disminuyeron, pero menos que en las pesquerías de atunes, peces picudos y tiburones. Además, miembros del personal de la CIAT y otros dirigieron talleres e hicieron presentaciones en todos los países que participan en el programa.

9.3. Aves marinas

- a. La Recomendación [C-10-02](#), adoptada por la CIAT en octubre de 2010, reafirmó la importancia que los miembros de la CIAT y los no miembros cooperantes apliquen, en caso apropiado, el *Plan de Acción Internacional para reducir las capturas incidentales de aves marinas en la pesca con palangre* de la FAO (PAI – Aves marinas). Los gobiernos detallados en la recomendación acordaron notificar a la CIAT de su instrumentación del PAI-Aves Marinas, incluyendo, según proceda, la

situación de su Plan de Acción Nacional para reducir la captura incidental de las aves marinas en las pesquerías de palangre. Se acordó además que los gobiernos exigirían de sus buques palangreros que pescan Especies gestionadas por la CIAT en zonas específicas (detalladas en el Anexo 1 de la recomendación) usar al menos dos de un conjunto de ocho medidas de mitigación determinadas. Además, se alentó a los miembros y no miembros cooperantes de la CIAT a establecer programas nacionales para asignar observadores a buques palangreros de su pabellón o que pescan en sus aguas, y adoptar medidas dirigidas a asegurar que las aves marinas capturadas vivas durante las faenas de pesca con palangre sean liberadas vivas y en las mejores condiciones posibles.

- b. La [Resolución C-11-02](#), adoptada por la CIAT en julio de 2011, reafirmó la importancia de aplicar el PAI-Aves marinas (ver 9.3.a), y dispone que los Miembros y No miembros cooperantes (CPC) requerirán de sus buques palangreros de más de 20 metros de eslora total y que pesquen especies abarcadas por la CIAT en el OPO usar al menos dos de las medidas de mitigación detalladas, y establece estándares técnicos mínimos para dichas medidas. Alienta a las CPC a emprender, conjunta e individualmente, investigaciones para desarrollar y refinar los métodos para mitigar la captura incidental de aves marinas, y remitirán a la CIAT cualquier información derivada de estos esfuerzos. Además, alienta a las CPC a establecer programas nacionales para la asignación de observadores a bordo de los buques de palangre que enarbolen su pabellón o que pesquen en sus aguas, con el propósito de, entre otros, obtener información sobre las interacciones de las aves marinas con las pesquerías de palangre.

9.4. Otras especies

- a. En junio de 2000, la CIAT adoptó una resolución sobre la liberación de tiburones, rayas, peces picudos, dorados, petos, y otras especies no objetivo.
- b. La [Resolución C-04-05](#), adoptada por la CIAT en junio de 2006, encarga al Director buscar fondos para la reducción de la mortalidad incidental de atunes juveniles, para desarrollar técnicas y/o equipo para facilitar la liberación de peces picudos, tiburones y rayas de la cubierta o de la red, y para realizar experimentos para estimar las tasas de supervivencia de peces picudos, tiburones y rayas liberados.
- c. La [Resolución C-11-10](#), adoptada por la CIAT en julio de 2011, prohíbe la retención a bordo, transbordo, descarga, almacenamiento, venta, u ofrecimiento de venta del cadáver de tiburones oceánicos punta blanca, en parte o entero, en las pesquerías abarcadas por la Convención de Antigua, y requiere que se liberen con prontitud ileños, en la medida de lo posible, tiburones punta blanca cuando sean aproximados al costado del buque.

9.5. Todas especies

- a. Se está recabando datos sobre las capturas incidentales por buques cerqueros grandes, y se insta a los gobiernos a proveer información sobre las capturas incidentales de otros buques.
- b. Se han recabado datos sobre la distribución espacial de las capturas incidentales y las proporciones de captura incidental a captura para análisis de opciones de políticas de reducción de capturas incidentales.
- c. Se ha recabado información para evaluar medidas para reducir las capturas incidentales, tales como vedas, límites de esfuerzo, etc.
- d. Se han realizado evaluaciones de preferencias de hábitat y el efecto de cambios ambientales.
- e. Se han adoptado requisitos para las CPC para asegurar que, a partir del 1 de enero de 2013, un mínimo de 5% del esfuerzo de pesca realizado por sus buques palangreros de más de 20 metros de eslora total lleve un observador científico.

10. ACONTECIMIENTOS FUTUROS

Es poco probable, al menos en el futuro cercano, que se disponga de evaluaciones de las poblaciones de la

mayoría de las especies de captura incidental. Es posible que en lugar de evaluaciones formales se puedan desarrollar índices para evaluar tendencias en la condición de estas especies. La experiencia del personal de la CIAT con los delfines sugiere que la tarea no es trivial si se desea una precisión relativamente alta.

Han sido propuestas varias medidas para estudiar cambios en las características del ecosistema, entre ellas estudios del nivel trófico medio, espectros de tamaño, dominancia, diversidad, y otros, para describir el ecosistema de forma agregada.

La distribución de las pesquerías de atunes y peces picudos en el OPO es tal que incluye probablemente varias regiones con características ecológicas diferentes. Es posible que, dentro de éstas, masas de agua, características oceanográficas o topográficas, influencias del continente, etcétera, generen heterogeneidad que afecte la distribución de las distintas especies y su abundancia relativa en las capturas. Sería ventajoso incrementar los conocimientos de estos estratos ecológicos para poder usarlos en nuestros análisis.

Es importante continuar los estudios de los ecosistemas en el OPO. La capacidad de resolver problemas relacionados con la pesca y el ecosistema crecerá con el número de variables de hábitat, grupos taxonómicos y niveles tróficos estudiados y con series de tiempo de datos más largas.

